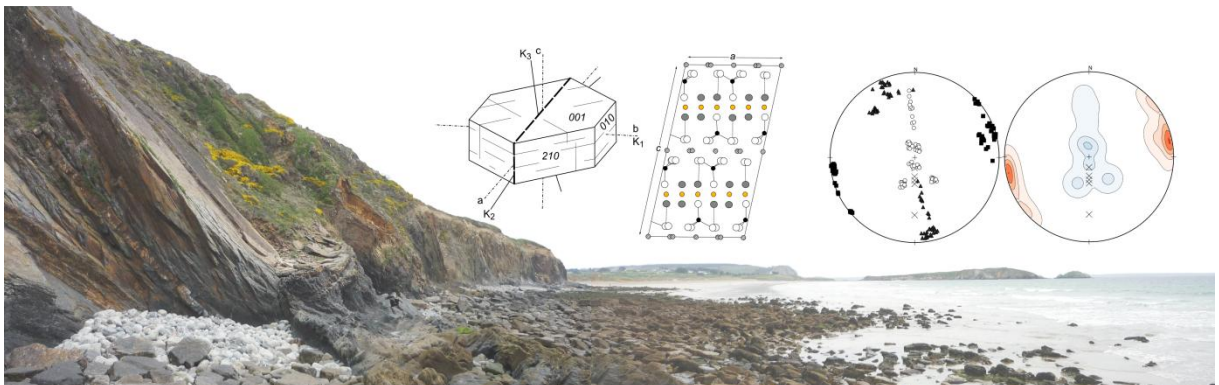


Modalities of anisotropy of magnetic susceptibility in fine-grained sedimentary rocks deformed in a contraction-dominated setting

A case study of the Central Armorican Domain, Brittany, France

APPENDICES



Tom Haerinck

Supervisors:
Prof. Dr. Manuel Sintubin
Dr. Timothy N. Debacker

Dissertation presented in partial
fulfilment of the requirements for the
degree of Doctor of Science

November 2014

© KU Leuven, Science, Engineering & Technology

Uitgegeven in eigen beheer, Tom Haerinck, Heverlee.

Alle rechten voorbehouden. Niets uit deze uitgave mag worden vermenigvuldigd en/of openbaar gemaakt worden door middel van druk, fotokopie, microfilm, elektronisch of op welke andere wijze ook zonder voorafgaande schriftelijke toestemming van de uitgever.

All rights reserved. No part of the publication may be reproduced in any form by print, photoprint, microfilm, electronic or any other means without written permission from the publisher.

ISBN number 978-90-8649-772-0

Legal depot number D/2014/10705/80

ISSN number 0250-7803

Aardkundige Mededelingen 45

Appendix 1: Sample and specimen list

OZ	sample	Pos. / outcrop	grid	UTM		# spec.	macro. fabrics		LT-AMS	HF-AMS	M _r experiments		XRD		Fe & Mn analysis
				east.	north.		S ₀	S ₁			AF demag.	LT behav.	bulk	< 2 µm	
Crozon south (CS) research area															
CS01	BR11TH016	74 m	30U	383860	5342768	8	350/70	340/80					A1		
	BR11TH017	74 m	30U	383860	5342768	5	350/70	325/75	B1	B1					
	BR11TH038	83 m	30U	383879	5342757	6	330/70	140/55	A3	A3	A3	A4	A4	x	
	BR11TH014	114 m	30U	383869	5342720	12	315/50	135/75	A6	A6					
	BR11TH015	115 m	30U	383869	5342720	12	/	320/80	A1, E1	A1, E1			D2		
	BR11TH011	116 m	30U	383869	5342720	9	118/40	128/65						x	
	BR11TH012	116 m	30U	383869	5342720	11	118/40	140/70							
	BR11TH013	116 m	30U	383869	5342720	12	118/40	128/65	A3	A3	A3	B2	B2		
	BR11TH018	133 m	30U	383872	5342712	10	320/55	325/85						x	
	BR11TH019	151 m	30U	383911	5342706	12	345/60	330/80	A4	A4					
CS02	BR11TH023	212 m	30U	383930	5342672	8	136/70	130/80						x	
	BR11TH020	237 m	30U	383932	5342618	11	135/60	120/45	A1	A1					
	BR11TH024	254 m	30U	383935	5342589	4	130/55	130/60							
	BR11TH036	264 m	30U	383935	5342589	7	125/45	145/70	B2	B2		A2	A2		
	BR11TH025	268 m	30U	383951	5342579	6	135/75	130/65							
	BR11TH040	320 m	30U	383979	5342544	4	335/80	335/85							
	BR11TH035	323 m	30U	383979	5342544	12	160/85	155/73					B2		
	BR11TH026	334 m	30U	383986	5342517	12	330/80	140/85	E3	E3					
	BR11TH034	335 m	30U	383986	5342517	6	150/85	340/85						x	
	BR11TH033	339 m	30U	383986	5342517	9	345/75	350/80	C3	C3			D2		
	BR11TH039	356 m	30U	383990	5342502	10	335/75	325/85							
	BR11TH031	363 m	30U	383995	5342489	5	335/80	345/85						x	
	BR11TH032	364 m	30U	383995	5342489	12	335/80	325/82							
	BR11TH041	366 m	30U	383995	5342489	5	340/80	145/85	D2	D2	D2				
	BR11TH027	379 m	30U	383998	5342458	5	340/80	160/90							
	BR11TH030	381 m	30U	383998	5342458	9	345/84	345/87	A1	A1	A1				
	BR11TH021	414 m	30U	384022	5342439	7	345/80	345/87					B1		
	BR11TH006	414 m	30U	384022	5342439	5	350/70	340/85						x	
	BR11TH007	414 m	30U	384022	5342439	9	350/70	340/85	A2	A2					
	BR11TH008	414 m	30U	384022	5342439	12	340/70	340/85							
	BR11TH010	414 m	30U	384022	5342439	12	350/80	350/85							
	BR11TH028	420 m	30U	384049	5342442	4	345/80	345/85							
	BR11TH029	420 m	30U	384049	5342442	10	350/80	160/75							
	BR11TH083	740 m	30U	384051	5342220	12	150/75	150/82	B3	B3				x	
	BR11TH084	937 m	30U	384058	5341953	10	345/80	010/60	B3, C2	B3, C2				x	

APPENDIX 1: SAMPLE AND SPECIMEN LIST

OZ	sample	Pos. /		UTM		#	macro. fabrics		LT-AMS	HF-AMS	M, experiments		XRD		Fe & Mn
		outcrop	grid	east.	north.		S ₀	S ₁			AF demag.	LT behav.	bulk	< 2 µm	
CS03	BR11TH085	965 m	30U	384046	5341938	12	170/50	170/90	C4	C4			B4	x	
	BR11TH086	1027 m	30U	383980	5341892	10	010/60	340/80	A6, B1	A6, B1				x	
	BR11TH087	1055 m	30U	383980	5341892	9	155/60	335/80	A3	A3			B3		
CS04	BR11TH088	1151 m	30U	383946	5341786	9	325/50	317/70	A1, D2	A1, D2			B1	x	
	BR11TH089	1236 m	30U	384003	5341654	11	345/55	335/75	B1	B1	B1			x	
	BR11TH090	1303 m	30U	384003	5341569	9	330/60	330/65	A3, B5	A3, B5	A3	B2	B2	x	
CS05	BR09TH032	1521 m	30U	384132	5341373	13	155/60	320/70	A1, B2, B3, C1	A1, C1					A1, C1
	BR09TH033	1521 m	30U	384132	5341373	10	155/60	320/70					B1		B1
	BR09TH034	1521 m	30U	384132	5341373	11	155/60	320/70					A5	x	A5
	BR09TH035	1521 m	30U	384132	5341373	14	155/60	320/70							
	BR09TH036	1521 m	30U	384132	5341373	14	155/60	320/70					A4		A4
	BR09TH038	1520 m	30U	384132	5341373	15	155/60	320/70							
	BR09TH039	1520 m	30U	384132	5341373	5	155/60	320/70	A1, A2	A1					A1
CS06	BR09TH003	1624 m	30U	384086	5341282	13	315/41	146/66					A7		A7
	BR09TH004	1623 m	30U	384086	5341282	10	315/41	146/66	A1, A4, B3, B5	A1, A4, B3		A4	B1		A1, A4, B1, B3
	BR09TH005	1623 m	30U	384086	5341282	13	315/41	146/75							B2
	BR09TH009	1624 m	30U	384086	5341282	5	315/41	146/66					B2		B2
	BR09TH010	1623 m	30U	384086	5341282	4	315/41	146/75					A2, A3	x	A2, A3
	BR09TH011	1621 m	30U	384086	5341282	6	315/41	146/82	C3, C4	C4			A1		A1, C4
	BR09TH012	1621 m	30U	384086	5341282	7	315/41	146/82							
	BR09TH013	1622 m	30U	384086	5341282	6	315/41	140/60							
	BR09TH014	1622 m	30U	384086	5341282	8	315/41	162/84							
	BR09TH015	1622 m	30U	384086	5341282	9	315/41	160/55	D1	D1			A1, D2		A1, D1, D2
	BR09TH016	1622 m	30U	384086	5341282	18	315/41	150/74							
	BR09TH017	1621 m	30U	384086	5341282	6	315/41	135/90	A4, C1, C2	C2					C2
	BR09TH018	1622 m	30U	384086	5341282	5	315/41	160/56							
	BR09TH019	1624 m	30U	384086	5341282	13	315/41	143/62							A6
	BR09TH020	1624 m	30U	384086	5341282	8	315/41	140/58					B2		B2
CS07	BR11TH001	CS07a	30U	391991	5343551	9	170/45	160/60	C3, D3	C3, D3					
	BR11TH002	CS07a	30U	391991	5343551	12	170/45	160/65	C2	C2			A4	x	
Crozon north (CN) research area															
CN01	BR13TH036	CN01a	30U	386383	5355401	6	190/25	330/45	B2	B2		A1	A1		
	BR13TH037	CN01a	30U	386383	5355401	8	190/25	290/25	B1	B1	B1				
	BR13TH038	CN01b	30U	386388	5355414	12	190/25	225/35	E1	E1			E2		
	BR13TH039	CN01b	30U	386388	5355414	10	300/55	305/45	B3	B3					

APPENDIX 1: SAMPLE AND SPECIMEN LIST

OZ	sample	Pos. / outcrop	grid	UTM		# spec.	macro. fabrics		LT-AMS	HF-AMS	M _r experiments		XRD		Fe & Mn analysis
				east.	north.		S ₀	S ₁			AF demag.	LT behav.	bulk	< 2 µm	
CN02	BR13TH040	CN01c	30U	386311	5355403	12	180/30	260/10							
	BR13TH041	CN01c	30U	386311	5355403	12	180/30	210/20	B4	B4	B4	B1	B1		
	BR13TH042	CN02a	30U	384787	5355000	12	170/25	315/05							
	BR13TH043	CN02a	30U	384787	5355000	12	170/25	305/05	D1	D1					
	BR13TH044	CN02a	30U	384787	5355000	12	170/20	220/10	C2	C2		E1	E1		
	BR13TH045	CN02b	30U	384764	5354877	11	170/25	330/10	D1	D1			E1		
	BR13TH046	CN02b	30U	384764	5354877	12	170/25	120/15							
	BR09TH053	CN03a	30U	383959	5354305	5	170/35	270/20	B2	B2	B2				
	BR09TH054	CN03a	30U	383959	5354305	5	170/35	255/20	B1, C1	B1		B1		x	
	BR09TH055	CN03a	30U	383959	5354305	7	170/35	255/25					B2		
CN04	BR13TH047	CN04a	30U	383619	5353984	5	170/45	200/25	B1	B1	B1				
	BR13TH048	CN04a	30U	383619	5353984	12	170/45	175/25	A2	A2					
CN05	BR13TH049	CN05a	30U	383120	5353353	12	185/40	235/25	B1, A2	B1, A2	B1	C1	C1		
CN06	BR09TH043	CN06a	30U	382748	5352987	10	170/25	170/30					D1		D1
	BR09TH041	CN06a	30U	382748	5352987	10	170/25	170/30	A3, B4	A3					A3
	BR09TH042	CN06a	30U	382748	5352987	12	170/25	170/30							
	BR09TH049	CN06a	30U	382748	5352987	8	170/25	170/30	A2	A2			A3		A3
	BR09TH050	CN06a	30U	382748	5352987	10	170/25	165/10							
	BR09TH048	CN06a	30U	382748	5352987	7	170/25	170/30							
	BR09TH058	CN06b	30U	382758	5352951	7	035/05	155/10							
	BR09TH057	CN06b	30U	382758	5352951	4	035/05	075/05	A1, B2	B2					B2
	BR09TH056	CN06b	30U	382758	5352951	10	035/05	110/10	A2, A6, B4	A2, A6	A6		B1	x	A2, B1
	BR09TH061	CN06b	30U	382758	5352951	2	035/05	110/10							
	BR09TH063	CN06b	30U	382758	5352951	11	035/05	310/50	A2, A6, B1	A6			B5		A6, B5
	BR09TH060	CN06b	30U	382758	5352951	7	035/05	340/50					A1		A1
	BR09TH062	CN06b	30U	382758	5352951	4	035/05	340/50							
Monts d'Arrée slate belt (MASB) research area															
MASB01	BR11TH043	MA123	30U	438024	5364332	12	/	330/80							
	BR11TH044	MA123	30U	438024	5364332	12	/	120/50	B5	B5		B2	B2	x	
	BR11TH045	MA125	30U	437781	5363919	4	165/70	325/70	A1	A1	A1			x	
	BR11TH042	MA113	30U	436808	5363184	10	130/20	160/90							
	BR11TH047	MA113	30U	436808	5363184	12	340/75	145/90	B1	B1			C1	x	
	BR11TH048	MA118	30U	436875	5363115	12	340/40	325/85						x	
	BR11TH046	MA039	30U	436133	5362996	9	350/00	165/70	B3	B3				x	
	BR11TH049	MA023	30U	435840	5363015	10	145/45	140/70	B2	B2			B1	x	
	BR11TH052	MA037	30U	435461	5363275	6	145/85	150/65	B2	B2				x	
	BR11TH051	MA024	30U	435394	5362918	8	145/75	150/70							

APPENDIX 1: SAMPLE AND SPECIMEN LIST

OZ	sample	Pos. / outcrop	UTM		# spec.	macro. fabrics		LT-AMS	HF-AMS	M, experiments		XRD		Fe & Mn analysis
			grid	east. north.		S ₀	S ₁			AF demag.	LT behav.	bulk	< 2 µm	
MASB02	BR11TH053	MA024	30U	435394	5362918	12	180/80	170/75					x	
	BR11TH050	MA025	30U	435524	5362836	12	345/35	340/20					x	
	BR11TH059	MA033	30U	434948	5363097	10	130/90	140/90	A3	A3	A3	B3	B3	x
	BR11TH058	MA030	30U	434798	5362995	7	145/85	145/85						
	BR11TH057	MA031	30U	434828	5362957	11	/	150/60						
	BR11TH054	MA029	30U	435171	5362698	6	345/30	145/85						
	BR11TH055	MA029	30U	435171	5362698	3	345/30	160/65						
MASB03	BR11TH056	MA029	30U	435171	5362698	8	/	185/87	A1, D1	A1, D1		C2		
	BR11TH060	MA001	30U	433366	5362274	8	145/50	145/75	B1	B1			x	
	BR11TH062	MA004	30U	432739	5361994	11	130/80	145/85						
	BR11TH063	MA005	30U	432642	5361876	10	125/55	145/75					x	
	BR11TH064	MA005	30U	432642	5361876	10	345/80	145/85	B3	B3				
	BR11TH061	MA015	30U	432700	5361777	9	160/80	130/70					x	
	BR11TH065	MA006	30U	432512	5361893	11	155/55	160/60						
	BR09TH123	MA006	30U	432518	5361871	11	/	330/85	B2, B4, C3			A3		A3
	BR09TH124	MA006	30U	432518	5361871	13	/	146/79	B2, C1	C1				
	BR09TH121	MA006	30U	432518	5361871	13	/	142/85	A6, B5	B5		B4		B4, B5
	BR09TH127	MA006	30U	432518	5361871	12	/	152/85	B2, B3	B2, B3		A2		A2, B2, B3
	BR09TH133	MA006	30U	432518	5361871	5	155/60	144/78	A1, A3			A5		A5
	BR09TH132	MA006	30U	432518	5361871	17	155/60	144/78	A3, A7	A7	A7	C2		C2
	BR09TH131	MA006	30U	432518	5361871	10	155/60	145/65	B1, C3	C3, D3		B2, B4	x	B2, B4, C3
	BR09TH129	MA006	30U	432518	5361871	8	155/60	140/70				B4		B4
	BR11TH066	MA009	30U	432662	5361775	11	160/85	160/90						
	BR11TH067	MA018	30U	432234	5361426	6	340/70	155/85						
	BR11TH068	MA018	30U	432237	5361467	8	150/75	140/60	E2	E2	E2		x	
	BR11TH070	MA049	30U	431098	5360692	10	130/90	120/70						
	BR11TH071	MA049	30U	431098	5360692	10	130/90	130/45	B4	B4		B3	x	
	BR11TH069	MA047	30U	431023	5360373	11	330/90	340/80					x	
MASB04	BR11TH078	MA047	30U	431023	5360373	12	330/40	155/60	B2, B3	B2, B3		B4		
	BR11TH072	MA056	30U	429590	5360248	9	145/70	140/65						
	BR11TH073	MA055	30U	429675	5360326	12	315/85	145/50					x	
	BR11TH075	MA071	30U	429084	5360117	12	135/60	140/50						
	BR11TH074	MA069	30U	429102	5360058	11	135/65	120/50	C2	C2		B1	x	
	BR11TH076	MA107	30U	428636	5359974	11	140/60	135/65	B2	B2		B1	x	
	BR11TH077	MA104	30U	428568	5359770	11	145/80	150/60	C1	C1	B5	B5	x	
	BR11TH080	MA088	30U	428492	5359664	12	140/85	125/70					x	
	BR11TH079	MA083	30U	427912	5359553	12	/	140/80	A1	A1			x	

APPENDIX 1: SAMPLE AND SPECIMEN LIST

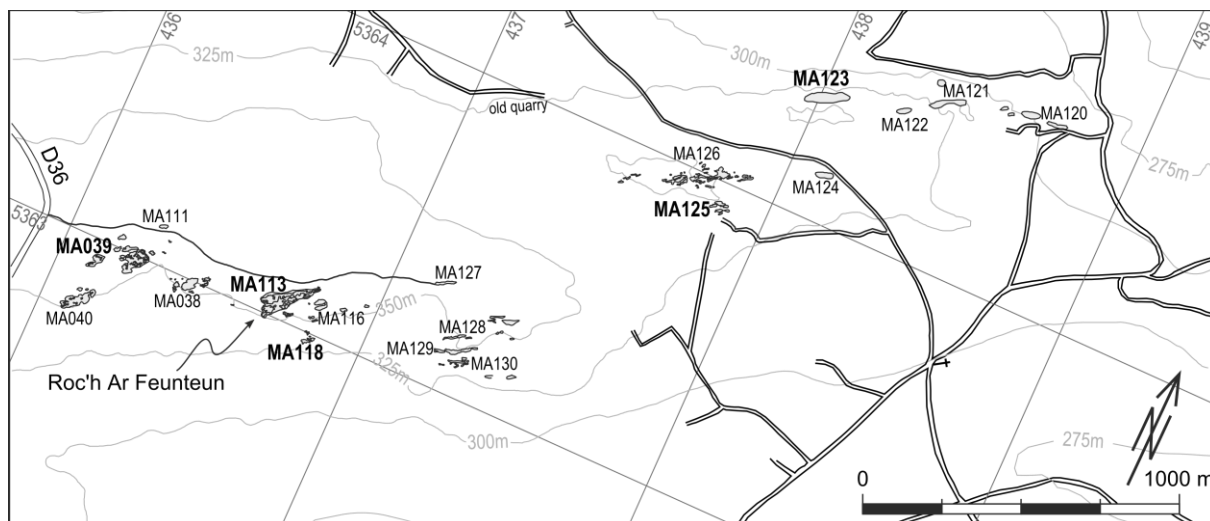
OZ	sample	Pos. / outcrop	UTM		# spec.	macro. fabrics		LT-AMS	HF-AMS	M, experiments		XRD		Fe & Mn analysis
			grid	east. north.		S ₀	S ₁			AF demag.	LT behav.	bulk	< 2 µm	
MASB05	BR13TH032	MA097	30U	423718	5357515	12	135/88	160/60	A2, A3	A2, A3	A3	D2		
	BR13TH033	MA098	30U	423919	5357429	12	165/50	150/80						
	BR11TH081	MA096	30U	423657	5357336	11	/	150/60	C1	C1			x	
	BR11TH082	MA096	30U	423657	5357336	10	/	160/65	A2	A2				
	BR13TH030	MA099	30U	422688	5357214	12	170/70	175/60				A4		
MASB06	BR13TH031	MA099	30U	422688	5357214	12	170/70	180/60	C3	C3				
	BR13TH028	MA101	30U	420641	5356683	12	195/77	160/25						
	BR13TH029	MA101	30U	420641	5356683	12	/	185/75	A3	A3				
	BR13TH026	MA149	30U	421073	5355239	12	195/25	270/15	A1, A4, C3	A1, A4, C3		C4		
	BR13TH025	MA150	30U	421073	5354393	12	230/25	210/40						
MASB07	BR13TH027	MA145	30U	419772	5355237	12	205/40	205/50	A3	A3				
	BR13TH024	MA147	30U	419120	5354138	12	175/55	165/75				C2		
	BR13TH012	SR019	30U	428155	5354084	12	/	200/65						
	BR13TH013	SR020	30U	427818	5354316	12	175/05	180/40						
	BR13TH014	SR002	30U	427584	5354311	12	/	140/90	A2	A2		B4		
MASB08	BR13TH015	SR002	30U	427584	5354311	12	/	120/55						
	BR13TH016	SR001	30U	426432	5353999	12	310/60	120/50	C1	C1				
	BR13TH017	SR001	30U	426432	5353999	12	310/60	150/30						
	BR13TH018	SR001	30U	426432	5353999	12	310/60	155/35						
	BR09TH103	SR003	30U	426197	5354229	13	225/35	165/60	A1, A3, A4, C3, C5	A4		B2	x	A4, B2
MASB09	BR09TH107	SR009	30U	426051	5354284	11	150/25	140/40	A5, A8, A9, A10	A8, A9	A9	A7		A7, A8
	BR09TH108	SR009	30U	426051	5354284	11	145/20	140/40						
	BR09TH111	SR009	30U	426051	5354284	11	155/35	140/40						
	BR09TH112	SR009	30U	426051	5354284	15	150/35	140/40	A2, C1	C1		A3	x	A3, C1
	BR13TH019	SR022	30U	424822	5353803	12	/	140/45	C2	C2		A4		
MASB10	BR13TH009	MA139	30U	438009	5352717	12	135/35	180/40				A2		
	BR13TH010	MA139	30U	438009	5352717	11	135/35	190/30	B2	B2				
	BR13TH011	MA139	30U	438009	5352717	12	135/35	180/35	B3, D1	B3, D1				
	BR13TH021	MA148	30U	418221	5358860	12	290/70	240/50	C1, D3	C1, D3				
	BR13TH022	MA148	30U	418221	5358860	12	290/70	250/55	C3	C3	C3	D1	D1	
MAS B10	BR13TH023	MA148	30U	418221	5358860	5	290/70	250/55						
	BR13TH034	MA144	30U	421225	5363005	12	265/20	290/60	B4	B4		B2		
	BR13TH035	MA144	30U	421225	5363005	12	255/25	290/55	A2, A6	A2, A6				
	Montagnes Noires slate belt (MNSB) research area													
	BR13TH001	MN001	30U	449859	5334395	12	350/75	355/85	A5	A5				

APPENDIX 1: SAMPLE AND SPECIMEN LIST

OZ	sample	Pos. / outcrop	grid	UTM		# spec.	macro. fabrics		LT-AMS	HF-AMS	M, experiments		XRD		Fe & Mn analysis
				east.	north.		S ₀	S ₁			AF demag.	LT behav.	bulk	< 2 µm	
MNSB01	BR13TH002	MN001	30U	449859	5334395	10	350/75	355/80	B2	B2			A2		
	BR13TH003	MN001	30U	449859	5334395	12	350/75	355/85	A2	A2					
	BR13TH004	MN001	30U	449859	5334395	12	355/80	155/85	B5	B5	B5				
	BR13TH005	MN001	30U	449859	5334395	12	355/80	335/85	C3	C3	C3	A3	A3		
MNSB02	BR13TH006	MN002	30U	428978	5332698	12	160/60	100/30	B3	B3	B3	B4	B4		
	BR13TH007	MN002	30U	428978	5332698	12	180/65	140/30	A2, D3	A2, D3			D2		
	BR13TH008	MN002	30U	428978	5332698	12	170/65	135/45	B1	B1		B3	B3		
	BR09TH149	MN003	30U	428081	5334258	5	010/75	165/90							
MNSB03	BR09TH142	MN003	30U	428081	5334258	15	015/75	170/80					A3		A3
	BR09TH144	MN003	30U	428081	5334258	4	350/85	155/80							
	BR09TH143	MN003	30U	428081	5334258	11	000/85	170/80	A1, D1, E2	E2				x	E2
	BR09TH148	MN003	30U	428081	5334258	15	010/80	160/75	A3, B1	A3, B1			C1		A3, B1, C1
	BR09TH151	MN004	30U	427923	5334299	12	010/70	355/75							
	BR09TH150	MN004	30U	427923	5334299	12	010/70	355/75							
	BR09TH152	MN004	30U	427923	5334299	15	010/80	000/90							
	BR09TH153	MN004	30U	427923	5334299	11	010/80	010/75					A9	x	A9
	BR09TH154	MN004	30U	427923	5334299	13	010/80	180/85							
	BR09TH156	MN004	30U	427923	5334299	11	010/80	010/85							
	BR09TH155	MN004	30U	427923	5334299	11	010/80	155/70	A1, A4						
	BR09TH158	MN004	30U	427923	5334299	13	010/80	160/65							
	BR09TH157	MN004	30U	427923	5334299	12	010/80	160/65	C1, C2, C3	C3					
	BR09TH160	MN004	30U	427923	5334299	9	025/70	160/65	A3, A4, B2	A3		A3	A2, C1		A2, A3, C1
	BR09TH159	MN004	30U	427923	5334299	11	025/70	160/65	B1, B5, B6, C3, C5	B5, C5	B6	B5	C1, C2, C4		B5, C1, C2, C4, C5
	BR09TH161	MN004	30U	427923	5334299	10	025/70	005/85	A5, B3	A5	A4				A5
	BR09TH162	MN004	30U	427923	5334299	5	025/70	165/60							
	BR09TH163	MN004	30U	427923	5334299	13	010/80	160/65							
	BR09TH164	MN004	30U	427923	5334299	6	010/80	155/70							
	BR09TH166	MN004	30U	427923	5334299	13	015/75	000/80					C1		B1

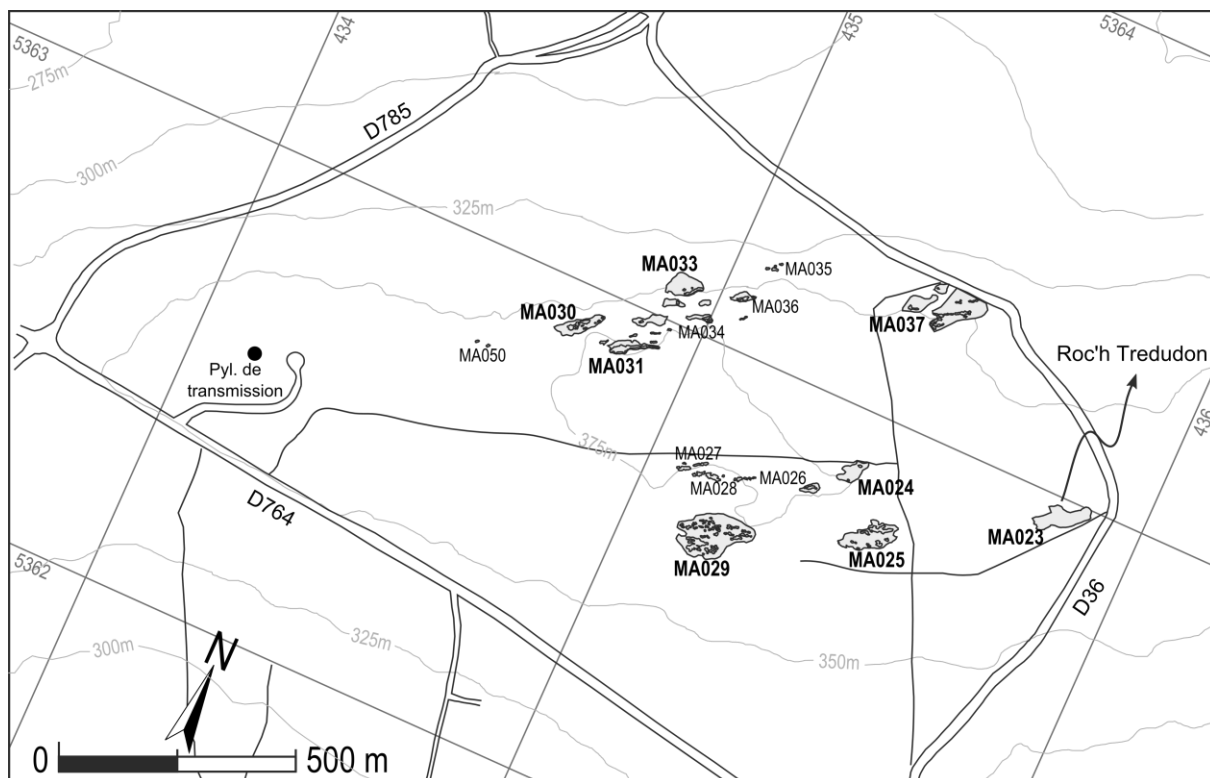
Monts d'Arrée slate belt

MASB01 – Roc'h Ar Feunteun (RAF)

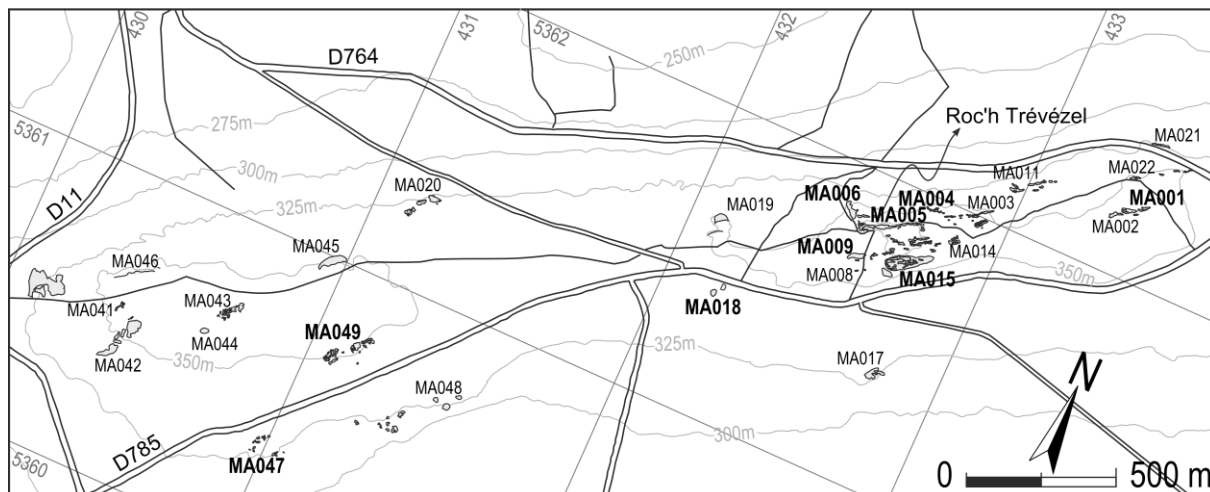


MA123: BR11TH043, BR11TH044; **MA125:** BR11TH045; **MA113:** BR11TH042, BR11TH047;
MA118: BR11TH048; **MA039:** BR11TH046

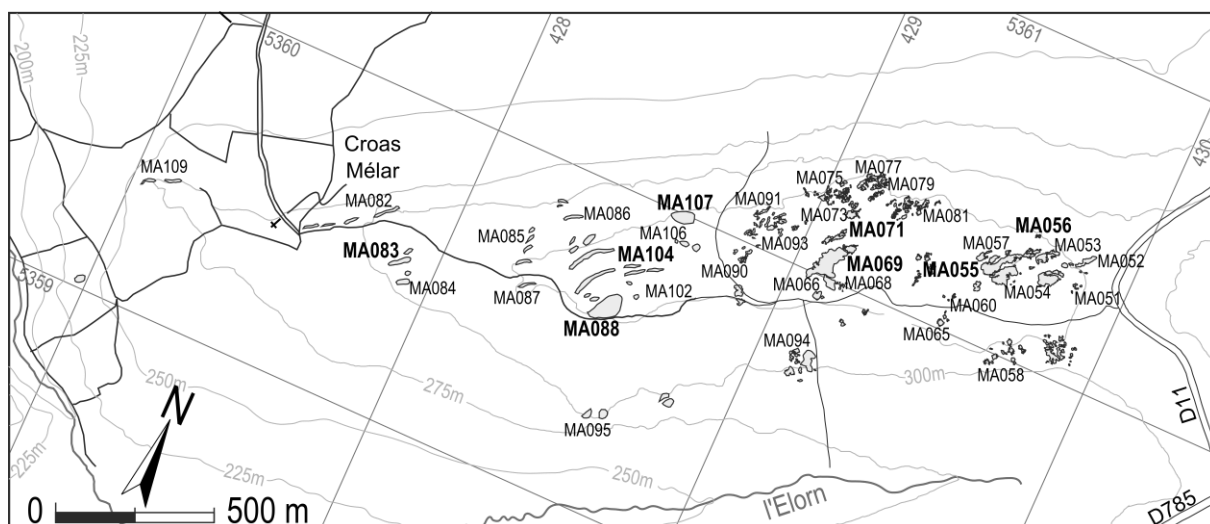
MASB02 – Roc'h Tredudon (RTD)



MA023: BR11TH049; **MA037:** BR11TH052; **MA024:** BR11TH051, BR11TH053; **MA025:** BR11TH050;
MA033: BR11TH059; **MA030:** BR11TH058; **MA031:** BR11TH057; **MA029:** BR11TH054, BR11TH055,
 BR11TH056

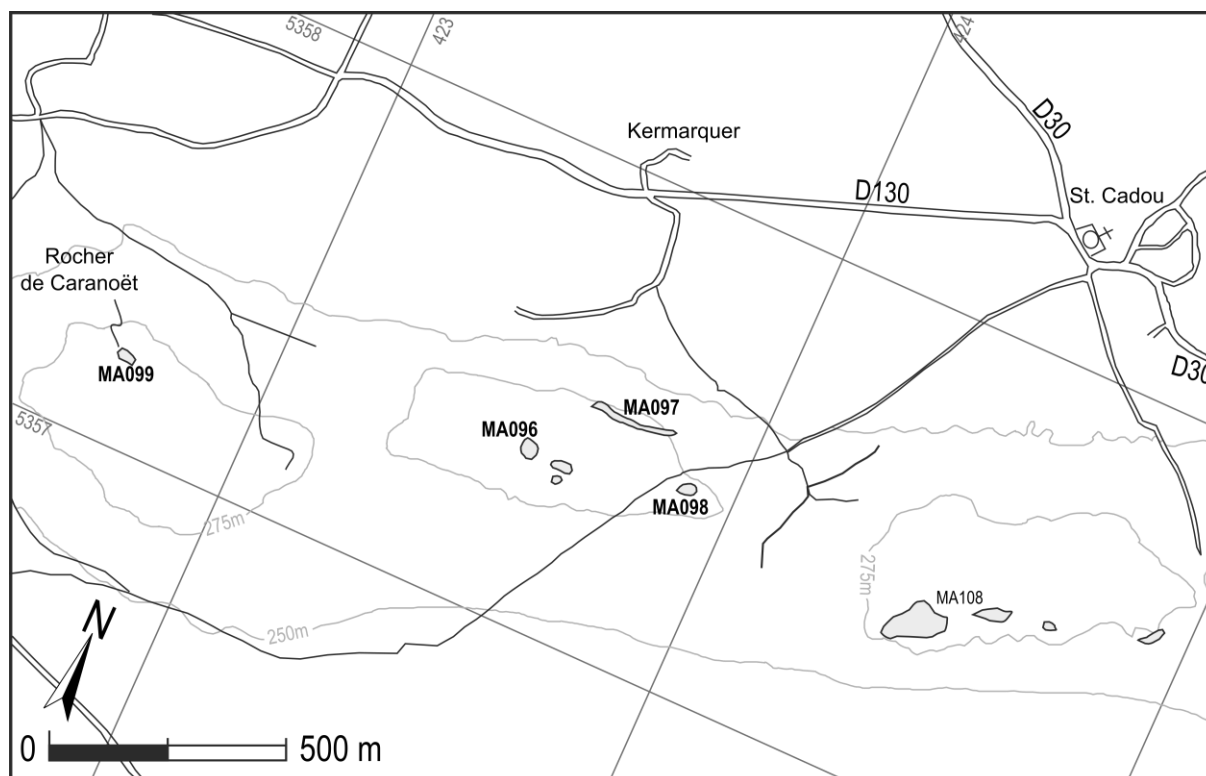
MASB03 – Roc'h Trevezel (RTV)

MA001: BR11TH060; **MA004:** BR11TH062; **MA005:** BR11TH063, BR11TH064; **MA015:** BR11TH061; **MA006:** BR09TH123, BR09TH124, BR09TH121, BR09TH127, BR09TH133, BR09TH132, BR09TH131, BR09TH129; **MA009:** BR11TH066; **MA018:** BR11TH067, BR11TH068; **MA049:** BR11TH070, BR11TH071; **MA047:** BR11TH069, BR11TH078

MASB04 – Croas Mélar (CM)

MA56: BR11TH072; **MA055:** BR11TH073; **MA071:** BR11TH075; **MA069:** BR11TH074; **MA107:** BR11TH076; **MA104:** BR11TH077; **MA088:** BR11TH080; **MA083:** BR11TH079

MASB05 – Saint-Cadou (SC)



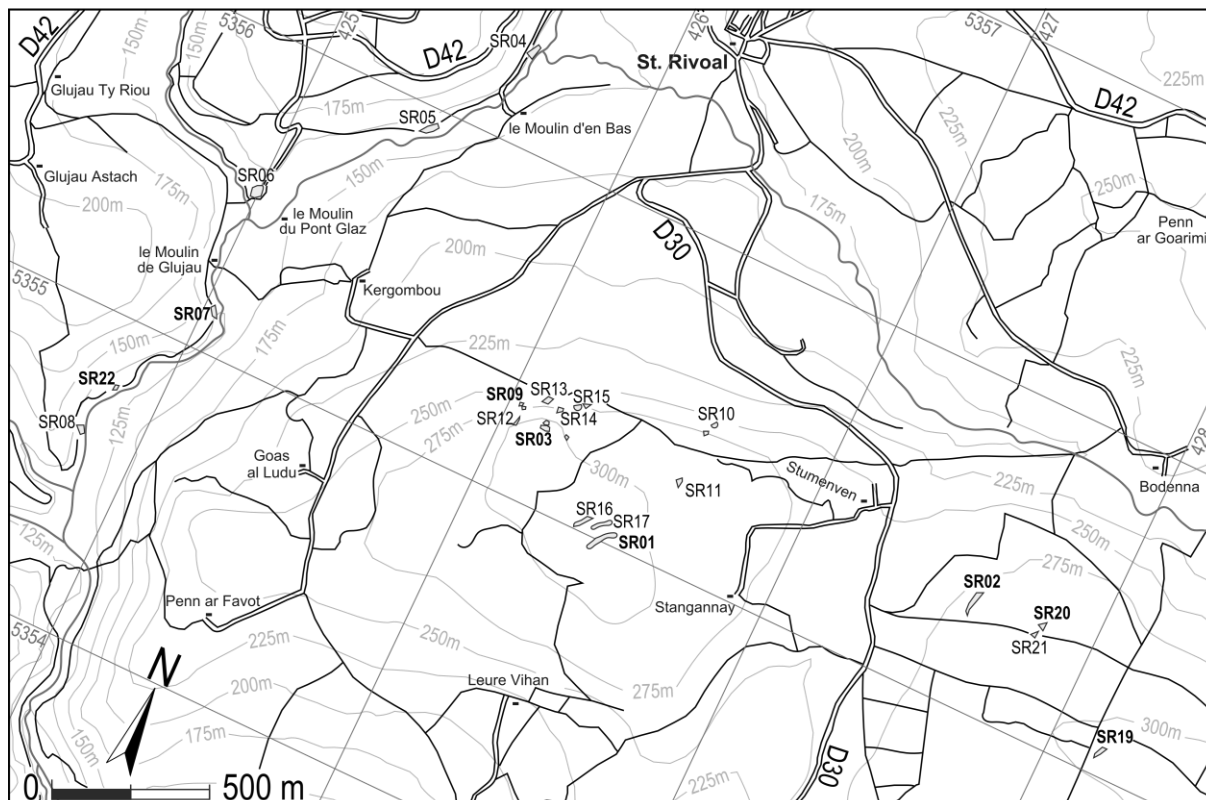
MA097: BR13TH032 ; **MA098:** BR13TH033 ; **MA096:** BR11TH081, BR11TH082 ; **MA099:** BR13TH030, BR13TH031

MASB06 – Ménez Meur (MM)



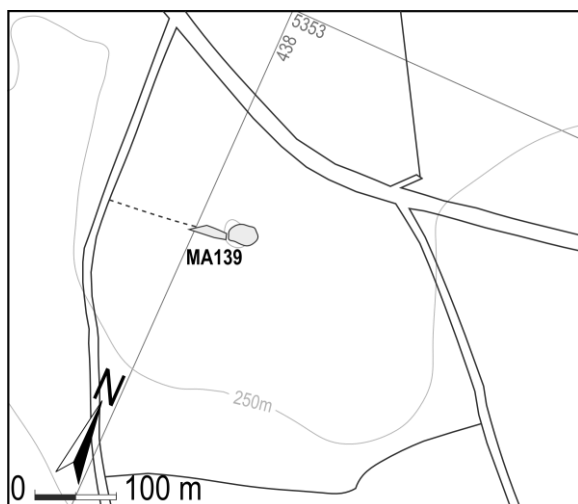
MA101: BR13TH028, BR13TH029; **MA149:** BR13TH026; **MA150:** BR13TH025; **MA145:** BR13TH027;
MA147: BR13TH024

MASB07 – Saint-Rivoal (SR)



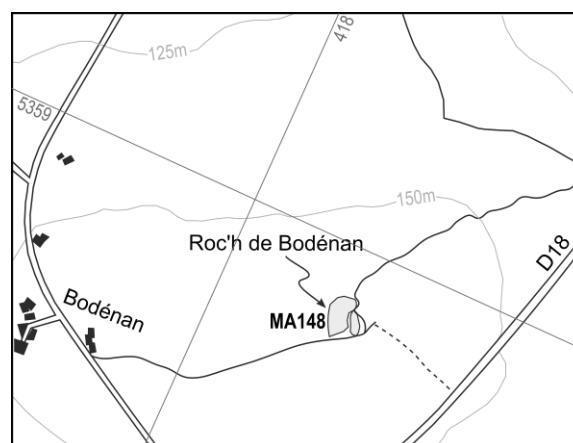
SR019: BR13TH012; **SR020:** BR13TH013; **SR002:** BR13TH014, BR13TH015; **SR001:** BR13TH016, BR13TH017, BR13TH018; **SR003:** BR09TH103; **SR009:** BR09TH107, BR09TH108, BR09TH111, BR09TH112; **SR022:** BR13TH019

MASB08 – Roc'h Beg Aour (RBA)



MA139: BR13TH009, BR13TH010, BR13TH011

MASB09 – Roc'h de Bodenan (RdB)



MA148: BR13TH021, BR13TH022, BR13TH023

Appendix 3: Mineralogy of the HSBs

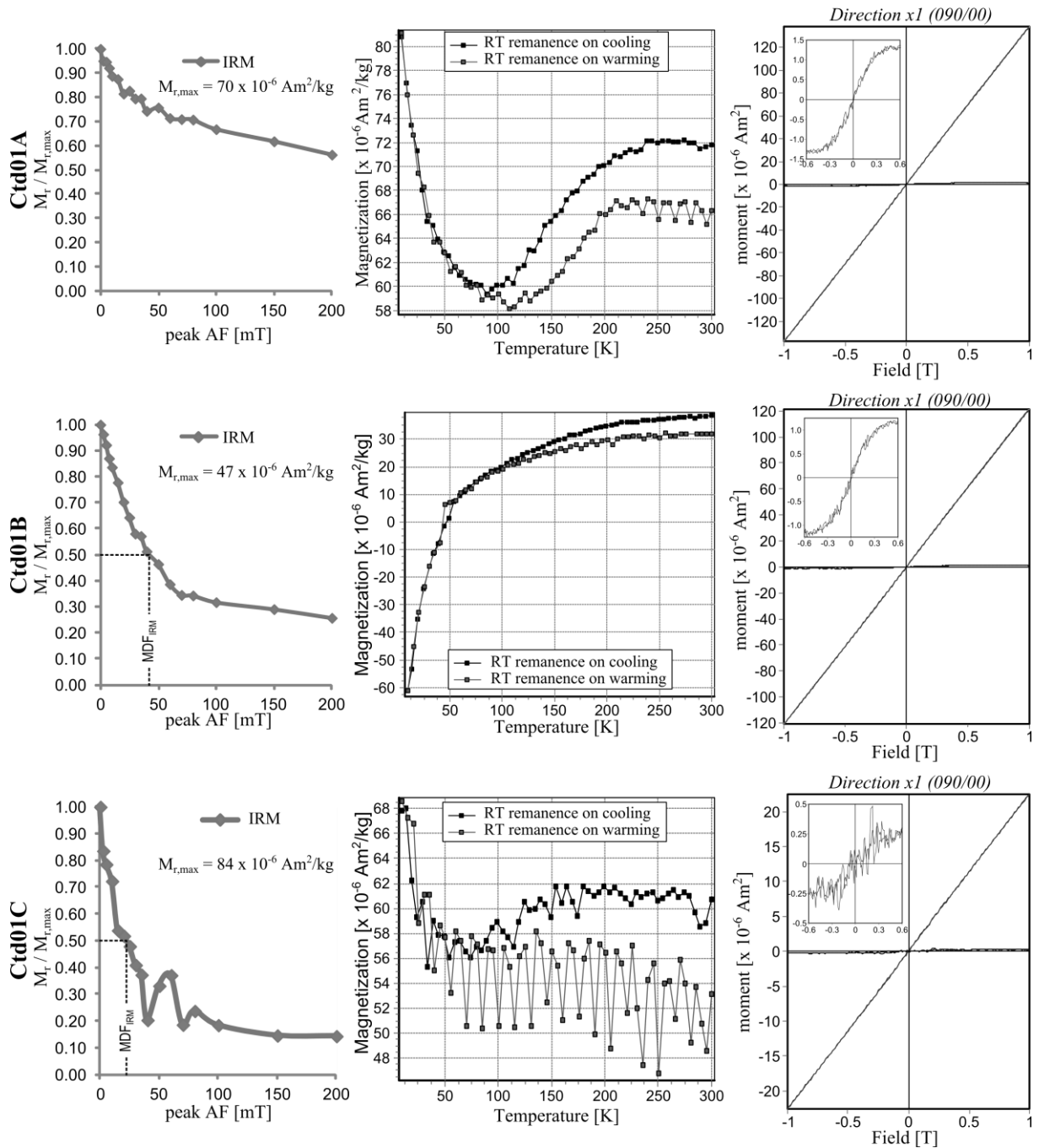
Specimen	Quartz	Pyroph.	Muscov.	Chlorite	Chloritoid	Microcl.	Kaolinite	Rutile	Qz/clay
Crozon South research area									
BR11TH016A1	39.68	19.60	20.30	13.31	0.00	0.52	4.91	1.66	0.75
BR11TH038A4	72.56	8.66	8.02	7.28	0.00	0.00	2.64	0.84	3.03
BR11TH015D2	46.49	6.20	32.33	9.84	0.00	0.72	2.39	2.02	0.96
BR11TH013B2	44.54	13.92	26.11	9.95	0.00	1.27	2.23	1.97	0.89
BR11TH036A2	40.93	10.13	30.88	14.25	0.00	0.86	1.15	1.78	0.74
BR11TH035B2	25.81	25.35	27.57	14.68	0.00	0.09	4.19	2.31	0.38
BR11TH033D2	48.68	11.73	22.84	13.68	0.00	0.97	0.56	1.53	1.01
BR11TH021B1	35.78	12.95	30.81	16.13	0.00	0.87	1.40	2.07	0.60
BR11TH085B4	32.38	21.76	24.59	13.44	0.00	0.00	6.00	1.83	0.54
BR11TH087B3	33.73	26.08	21.38	11.20	0.00	0.96	4.73	1.92	0.57
BR11TH088B1	31.08	21.78	28.11	9.69	0.00	0.00	7.33	1.99	0.52
BR11TH090B2	21.23	7.24	50.78	13.93	0.00	1.97	2.17	2.70	0.30
BR09TH034B1	55.07	26.22	7.95	10.06	0.00	0.00	0.00	0.70	1.25
BR09TH035A5	33.56	40.68	10.63	13.83	0.00	0.00	0.00	1.31	0.52
BR09TH038A4	60.15	21.90	6.82	10.33	0.00	0.00	0.00	0.80	1.54
BR09TH003A7	46.01	31.06	6.97	14.42	0.00	0.00	0.00	1.54	0.88
BR09TH004B1	44.50	25.25	7.54	21.45	0.00	0.00	0.00	1.26	0.82
BR09TH009B2	54.17	33.20	7.90	3.32	0.00	0.00	0.00	1.41	1.22
BR09TH010A2	9.98	50.04	9.75	28.42	0.00	0.00	0.00	1.81	0.11
BR09TH010A3	11.12	49.90	15.80	21.06	0.00	0.00	0.00	2.13	0.13
BR09TH011A1	36.50	40.64	9.13	12.08	0.00	0.00	0.00	1.65	0.59
BR09TH015A1	66.46	23.26	6.24	3.23	0.00	0.00	0.00	0.81	2.03
BR09TH015D2	54.14	35.18	5.24	4.83	0.00	0.00	0.00	0.61	1.20
BR09TH020B2	51.49	28.32	8.88	9.82	0.00	0.00	0.00	1.49	1.09
BR11TH002A4	19.09	27.62	27.35	14.39	0.00	0.69	8.38	2.50	0.28
Crozon North research area									
BR13TH036A1	8.64	22.98	40.69	15.01	0.00	0.71	8.53	3.43	0.11
BR13TH038E2	28.49	36.35	21.81	9.95	3.42	0.00	0.00	0.00	0.40
BR13TH041B1	12.61	24.68	31.98	15.78	4.51	0.88	6.70	2.85	0.16
BR13TH044E1	15.30	19.30	33.90	7.20	16.98	0.00	5.44	1.88	0.20
BR13TH045E1	35.49	12.24	29.47	5.20	12.90	0.00	3.34	1.36	0.59
BR09TH055B2	14.07	43.35	13.73	27.00	0.00	0.00	0.00	1.85	0.17
BR13TH049C1	72.35	2.32	18.32	2.72	0.00	0.53	2.16	1.59	3.10
BR09TH043D1	12.75	43.50	2.10	39.92	0.00	0.00	0.00	1.74	0.15
BR09TH049A3	57.99	23.92	9.16	7.89	0.00	0.00	0.00	1.04	1.42
BR09TH056B1	16.92	53.87	17.08	10.38	0.00	0.00	0.00	1.76	0.21
BR09TH060A1	46.41	29.66	12.91	9.83	0.00	0.00	0.00	1.20	0.89
BR09TH063B5	69.98	4.37	5.95	18.87	0.00	0.00	0.00	0.84	2.40
Monts d'Arrée slate belt research area									
BR11TH044B2	35.31	0.00	38.55	6.36	19.68	0.00	0.00	0.00	0.55
BR11TH047C1	63.07	0.00	16.90	3.15	16.88	0.00	0.00	0.00	1.71
BR11TH049B1	61.04	0.00	24.43	2.13	9.66	0.00	2.66	0.00	1.69
BR11TH059B3	21.15	0.00	50.93	1.19	25.94	0.00	0.84	0.00	0.27
BR11TH056C2	60.57	0.00	23.77	3.04	12.05	0.00	0.56	0.00	1.56
BR09TH121B4	52.48	0.00	24.86	5.64	17.02	0.00	0.00	0.00	1.10
BR09TH123A3	42.29	0.00	26.54	0.00	29.50	0.00	1.68	0.00	0.75

Specimen	Quartz	Pyroph.	Muscov.	Chlorite	Chloritoid	Microcl.	Kaolinite	Rutile	Qz/clay
BR09TH127A2	52.21	0.00	24.18	4.78	18.82	0.00	0.00	0.00	1.09
BR09TH129B4	38.81	0.00	46.01	0.00	15.18	0.00	0.00	0.00	0.63
BR09TH131B2	33.00	0.00	47.97	3.78	15.25	0.00	0.00	0.00	0.49
BR09TH131B4	32.25	0.00	46.87	4.03	16.85	0.00	0.00	0.00	0.48
BR09TH132C2	37.06	0.00	42.70	1.69	18.55	0.00	0.00	0.00	0.59
BR09TH133A5	51.04	0.00	34.91	0.00	14.06	0.00	0.00	0.00	1.04
BR11TH071B3	37.93	0.00	34.89	3.77	20.65	0.00	2.69	0.00	0.64
BR11TH078B4	28.90	0.00	45.49	5.49	20.15	0.00	0.00	0.00	0.41
BR11TH074B1	50.58	0.00	28.42	3.77	16.40	0.00	0.78	0.00	1.04
BR11TH076B1	32.82	0.00	29.52	22.66	14.99	0.00	0.00	0.00	0.49
BR11TH077B5	34.42	0.00	41.36	5.48	13.75	0.00	4.94	0.00	0.57
BR13TH032D2	33.44	0.00	40.55	5.81	17.88	0.00	2.27	0.00	0.52
BR13TH030A4	37.36	0.00	40.59	0.53	20.41	0.00	1.11	0.00	0.61
BR13TH026C4	60.18	0.00	24.05	4.97	8.64	0.00	2.15	0.00	1.60
BR13TH024C2	52.54	0.00	29.07	4.30	14.14	0.00	0.00	0.00	1.11
BR13TH014B4	32.53	0.00	38.25	5.67	21.12	0.00	2.42	0.00	0.50
BR09TH103B2	45.17	0.00	22.44	0.00	32.39	0.00	0.00	0.00	0.82
BR09TH107A7	41.14	0.00	41.90	3.45	13.51	0.00	0.00	0.00	0.70
BR09TH112A3	33.91	0.00	43.07	2.18	20.83	0.00	0.00	0.00	0.51
BR13TH019A4	69.89	0.00	17.14	2.24	8.18	0.00	2.54	0.00	2.54
BR13TH009A2	26.61	0.00	45.28	7.85	18.63	0.00	1.58	0.00	0.37
BR13TH022D1	31.77	0.00	34.27	18.61	14.14	0.00	1.21	0.00	0.47
BR13TH034B2	40.60	0.00	40.53	2.55	16.18	0.00	0.22	0.00	0.69
Montagnes Noires slate belt research area									
BR13TH002A2	44.97	0.00	23.72	4.08	27.25	0.00	0.00	0.00	0.82
BR13TH005A3	32.58	0.00	30.61	4.80	31.59	0.00	0.43	0.00	0.49
BR13TH006B4	26.09	0.00	30.87	17.89	23.22	0.00	1.92	0.00	0.36
BR13TH007D2	35.86	0.00	36.84	3.46	23.31	0.00	0.54	0.00	0.56
BR13TH008B3	29.38	0.00	54.33	3.43	11.09	0.00	1.73	0.00	0.43
BR09TH142A3	45.81	0.00	31.02	0.00	23.17	0.00	0.00	0.00	0.85
BR09TH148C1	44.47	0.00	29.38	6.17	19.98	0.00	0.00	0.00	0.80
BR09TH153A9	42.07	0.00	36.27	1.70	19.96	0.00	0.00	0.00	0.73
BR09TH159C1	69.04	0.00	15.22	0.00	15.75	0.00	0.00	0.00	2.23
BR09TH159C2	67.87	0.00	19.92	0.00	12.21	0.00	0.00	0.00	2.11
BR09TH159C4	63.74	0.00	15.85	3.14	15.56	0.00	1.70	0.00	1.84
BR09TH160A2	72.99	0.00	13.23	3.15	10.63	0.00	0.00	0.00	2.70
BR09TH160C1	78.08	0.00	13.69	1.88	6.35	0.00	0.00	0.00	3.56
BR09TH166C1	39.87	0.00	14.96	0.00	43.11	0.00	2.06	0.00	0.69

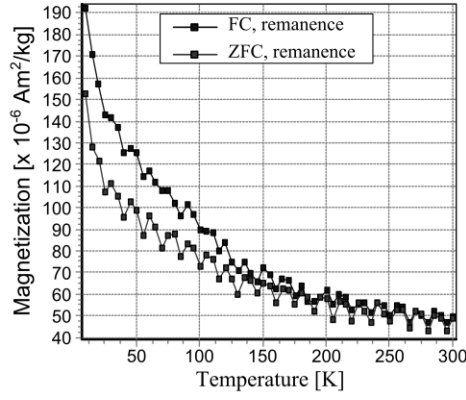
Appendix 4: Remanence experiments chloritoid single crystals

The results of the magnetic remanence experiments and a hysteresis loop are shown for all analyzed specimens. The results are organized per specimen, with the IRM (& ARM) demagnetization curve on the left, the low-temperature cycling of the room temperature SIRM in the center and a hysteresis loop, measured within the basal plane and with an inset showing a detail of the ferromagnetic loop after paramagnetic correction, on the right. For specimens Ctd01C and Ctd07B, and additional experiment is carried out that compares the thermal demagnetization to room temperature of a SIRM acquired at low temperature (10 K) after zero field cooling (ZFC) with a SIRM acquired during cooling, i.e. field-cooling (FC).

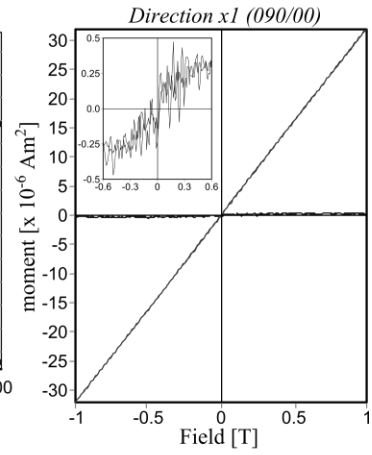
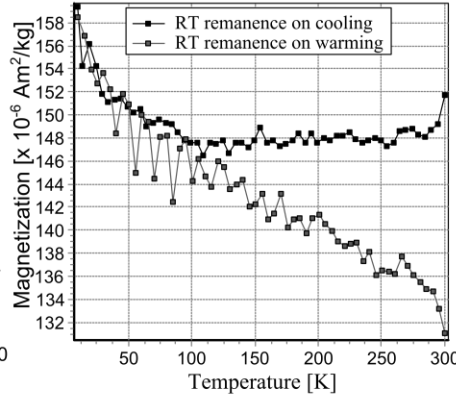
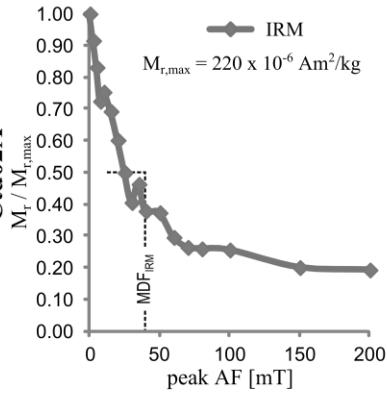
The demagnetization curves and ferromagnetic loops are always measured on the original-size specimen, just as the low-temperature cycling of the SIRM for specimens Ctd01C, Ctd02A, Ctd03A, Ctd04A-C and Ctd07B-C. The low-temperature cycling of the SIRM for specimens Ctd01A-B, Ctd05A-B and Ctd07A are carried out on the daughter specimen and for specimens Ctd05C and Ctd06A-D on a small chip of the original specimen.



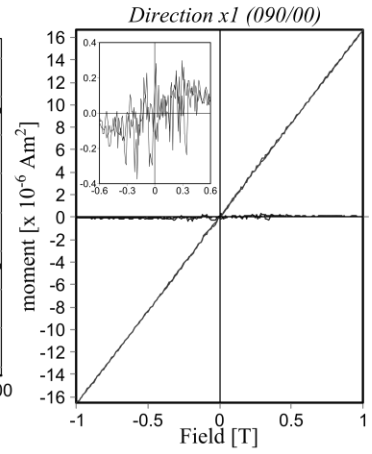
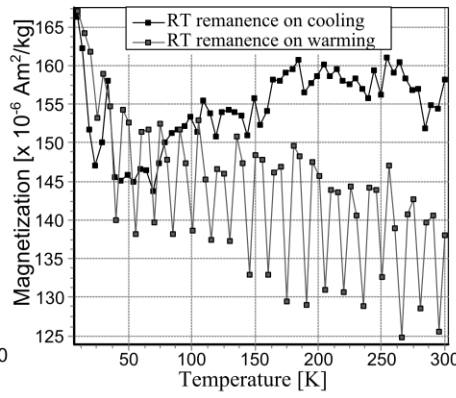
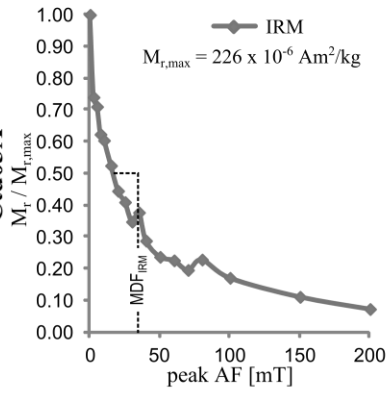
Ctd01C



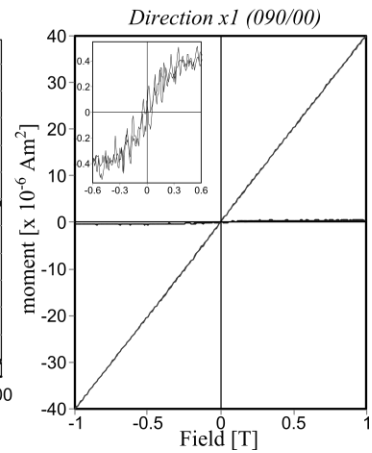
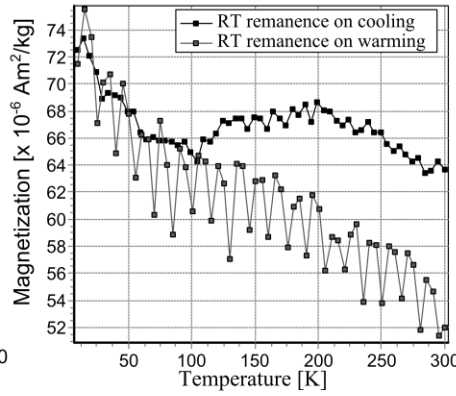
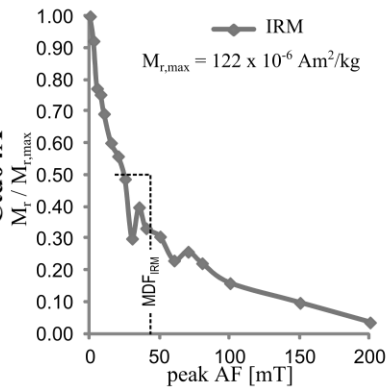
Ctd02A

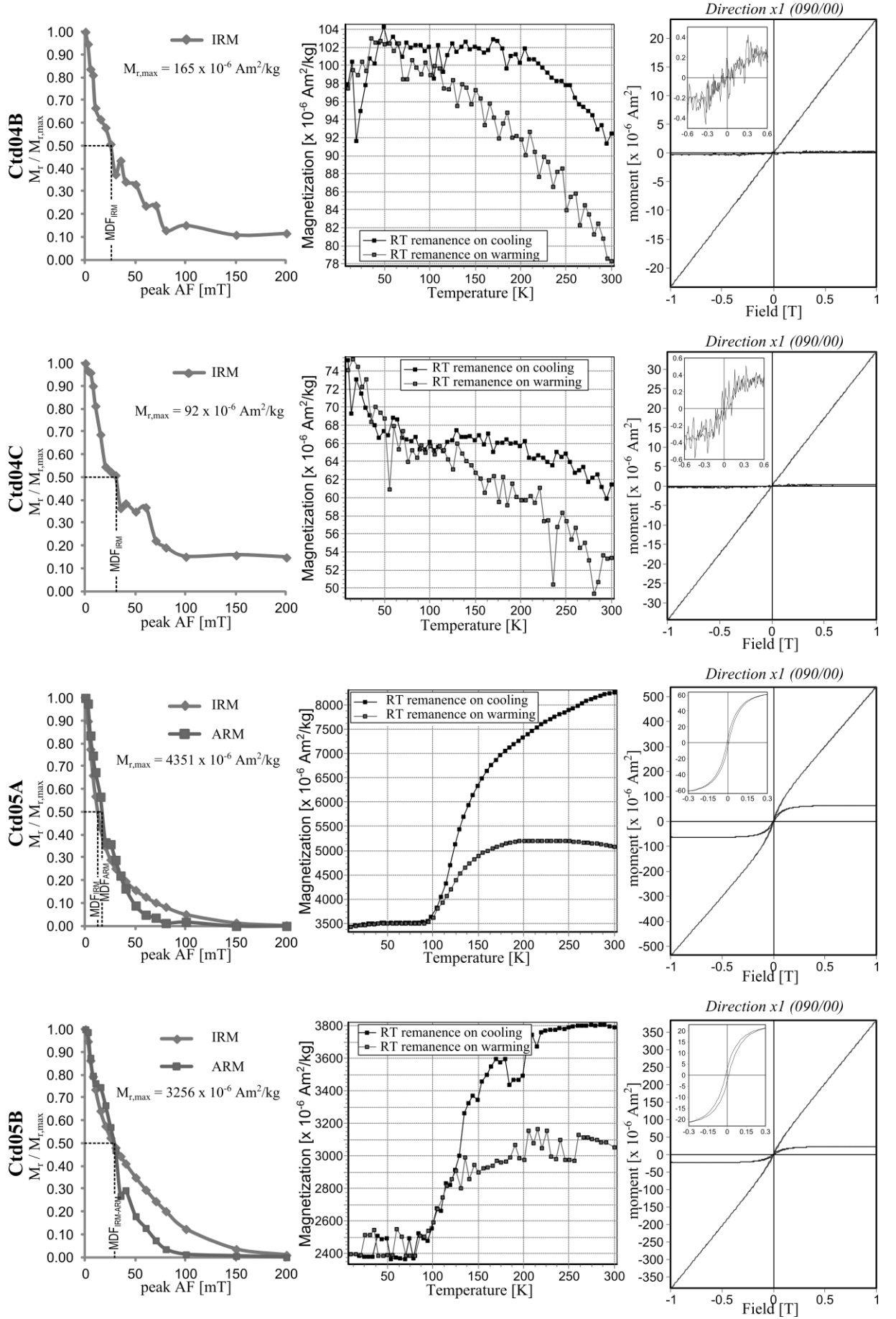


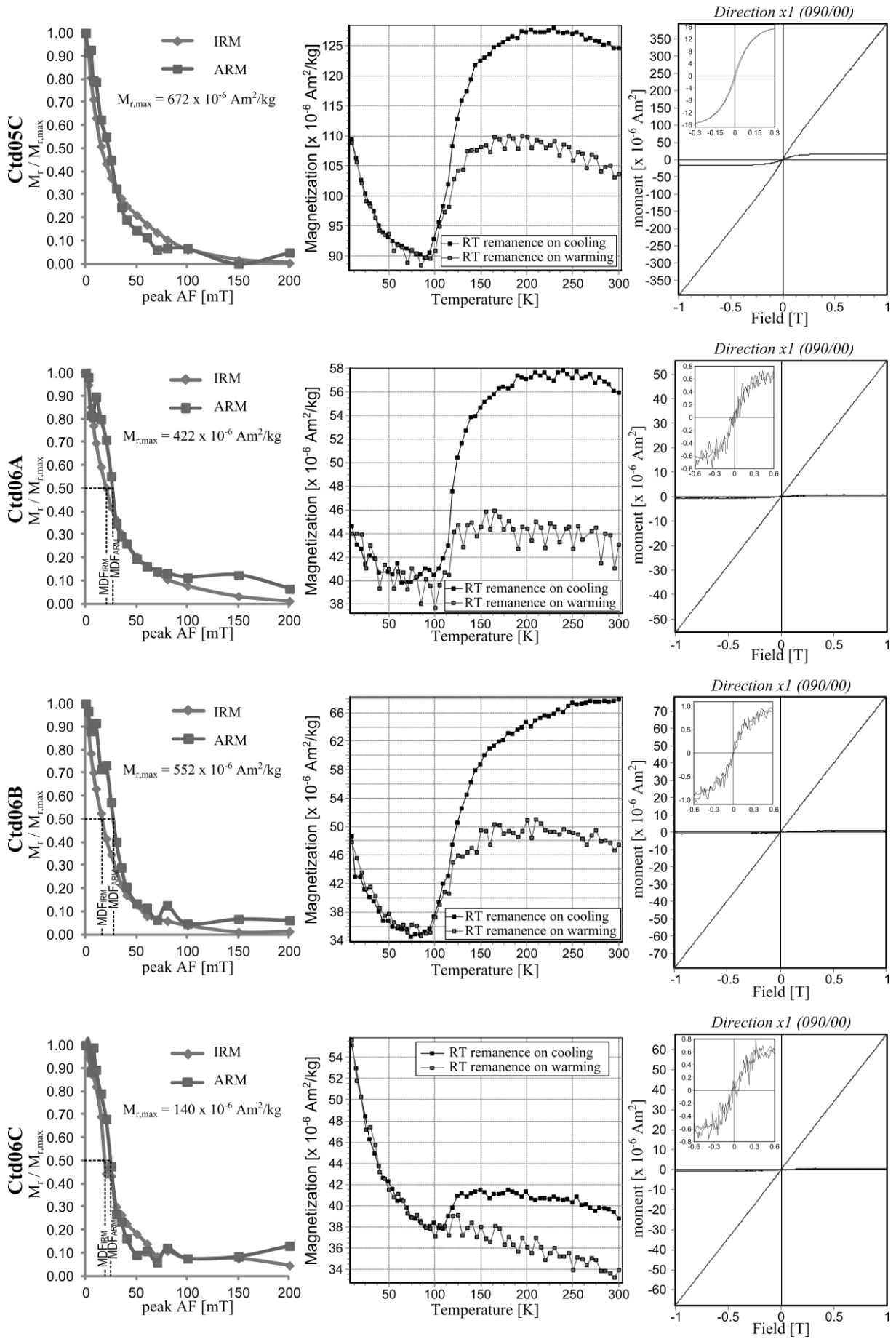
Ctd03A

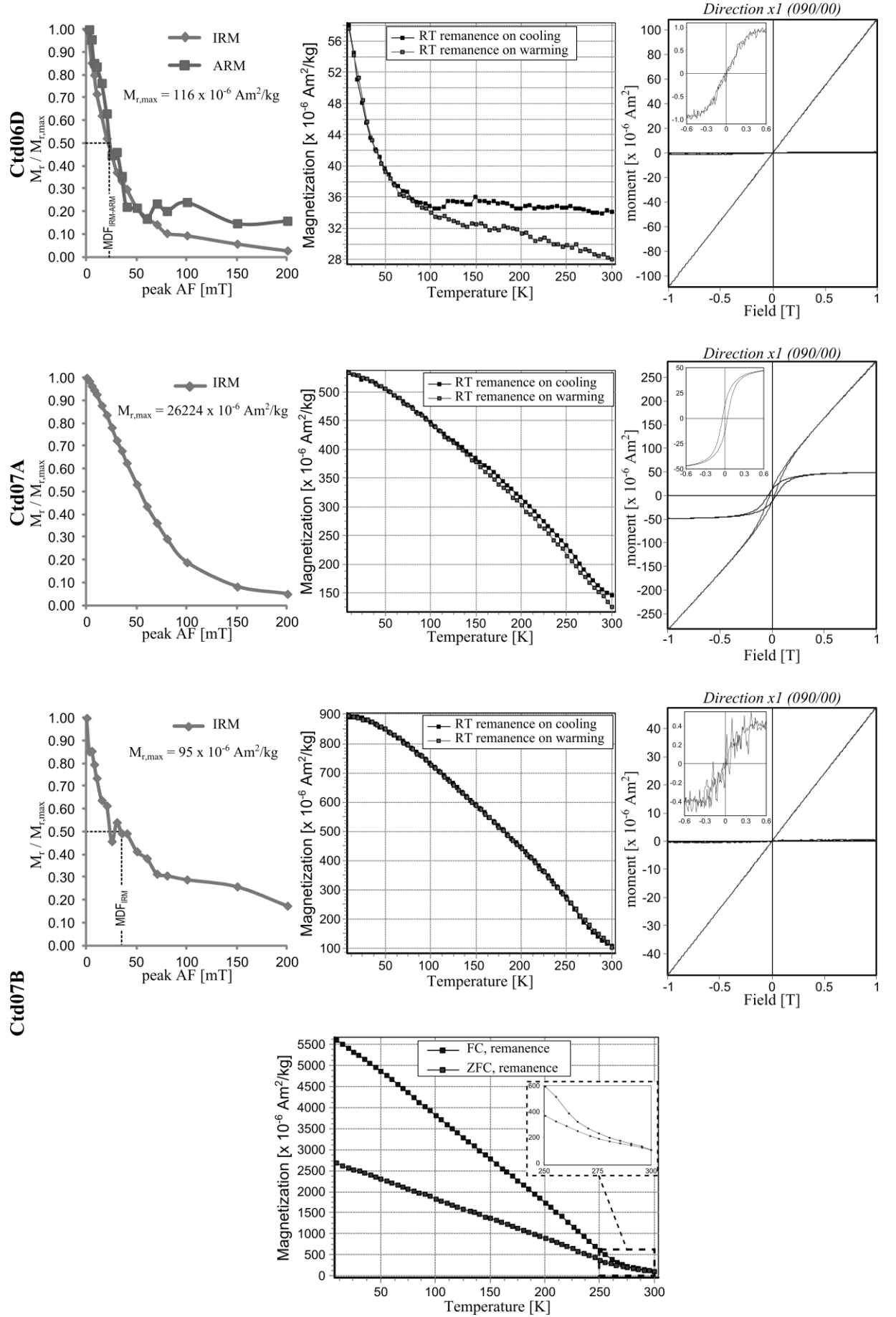


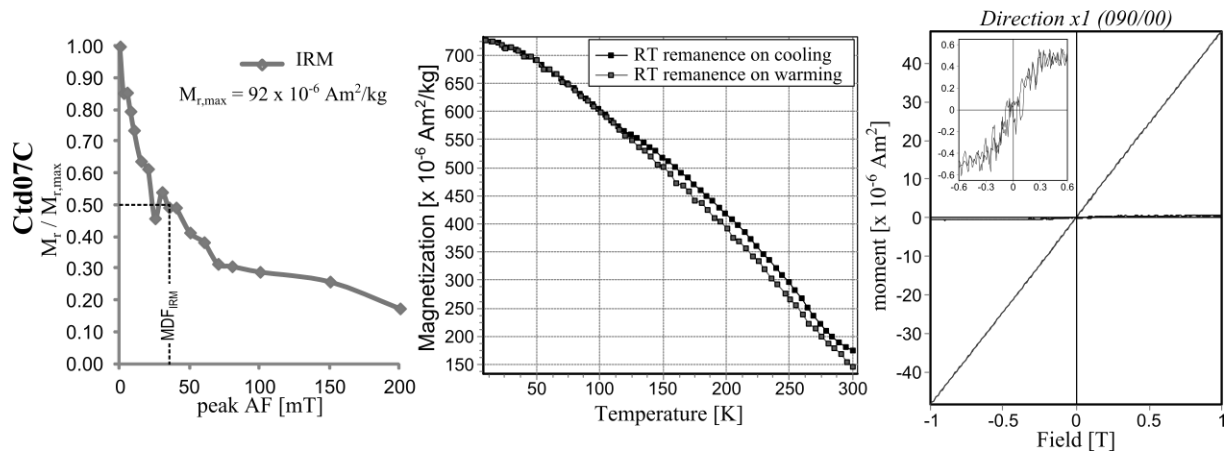
Ctd04A





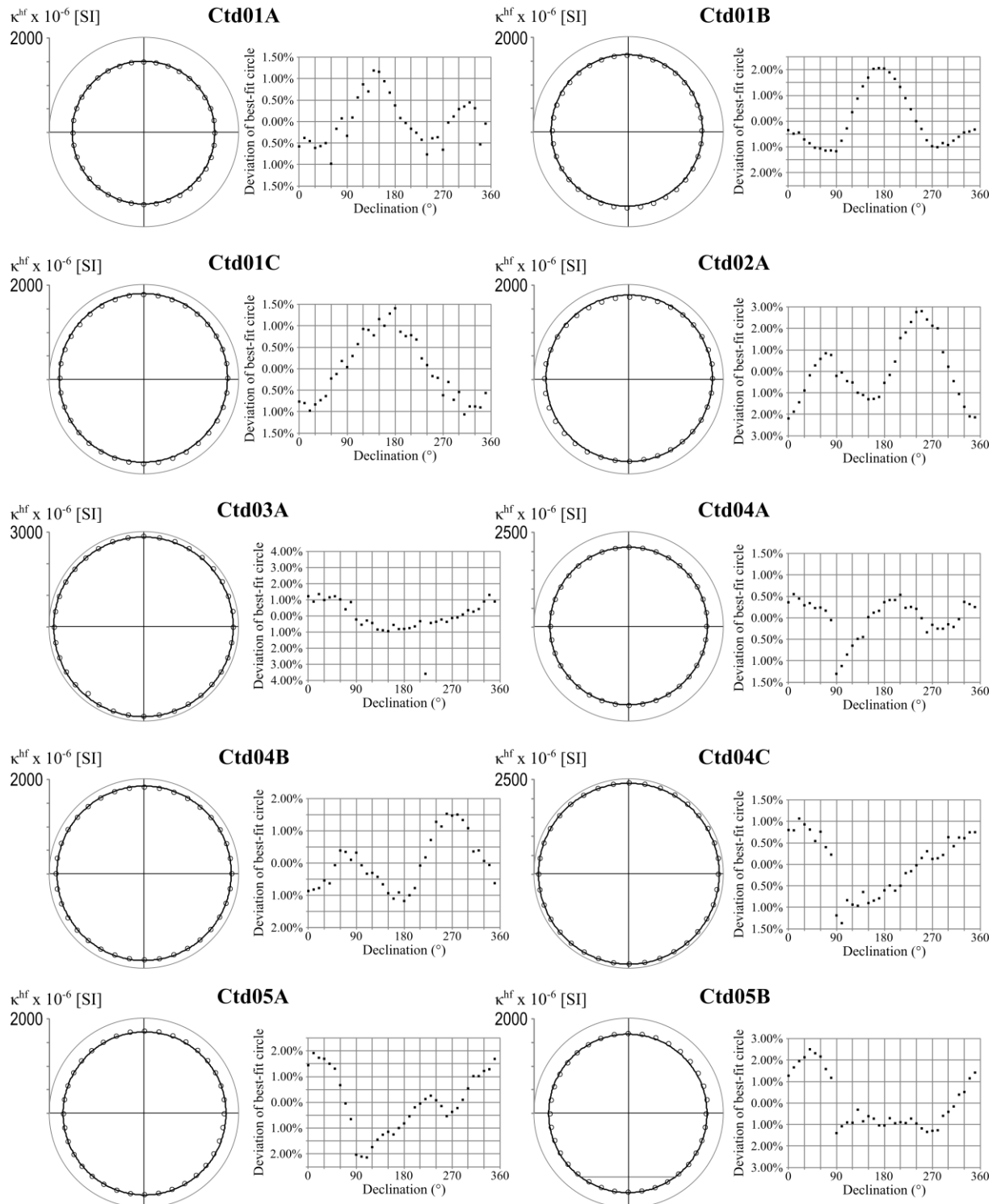


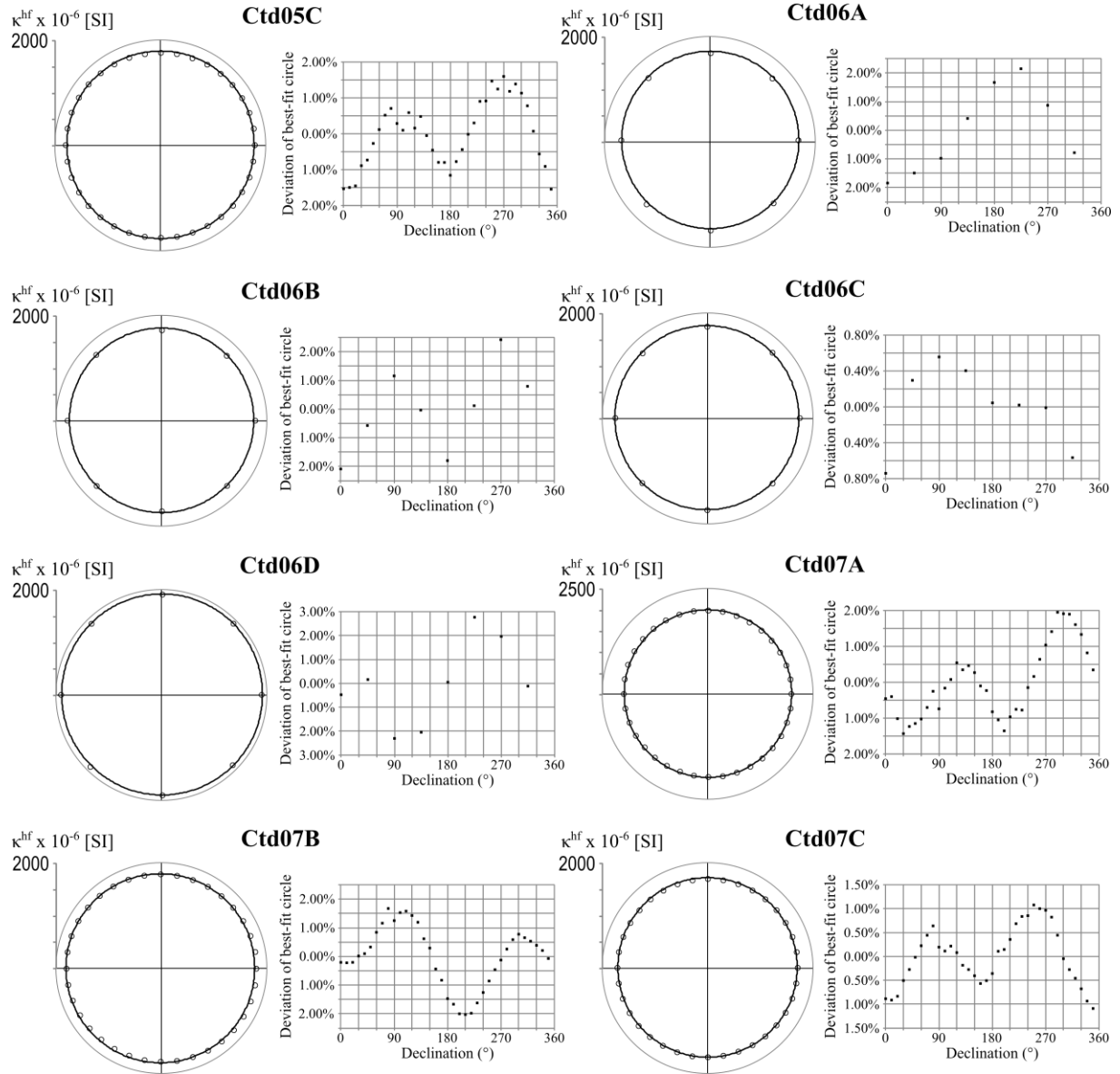




Appendix 5: Magnetic susceptibility within the chloritoid crystals' basal plane

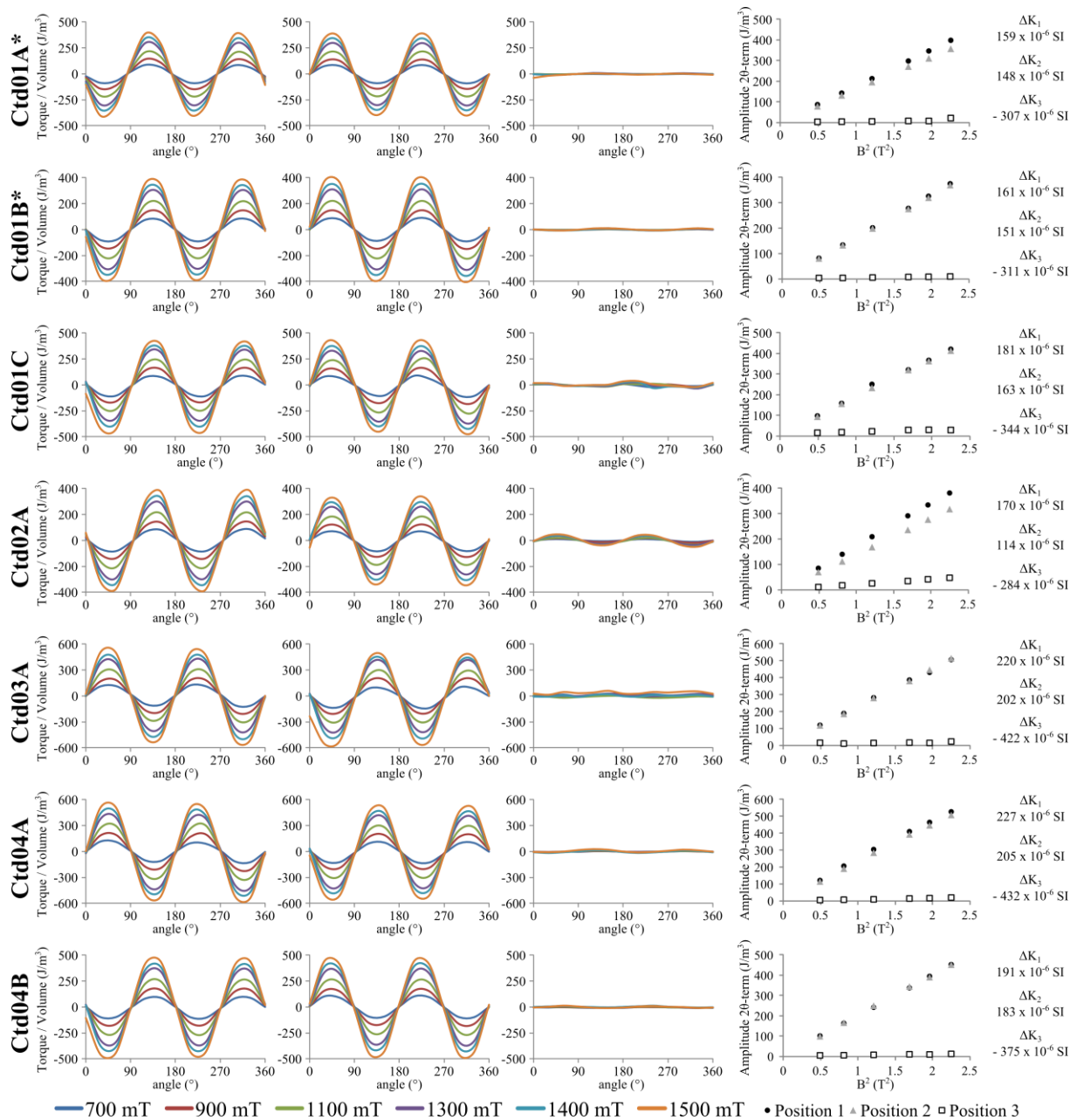
The results of the detailed high field magnetic susceptibility (κ^{hf}) measurements within the basal plane are shown for all analyzed specimens. For every specimen, the left figure shows κ^{hf} in function of its orientation within the basal plane with the x-axis of the specimen along the vertical and the y-axis along the horizontal, together with a best-fit circle. The figure on the right shows a plot of the residual value between κ^{hf} and the best-fit circle in function of its orientation within the basal plane. The analysis is performed with a 10° rotation increment, except for the specimens of Ctd06 which have κ^{hf} measurements every 45° .

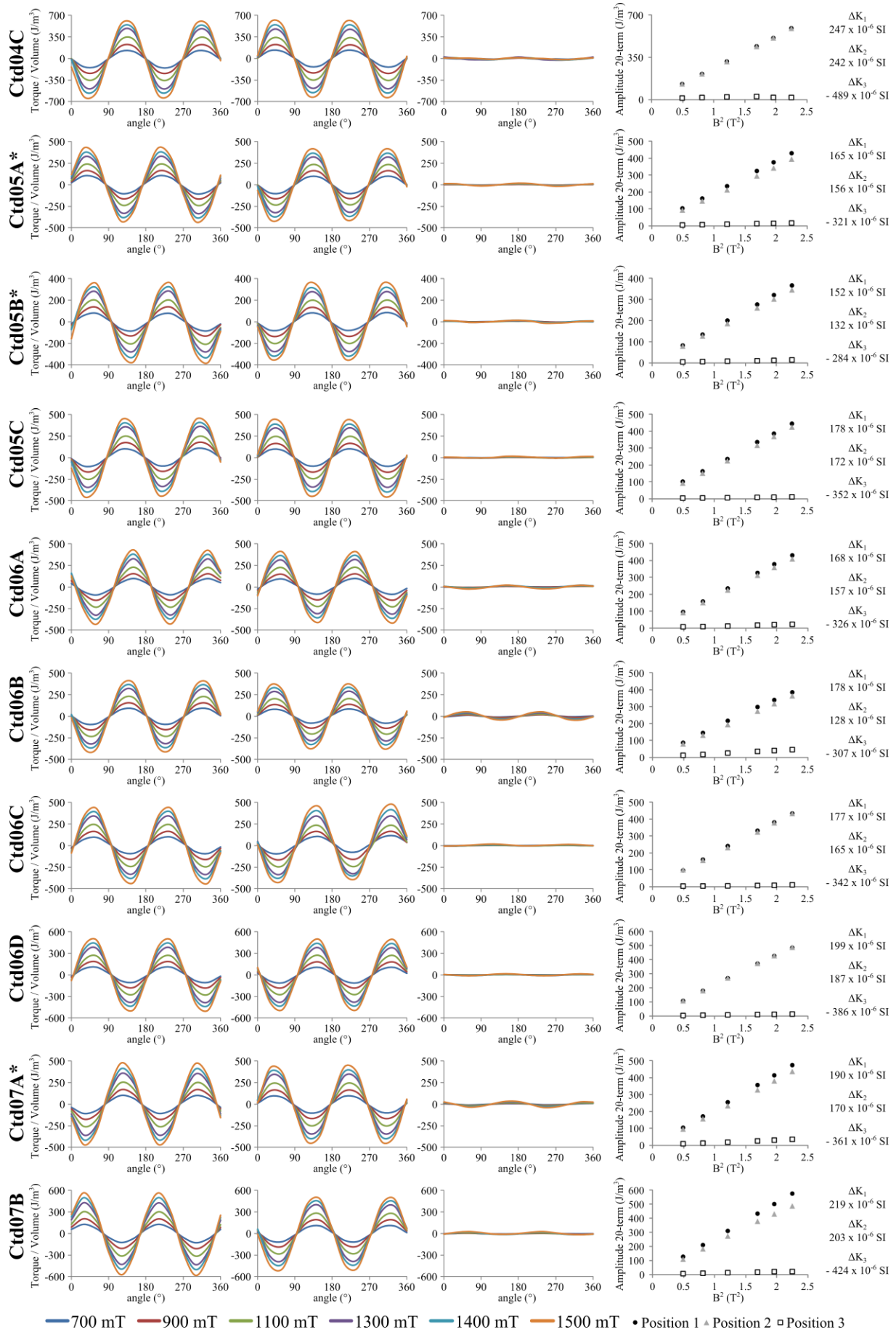


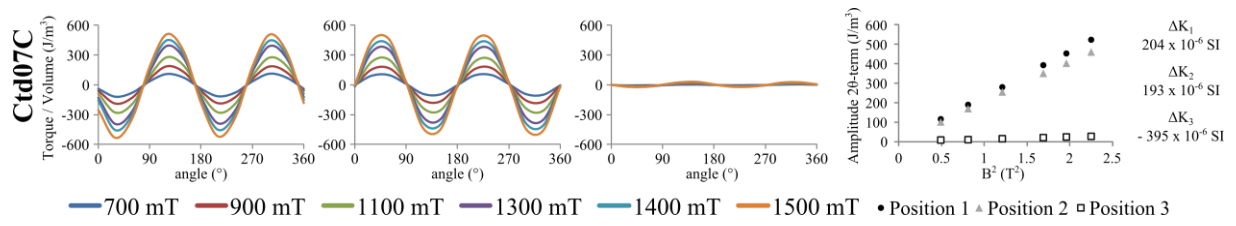


Appendix 6: Torque magnetometry of the chloritoid single crystal specimens

The results of the high field torque analysis are shown for all analyzed specimens. For every specimen, the torque per unit volume is shown for the three measured, orthogonal planes as a function of angle for 6 different magnetic fields, i.e. 700 mT, 900 mT, 1100 mT, 1300 mT, 1400 mT and 1500 mT. The first two positions (1 and 2) are rotations around the orthogonal axes in the basal plane and position 3 is a rotation around the orthogonal axis perpendicular to the basal plane. The plot on the right shows the amplitude of the 2 θ -term as a function of the inducing magnetic field squared (B^2) for the three orthogonal measurement positions. The high amplitude of the 2 θ -term for positions 1 and 2 indicates a strong tendency of the specimen to rotate itself with the easy axis parallel to the applied field at these angles, demonstrating a very high anisotropy. Upon rotating the specimen with the basal plane within the applied field, the induced torque is much weaker. These data are used to determine the high-field, deviatoric susceptibility tensor. The calculated deviatoric eigenvalues (ΔK_1 , ΔK_2 , ΔK_3), i.e. the absolute difference between the mean susceptibility and the principal susceptibilities, are given on the far right.



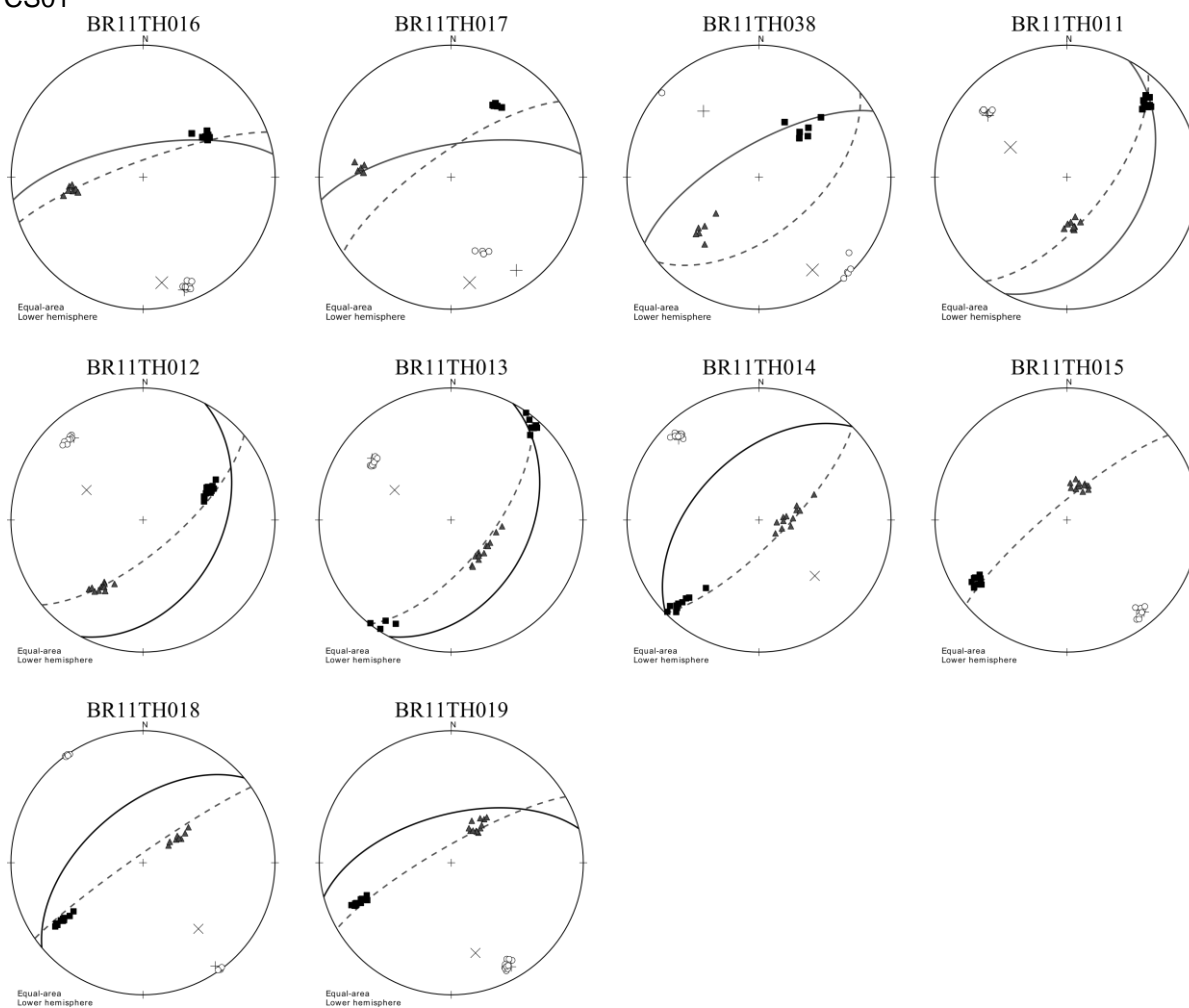




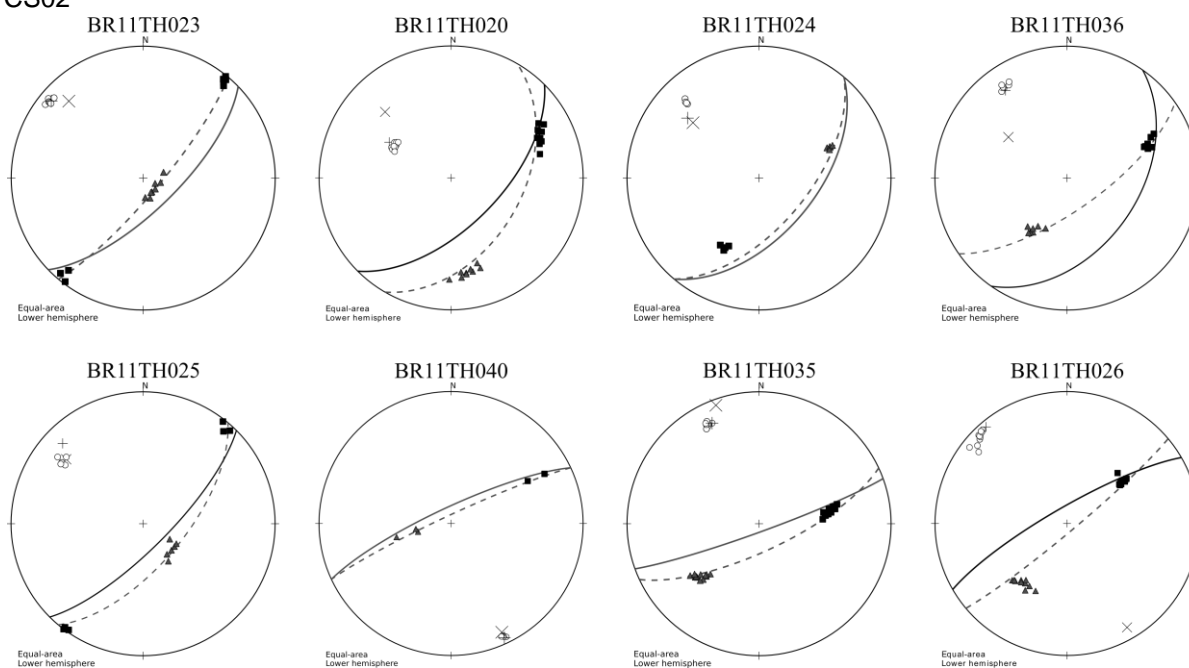
Appendix 7.1: Orientations of the low-field AMS (stereoplot per sample)

Crozon south research area (CS)

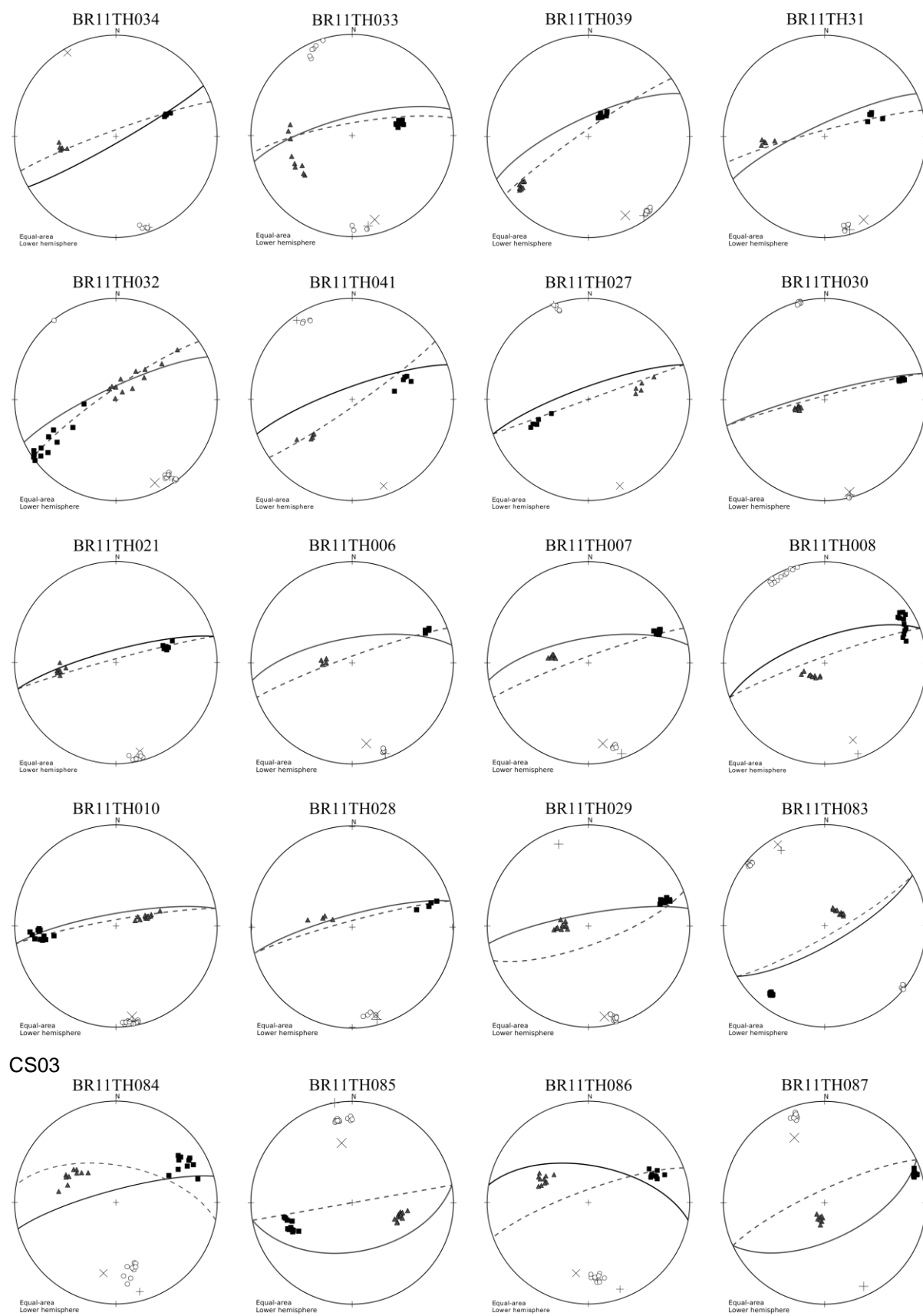
CS01



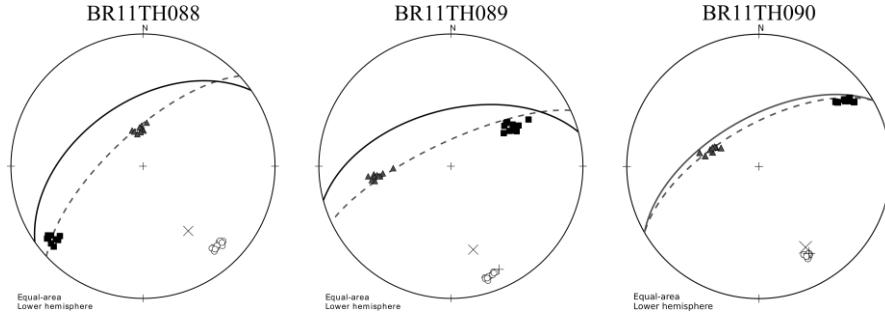
CS02



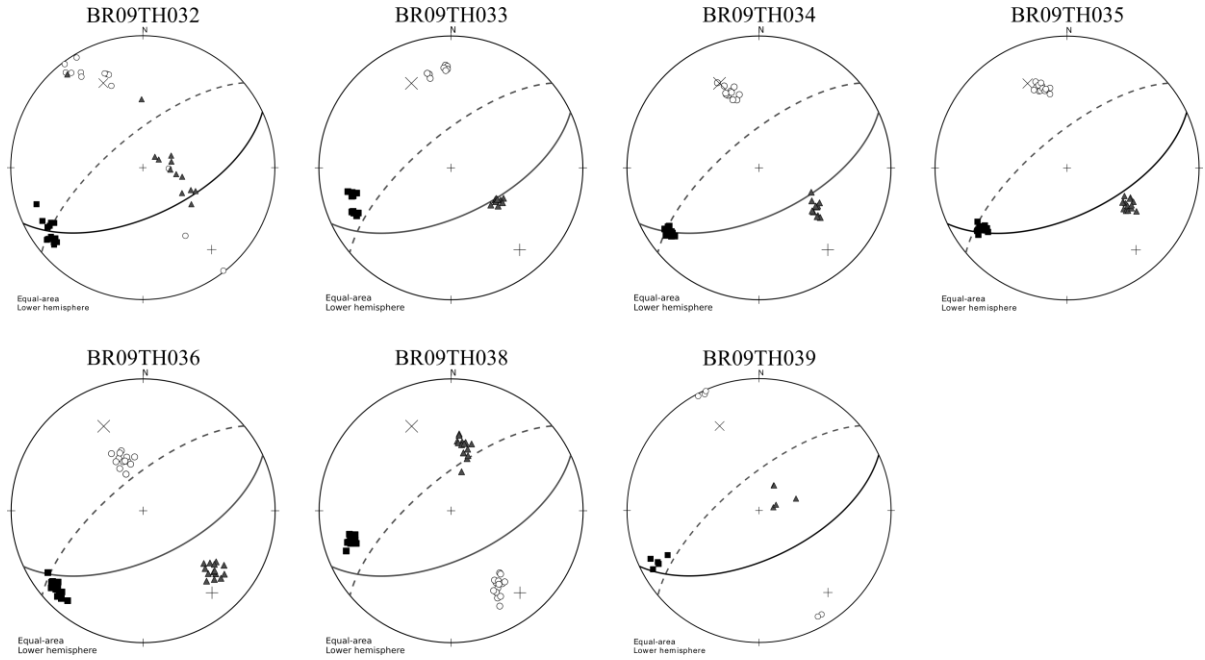
APPENDIX 7.1: AMS ORIENTATIONS (STEREOPLOTS)



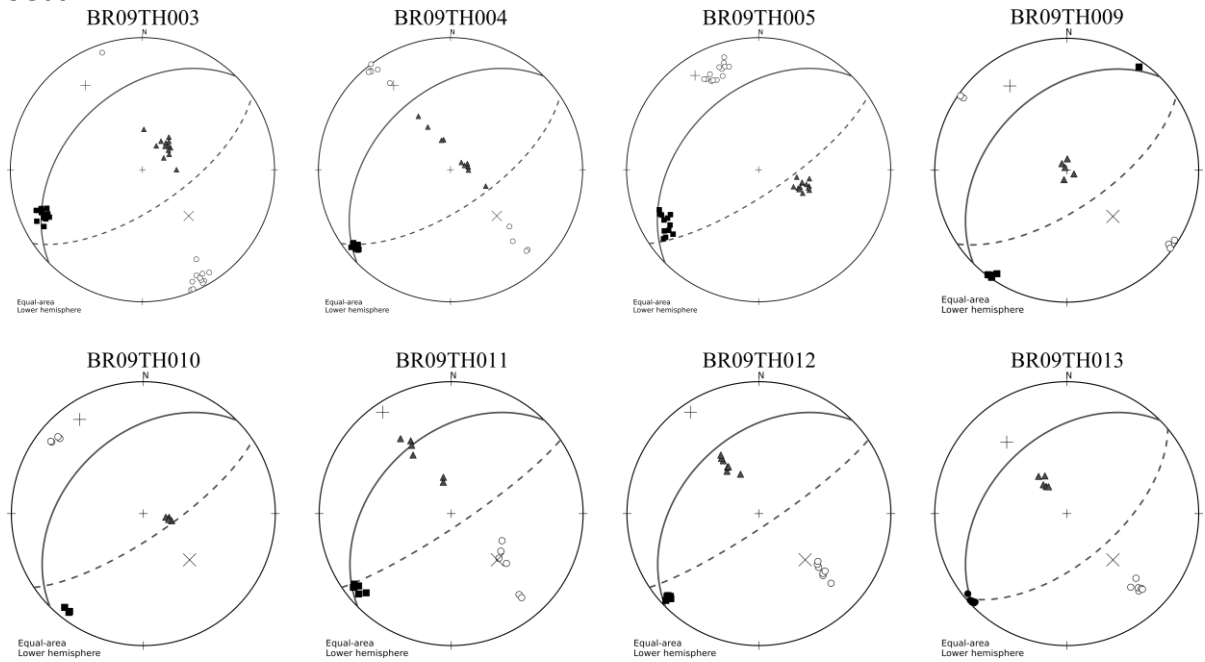
CS04



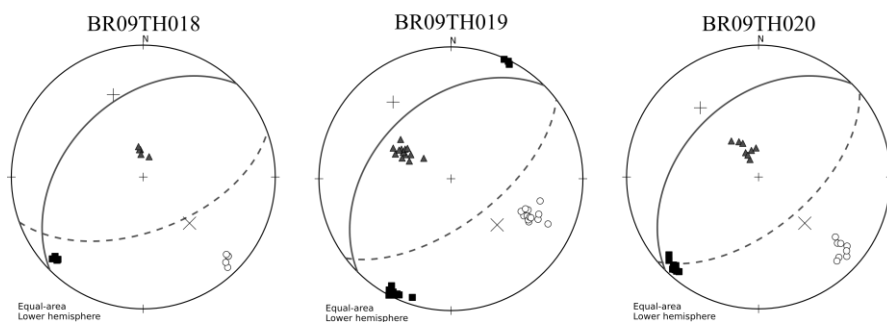
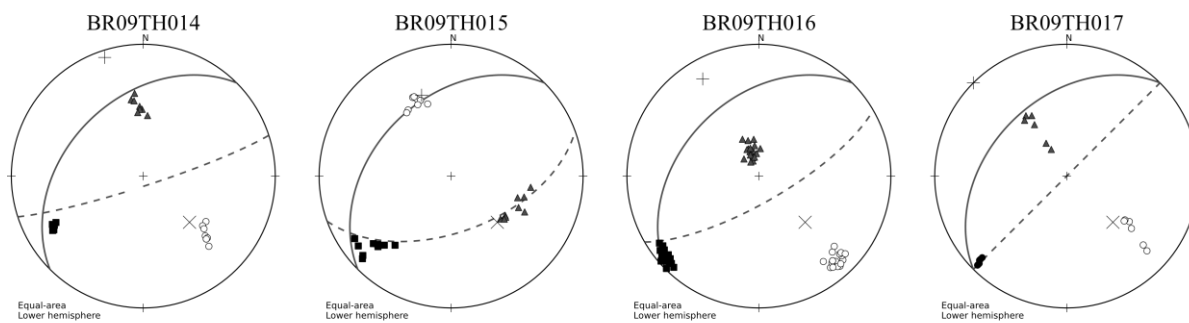
CS05



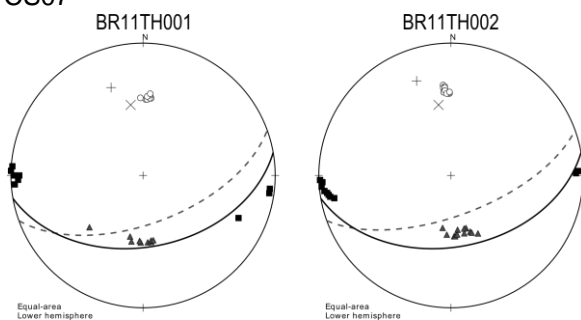
CS06



APPENDIX 7.1: AMS ORIENTATIONS (STEREOPLOTS)

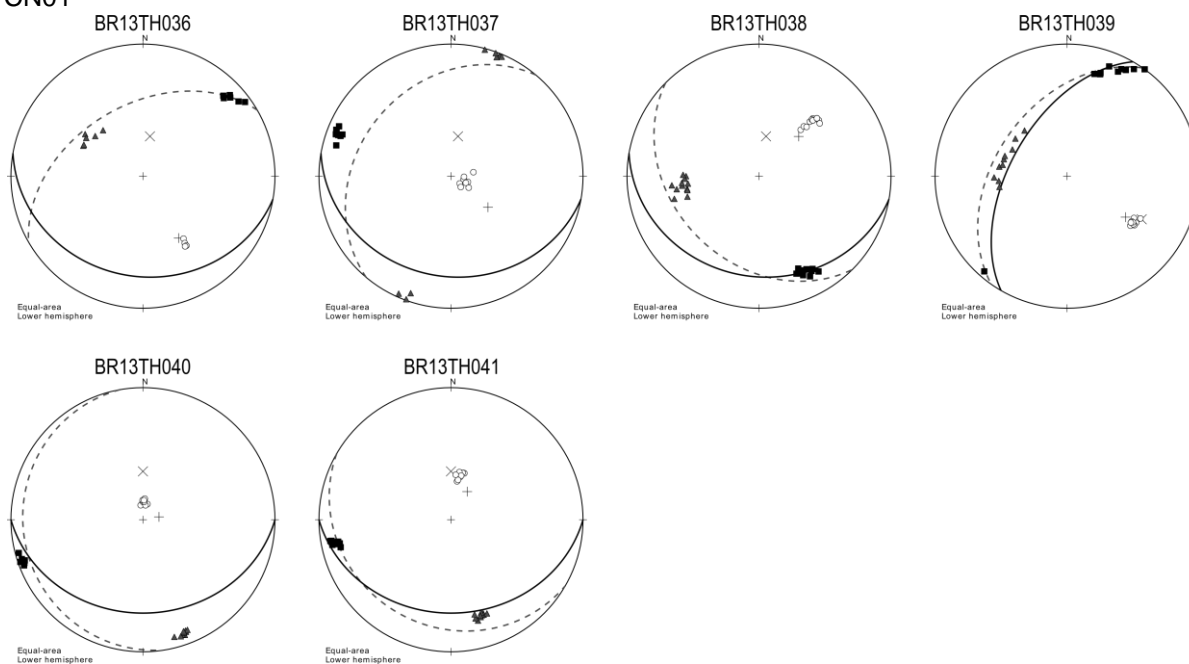


CS07

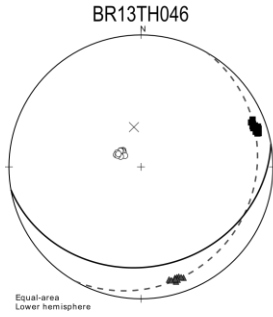
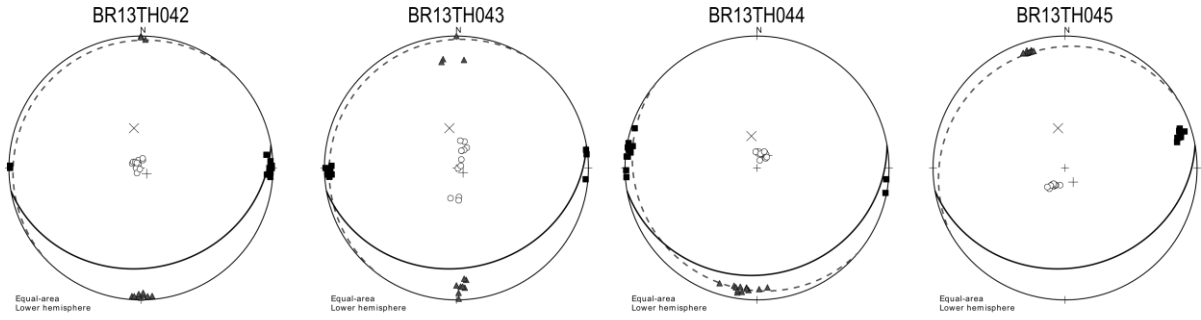


Crozon north research area (CN)

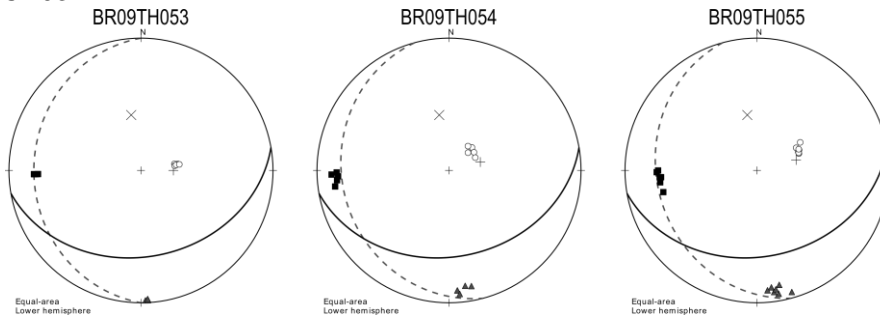
CN01



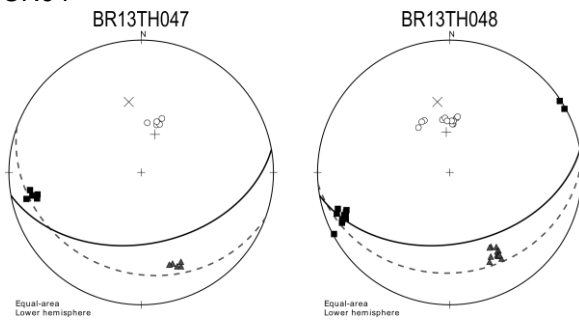
CN02



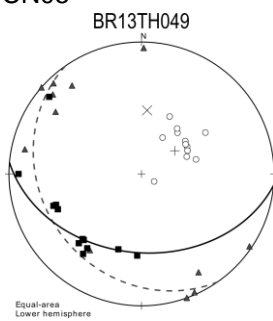
CN03



CN04

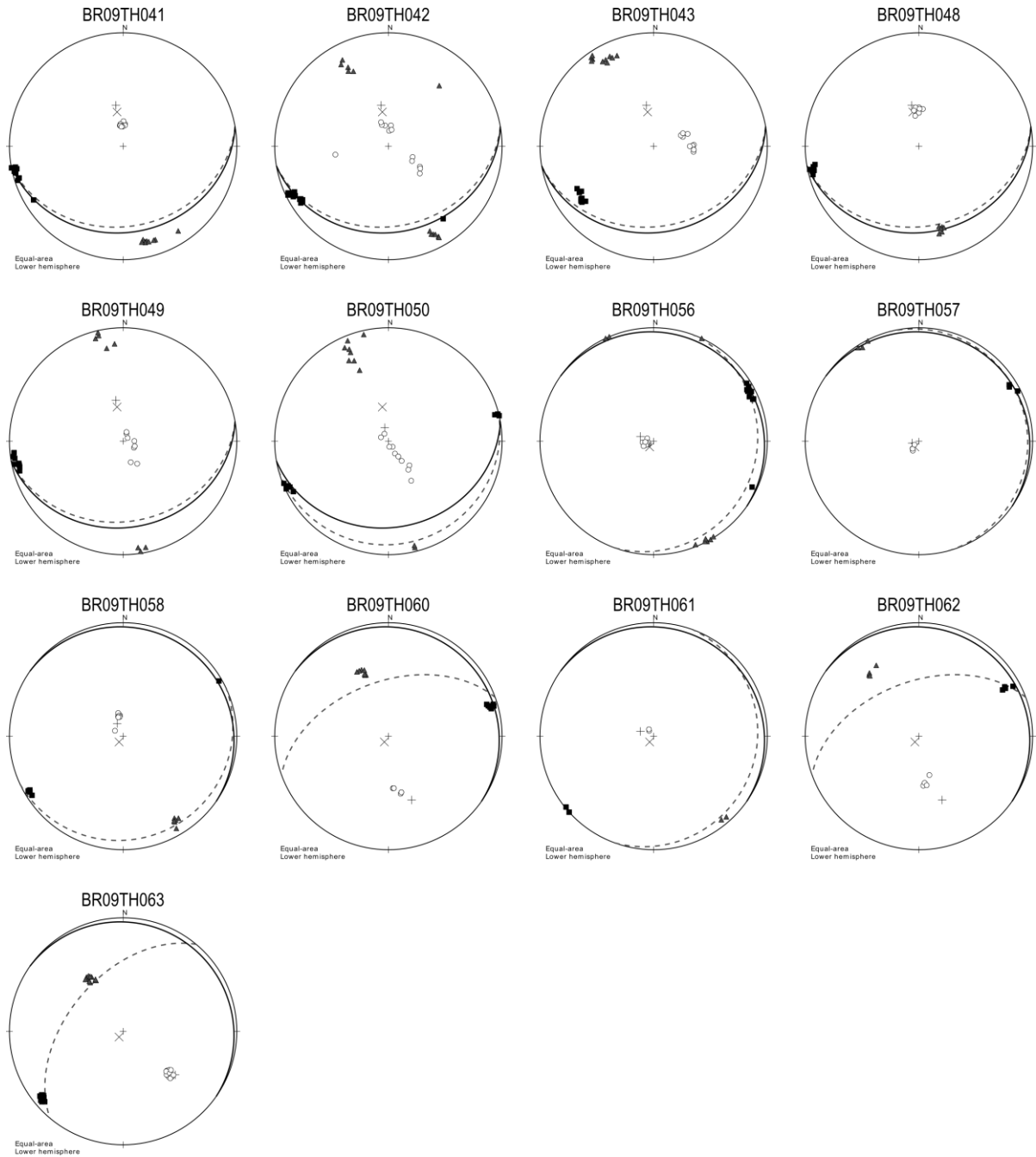


CN05



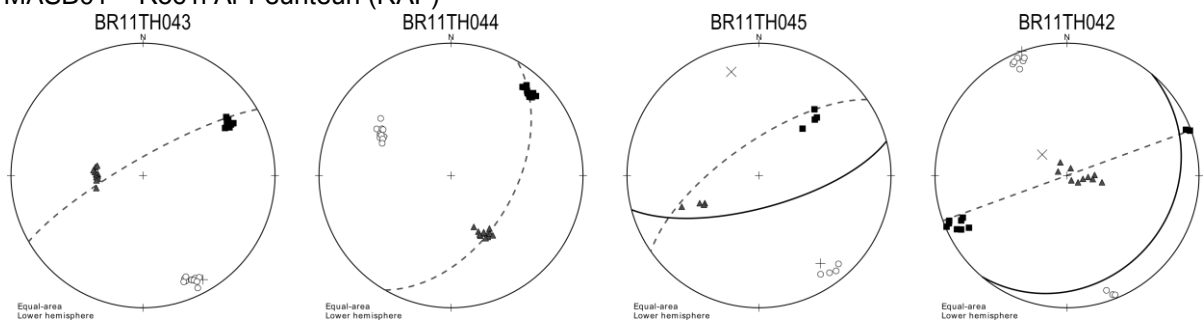
APPENDIX 7.1: AMS ORIENTATIONS (STEREOPLOTS)

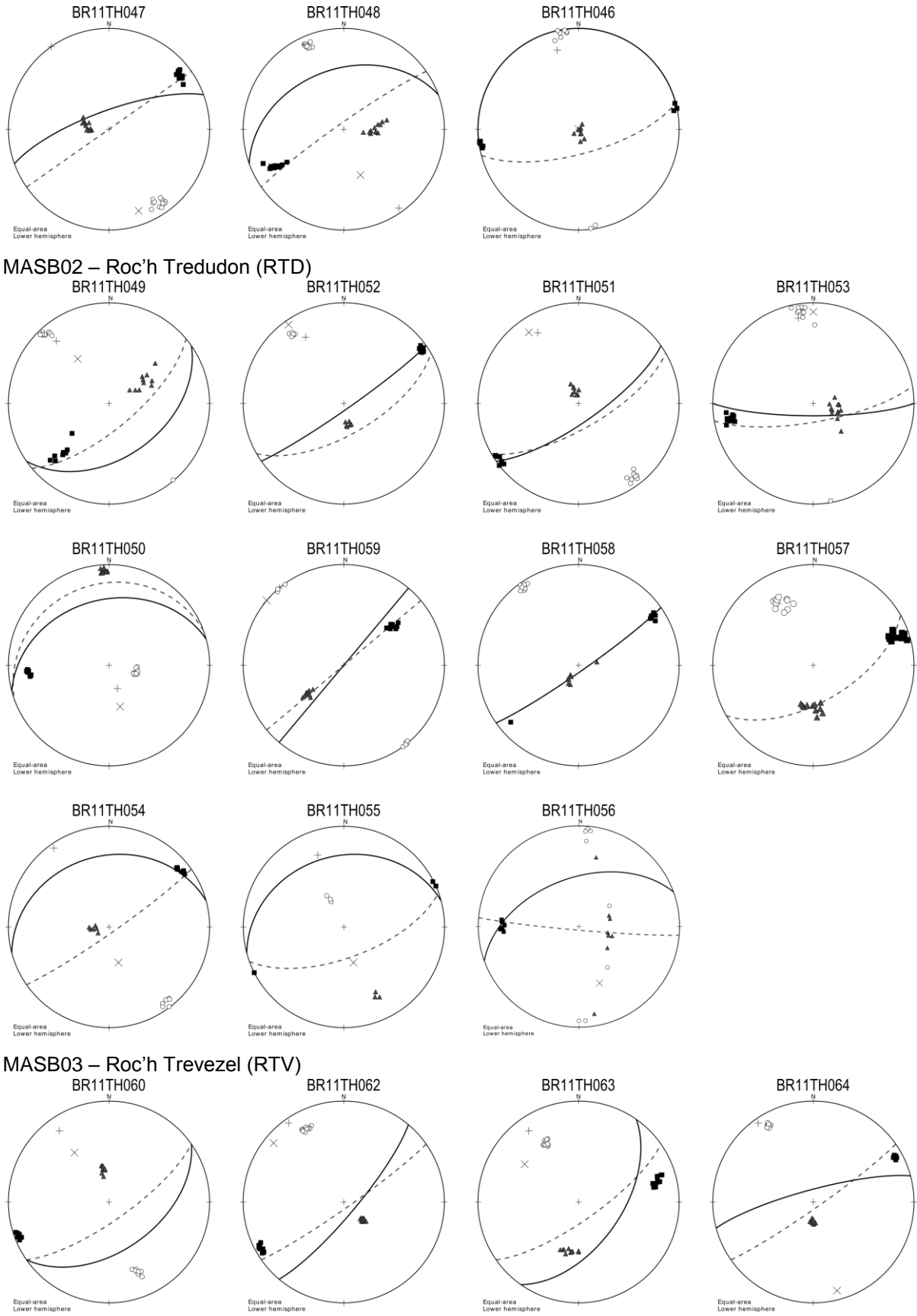
CN06



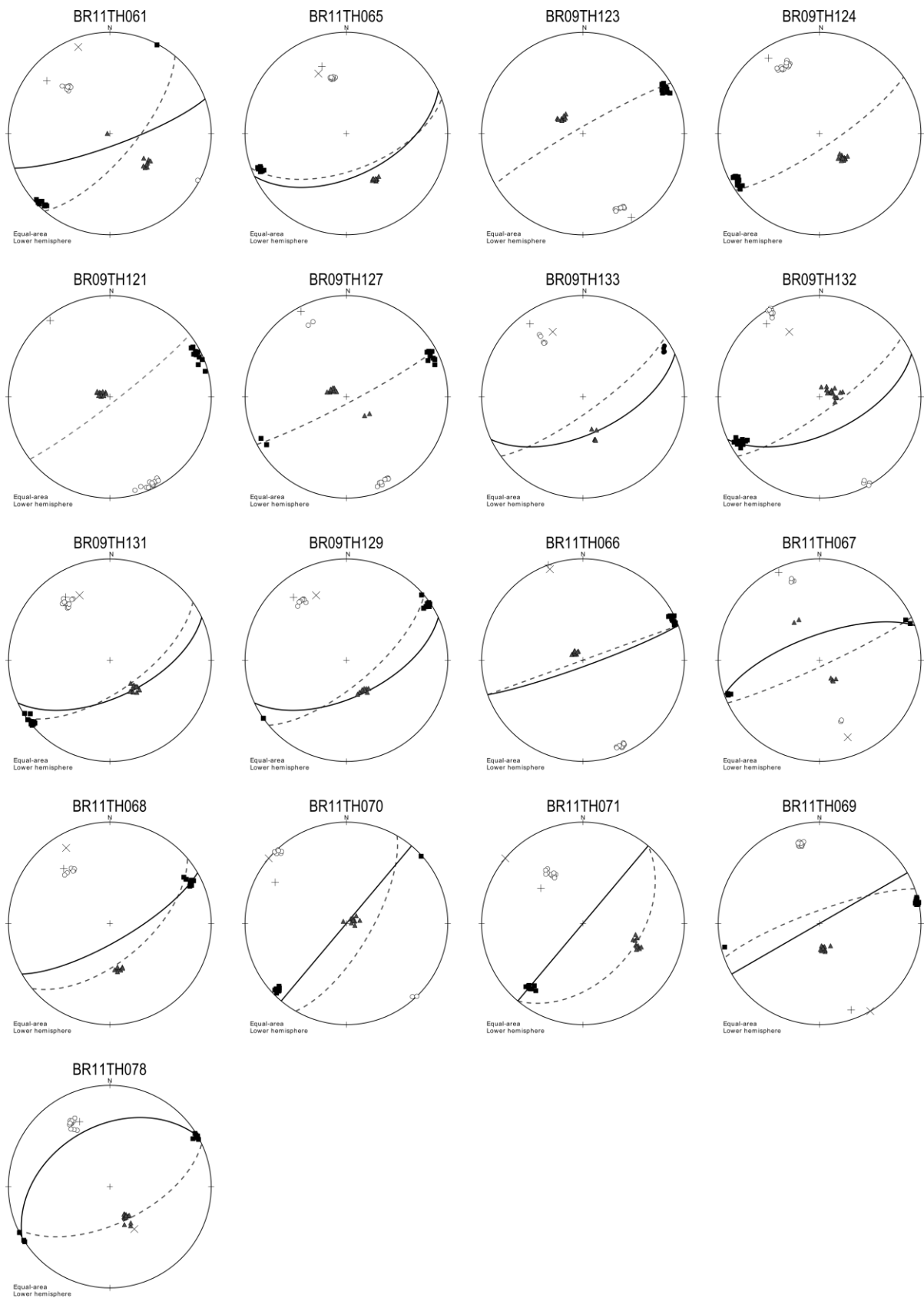
Monts d'Arrée slate belt research area

MASB01 – Roc'h Ar Feunteun (RAF)

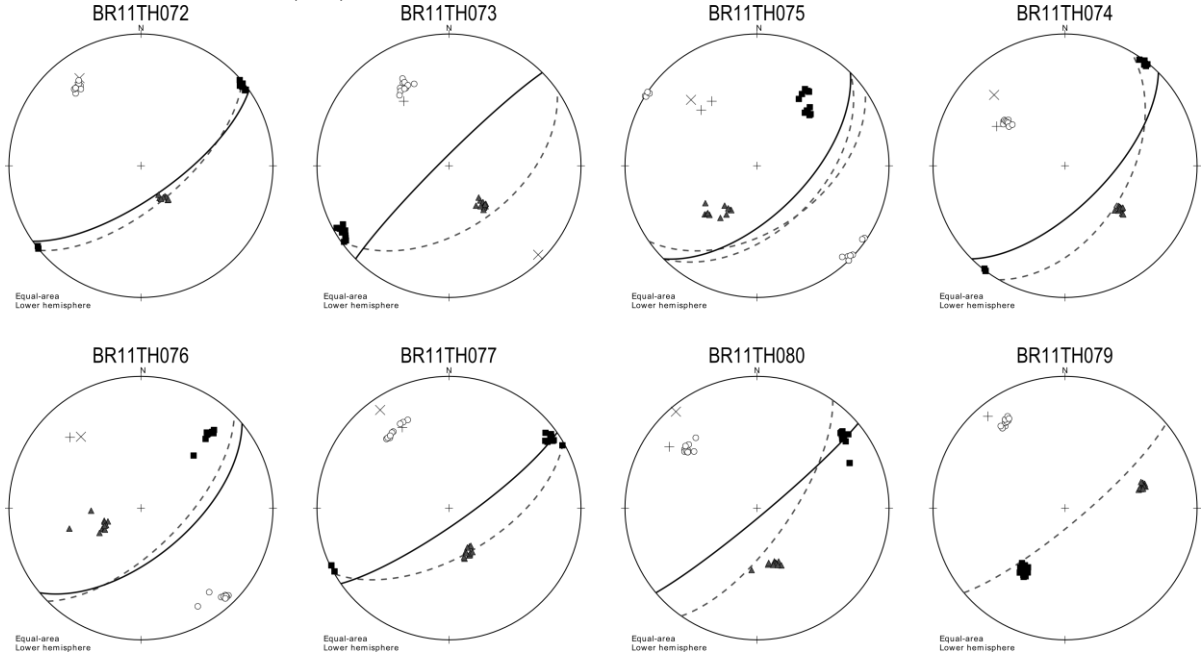




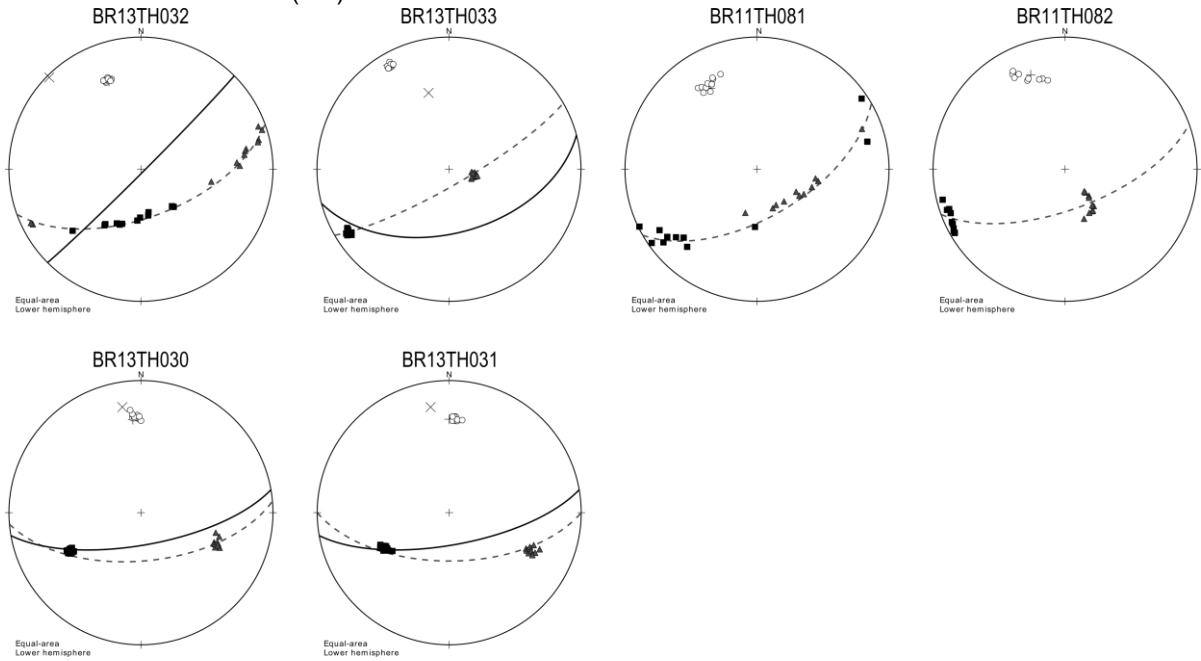
APPENDIX 7.1: AMS ORIENTATIONS (STEREOPLOTS)



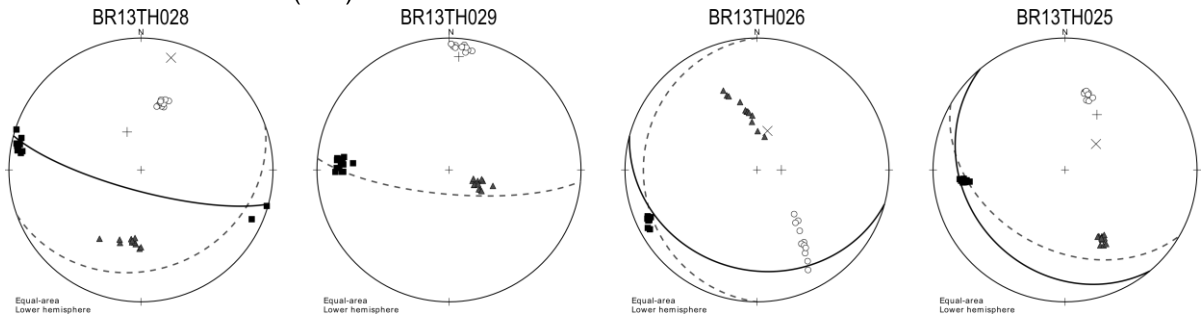
MASB04 – Croas Mélar (CM)



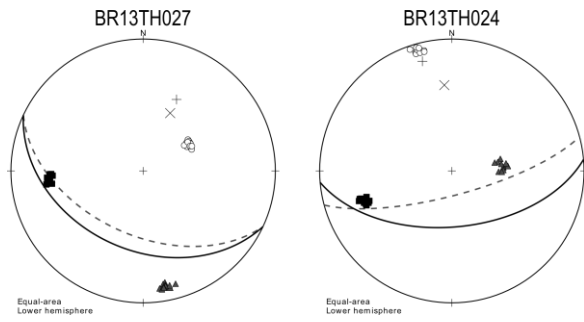
MASB05 – Saint Cadou (SC)



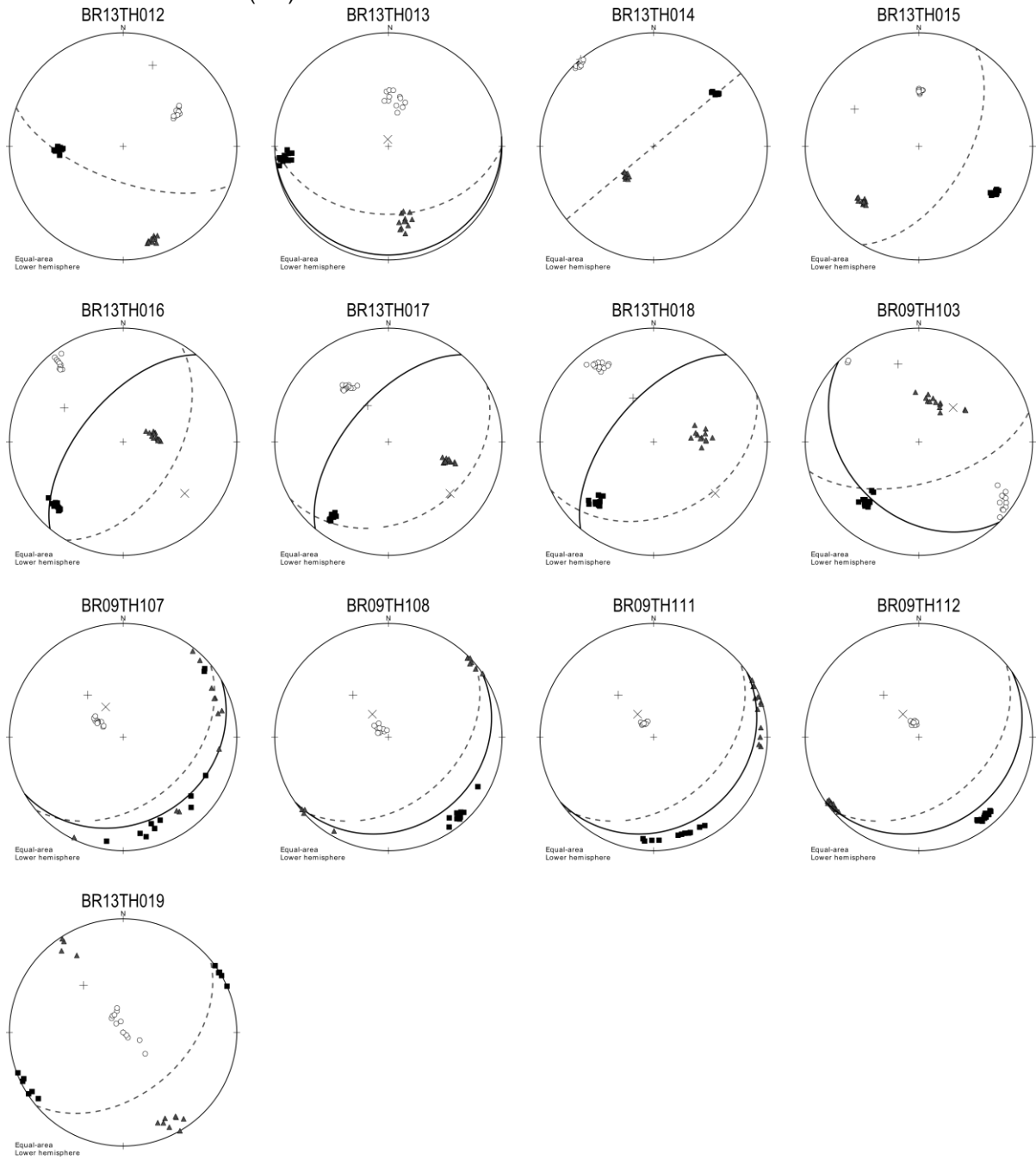
MASB06 – Menez Meur (MM)



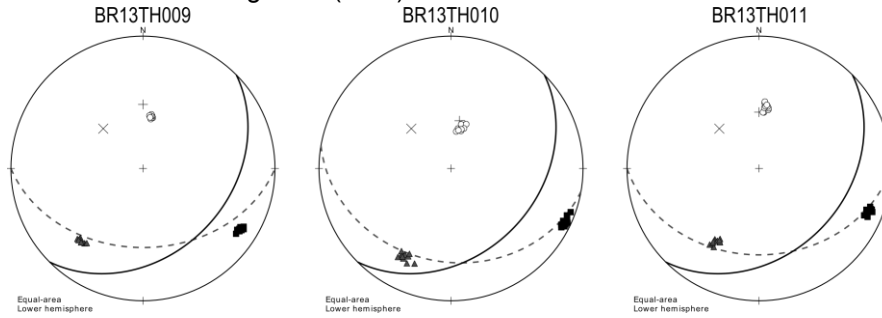
APPENDIX 7.1: AMS ORIENTATIONS (STEREOPLOTS)



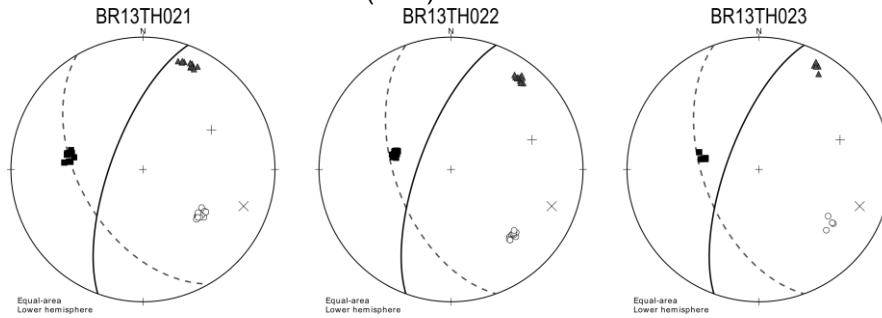
MASB07 – Saint Rivoal (SR)



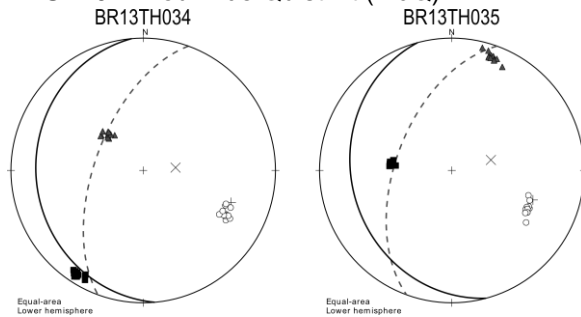
MASB08 – Roc'h Beg Aour (RBA)



MASB09 – Roc'h de Bodenan (RdB)

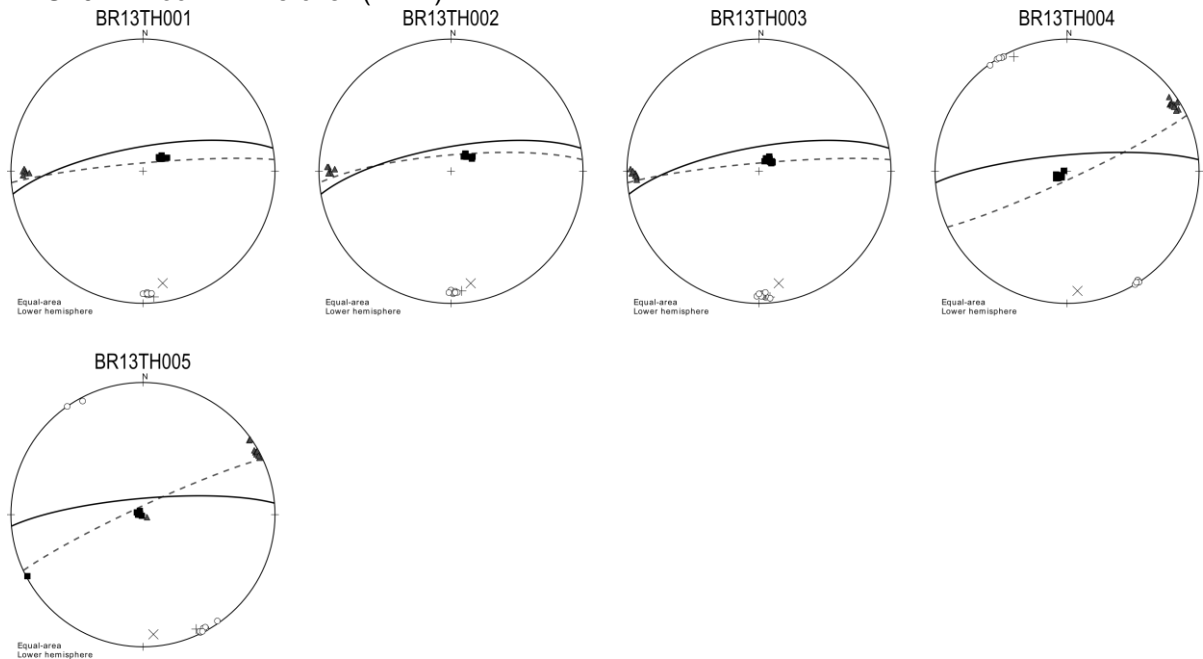


MASB10 – Moulin de Quistinit (MdQ)



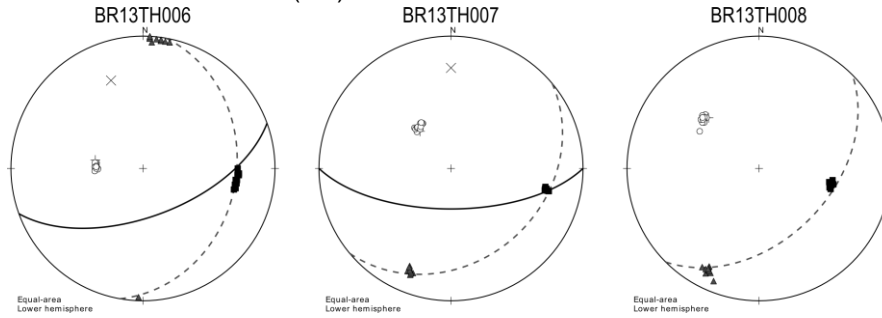
Montagnes Noires slate belt research area

MNSB01 – Roc'h Ar Werchez (RAW)

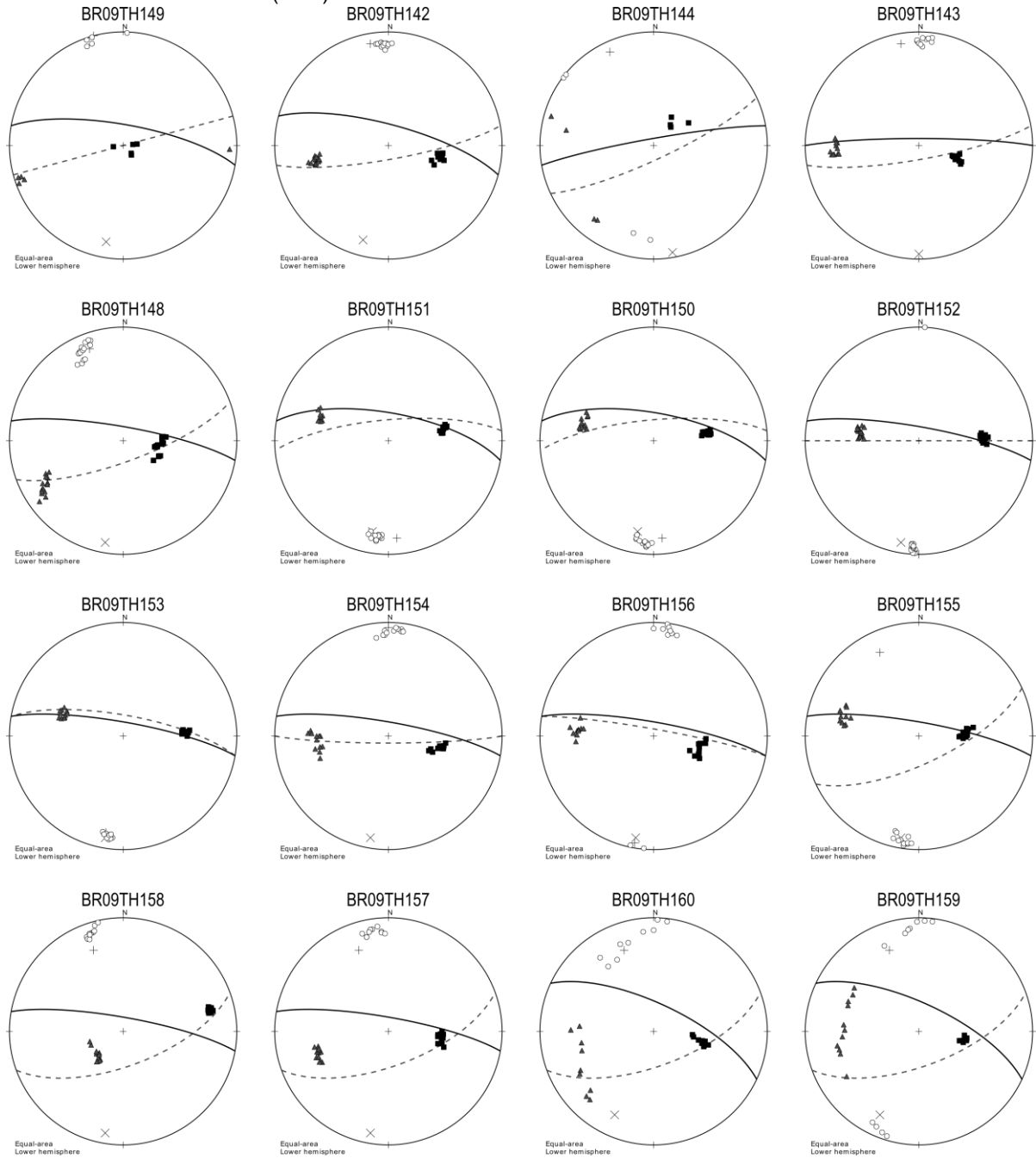


APPENDIX 7.1: AMS ORIENTATIONS (STEREOPLOTS)

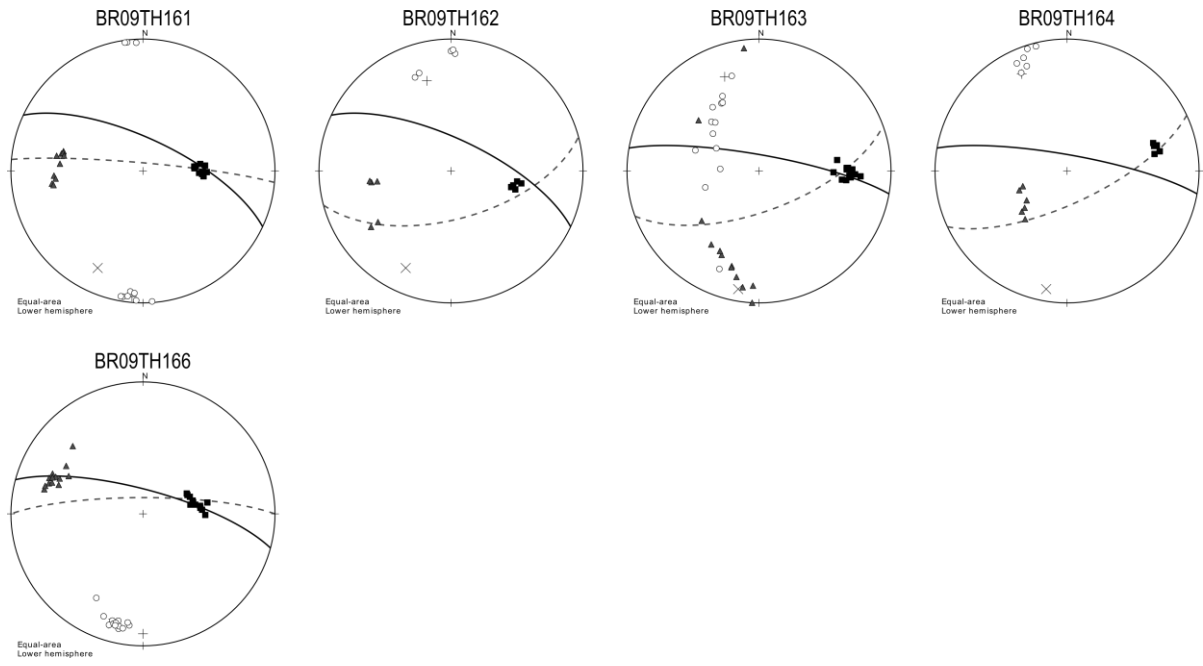
MNSB02 – Belle Roche (BR)



MNSB03 – Roche du Feu (RdF)



APPENDIX 7.1: AMS ORIENTATIONS (STEREOPLOTS)



Appendix 7.2: Orientations of the low-field AMS (tables)

sample	spec	EV directions						95% conf. angles			K ₁ ^ IL	S ₀ ^ K ₃	S ₁ ^ K ₃	(S ₁ ^ K ₃) _{norm}
		I1	D1	I2	D2	I3	D3	E 12	E 23	E 13				
Crozon South - outcrop zone CS01														
BR11TH016	A1	43	060	45	259	10	159	3.2	2.1	1.3	1	15	1	0.06
	A2	43	057	45	259	11	158	4.6	3.7	2.1	3	15	2	0.13
	A3	41	057	47	260	11	157	4.8	3.7	2.1	3	15	3	0.17
	A4	41	059	48	257	09	157	3.7	2.7	1.6	2	17	3	0.16
	B1	44	057	43	263	13	160	4.9	3.6	2.1	4	12	3	0.20
	B2	45	056	42	260	12	159	7.4	5.1	3.0	5	13	2	0.14
	B3	40	054	45	264	16	157	5.3	3.4	2.1	6	13	7	0.34
	B4	49	048	38	257	14	155	8.3	5.7	3.4	11	16	6	0.29
BR11TH017	A1	37	031	27	279	41	162	4.8	1.9	1.4	34	22	30	0.58
	A2	37	030	30	274	39	157	5.4	1.7	1.3	33	22	26	0.54
	A3	35	031	34	273	37	153	5.6	2.1	1.5	36	23	23	0.51
	B1	36	033	32	276	37	157	5.8	2.0	1.5	35	20	24	0.54
	B2	35	036	34	278	37	157	9.6	2.7	2.1	37	20	24	0.54
BR11TH038	A1	50	050	40	230	00	140	8.5	7.2	3.9	41	22	35	0.61
	A2	35	046	55	230	02	137	14.2	5.2	3.8	28	22	37	0.63
	A3	46	045	44	228	01	137	8.8	6.4	3.7	38	23	36	0.61
	A4	52	042	38	227	02	135	7.4	5.3	3.1	45	23	37	0.62
	A5	52	025	36	228	12	130	18.7	10.1	6.6	50	21	48	0.70
	B1	55	046	35	219	03	311	12.6	7.3	4.7	47	30	33	0.53
BR11TH014	A1	35	218	52	065	13	317	17.3	2.1	1.8	36	53	3	0.05
	A2	20	223	66	075	12	317	16.0	2.3	2.0	20	52	4	0.06
	A3	13	224	73	082	10	316	19.8	2.1	1.9	13	50	5	0.09
	A5	22	222	65	069	10	316	18.7	2.6	2.3	22	50	5	0.09
	A5	07	222	79	097	09	313	13.7	2.2	1.9	8	49	6	0.11
	A6	11	224	75	083	09	316	11.4	2.1	1.8	11	49	6	0.11
	B1	11	224	70	101	17	317	13.1	2.1	1.8	11	57	3	0.05
	B2	07	226	75	110	14	318	13.7	1.5	1.4	7	54	3	0.05
	B3	22	222	64	077	13	318	19.9	1.9	1.7	22	53	4	0.06
	B4	16	223	69	087	14	317	11.0	2.3	1.9	16	54	2	0.04
	B5	10	223	75	092	11	315	10.1	1.9	1.6	10	51	4	0.07
	B6	02	225	77	129	13	316	4.0	0.8	0.7	2	53	2	0.04
BR11TH015	A1	15	235	70	016	12	142	3.4	3.1	1.6			3	
	A2	18	238	70	029	09	145	2.8	3.5	1.6			5	
	A3	15	237	67	005	17	142	3.0	3.6	1.6			7	
	A4	18	234	68	019	12	140	1.8	2.3	1.0			2	
	B1	14	234	70	007	14	140	1.9	2.3	1.0			4	
	B2	19	238	64	012	17	142	2.0	2.0	1.0			7	
	C1	20	233	66	018	13	138	1.9	1.9	1.0			4	
	D1	22	236	65	026	11	141	2.2	3.0	1.3			1	
	D2	21	235	66	026	11	141	2.2	2.9	1.3			1	
	E1	23	238	65	032	10	143	1.6	2.4	0.9			3	
	E2	21	237	67	035	08	144	1.7	2.2	1.0			4	
	E3	21	235	66	026	11	141	2.3	2.8	1.3			1	
BR11TH011	A1	19	045	62	175	20	308	6.3	1.9	1.5	6	31	5	0.14
	A2	24	048	58	183	20	309	6.8	1.8	1.4	12	31	5	0.14
	A3	15	044	65	168	20	309	9.2	2.1	1.7	2	31	5	0.14
	A4	21	047	61	179	20	309	3.1	1.2	0.9	8	31	5	0.14
	B1	20	049	57	172	25	309	10.4	3.1	2.4	8	26	1	0.03
	B2	14	046	61	163	25	310	6.8	2.1	1.6	2	27	2	0.06
	B3	18	049	59	171	25	311	4.4	1.2	0.9	7	27	3	0.09
	B4	19	049	58	173	25	310	4.6	1.4	1.1	8	27	2	0.06
	B5	18	050	59	172	25	312	6.0	1.6	1.3	8	27	4	0.12
BR11TH012	A1	50	073	34	218	18	319	10.7	2.5	2.0	29	36	2	0.06
	A2	44	068	40	212	19	319	12.6	3.0	2.4	22	35	1	0.04
	A3	49	070	36	217	17	320	16.8	3.0	2.5	27	37	3	0.07
	A4	41	064	44	212	17	319	13.0	3.2	2.6	18	37	3	0.08
	A5	41	066	43	211	19	319	15.9	3.1	2.6	19	35	1	0.04

sample	spec	EV directions						95% conf. angles			$K_1 \wedge IL$	$S_0 \wedge K_3$	$S_1 \wedge K_3$	$(S_1 \wedge K_3)_{norm}$
		I1	D1	I2	D2	I3	D3	E 12	E 23	E 13				
BR11TH012	B1	47	067	37	212	18	316	12.3	2.1	1.8	25	35	4	0.11
	B2	43	067	41	211	19	318	15.7	3.9	3.1	21	35	2	0.06
	B3	49	069	35	214	18	317	6.2	1.4	1.1	27	35	3	0.09
	B4	44	063	41	210	17	315	8.0	3.1	2.2	21	36	6	0.14
	B5	37	061	46	204	20	315	5.8	1.2	1.0	14	33	5	0.12
	B6	45	063	39	208	18	313	12.5	2.0	1.7	22	34	7	0.17
BR11TH013	A1	13	043	59	155	28	306	15.4	1.8	1.6	1	23	3	0.13
	A2	04	038	61	135	29	305	11.0	1.4	1.2	11	22	5	0.18
	A3	12	208	58	097	29	305	26.2	2.5	2.3	30	22	5	0.18
	A4	01	035	63	126	27	304	16.8	2.2	1.9	15	23	4	0.15
	A5	02	213	62	120	28	304	15.1	1.8	1.6	19	22	5	0.17
	A6	13	043	58	155	28	305	15.9	2.0	1.8	1	23	4	0.15
	B1	07	042	63	146	26	309	14.2	2.0	1.8	6	25	1	0.05
	B2	10	213	61	105	27	308	32.7	1.7	1.7	25	24	2	0.08
	B3	01	218	62	125	28	309	22.8	2.1	1.9	15	24	3	0.12
	B4	04	042	63	140	26	310	16.1	2.0	1.8	9	26	2	0.07
	B5	08	041	60	145	28	307	15.4	1.9	1.7	6	23	3	0.12
	B6	05	043	62	142	28	310	8.6	1.0	0.9	8	24	3	0.13
BR11TH018	A1	32	234	58	055	00	324	10.8	3.4	2.6	24	35	5	0.13
	A2	28	235	62	058	01	326	8.6	3.6	2.5	20	36	6	0.14
	A3	19	234	71	056	01	324	11.2	2.3	1.9	11	36	6	0.14
	A4	26	234	64	054	00	144	11.8	3.3	2.6	18	35	5	0.13
	A5	25	235	65	055	00	325	10.4	3.3	2.5	17	35	5	0.12
	B1	21	234	69	052	01	144	6.6	1.8	1.4	13	34	4	0.11
	B2	36	235	54	052	01	144	10.1	2.1	1.7	28	34	4	0.11
	B3	27	234	63	052	01	143	9.1	3.1	2.3	19	34	4	0.12
	B4	27	235	63	056	01	325	11.0	2.5	2.1	19	36	6	0.14
	B5	21	235	69	052	01	145	6.6	2.4	1.8	13	34	4	0.10
BR11TH019	A1	31	246	56	037	14	148	12.1	6.3	4.2	64	22	4	0.17
	A2	23	247	65	042	09	153	10.2	6.2	3.9	56	24	3	0.12
	A3	19	247	67	031	12	153	9.8	5.9	3.7	52	21	4	0.14
	A4	32	249	54	038	15	150	6.5	3.7	2.4	66	20	5	0.20
	B1	26	246	62	040	11	151	8.1	4.6	2.9	59	23	1	0.06
	B2	19	247	66	027	14	152	9.3	5.3	3.4	52	20	4	0.18
	B3	22	247	65	038	11	153	10.1	5.0	3.3	55	22	3	0.12
	B4	22	246	65	039	10	152	7.9	5.0	3.1	55	23	2	0.08
	C1	21	246	66	034	12	152	7.5	3.6	2.4	54	22	3	0.11
	C2	23	247	61	026	17	150	6.9	3.6	2.4	56	19	7	0.27
	C3	28	248	57	033	16	149	5.7	4.8	2.6	61	20	6	0.23
	C4	27	248	60	039	12	151	7.0	4.3	2.7	60	22	2	0.09
Crozon South - Outcrop zone CS02														
BR11TH023	A1	11	219	77	074	07	310	13.4	2.3	2.0	19	14	3	0.17
	A2	05	221	79	104	10	312	16.5	2.3	2.0	25	11	2	0.16
	B1	02	217	82	114	08	307	15.0	2.6	2.2	27	15	4	0.19
	B2	08	041	78	174	09	309	9.3	1.5	1.3	38	13	1	0.10
	B3	03	040	80	148	09	309	13.3	2.4	2.0	33	13	1	0.10
	C1	04	039	80	152	09	309	9.3	1.7	1.5	33	13	1	0.10
	C2	01	039	80	132	10	309	7.2	1.4	1.2	30	12	1	0.08
	C3	06	040	77	161	11	309	9.9	1.7	1.5	35	11	1	0.11
BR11TH020	A1	29	065	28	171	48	297	6.6	1.1	0.9	1	23	4	0.14
	B1	29	069	25	174	50	298	13.0	2.0	1.7	4	24	5	0.18
	B2	24	063	30	168	50	301	9.7	1.4	1.2	5	23	5	0.18
	B3	31	075	24	181	48	302	5.9	1.0	0.8	10	21	3	0.14
	C1	26	061	28	167	49	296	7.4	1.5	1.3	4	24	5	0.17
	C2	29	069	25	174	50	298	18.0	3.2	2.7	4	24	5	0.18
	C3	27	068	29	174	49	303	11.7	2.2	1.9	4	21	4	0.18
	D1	20	060	33	163	50	304	15.3	2.5	2.2	10	22	6	0.21
	E1	27	066	27	171	50	299	10.5	2.4	1.9	3	23	5	0.18

sample	spec	EV directions						95% conf. angles			$K_1 \wedge IL$	$S_0 \wedge K_3$	$S_1 \wedge K_3$	$(S_1 \wedge K_3)_{norm}$
		I1	D1	I2	D2	I3	D3	E 12	E 23	E 13				
BR11 TH024	E2	26	062	30	168	49	299	8.0	1.5	1.3	3	23	4	0.15
	E3	23	058	29	162	51	295	8.8	1.7	1.4	8	26	7	0.21
	A1	41	210	43	066	19	317	13.7	2.0	1.8	42	17	13	0.43
	B1	41	206	41	066	21	316	12.3	1.9	1.6	43	15	10	0.41
	B2	39	206	42	068	23	316	8.6	1.2	1.0	41	13	9	0.40
BR11TH036	B3	43	204	39	066	22	316	23.2	2.6	2.3	45	14	10	0.41
	A1	34	067	50	212	17	325	10.4	1.6	1.4	7	33	3	0.08
	A2	36	068	49	214	18	325	18.6	2.1	1.9	9	32	2	0.06
	B1	27	063	56	203	19	323	18.3	2.6	2.3	3	30	2	0.07
	B2	37	068	48	215	17	325	9.5	1.0	0.9	10	33	3	0.08
	B3	30	064	55	211	15	325	14.1	1.9	1.6	3	34	5	0.13
	C1	32	070	52	214	18	328	8.9	1.3	1.1	6	33	3	0.09
	C2	35	070	51	219	16	329	16.9	1.9	1.7	9	35	6	0.14
BR11TH025	A1	02	038	66	133	24	307	7.4	2.7	2.0	25	12	3	0.20
	A2	02	217	71	120	19	308	5.7	2.0	1.5	29	8	6	0.45
	A3	04	043	66	142	24	311	8.1	3.4	2.4	21	10	1	0.12
	A4	00	217	66	126	24	307	11.1	3.4	2.6	27	12	3	0.20
	B1	08	041	62	146	27	307	6.7	3.0	2.1	18	14	3	0.19
	B2	02	215	66	121	24	306	8.8	3.3	2.4	30	12	4	0.23
BR11 TH040	A1	21	062	69	256	05	154	13.7	2.3	1.9	21	5	1	0.16
	A2	21	062	68	261	07	155	5.6	0.8	0.7	21	3	2	0.40
	A3	21	062	68	261	06	155	8.5	1.1	1.0	21	4	1	0.20
	B1	34	061	55	256	07	156	14.5	2.3	2.0	34	3	2	0.41
BR11TH035	A1	50	086	35	233	17	335	21.4	2.4	2.1	30	13	0	0.00
	A2	47	082	38	229	17	333	8.8	1.5	1.3	26	14	2	0.12
	A3	39	076	46	224	17	332	14.4	2.2	1.9	17	14	3	0.17
	A3	48	083	37	230	17	333	10.0	1.7	1.4	27	14	2	0.12
	B1	48	081	38	230	16	333	13.8	1.9	1.6	27	13	2	0.14
	B2	41	079	43	225	18	332	10.0	1.5	1.3	20	15	3	0.17
	B3	44	081	40	225	19	331	6.7	1.1	1.0	23	17	4	0.21
	B4	46	082	38	226	19	331	7.4	1.4	1.2	25	17	4	0.21
	C1	42	077	44	226	16	333	13.6	2.3	1.9	20	13	2	0.14
	C2	49	080	38	232	14	333	7.6	1.2	1.1	28	11	4	0.24
	C3	42	078	43	226	16	332	10.0	1.6	1.4	21	14	3	0.18
	C4	45	078	41	229	15	332	5.8	0.9	0.8	24	13	4	0.22
BR11TH026	A1	45	045	44	211	07	308	4.3	4.2	2.1	13	28	12	0.30
	A2	48	054	40	212	11	311	4.7	8.7	3.0	15	28	11	0.28
	B1	44	053	44	215	09	314	2.2	3.9	1.4	11	25	7	0.22
	B2	43	053	43	205	15	309	4.0	5.9	2.4	10	33	15	0.31
	C1	46	052	44	219	06	315	3.6	6.0	2.3	13	22	5	0.19
	C2	45	054	44	215	09	314	4.0	7.8	2.7	12	25	7	0.22
	D1	43	053	46	216	08	315	3.9	5.2	2.2	10	23	6	0.20
	E1	49	054	40	224	05	318	2.8	3.7	1.6	16	19	2	0.09
	E2	47	052	43	218	07	315	3.8	5.1	2.2	14	23	5	0.19
	E3	49	053	41	223	05	317	3.5	4.4	2.0	16	20	3	0.13
	E4	48	053	41	222	06	317	2.7	3.6	1.5	15	21	3	0.13
	E5	48	053	41	223	05	317	3.8	5.2	2.2	15	20	3	0.13
BR11TH034	A1	45	066	43	264	10	165	6.6	3.5	2.3	1	21	7	0.25
	B1	45	066	44	257	06	162	3.4	1.9	1.2	1	16	2	0.12
	B2	46	067	43	256	04	161	7.2	3.9	2.5	2	14	1	0.09
	C1	45	067	45	258	06	162	7.1	3.6	2.4	1	16	2	0.12
	C2	47	068	43	259	06	164	4.0	2.2	1.4	3	18	4	0.19
	C3	41	067	49	256	05	161	6.9	3.1	2.2	4	15	1	0.06
BR11TH033	A1	52	080	37	274	07	179	6.6	17.6	4.9	85	16	9	0.37
	B1	50	072	39	267	07	171	3.2	11.2	2.5	86	10	3	0.24
	B2	50	075	38	280	12	180	3.7	12.4	2.9	86	15	10	0.40
	C1	53	075	37	244	05	338	4.8	12.7	3.5	83	21	19	0.48
	C2	53	076	36	241	07	336	3.9	12.6	3.0	83	24	22	0.48

sample	spec	EV directions						95% conf. angles			$K_1 \wedge IL$	$S_0 \wedge K_3$	$S_1 \wedge K_3$	$(S_1 \wedge K_3)_{norm}$
		I1	D1	I2	D2	I3	D3	E 12	E 23	E 13				
BR11 TH033	C3	53	076	37	251	02	343	4.0	46.0	3.8	83	17	14	0.45
	D1	47	078	39	230	15	332	4.4	10.7	3.1	89	33	31	0.48
	D2	47	073	42	239	07	335	4.7	17.5	3.7	89	24	23	0.48
	D3	49	076	39	232	12	332	3.6	12.0	2.8	87	30	28	0.49
BR11TH039	A1	70	029	18	235	08	142	5.0	1.9	1.4	28	15	4	0.23
	A2	72	032	16	233	06	141	4.8	2.1	1.5	29	16	4	0.20
	A3	73	028	15	232	06	140	3.2	1.4	1.0	31	17	5	0.23
	A4	71	035	18	233	05	141	3.1	1.3	0.9	28	17	4	0.19
	B1	73	028	16	233	07	141	2.8	1.3	0.9	31	16	4	0.22
	B2	72	030	17	232	06	140	3.6	1.6	1.1	30	17	5	0.23
	B3	69	028	19	232	08	139	5.2	2.4	1.6	27	17	7	0.28
	C1	66	038	23	235	06	142	4.3	1.7	1.2	23	16	3	0.17
	C2	65	037	24	235	07	142	5.2	2.2	1.5	22	15	4	0.19
	C3	68	041	22	236	05	144	8.0	2.8	2.1	24	15	1	0.06
BR11TH031	A1	40	073	49	265	06	168	8.0	1.3	1.1	78	13	3	0.19
	A2	53	071	37	262	05	168	10.5	2.0	1.7	64	14	3	0.18
	B1	48	065	40	265	10	166	8.2	2.2	1.7	69	11	5	0.32
	B2	47	063	41	264	11	165	8.0	1.8	1.4	70	10	6	0.38
	B3	49	064	38	267	11	168	15.4	2.6	2.2	68	13	7	0.34
BR11TH032	A1	25	241	62	035	11	146	14.4	1.2	1.1	77	9	3	0.26
	A2	64	262	23	051	12	147	42.2	1.0	1.0	36	8	4	0.35
	A3	32	244	56	044	09	148	19.2	1.3	1.2	70	7	3	0.31
	A4	05	238	80	359	09	147	26.0	2.2	2.1	83	8	2	0.22
	A5	13	237	73	013	12	144	14.2	1.8	1.6	89	11	4	0.27
	A6	03	236	79	343	10	145	9.9	1.3	1.2	81	10	2	0.17
	A7	01	235	80	329	10	145	11.5	1.5	1.4	78	10	2	0.17
	B1	48	237	42	052	02	144	12.5	1.3	1.2	55	14	6	0.31
	B2	29	234	61	052	01	144	26.6	1.8	1.7	74	14	7	0.33
	B3	00	233	89	326	01	143	25.8	1.4	1.4	77	15	7	0.33
	B4	16	232	74	056	01	322	5.6	0.8	0.7	87	17	9	0.36
	B5	08	233	82	040	02	143	11.9	1.9	1.7	85	14	6	0.31
BR11TH041	C1	41	067	47	228	10	328	9.2	1.9	1.6	6	23	6	0.20
	C2	55	079	33	234	12	332	7.3	1.4	1.1	16	23	10	0.30
	D1	43	067	45	226	11	327	5.4	1.1	0.9	5	25	6	0.20
	D2	45	069	43	226	11	327	7.0	1.4	1.2	6	25	6	0.20
	E1	39	073	48	228	13	332	5.1	1.0	0.8	11	24	11	0.30
BR11TH027	A1	37	244	51	083	09	342	6.2	3.9	2.4	37	19	9	0.33
	B1	40	246	50	077	06	341	6.0	2.9	1.9	40	16	6	0.28
	B2	43	244	46	080	08	342	7.2	3.7	2.5	43	18	8	0.31
	C1	46	248	44	073	02	341	11.6	6.2	4.1	46	12	2	0.16
	C2	58	249	32	071	01	340	6.5	3.1	2.1	58	11	1	0.08
BR11TH030	A1	22	076	68	256	00	166	3.9	2.0	1.3	22	6	3	0.34
	A2	22	076	68	255	00	346	1.3	0.8	0.5	22	6	3	0.34
	A3	21	075	69	254	00	345	3.3	1.9	1.2	21	6	3	0.33
	A4	22	076	68	254	01	346	6.4	3.4	2.2	22	7	4	0.37
	B1	25	076	65	254	01	346	4.1	2.2	1.4	25	7	4	0.37
	B2	20	076	70	251	02	346	3.5	1.7	1.1	20	8	5	0.39
	B3	22	076	68	251	02	345	2.7	1.3	0.9	22	8	5	0.38
	C1	25	075	65	251	02	345	4.3	2.1	1.4	25	8	5	0.38
	C2	22	075	68	247	03	344	2.2	1.0	0.7	22	9	6	0.40
BR11TH021	A1	45	074	44	270	08	172	6.8	3.6	2.4	45	7	9	0.54
	B1	47	076	43	263	03	170	6.5	3.6	2.3	47	9	5	0.37
	B2	49	074	41	262	04	168	5.7	2.8	1.9	49	7	3	0.32
	C1	46	073	44	261	03	168	6.2	3.7	2.3	46	8	3	0.28
	C2	47	072	43	257	03	164	4.5	2.6	1.7	47	7	1	0.12
	D1	40	069	49	264	08	165	9.4	4.8	3.2	40	2	5	0.71
	D2	49	070	41	260	05	165	4.7	2.5	1.6	49	5	2	0.29
	A1	23	068	66	267	07	161	3.3	2.2	1.3	9	16	2	0.12

sample	spec	EV directions						95% conf. angles			$K_1 \wedge IL$	$S_0 \wedge K_3$	$S_1 \wedge K_3$	$(S_1 \wedge K_3)_{norm}$
		I1	D1	I2	D2	I3	D3	E 12	E 23	E 13				
BR11 TH006	A2	19	067	69	271	08	160	4.2	2.6	1.6	13	15	3	0.16
	B1	22	066	65	275	11	160	5.9	2.5	1.8	10	13	6	0.31
	B2	18	066	69	279	11	160	7.0	2.2	1.7	14	13	6	0.31
	B3	18	066	69	279	11	160	8.6	3.2	2.3	14	13	6	0.31
BR11TH007	A1	28	067	59	278	14	164	5.4	2.4	1.7	4	8	10	0.54
	A2	26	066	60	278	14	163	5.4	1.9	1.4	6	9	9	0.51
	A3	25	067	61	281	14	164	5.6	2.1	1.5	7	8	10	0.54
	A4	24	066	63	278	13	162	5.9	1.9	1.4	8	10	8	0.44
	B1	23	065	61	283	16	162	6.5	2.6	1.9	9	9	11	0.57
	B2	29	064	57	277	15	163	5.5	1.8	1.4	4	8	10	0.56
	B3	24	065	60	283	16	162	4.1	1.3	1.0	8	9	11	0.57
	B4	26	068	60	278	13	164	8.4	2.3	1.8	6	9	9	0.50
	B5	24	066	63	278	13	162	5.7	1.8	1.4	8	10	8	0.44
BR11TH008	A1	18	070	72	248	01	340	8.6	1.9	1.6	18	21	6	0.22
	A2	20	072	69	244	03	341	14.7	2.5	2.2	20	23	8	0.26
	A3	18	075	72	249	02	344	8.3	2.7	2.1	19	22	8	0.27
	B1	16	058	74	231	02	327	7.8	2.3	1.8	20	25	15	0.37
	B2	14	067	75	228	05	336	8.8	2.8	2.1	14	25	11	0.30
	B3	16	068	74	231	04	337	8.6	1.8	1.5	16	24	9	0.28
	C1	12	056	77	218	04	326	6.9	1.8	1.4	18	28	17	0.38
	C2	12	061	76	211	07	330	9.3	2.9	2.2	15	29	16	0.35
	C3	15	059	75	230	02	328	9.7	3.2	2.4	19	25	14	0.36
	C4	14	064	75	222	05	333	7.2	2.4	1.8	15	26	12	0.32
	D1	08	059	79	200	07	328	4.9	1.7	1.2	14	29	17	0.37
	D2	09	057	78	199	07	326	8.1	2.9	2.1	16	30	18	0.38
BR11TH010	A1	38	261	52	071	05	167	5.7	2.0	1.5	38	6	3	0.34
	A2	30	259	60	072	03	167	3.6	1.0	0.8	30	8	4	0.32
	A3	27	259	63	074	02	168	5.8	1.8	1.4	27	8	4	0.30
	A4	25	260	65	072	03	168	3.6	1.3	1.0	25	7	3	0.28
	B1	16	266	74	074	03	175	6.5	1.4	1.1	17	9	5	0.39
	B2	25	266	65	070	06	173	7.2	2.5	1.9	26	5	3	0.39
	B3	29	262	61	074	03	170	7.3	2.4	1.8	29	7	2	0.22
	B4	20	261	70	075	02	170	5.9	1.7	1.3	20	8	3	0.27
	C1	24	267	65	075	05	175	7.6	1.6	1.3	25	7	5	0.41
	C2	25	268	64	076	05	176	5.8	1.6	1.3	26	8	6	0.43
	C3	26	267	63	074	05	174	6.6	2.4	1.7	27	6	4	0.38
	C4	18	264	71	067	05	172	7.7	1.5	1.2	18	5	2	0.27
BR11 TH028	A1	22	075	65	287	12	170	8.3	3.1	2.3	22	5	9	0.62
	A2	19	073	66	292	14	168	7.1	2.4	1.8	19	5	9	0.66
	A3	34	075	53	279	11	173	6.4	2.6	1.8	34	8	10	0.56
	B1	13	073	73	291	10	165	15.1	3.0	2.5	13	0	5	1.00
BR11TH029	A1	17	073	73	262	02	164	8.4	2.4	1.9	5	10	17	0.64
	A2	27	073	62	264	04	165	13.9	3.5	2.8	7	8	20	0.72
	B1	18	072	71	269	05	164	7.1	1.5	1.3	5	8	20	0.72
	B2	22	073	68	263	04	164	6.9	2.3	1.7	3	8	19	0.70
	B3	17	072	71	282	09	165	14.1	3.0	2.5	6	5	25	0.83
	B4	25	070	64	266	06	163	12.3	3.5	2.7	7	8	21	0.73
	C1	17	072	72	272	06	164	13.8	2.5	2.1	6	7	21	0.75
	C2	19	070	69	272	07	163	17.1	3.1	2.6	6	8	22	0.75
	C3	24	071	65	267	06	163	8.6	2.3	1.8	6	8	21	0.73
	C4	20	072	67	283	11	166	15.0	2.0	1.8	4	4	27	0.87
BR11TH083	A1	17	219	73	056	05	311	3.6	1.0	0.8	27	21	19	0.47
	A2	15	219	75	029	03	129	5.7	1.2	1.0	26	28	24	0.46
	A3	15	219	75	036	01	129	8.3	1.7	1.4	26	26	23	0.47
	A4	16	219	73	051	03	310	5.0	1.3	1.0	26	23	21	0.47
	B1	15	219	73	062	06	311	3.4	0.9	0.7	26	21	19	0.48
	B2	16	219	74	038	00	129	6.7	1.4	1.2	26	26	22	0.47
	B3	14	218	75	052	03	309	9.5	2.1	1.7	26	24	21	0.47

sample	spec	EV directions						95% conf. angles			$K_1 \wedge IL$	$S_0 \wedge K_3$	$S_1 \wedge K_3$	$(S_1 \wedge K_3)_{norm}$
		I1	D1	I2	D2	I3	D3	E 12	E 23	E 13				
BR11TH083	B4	15	217	74	055	05	308	6.5	1.4	1.2	27	24	22	0.48
	C1	16	218	73	057	05	309	4.9	1.3	1.0	27	23	21	0.48
	C2	15	217	75	026	03	127	5.3	1.2	1.0	27	29	25	0.47
	C3	16	217	72	057	06	309	6.7	1.3	1.1	28	22	21	0.48
	C4	15	218	74	024	04	127	7.6	1.5	1.3	26	30	26	0.47
Crozon South - Outcrop zone CS03														
BR11TH084	A1	17	074	57	317	28	174	48.1	8.2	7.2	29	20	14	0.42
	A2	16	064	53	311	32	165	18.3	5.9	4.5	29	22	21	0.49
	A4	24	053	43	299	38	163	10.8	5.6	3.7	23	28	24	0.46
	B1	41	063	42	281	20	172	6.6	1.7	1.3	4	12	19	0.61
	B2	23	055	46	299	35	163	4.9	4.0	2.2	23	25	23	0.48
	B3	31	062	48	290	25	169	26.0	2.0	1.8	14	15	19	0.55
	C1	26	056	44	297	34	166	16.6	4.5	3.6	20	24	21	0.46
	C2	22	063	46	308	36	170	3.5	3.2	1.7	23	26	18	0.40
	C3	16	059	48	310	37	162	3.6	5.0	2.1	29	27	24	0.47
	C4	18	060	50	307	34	163	4.2	2.7	1.6	27	24	23	0.49
BR11TH085	A1	33	247	51	104	18	349	8.2	2.4	1.8	35	22	18	0.45
	A2	35	248	50	101	17	350	11.3	2.7	2.2	37	23	17	0.43
	A3	32	248	51	107	20	351	5.6	1.9	1.4	34	20	20	0.50
	A4	34	247	49	105	19	351	9.4	2.3	1.9	36	21	19	0.48
	B1	40	242	44	098	19	349	6.7	2.1	1.6	43	21	19	0.48
	B2	35	244	49	102	20	348	5.9	2.1	1.5	38	20	20	0.50
	B3	36	245	48	101	19	349	8.3	3.0	2.2	39	21	19	0.48
	B4	35	246	49	104	19	350	9.5	2.2	1.8	37	21	19	0.48
	C1	38	253	47	107	18	357	7.3	1.9	1.5	39	23	19	0.46
	C2	34	255	50	113	20	359	11.8	3.0	2.4	34	21	22	0.50
	C3	32	258	53	111	16	359	5.6	1.9	1.4	32	25	18	0.42
	C4	33	257	50	114	19	360	15.7	3.5	2.9	33	23	21	0.49
BR11TH086	A1	29	071	52	296	22	174	4.1	3.2	1.8	22	16	18	0.52
	A2	34	068	44	297	27	178	4.0	2.9	1.7	17	11	24	0.69
	A3	32	066	43	301	30	178	5.8	3.8	2.3	18	10	26	0.72
	A4	29	069	49	298	26	175	4.4	3.0	1.8	22	14	21	0.61
	A5	30	068	51	294	23	172	4.0	2.5	1.5	20	18	17	0.50
	A6	33	067	49	290	22	172	5.8	3.1	2.0	17	18	17	0.48
	B1	32	061	47	288	25	168	4.8	4.2	2.3	17	20	17	0.46
	B2	32	066	46	296	27	175	6.9	4.0	2.5	18	14	22	0.62
	B3	26	065	49	302	30	171	3.8	3.4	1.8	24	16	22	0.58
	B4	21	070	54	309	28	172	4.9	3.1	1.9	30	16	21	0.57
BR11TH087	A1	07	072	78	197	10	341	5.2	4.3	2.4	10	21	21	0.50
	A2	06	073	75	189	13	342	6.1	4.4	2.6	10	18	24	0.57
	A3	09	073	72	191	15	341	4.3	3.4	1.9	12	16	26	0.62
	B1	06	073	78	191	11	342	5.6	6.2	2.9	10	20	22	0.52
	B2	09	074	76	203	11	342	4.9	5.4	2.6	13	20	22	0.52
	B3	06	069	78	188	11	338	7.4	8.1	3.9	7	19	21	0.52
	C1	08	072	76	195	12	340	7.4	6.1	3.3	11	19	23	0.55
	C2	09	073	79	215	07	342	6.8	4.6	2.8	12	24	18	0.43
	C3	05	073	79	192	09	342	5.5	5.4	2.7	9	22	20	0.48
Crozon South - Outcrop zone S04														
BR11TH088	A1	16	229	65	358	18	133	6.5	1.4	1.2	33	24	4	0.15
	A2	15	230	68	001	16	135	12.9	2.3	1.9	32	26	4	0.15
	B1	10	228	67	343	20	134	17.3	2.5	2.2	27	22	3	0.11
	B2	19	230	63	005	18	134	9.4	1.6	1.4	36	24	3	0.13
	C1	14	233	67	358	18	138	12.4	1.3	1.2	32	23	2	0.09
	C2	10	230	68	346	19	137	10.8	1.6	1.4	27	22	1	0.04
	D1	12	234	66	355	20	140	10.2	1.5	1.3	31	20	3	0.12
	D2	11	233	69	356	17	140	14.7	1.3	1.2	29	23	4	0.15
	D3	10	233	70	350	18	139	19.1	2.1	1.9	29	23	3	0.11
	A1	47	059	41	264	13	163	18.9	1.6	1.5	25	22	8	0.27

sample	spec	EV directions						95% conf. angles			$K_1 \wedge IL$	$S_0 \wedge K_3$	$S_1 \wedge K_3$	$(S_1 \wedge K_3)_{norm}$
		I1	D1	I2	D2	I3	D3	E 12	E 23	E 13				
BR11TH089	A2	51	058	37	263	12	163	17.7	2.1	1.9	29	23	8	0.27
	B1	40	059	47	264	13	160	6.8	0.9	0.8	18	22	5	0.19
	B2	43	062	45	262	10	162	16.3	2.3	2.0	21	25	8	0.25
	B3	44	058	43	263	13	161	10.1	1.5	1.3	22	22	6	0.22
	B4	45	060	43	263	12	162	8.6	1.1	1.0	23	23	7	0.24
	C1	45	052	41	262	15	158	12.1	1.6	1.4	24	21	3	0.12
	C2	32	059	54	268	14	158	10.5	1.7	1.4	10	22	3	0.12
	C3	43	056	44	262	13	159	8.4	2.1	1.7	21	23	4	0.16
	C4	46	052	41	259	14	157	7.6	1.3	1.1	25	22	2	0.09
	C5	48	053	39	260	14	158	6.7	1.2	1.0	26	22	3	0.12
BR11TH090	A1	17	053	59	292	25	152	5.7	1.0	0.9	18	5	2	0.25
	A2	24	051	56	281	23	152	8.9	1.6	1.3	26	7	3	0.27
	A3	19	053	60	287	23	151	5.7	1.1	0.9	20	7	2	0.24
	B1	14	056	64	296	22	152	14.0	1.8	1.6	15	8	4	0.30
	B2	15	053	61	294	24	150	17.7	2.7	2.4	17	6	1	0.14
	B3	19	052	58	289	25	152	21.6	3.1	2.7	21	5	2	0.25
	B4	15	053	60	294	25	150	15.0	2.1	1.8	17	5	0	0.00
	B5	25	050	52	283	26	153	14.6	1.8	1.6	27	5	3	0.38
	B6	17	054	59	292	24	152	10.8	1.7	1.5	18	6	2	0.25
Crozon South - Outcrop zone CS05														
BR09TH032	A1	14	233	69	101	15	327	4.7	9.2	3.1	3	17	36	0.68
	A2	15	229	72	078	08	321	6.0	12.3	4.0	7	26	28	0.52
	A3	16	231	65	103	18	326	4.2	11.3	3.1	5	15	38	0.73
	A4	13	230	73	094	11	323	2.8	8.0	2.1	6	22	31	0.59
	A5	11	233	79	063	02	323	5.8	15.1	4.2	5	30	22	0.42
	B1	12	229	10	321	74	092	7.9	41.9	6.8	7	68	60	0.47
	B2	10	233	80	048	01	142	5.6	11.1	3.7	6	33	19	0.36
	B3	18	238	71	067	03	329	3.9	12.4	3.0	4	28	25	0.47
	B4	16	251	47	359	39	148	14.8	12.8	7.0	14	69	20	0.23
	C1	16	238	52	127	34	339	3.0	9.9	2.3	2	5	57	0.92
	C2	20	239	57	115	25	339	1.7	6.2	1.3	6	6	49	0.89
	C3	22	238	54	114	26	340	4.2	14.6	3.3	7	6	50	0.89
	C4	15	242	61	123	24	338	3.0	12.8	2.4	6	7	47	0.88
BR09TH033	A1	24	256	56	126	23	357	4.5	4.6	2.3	21	21	56	0.73
	A2	27	255	53	123	24	358	4.7	5.0	2.4	21	21	57	0.73
	A3	21	257	56	133	26	358	5.1	5.9	2.7	21	21	59	0.74
	A4	23	254	55	127	25	356	3.9	5.3	2.3	19	19	57	0.75
	A5	24	254	52	129	27	357	3.6	4.4	2.0	19	20	59	0.75
	B1	20	246	56	124	27	346	2.9	3.9	1.7	11	10	53	0.84
	B2	19	246	55	127	28	347	3.6	4.3	2.0	10	11	55	0.84
	B3	23	244	52	120	28	347	2.8	3.7	1.6	11	11	55	0.84
	B4	21	243	51	124	31	347	3.0	4.0	1.7	9	10	57	0.85
	B5	20	245	55	124	27	346	4.5	4.8	2.3	10	10	53	0.84
BR09TH034	A1	19	234	46	124	38	340	3.6	5.0	2.1	4	9	61	0.87
	A2	19	237	42	129	42	345	4.3	7.3	2.7	4	14	66	0.82
	A3	17	235	40	129	45	342	3.7	4.3	2.0	2	16	68	0.81
	B1	19	233	54	115	29	334	4.3	12.9	3.3	5	1	51	0.97
	B2	14	234	46	129	40	337	4.6	5.3	2.5	2	10	62	0.86
	B3	17	232	46	123	39	336	3.6	7.0	2.4	4	9	61	0.87
	C1	20	237	47	124	36	343	2.5	4.8	1.7	5	9	60	0.87
	C2	16	237	47	129	39	340	3.4	7.2	2.3	1	10	62	0.86
	D1	17	235	51	122	33	337	3.8	9.0	2.7	2	3	55	0.94
	D2	19	231	46	120	38	336	4.3	8.4	2.8	6	8	60	0.88
	D3	15	234	42	130	44	339	2.4	2.6	1.2	2	14	66	0.82
BR09TH035	A1	22	236	47	121	35	343	4.1	5.2	2.3	7	8	59	0.88
	A2	22	236	50	116	31	340	6.4	7.2	3.4	7	4	54	0.92
	A3	19	235	49	121	35	339	3.9	5.4	2.3	4	6	58	0.91
	A4	24	233	46	115	34	341	4.6	5.4	2.5	9	6	58	0.90

sample	spec	EV directions						95% conf. angles			$K_1 \wedge IL$	$S_0 \wedge K_3$	$S_1 \wedge K_3$	$(S_1 \wedge K_3)_{norm}$
		I1	D1	I2	D2	I3	D3	E 12	E 23	E 13				
BR09TH035	A5	18	235	46	126	38	340	2.1	3.2	1.3	3	9	61	0.87
	A6	22	239	44	126	38	348	5.0	5.0	2.5	8	13	64	0.83
	A7	24	231	43	117	38	341	5.5	4.6	2.5	10	9	61	0.87
	A8	22	235	45	122	37	343	4.4	5.4	2.4	7	10	61	0.86
	B1	21	236	43	125	39	345	1.9	1.7	0.9	6	12	63	0.84
	B2	22	234	42	122	39	344	3.6	4.0	1.9	7	12	63	0.84
	B3	17	233	49	122	36	337	4.1	6.0	2.4	4	6	58	0.90
	B4	25	235	46	116	33	343	6.5	6.9	3.4	10	7	57	0.89
	B5	24	235	43	120	38	345	2.5	2.5	1.3	9	12	63	0.84
	B6	25	233	38	122	42	347	2.4	2.6	1.2	10	15	67	0.81
BR09TH036	A1	14	229	28	131	58	343	3.6	5.5	2.2	7	29	80	0.74
	A2	14	232	32	134	55	343	7.5	6.8	3.6	4	26	78	0.75
	A3	14	225	33	125	54	335	4.3	6.5	2.6	11	24	75	0.76
	A4	15	237	29	138	56	351	3.3	3.5	1.7	1	28	80	0.74
	A5	10	230	39	131	49	331	5.2	5.8	2.8	8	19	70	0.78
	A6	17	230	36	128	50	340	6.5	8.0	3.6	6	20	72	0.78
	A7	13	232	36	133	51	338	7.5	7.1	3.7	4	21	73	0.78
	B1	11	225	33	127	55	331	9.4	8.8	4.6	11	25	76	0.75
	B2	12	228	30	131	57	338	5.6	6.2	3.0	8	27	78	0.74
	B3	13	230	26	134	60	345	5.2	5.1	2.6	6	31	83	0.73
	B4	10	223	23	128	65	335	6.1	12.0	4.0	14	35	86	0.71
	B5	09	225	23	131	65	335	5.5	8.1	3.3	12	35	86	0.71
	B6	14	228	30	130	57	340	4.1	6.1	2.4	8	27	79	0.74
	B7	12	220	27	124	60	331	5.7	9.6	3.6	16	30	81	0.73
BR09TH038	A1	24	253	41	006	40	142	3.2	5.4	2.0	18	71	20	0.22
	A2	26	256	46	017	32	149	3.7	4.5	2.0	22	62	14	0.19
	A3	21	253	56	017	26	152	3.1	5.1	1.9	17	56	13	0.18
	A4	16	249	65	015	20	153	3.2	10.8	2.5	13	50	12	0.20
	A5	22	255	46	009	36	148	2.5	3.9	1.5	19	66	17	0.21
	A6	19	253	46	005	38	148	2.8	4.5	1.7	17	68	19	0.22
	A7	21	252	47	006	36	146	1.8	4.6	1.3	16	67	17	0.20
	A8	20	253	53	012	30	151	1.6	5.1	1.2	17	60	14	0.19
	A9	20	253	53	012	30	151	3.8	8.4	2.6	17	60	14	0.19
	B1	24	252	42	006	39	142	3.4	5.5	2.1	18	70	19	0.21
	B2	25	253	46	012	33	145	2.3	4.5	1.5	19	64	14	0.18
	B3	23	252	54	017	26	150	2.8	5.1	1.8	17	56	11	0.16
	B4	22	253	48	009	34	147	2.6	7.1	1.9	18	64	15	0.19
	B5	22	257	50	015	32	152	4.6	13.2	3.4	21	62	16	0.21
	B6	25	251	47	011	33	143	3.9	9.8	2.8	17	64	13	0.17
BR09TH039	A1	24	244	66	072	03	335	7.5	9.7	4.3	12	27	27	0.50
	A2	15	242	72	030	09	149	2.8	4.7	1.7	6	39	14	0.26
	A3	15	243	72	031	09	151	3.8	5.7	2.3	7	39	15	0.28
	B1	09	241	81	077	02	332	1.7	3.3	1.1	8	28	25	0.47
	B2	11	246	79	071	01	336	4.6	7.8	2.9	11	29	26	0.47
Crozon South - Outcrop zone CS06														
BR09TH003	A1	15	249	75	061	02	158	2.1	10.4	1.8	18	51	28	0.36
	A2	18	244	69	033	10	150	4.3	15.6	3.4	15	41	34	0.46
	A3	22	243	68	052	04	151	4.6	9.7	3.1	18	47	28	0.38
	A4	15	240	73	030	08	147	1.9	5.0	1.4	11	42	32	0.43
	A5	19	249	70	044	08	156	5.1	16.4	3.9	20	45	33	0.43
	A6	19	243	70	053	03	152	3.5	12.4	2.7	15	48	28	0.36
	A7	23	248	64	039	11	153	3.5	20.9	3.0	22	41	36	0.47
	B1	12	244	65	002	22	149	7.0	22.9	5.4	12	29	46	0.61
	B2	18	247	71	060	02	157	4.9	23.5	4.1	18	51	28	0.36
	B3	20	245	68	041	08	152	5.9	16.0	4.3	17	43	33	0.43
	B4	19	248	69	090	07	341	3.6	10.4	2.7	19	60	22	0.27
	B5	21	245	68	047	06	152	3.0	9.9	2.3	18	45	31	0.40
	B6	22	245	66	043	08	152	3.7	12.1	2.8	19	43	33	0.43

sample	spec	EV directions						95% conf. angles			$K_1 \wedge IL$	$S_0 \wedge K_3$	$S_1 \wedge K_3$	$(S_1 \wedge K_3)_{norm}$
		I1	D1	I2	D2	I3	D3	E 12	E 23	E 13				
BR09TH004	A1	11	231	66	115	21	325	2.0	12.1	1.7	4	71	3	0.04
	A2	11	231	79	070	04	321	2.9	14.1	2.4	4	53	21	0.28
	A3	09	231	79	081	05	321	4.1	33.1	3.7	3	54	20	0.27
	A4	08	233	82	056	00	323	3.3	14.0	2.7	1	49	24	0.33
	A5	05	232	60	332	29	139	6.2	20.5	4.8	2	20	53	0.73
	B1	08	230	81	073	04	320	5.7	38.9	5.1	3	53	21	0.28
	B2	09	233	79	091	07	324	5.4	37.7	4.8	2	57	17	0.23
	B3	09	229	71	347	17	136	4.6	47.9	4.3	4	32	42	0.57
	B4	08	229	71	343	17	137	3.9	23.8	3.4	4	32	42	0.57
	B5	07	230	51	329	38	134	5.3	24.9	4.4	3	11	63	0.85
BR09TH005	A1	23	242	59	107	20	340	5.4	9.6	3.5	17	73	14	0.16
	A2	16	237	59	118	26	335	6.8	17.2	4.9	9	77	14	0.15
	A3	20	233	57	108	25	332	2.8	7.4	2.0	12	76	11	0.13
	A4	20	242	62	107	18	339	8.5	18.0	5.8	14	70	13	0.15
	A5	22	238	56	112	25	339	4.2	11.7	3.1	15	77	16	0.17
	B1	19	236	62	106	20	333	6.3	11.8	4.1	11	71	8	0.11
	B2	20	248	66	101	12	343	7.5	20.3	5.6	18	66	17	0.20
	B3	14	234	63	115	22	330	6.7	14.8	4.6	6	72	8	0.10
	B4	12	234	66	116	21	329	7.7	16.8	5.3	4	71	7	0.09
	B5	20	233	57	110	25	333	7.1	9.8	4.1	12	76	12	0.14
	B6	26	243	58	100	16	342	15.7	16.3	8.2	20	69	15	0.18
	C1	20	245	62	113	19	342	7.1	24.6	5.6	16	72	16	0.18
	C2	19	246	62	116	20	344	6.9	17.4	5.0	16	74	18	0.20
BR09TH009	A1	06	214	83	003	03	123	7.2	12.1	4.5	19	47	35	0.43
	A2	01	215	85	117	05	305	5.6	5.2	2.7	19	55	28	0.34
	A3	02	216	85	324	05	126	3.8	3.4	1.8	18	45	35	0.44
	B2	01	217	88	329	02	127	4.8	7.2	2.9	17	47	32	0.40
	B4	05	035	84	196	02	305	5.0	6.0	2.7	22	52	30	0.37
BR09TH010	A1	08	217	74	098	13	308	3.0	3.1	1.5	17	62	18	0.22
	A2	07	217	76	099	12	308	4.4	5.3	2.4	17	61	18	0.22
	A3	08	220	72	104	16	312	4.7	4.3	2.2	14	65	14	0.17
	A4	08	220	74	103	14	312	2.2	2.2	1.1	14	63	14	0.18
BR09TH011	A1	08	229	46	327	43	132	3.1	22.9	2.7	6	6	53	0.89
	A2	13	227	32	326	54	118	3.3	12.8	2.6	9	12	66	0.85
	C1	12	232	37	331	51	127	2.4	13.7	2.1	5	6	61	0.92
	C2	10	234	67	348	21	140	7.1	32.8	6.0	2	28	30	0.51
	C3	08	233	70	346	18	140	2.4	12.7	2.0	2	31	27	0.46
	C4	09	233	40	330	49	133	2.4	18.5	2.1	2	1	58	0.98
BR09TH012	A1	07	227	50	326	39	132	3.2	7.9	2.3	8	10	49	0.83
	A2	07	228	48	326	41	131	2.3	9.2	1.9	7	8	51	0.86
	A3	09	227	46	327	42	129	2.9	7.3	2.1	8	8	52	0.87
	A4	04	227	57	323	33	134	3.3	10.1	2.5	9	16	43	0.73
	B1	06	227	55	326	34	133	3.2	10.9	2.5	8	15	44	0.74
	B2	08	226	55	327	34	131	3.3	13.0	2.6	9	15	44	0.74
	B3	08	228	63	335	25	134	3.4	13.6	2.8	7	24	35	0.59
BR09TH013	A1	04	226	61	323	29	133	3.3	8.4	2.4	2	20	59	0.75
	A2	04	231	63	330	27	139	2.7	7.9	2.0	3	22	57	0.72
	B1	02	228	69	323	21	137	3.5	10.6	2.6	1	28	51	0.65
	B2	02	227	67	321	23	136	2.1	7.0	1.6	1	26	53	0.67
	B3	03	226	69	323	21	135	1.9	5.9	1.4	2	28	51	0.65
	B4	03	227	70	326	20	135	3.1	9.8	2.3	1	29	50	0.63
BR09TH014	A1	24	241	52	004	28	137	4.2	8.2	2.8	9	21	42	0.66
	A2	23	241	48	359	33	135	6.9	15.8	4.8	9	16	47	0.74
	A3	23	242	46	357	35	134	6.0	10.8	3.9	8	14	49	0.78
	B1	26	242	37	354	41	126	2.3	4.7	1.5	9	10	57	0.85
	B2	22	240	41	351	41	130	3.8	9.0	2.7	10	9	55	0.86
	B3	23	241	42	353	39	131	3.3	5.4	2.1	9	10	53	0.84
	C1	22	239	48	357	33	134	4.3	8.1	2.8	10	16	47	0.75

sample	spec	EV directions						95% conf. angles			$K_1 \wedge IL$	$S_0 \wedge K_3$	$S_1 \wedge K_3$	$(S_1 \wedge K_3)_{norm}$
		I1	D1	I2	D2	I3	D3	E 12	E 23	E 13				
	C2	21	239	50	355	33	135	4.8	9.2	3.1	10	16	47	0.74
BR09TH015	A1	23	229	43	115	38	338	5.7	2.4	1.7	15	89	3	0.04
	A2	24	226	46	108	34	334	9.9	4.0	2.8	18	85	5	0.06
	A3	28	224	42	106	36	336	4.6	1.5	1.1	22	87	3	0.04
	A4	33	219	39	098	34	335	4.9	1.8	1.3	28	85	4	0.05
	A5	25	227	38	116	42	342	7.1	6.1	3.3	18	86	7	0.08
	C1	11	228	48	126	40	327	2.3	2.7	1.3	13	90	11	0.11
	C2	09	227	47	127	41	325	2.6	2.6	1.3	14	90	13	0.13
	D1	14	237	49	131	38	338	4.0	5.9	2.4	4	89	3	0.04
	D2	13	233	47	129	40	335	3.3	3.6	1.7	8	89	6	0.07
BR09TH016	A1	11	234	73	003	13	142	2.6	6.1	1.8	3	36	30	0.45
	A2	06	226	77	344	11	135	7.5	11.0	4.5	12	38	31	0.45
	A3	05	229	78	342	11	138	7.0	11.7	4.4	9	38	29	0.44
	A4	07	230	74	347	14	138	6.1	10.6	3.9	8	35	32	0.48
	A5	04	228	80	339	09	138	10.0	14.1	5.9	11	40	28	0.41
	A6	02	229	80	330	10	139	3.7	5.5	2.2	11	39	28	0.42
	A7	10	229	67	343	21	136	6.6	13.3	4.5	8	28	39	0.58
	A8	06	231	74	340	15	140	2.3	3.9	1.4	7	34	33	0.49
	B1	01	225	76	319	14	134	4.9	8.4	3.1	15	35	34	0.49
	B2	10	236	67	352	20	143	4.2	7.8	2.8	1	30	37	0.55
BR09TH016	B3	07	226	72	339	16	134	3.2	4.9	1.9	11	33	36	0.52
	B4	07	225	72	336	16	133	4.0	6.6	2.5	12	33	36	0.52
	B5	06	223	76	338	13	132	3.1	5.0	1.9	14	36	34	0.49
	B6	09	227	65	336	23	133	3.6	7.7	2.5	10	26	42	0.62
	B7	07	233	76	354	12	141	6.4	13.4	4.3	5	37	29	0.44
	B8	10	232	71	352	16	139	4.3	8.4	2.9	5	33	34	0.50
	B9	07	231	72	343	16	139	5.9	10.8	3.8	7	33	34	0.50
	B10	06	228	78	347	10	137	6.2	9.9	3.8	10	39	29	0.43
BR09TH017	A1	09	226	52	328	37	129	4.5	16.0	3.5	9	13	37	0.75
	A2	12	226	46	330	41	126	4.5	9.8	3.1	12	10	42	0.80
	A3	10	226	44	326	44	127	6.4	17.1	4.7	10	7	45	0.86
	A4	07	225	46	323	44	128	2.9	7.2	2.1	7	7	44	0.86
	C1	05	225	71	330	18	133	2.8	6.6	2.0	5	31	18	0.37
	C2	06	225	66	328	23	132	3.5	7.5	2.4	6	26	23	0.47
BR09TH018	A1	11	226	73	354	13	133	2.5	6.2	1.8	15	36	54	0.60
	A2	10	226	73	352	13	133	1.7	4.1	1.2	15	36	54	0.60
	C1	11	228	77	016	07	137	7.7	23.8	5.9	13	42	46	0.52
	C2	08	228	76	354	11	136	2.8	6.8	2.0	14	38	50	0.57
	C3	11	226	71	351	15	133	3.4	7.9	2.4	15	34	55	0.62
BR09TH019	A1	06	198	58	298	31	104	5.3	19.6	4.2	32	29	70	0.70
	A2	01	026	52	294	38	117	5.6	16.8	4.2	25	17	70	0.81
	A3	03	027	57	293	33	119	5.3	16.9	4.0	24	20	65	0.77
	A4	02	208	54	301	36	116	3.2	11.6	2.5	22	19	69	0.78
	A5	00	208	56	299	34	118	5.0	14.2	3.7	23	20	66	0.77
	A6	01	024	62	293	28	115	3.5	12.2	2.7	27	26	62	0.70
	A7	04	204	61	301	29	112	5.5	14.6	4.0	26	27	64	0.71
	B1	04	205	53	299	37	112	5.2	15.3	3.9	25	21	71	0.78
	B2	02	206	49	298	41	115	6.1	15.4	4.4	24	16	74	0.82
	B3	04	207	69	307	20	115	9.9	20.1	6.7	23	33	55	0.62
	B4	03	208	56	303	34	116	5.8	16.3	4.3	22	21	67	0.77
	B5	04	209	57	305	33	116	3.4	8.4	2.4	21	21	66	0.76
	B6	08	209	50	308	39	112	2.7	9.1	2.1	21	19	73	0.79
BR09TH020	A1	08	227	73	345	15	135	4.1	16.1	3.3	5	34	47	0.58
	A2	05	223	78	334	11	132	3.5	17.9	2.9	5	38	44	0.53
	A3	07	220	73	332	16	128	2.1	9.6	1.7	9	33	49	0.60
	A4	06	222	75	334	14	130	4.4	17.4	3.5	7	35	47	0.57
	A5	06	221	62	323	27	128	4.1	14.2	3.2	8	23	60	0.73
	B1	11	229	72	355	14	137	7.1	17.4	5.1	8	35	46	0.57

sample	spec	EV directions						95% conf. angles			$K_1 \wedge IL$	$S_0 \wedge K_3$	$S_1 \wedge K_3$	$(S_1 \wedge K_3)_{norm}$
		I1	D1	I2	D2	I3	D3	E 12	E 23	E 13				
	B2	08	224	65	331	23	130	5.8	15.4	4.3	6	26	56	0.68
	B3	09	223	67	335	21	129	2.2	8.9	1.8	8	28	54	0.66
Crozon South - Outcrop zone CS07														
BR11TH001	A1	03	270	48	176	42	003	11.4	1.3	1.2	37	10	22	0.69
	A2	00	272	48	182	42	002	14.5	1.8	1.6	40	9	21	0.70
	B1	07	270	48	173	41	006	9.6	1.2	1.1	35	12	24	0.66
	B2	04	096	48	190	42	003	15.7	1.5	1.3	46	10	22	0.69
	C1	01	274	49	183	41	005	27.1	1.8	1.7	41	12	23	0.66
	C3	22	114	43	226	39	005	55.7	1.9	1.9	70	13	22	0.64
	D1	03	266	49	173	41	358	21.0	2.8	2.5	33	7	18	0.72
	D2	06	268	49	171	40	003	14.1	1.5	1.4	34	11	21	0.66
	D3	04	098	51	192	38	005	17.4	2.3	2.0	47	13	22	0.63
BR11TH002	A1	06	089	57	189	32	355	8.1	1.0	0.9	37	14	15	0.52
	A2	06	262	56	164	33	356	7.2	0.9	0.8	24	13	16	0.56
	A3	04	263	56	166	34	355	13.1	1.4	1.2	26	12	16	0.58
	A4	02	265	56	173	34	356	6.3	0.7	0.6	28	12	17	0.58
	B1	04	088	53	184	37	355	8.4	0.9	0.8	35	9	18	0.66
	B2	07	261	53	161	36	356	11.5	1.3	1.2	22	10	18	0.64
	B3	08	260	52	160	37	355	13.9	1.7	1.6	21	9	18	0.66
	B4	04	263	53	167	36	356	17.3	2.1	1.9	26	10	18	0.64
	C1	01	268	52	177	38	359	7.6	1.1	1.0	31	10	21	0.68
	C2	01	268	52	176	38	358	17.8	1.9	1.8	31	9	20	0.69
	C3	11	259	50	155	38	357	24.8	2.1	1.9	19	9	19	0.69
	C4	03	267	53	174	37	359	17.3	1.6	1.5	30	10	20	0.66
Crozon North - CN01														
BR13TH036	A1	16	046	48	297	38	149	10.9	1.3	1.2		72	7	0.09
	B1	11	047	45	306	43	147	4.8	1.0	0.9		67	3	0.04
	B2	12	048	47	304	40	148	7.0	1.2	1.0		70	5	0.07
	B3	15	045	48	298	38	148	6.0	0.8	0.7		72	7	0.09
	C1	05	054	52	319	38	148	6.5	1.5	1.2		72	7	0.09
	C2	09	052	51	310	38	149	3.7	0.8	0.7		72	7	0.09
BR13TH037	A1	11	285	01	015	79	109	1.6	2.4	1.0		29	14	0.33
	A2	12	290	07	199	76	080	0.9	1.1	0.5		24	15	0.38
	B1	08	290	01	200	82	105	1.2	1.6	0.7		27	17	0.39
	B2	08	294	03	204	82	093	1.9	2.1	1.0		25	17	0.41
	B3	13	291	02	022	77	123	1.1	1.1	0.5		32	13	0.28
	C1	07	292	02	023	83	130	1.2	1.3	0.6		29	19	0.39
	C2	08	291	04	021	81	138	2.5	2.3	1.2		31	18	0.36
	C3	10	290	01	020	80	114	2.7	2.4	1.3		29	15	0.34
BR13TH038	A1	16	153	34	255	51	042	1.1	2.6	0.8		22	4	0.17
	A2	22	159	34	264	48	042	0.8	1.5	0.5		24	7	0.23
	B1	19	156	37	261	47	044	0.9	2.0	0.6		26	8	0.24
	C1	20	150	44	260	40	043	1.6	2.3	0.9		31	15	0.32
	C2	16	148	43	254	43	043	0.5	1.2	0.4		29	12	0.30
	C3	22	153	41	263	41	043	0.7	1.1	0.4		30	14	0.32
	D1	22	155	41	265	41	044	0.8	1.5	0.5		31	14	0.31
	D2	23	156	44	270	38	047	2.2	2.8	1.2		35	17	0.33
	D3	21	157	43	268	39	049	1.7	1.9	0.9		34	16	0.32
	E1	19	151	44	259	41	044	0.9	2.1	0.6		31	14	0.31
	E2	25	157	42	271	38	045	1.3	2.1	0.8		34	17	0.33
	E3	21	152	45	264	38	045	2.2	3.2	1.3		34	17	0.33
	A1	20	018	47	266	37	124	5.7	1.1	0.9		4	8	0.68
BR13TH039	A2	12	021	47	278	40	122	10.8	1.8	1.6		5	5	0.51
	A3	19	018	44	269	40	125	14.7	3.4	2.8		6	5	0.44
	B1	21	015	47	261	36	120	10.4	2.3	1.9		1	10	0.91
	B2	05	221	51	317	39	128	17.4	4.0	3.3		8	6	0.46
	B3	05	032	52	296	37	126	12.7	2.2	1.9		5	8	0.60
	B4	13	026	49	280	38	126	7.0	1.3	1.1		6	7	0.55

sample	spec	EV directions						95% conf. angles			$K_1 \wedge IL$	$S_0 \wedge K_3$	$S_1 \wedge K_3$	$(S_1 \wedge K_3)_{norm}$
		I1	D1	I2	D2	I3	D3	E 12	E 23	E 13				
	C1	00	036	50	306	40	126	8.7	1.5	1.2		7	5	0.42
	C2	10	027	49	285	39	125	3.7	0.7	0.6		6	6	0.52
	C3	09	029	49	288	40	126	4.4	0.8	0.7		7	5	0.42
BR13TH040	A1	06	251	08	160	80	016	1.8	1.4	0.8		21	11	0.34
	A2	04	251	10	160	79	004	2.0	1.7	0.9		19	13	0.40
	A3	04	249	10	159	79	359	3.6	2.8	1.6		19	14	0.42
	A4	05	251	11	160	78	004	5.2	4.0	2.3		18	14	0.43
	B1	03	255	09	165	80	001	5.5	4.4	2.4		20	13	0.39
	B2	02	251	09	161	81	351	3.5	3.3	1.7		21	13	0.39
	B3	04	251	10	160	79	360	2.8	3.3	1.5		19	13	0.41
	B4	04	252	08	162	81	010	2.9	2.8	1.4		21	11	0.34
	C1	05	250	11	159	77	005	1.9	1.7	0.9		17	14	0.45
	C2	04	251	10	160	79	004	2.0	1.8	1.0		19	13	0.40
	C3	04	249	11	158	78	359	3.2	2.9	1.5		18	14	0.44
	C4	05	250	11	160	78	003	1.8	1.5	0.8		18	14	0.43
BR13TH041	A1	14	258	26	161	60	014	2.4	1.6	0.9		7	12	0.63
	A2	14	259	25	162	60	016	2.9	1.8	1.1		8	12	0.59
	A3	14	259	26	162	60	014	2.2	1.4	0.9		7	12	0.63
	A4	15	258	25	161	60	016	2.1	1.3	0.8		8	12	0.59
	A5	15	256	25	159	60	014	3.9	2.5	1.5		7	12	0.63
	B1	12	258	24	163	63	012	2.7	1.7	1.0		6	10	0.61
	B2	12	259	25	163	62	012	1.8	1.2	0.7		6	11	0.64
	B3	12	258	27	162	60	010	2.7	1.8	1.1		5	13	0.72
	B4	12	259	25	163	62	013	6.5	3.8	2.4		7	11	0.61
	C1	09	258	22	165	66	009	2.7	1.8	1.1		7	9	0.55
	C2	09	260	24	166	65	010	2.9	1.9	1.2		7	9	0.57
	D1	08	260	27	166	62	006	2.4	1.6	1.0		4	12	0.78
Crozon North - CN02														
BR13TH042	A1	05	084	03	175	84	297	7.1	2.4	1.8		22	11	0.33
	A2	02	094	03	184	87	325	16.2	2.6	2.3		22	8	0.26
	B1	01	090	02	180	87	328	2.2	1.3	0.8		22	8	0.26
	B2	01	089	04	179	85	341	4.2	1.9	1.3		20	10	0.33
	B3	05	093	03	183	84	308	6.0	2.6	1.8		21	11	0.34
	B4	03	090	03	181	85	316	4.9	2.0	1.4		21	10	0.32
	C1	03	090	00	000	87	268	4.0	1.7	1.2		25	7	0.23
	C2	02	087	03	177	86	321	3.1	1.4	0.9		22	9	0.29
	C3	02	092	03	002	86	218	2.3	1.1	0.7		28	6	0.18
	D1	01	271	05	181	85	013	3.2	1.6	1.1		20	9	0.30
	D2	01	270	06	179	84	010	4.4	1.7	1.2		19	10	0.33
	D3	01	090	01	000	89	224	1.9	0.8	0.5		26	5	0.17
BR13TH043	A1	01	084	18	353	72	175	3.1	2.3	1.3		43	15	0.26
	A2	02	095	19	004	71	191	8.5	3.9	2.7		43	18	0.29
	A3	01	082	20	352	70	176	8.8	3.5	2.5		45	17	0.28
	B1	06	271	12	180	76	027	7.2	3.5	2.3		16	15	0.49
	B2	06	267	16	175	73	017	5.5	3.0	2.0		12	19	0.61
	B3	03	267	17	176	73	008	5.8	3.0	2.0		10	20	0.66
	C1	01	270	00	360	89	106	8.6	3.4	2.5		25	4	0.14
	C2	04	266	10	176	79	017	6.9	2.5	1.8		16	13	0.46
	C3	05	269	11	178	78	023	3.7	1.8	1.2		16	14	0.46
	D1	03	269	01	179	87	064	3.6	1.2	0.9		24	4	0.15
	D2	04	268	11	177	79	016	3.8	1.6	1.1		16	13	0.46
	D3	03	269	06	179	84	030	1.7	0.8	0.6		21	8	0.28
BR13TH044	A1	04	277	06	187	82	042	3.6	1.0	0.8		16	2	0.11
	A2	03	288	09	198	80	034	14.3	3.6	2.9		15	1	0.07
	A3	02	275	08	184	81	021	13.8	3.4	2.7		13	3	0.20
	B1	01	266	10	175	80	359	10.0	4.0	2.9		10	7	0.41
	B2	01	279	05	189	85	020	15.1	3.4	2.8		16	6	0.26
	C1	01	269	09	179	81	004	7.7	1.8	1.5		11	6	0.34

sample	spec	EV directions						95% conf. angles			$K_1 \wedge IL$	$S_0 \wedge K_3$	$S_1 \wedge K_3$	$(S_1 \wedge K_3)_{norm}$
		I1	D1	I2	D2	I3	D3	E 12	E 23	E 13				
BR13TH044	C2	01	101	10	191	80	008	14.1	2.4	2.1		11	5	0.33
	C3	02	095	10	185	80	355	8.3	2.7	2.1		10	8	0.43
	D1	01	281	09	190	81	017	11.6	2.8	2.3		13	4	0.24
	D2	01	275	09	185	81	014	3.1	0.7	0.6		12	4	0.26
	E1	05	280	07	189	81	042	7.9	1.9	1.5		16	1	0.06
	E2	03	278	10	188	79	024	4.7	1.0	0.8		12	3	0.20
BR13TH045	A1	06	073	09	342	79	196	4.2	2.1	1.4		35	8	0.19
	B1	10	072	09	341	77	211	3.9	2.2	1.4		36	12	0.25
	C1	10	074	09	342	77	212	3.5	1.9	1.2		36	12	0.25
	C2	10	073	07	342	78	216	4.1	2.3	1.5		34	12	0.26
	C3	09	073	09	342	78	208	3.9	1.9	1.3		35	11	0.23
	C4	11	075	08	344	77	218	4.0	2.2	1.4		35	13	0.27
	D1	09	071	08	340	78	211	4.4	2.6	1.7		35	11	0.24
	D2	10	075	08	344	78	216	4.6	2.0	1.4		34	12	0.26
	E1	13	075	09	343	74	217	3.9	2.3	1.4		38	15	0.29
	E2	12	075	09	344	76	219	3.6	2.0	1.3		36	14	0.28
	E3	14	077	09	345	74	223	4.3	2.4	1.5		37	16	0.30
BR13TH046	A1	07	071	13	163	75	313	3.7	1.3	1.0		16	3	0.18
	A2	08	074	12	165	76	310	6.7	2.3	1.7		17	3	0.14
	A3	07	071	12	163	75	311	4.5	1.2	1.0		16	3	0.15
	B1	09	074	13	166	74	309	3.9	1.2	0.9		16	3	0.14
	B2	10	073	12	165	74	303	1.4	0.5	0.4		18	1	0.07
	B3	09	070	13	162	74	308	3.1	1.0	0.8		17	2	0.12
	C1	07	072	10	163	78	305	3.8	1.3	0.9		18	3	0.15
	C2	10	069	13	161	73	301	2.7	0.9	0.7		19	2	0.10
	C3	09	067	11	159	76	297	6.1	1.6	1.3		20	1	0.06
	D1	11	068	12	160	73	296	4.0	1.3	1.0		20	2	0.10
	D2	11	070	11	162	74	296	3.9	1.3	0.9		20	1	0.07
	D3	11	071	12	163	74	300	3.7	1.2	0.9		19	1	0.05
Crozon North - CN03														
BR09TH053	A1	23	268	03	177	67	080	7.7	3.3	2.3		41	5	0.10
	B1	20	268	03	177	69	079	6.1	2.6	1.8		40	4	0.09
	B2	21	268	02	178	69	082	5.2	2.5	1.7		41	3	0.07
	C1	22	268	02	177	68	081	5.1	2.5	1.7		41	4	0.08
	D1	23	268	03	177	66	081	3.7	1.8	1.2		42	5	0.11
BR09TH054	A1	16	265	13	172	70	045	8.5	2.1	1.7		28	10	0.27
	A2	14	262	12	169	71	038	5.6	1.7	1.3		26	12	0.32
	B1	16	269	10	176	71	054	9.8	4.2	2.9		31	7	0.18
	B2	12	268	10	176	74	047	7.8	3.0	2.2		29	9	0.24
	C1	17	267	07	175	72	064	6.6	2.2	1.7		34	4	0.11
BR09TH055	A1	28	257	05	164	61	064	2.6	1.1	0.8		38	6	0.15
	B1	27	263	06	170	62	068	8.3	3.6	2.5		39	4	0.10
	B2	25	269	12	173	62	060	7.8	2.6	1.9		35	7	0.17
	C1	26	270	10	175	62	066	5.4	1.8	1.3		38	5	0.12
	C2	27	266	08	172	62	067	6.1	2.3	1.7		38	5	0.11
	D1	28	266	13	169	58	057	6.8	3.4	2.3		36	11	0.24
	D2	27	266	10	171	61	063	8.2	4.8	3.0		37	7	0.15
Crozon North - CN04														
BR13TH047	A1	12	257	28	161	59	007	5.1	1.3	1.0		17	9	0.33
	B1	17	258	25	159	59	018	3.9	1.0	0.8		22	6	0.22
	B2	20	256	24	157	58	021	3.3	0.9	0.7		23	7	0.23
	C1	16	261	28	163	57	017	3.2	1.1	0.8		21	8	0.28
	B3	21	258	27	156	54	021	5.4	1.5	1.2		22	11	0.34
BR13TH048	A1	01	242	36	151	54	334	3.1	1.2	0.9		14	15	0.53
	A2	01	061	36	152	54	331	2.7	1.1	0.8		15	16	0.52
	A3	01	057	34	148	56	325	3.8	1.6	1.1		19	17	0.47
	B1	11	245	31	148	57	352	4.2	1.6	1.1		12	8	0.40
	B2	12	246	31	149	56	355	3.3	1.2	0.9		11	9	0.44

sample	spec	EV directions						95% conf. angles			$K_1 \wedge IL$	$S_0 \wedge K_3$	$S_1 \wedge K_3$	$(S_1 \wedge K_3)_{norm}$
		I1	D1	I2	D2	I3	D3	E 12	E 23	E 13				
BR13 TH048	C1	17	249	28	149	56	007	3.0	1.1	0.8		15	11	0.41
	C2	15	246	25	149	60	004	3.6	1.2	0.9		17	6	0.27
	C3	18	250	29	150	55	008	3.7	1.2	0.9		15	12	0.44
	D1	12	252	27	156	60	003	4.9	1.8	1.3		17	6	0.27
	D2	15	248	28	150	58	004	4.6	1.7	1.2		16	8	0.34
	D3	15	247	28	149	58	002	3.1	1.0	0.8		15	8	0.34
	E1	10	250	30	154	58	357	3.0	1.0	0.8		14	7	0.34
Crozon North - CN05														
BR13TH049	A1	40	197	21	306	42	057	37.4	11.9	9.4		36	23	0.39
	A2	38	183	11	282	50	026	44.6	11.0	9.2		13	21	0.61
	A3	26	216	02	124	64	030	30.5	21.8	13.4		19	11	0.36
	B1	08	270	05	001	81	121	27.0	23.4	13.2		45	23	0.34
	B2	30	222	16	322	55	075	33.0	18.1	12.3		41	14	0.25
	B3	30	250	00	160	60	069	13.4	12.1	6.4		36	8	0.18
	C1	31	216	11	312	57	059	27.1	11.9	8.5		32	8	0.20
	C2	32	247	02	156	58	063	33.5	18.8	12.7		34	8	0.19
	C3	34	222	05	316	56	053	42.8	13.1	10.5		29	9	0.24
	D1	34	221	00	311	56	041	23.1	11.2	7.7		22	11	0.34
	D2	32	250	15	150	54	038	43.8	12.2	10.0		21	14	0.40
	D3	10	310	31	214	57	056	62.7	12.9	11.6		30	8	0.21
Crozon North - CN06														
BR09TH043	A1	21	232	07	325	68	072	6.1	3.4	2.2		30	34	0.53
	A2	21	233	05	325	69	068	5.3	2.8	1.8		29	32	0.53
	B1	24	231	08	324	64	070	7.8	3.9	2.6		32	35	0.52
	B2	23	234	04	326	67	066	3.2	1.8	1.1		29	32	0.53
	C1	26	238	13	334	61	088	4.8	2.3	1.6		40	44	0.52
	C2	23	234	14	331	62	089	2.9	1.5	1.0		40	43	0.52
	C3	22	233	14	329	64	090	4.6	2.4	1.6		39	42	0.52
	D1	24	241	15	338	61	098	6.2	3.8	2.4		43	47	0.52
	D2	24	238	15	335	61	095	4.3	2.4	1.5		42	46	0.52
	D3	22	234	17	331	61	095	5.1	2.7	1.7		42	46	0.52
BR09TH041	A1	05	258	15	167	74	005	4.2	2.1	1.4		10	15	0.59
	A2	04	259	17	168	72	001	3.2	1.5	1.0		8	13	0.61
	A3	02	257	15	166	74	353	6.9	4.3	2.6		9	14	0.61
	A4	03	258	14	167	75	001	4.6	2.2	1.5		11	16	0.59
	A5	05	253	14	161	75	001	5.3	2.5	1.7		11	16	0.59
	B1	09	239	12	147	75	005	3.4	1.4	1.0		11	16	0.59
	B2	00	259	15	169	75	351	4.0	1.9	1.3		10	15	0.60
	B3	01	259	15	169	75	352	4.3	2.1	1.4		10	15	0.60
	B4	03	256	14	165	76	358	4.2	2.0	1.3		11	16	0.59
	B5	03	252	14	162	76	355	3.6	1.4	1.0		11	16	0.59
BR09TH042	A1	21	143	31	040	51	261	2.8	5.3	1.9		45	47	0.51
	A2	11	239	15	332	71	114	3.4	6.6	2.2		39	43	0.53
	A3	05	244	14	153	75	351	3.2	2.2	1.3		10	15	0.60
	A4	09	244	13	152	75	007	4.0	3.5	1.9		11	16	0.59
	A5	02	244	15	154	74	343	2.6	1.2	0.8		9	14	0.60
	A6	03	245	18	154	72	343	4.3	2.1	1.4		7	12	0.62
	B1	09	237	18	330	70	122	2.7	6.6	1.9		41	46	0.53
	B2	12	238	23	333	63	123	3.8	7.4	2.5		47	52	0.52
	B3	10	239	28	335	60	131	3.3	5.4	2.0		52	56	0.52
	B4	11	237	26	332	62	125	2.5	5.9	1.7		49	53	0.52
	B5	06	242	10	151	79	003	4.0	2.6	1.6		14	19	0.57
	B6	08	242	09	151	78	011	3.5	2.3	1.4		14	19	0.57
BR09 TH049	A1	04	264	15	355	74	160	8.3	9.5	4.4		41	46	0.53
	A2	07	258	18	350	71	148	5.4	8.3	3.3		43	48	0.53
	A3	06	254	07	345	81	121	2.5	5.3	1.7		32	36	0.54
	A4	07	256	05	347	81	113	2.4	5.6	1.7		31	36	0.54

sample	spec	EV directions						95% conf. angles			$K_1 \wedge IL$	$S_0 \wedge K_3$	$S_1 \wedge K_3$	$(S_1 \wedge K_3)_{norm}$
		I1	D1	I2	D2	I3	D3	E 12	E 23	E 13				
BR09 TH049	A5	07	257	02	347	82	089	2.6	5.2	1.7		27	32	0.54
	B1	03	258	05	168	84	023	1.5	1.3	0.7		20	25	0.55
	B2	03	262	06	172	83	020	3.1	2.9	1.5		19	24	0.56
	B3	04	261	02	171	86	054	3.2	2.8	1.5		24	28	0.55
BR09TH050	A1	04	076	04	166	84	298	4.7	2.4	1.6		22	7	0.25
	A2	01	076	06	166	84	332	6.7	3.5	2.3		19	4	0.18
	A3	04	246	33	338	57	150	2.9	3.9	1.6		57	43	0.43
	A4	03	246	16	337	73	146	2.5	3.5	1.4		41	27	0.39
	A5	01	248	05	338	85	143	3.4	5.2	2.0		30	15	0.33
	A6	01	245	10	335	80	152	2.6	5.0	1.7		35	20	0.36
	B1	00	077	04	347	86	170	3.6	1.8	1.2		29	14	0.33
	B2	02	246	13	337	77	147	2.3	3.4	1.4		37	23	0.38
	B3	06	242	22	334	67	139	4.1	7.9	2.7		46	32	0.41
	B4	05	245	24	337	65	145	3.3	7.3	2.3		49	35	0.41
BR09TH048	A1	06	259	28	166	62	000	3.9	2.8	1.6		5	5	0.49
	A2	04	257	27	164	62	355	2.8	1.9	1.2		4	3	0.46
	A3	04	255	26	163	64	352	2.9	2.0	1.2		1	4	0.76
	B1	06	257	23	165	66	360	3.4	2.5	1.4		4	8	0.64
	B2	02	258	22	167	68	353	3.7	2.4	1.5		3	8	0.72
	B3	08	260	26	165	63	006	3.8	2.0	1.3		7	8	0.53
	B4	06	258	26	165	63	001	7.6	3.9	2.6		5	6	0.54
BR09TH058	A1	03	060	07	150	83	304	6.3	3.1	2.1		9	5	0.39
	A2	06	240	14	149	75	352	3.7	2.0	1.3		19	6	0.25
	A3	05	237	14	146	75	346	3.0	1.6	1.0		19	6	0.23
	A4	05	239	16	148	73	348	5.7	2.5	1.7		21	8	0.27
	A5	05	240	14	148	75	349	6.5	3.1	2.1		19	6	0.24
	A6	05	240	13	149	76	350	4.5	2.3	1.5		18	5	0.22
	A7	04	240	14	149	76	346	6.7	3.7	2.4		18	5	0.21
BR09 TH057	A1	07	058	02	327	83	221	5.8	2.6	1.8		2	4	0.66
	A2	08	059	04	329	82	213	7.9	2.8	2.1		3	5	0.64
	B1	07	058	02	327	83	220	5.8	2.4	1.7		2	4	0.66
	B2	03	063	01	333	86	232	5.0	2.2	1.5		2	2	0.55
BR09TH056	A1	04	060	00	150	86	243	5.3	1.5	1.2		2	8	0.77
	A2	05	115	00	025	85	294	51.6	5.0	4.6		6	5	0.44
	A3	05	062	00	152	85	242	7.3	2.1	1.7		2	8	0.77
	A4	07	062	01	152	83	250	5.5	1.5	1.2		4	6	0.61
	A5	04	063	01	153	86	259	7.0	2.2	1.7		3	7	0.66
	A6	04	058	01	148	85	253	17.2	5.3	4.1		3	7	0.67
	B1	07	061	03	152	82	264	5.8	1.4	1.1		6	4	0.43
	B2	06	067	00	337	84	244	3.1	1.1	0.8		3	7	0.71
	B3	08	065	00	335	82	244	4.8	1.6	1.2		4	7	0.62
	B4	05	067	02	158	84	265	6.1	2.0	1.5		5	5	0.52
BR09 TH061	A1	00	228	05	138	85	320	3.1	2.6	1.4		8	6	0.44
	A2	01	231	06	141	84	326	4.5	3.7	2.0		9	6	0.41
BR09TH063	A1	06	230	47	326	43	135	3.6	3.0	1.6		46	5	0.09
	A2	08	229	42	326	46	130	5.5	5.0	2.6		44	6	0.12
	A3	08	232	44	330	45	135	4.1	3.9	2.0		44	6	0.12
	A4	08	231	42	328	47	132	2.4	2.3	1.2		43	7	0.14
	A5	08	228	43	325	46	130	3.2	3.2	1.6		44	6	0.12
	A6	06	229	43	324	47	133	4.5	4.5	2.2		43	7	0.15
	B1	07	229	46	326	44	132	5.9	6.2	3.0		46	4	0.09
	B2	10	232	47	332	41	133	3.9	4.5	2.1		48	2	0.05
	B3	08	232	48	332	41	135	3.6	4.6	2.0		48	4	0.08
	B4	11	231	47	332	41	131	4.5	5.3	2.5		49	1	0.03
	B5	10	230	43	329	45	129	4.5	5.3	2.4		45	5	0.10
	A1	04	074	42	340	47	168	1.7	0.9	0.6		40	9	0.19
	A2	04	073	42	339	48	167	3.5	1.9	1.2		39	9	0.20

sample	spec	EV directions						95% conf. angles			$K_1 \wedge IL$	$S_0 \wedge K_3$	$S_1 \wedge K_3$	$(S_1 \wedge K_3)_{norm}$
		I1	D1	I2	D2	I3	D3	E 12	E 23	E 13				
BR09TH060	A3	04	073	41	339	48	167	4.8	2.8	1.8		39	9	0.20
	B1	08	074	37	338	52	175	5.2	3.3	2.0		34	16	0.32
	B2	09	073	37	336	52	175	3.4	2.2	1.3		34	16	0.32
	B3	07	075	38	340	52	174	4.1	2.6	1.6		34	15	0.31
	C1	10	072	37	334	52	174	6.4	4.1	2.5		34	15	0.31
BR09TH062	A1	17	061	31	321	54	175	3.8	2.8	1.6		32	17	0.35
	A2	14	061	30	322	56	173	4.9	4.0	2.2		30	18	0.37
	A3	14	060	32	321	54	171	6.0	4.0	2.4		33	16	0.33
	B1	07	062	28	329	61	165	3.3	2.9	1.5		26	21	0.45
Monts d'Arrée slate belt - MASB01														
BR11TH043	A1	24	060	60	280	17	158	1.1	0.7	0.4			10	
	A2	26	060	60	274	15	158	1.9	1.7	0.9			9	
	A3	25	057	62	270	13	154	2.2	1.6	0.9			5	
	A4	25	059	61	271	14	155	1.8	1.6	0.8			6	
	A5	26	061	59	276	15	159	1.6	1.4	0.8			10	
	A6	22	060	61	282	18	157	2.3	1.4	0.9			10	
	B1	24	057	62	272	14	153	1.7	1.4	0.8			5	
	B2	25	058	61	272	14	155	2.0	1.6	0.9			6	
	B3	25	058	61	268	13	154	2.4	1.7	1.0			5	
	B4	24	055	62	266	13	151	1.9	1.3	0.8			3	
	B5	29	060	60	255	06	154	2.3	2.6	1.2			6	
	B6	26	058	61	264	11	153	1.6	1.5	0.8			3	
BR11TH044	A1	15	042	48	150	38	300	4.5	2.1	1.5			2	
	A2	17	045	48	154	37	302	5.0	2.7	1.8			3	
	A3	16	043	51	154	34	302	3.2	1.5	1.0			6	
	B1	16	043	45	149	40	299	2.0	0.8	0.6			1	
	B2	16	044	45	151	41	300	2.5	1.0	0.7			1	
	B3	13	047	55	156	32	309	2.5	1.3	0.9			11	
	B4	16	046	49	154	37	304	3.2	1.5	1.0			4	
	B5	14	040	47	147	39	298	2.5	1.2	0.8			2	
	C1	12	040	49	144	39	300	2.2	1.0	0.7			1	
	C2	14	040	46	146	41	298	2.5	1.1	0.8			2	
	C3	15	039	44	145	42	295	1.6	0.8	0.5			4	
	C4	13	045	49	150	38	304	2.0	1.0	0.6			4	
BR11TH045	A1	40	045	49	245	10	144	7.1	1.5	1.3		36	10	0.22
	B1	35	040	52	243	11	138	4.4	1.2	1.0		41	11	0.22
	C1	38	045	51	242	08	141	5.9	1.4	1.1		37	13	0.26
	D1	50	043	37	248	13	148	8.3	2.3	1.8		37	8	0.17
BR11TH042	A1	01	247	86	138	04	337	2.8	0.9	0.7		68	5	0.07
	A2	16	248	73	089	06	340	2.0	1.1	0.7		67	6	0.08
	A3	14	247	74	098	08	339	1.6	1.3	0.7		65	8	0.11
	A4	04	069	84	294	04	159	3.8	3.7	1.9		77	4	0.05
	B1	11	243	77	094	07	334	3.0	1.4	0.9		65	9	0.12
	B2	08	244	80	102	06	335	4.1	1.3	1.0		66	8	0.11
	B3	17	242	68	101	13	336	5.9	4.8	2.6		59	14	0.19
	B4	05	249	82	122	06	340	1.9	2.7	1.1		67	6	0.08
	B5	04	248	85	027	03	158	1.2	0.7	0.4		75	4	0.05
	B6	01	070	81	333	09	161	1.3	0.9	0.5		82	9	0.10
BR11TH047	A1	13	055	69	287	16	149	3.1	2.2	1.3		11	16	0.61
	A2	14	054	73	269	09	147	3.6	2.3	1.4		14	9	0.40
	A3	12	055	76	267	07	146	3.4	2.2	1.3		16	7	0.31
	A4	11	054	67	295	19	148	3.2	3.2	1.6		12	19	0.61
	B1	09	050	73	288	14	143	3.4	4.3	1.9		16	14	0.46
	B2	11	050	70	285	16	143	2.4	2.3	1.2		16	16	0.50
	B3	15	054	68	283	16	148	2.8	2.4	1.3		12	16	0.58
	B4	15	059	71	279	11	152	2.7	2.4	1.3		9	13	0.60
	C1	11	051	75	271	09	143	2.4	2.6	1.2		18	9	0.34

sample	spec	EV directions						95% conf. angles			$K_1 \wedge IL$	$S_0 \wedge K_3$	$S_1 \wedge K_3$	$(S_1 \wedge K_3)_{norm}$
		I1	D1	I2	D2	I3	D3	E 12	E 23	E 13				
BR11TH048	C2	11	050	75	272	10	142	1.9	1.9	0.9		18	10	0.36
	C3	13	051	74	266	09	143	1.8	1.6	0.8		18	9	0.34
	C4	15	051	72	268	10	144	1.6	1.4	0.8		16	10	0.38
	A1	30	240	58	079	08	335	2.5	0.6	0.5		58	16	0.22
	A2	26	240	62	082	09	335	3.8	1.0	0.8		59	17	0.23
	A3	28	240	60	083	10	335	4.0	1.1	0.8		60	18	0.23
	A4	14	247	74	099	08	339	4.0	1.6	1.1		58	19	0.25
	B1	24	242	62	096	14	339	2.9	1.0	0.7		64	24	0.27
	B2	22	242	64	095	13	337	4.2	1.7	1.2		63	22	0.26
	B3	20	243	68	093	10	336	2.3	0.9	0.6		60	19	0.24
	B4	18	242	68	099	13	336	3.7	1.5	1.1		63	21	0.25
	C1	35	240	54	078	08	336	2.2	0.6	0.5		58	17	0.23
BR11TH046	C2	22	241	64	094	13	337	3.5	1.6	1.1		63	22	0.26
	C3	23	242	65	087	10	336	2.4	0.7	0.5		60	19	0.24
	C4	18	242	69	096	11	336	2.8	1.2	0.9		61	19	0.24
	A1	01	263	86	156	04	353	1.2	1.4	0.6		86	18	0.17
	A2	02	263	86	147	03	353	1.5	2.1	0.9		87	19	0.18
	A3	02	263	88	067	01	173	1.5	2.4	0.9		89	22	0.20
	A4	01	262	89	114	01	352	0.9	1.5	0.6		89	20	0.18
	B1	04	260	85	035	04	170	1.6	2.1	0.9		86	24	0.22
	B2	04	079	85	227	03	349	1.2	1.4	0.7		87	17	0.17
	B3	00	078	90	225	00	348	1.8	1.7	0.9		90	20	0.18
	C1	03	259	81	149	08	349	1.8	1.8	0.9		82	13	0.13
	C2	01	075	80	171	10	345	2.5	2.0	1.1		80	10	0.11
Monts d'Arrée slate belt - MASB02														
BR11TH049	A1	32	222	57	059	08	317	1.7	2.1	0.9		38	12	0.25
	A2	34	223	56	055	06	316	2.4	2.4	1.2		40	15	0.27
	A3	26	226	63	066	08	320	2.9	2.3	1.3		37	12	0.24
	B1	20	226	70	057	04	317	2.5	1.8	1.1		42	16	0.28
	B2	23	223	66	063	07	317	3.5	2.1	1.3		39	13	0.26
	B3	51	231	39	049	01	140	3.0	3.1	1.5		46	21	0.31
	C1	38	222	51	053	05	316	2.1	1.9	1.0		41	15	0.28
	C2	35	222	55	051	04	315	3.1	2.7	1.4		42	17	0.29
	C3	38	222	50	062	10	320	2.1	1.5	0.9		35	10	0.22
	C4	35	221	52	067	13	320	1.9	2.0	1.0		32	7	0.18
BR11TH052	A1	08	054	75	175	13	322	2.8	4.6	1.7		9	14	0.62
	A2	08	057	71	172	17	324	1.2	1.3	0.6		12	10	0.45
	A3	06	057	72	164	17	325	2.3	2.3	1.1		12	9	0.44
	A4	04	055	75	163	14	324	1.3	2.1	0.8		9	12	0.58
	B1	05	053	72	160	17	322	1.7	2.1	0.9		12	11	0.47
	B2	09	056	72	173	16	324	1.7	2.7	1.0		11	11	0.49
BR11TH051	A1	03	238	83	354	06	147	2.1	2.9	1.2		21	26	0.55
	A2	04	237	76	343	13	147	1.7	3.0	1.1		28	33	0.54
	B1	03	232	80	340	09	141	1.8	2.8	1.1		24	30	0.55
	B2	05	233	77	344	12	142	2.1	2.7	1.2		27	33	0.55
	B3	05	231	73	338	16	140	1.4	1.9	0.8		31	37	0.54
	C1	03	232	83	346	06	142	0.7	1.2	0.4		21	27	0.56
	C2	00	232	81	324	09	142	1.4	2.3	0.9		24	30	0.55
	C3	06	236	79	001	09	145	1.8	2.5	1.0		24	29	0.55
BR11TH053	A1	20	262	58	135	23	001	1.6	1.8	0.9		13	13	0.50
	A2	17	258	67	122	15	353	1.9	1.7	0.9		8	3	0.26
	A3	21	257	67	104	09	350	4.8	3.2	1.9		10	6	0.38
	A4	12	256	77	092	03	347	3.2	1.7	1.1		15	12	0.46
	B1	19	260	69	108	09	353	1.3	1.1	0.6		7	7	0.49
	B2	14	260	73	118	10	353	1.7	1.1	0.7		7	6	0.46
BR11TH053	B3	19	260	69	112	10	354	1.7	1.7	0.9		6	6	0.52
	B4	14	259	74	109	08	351	1.3	0.9	0.5		9	7	0.44
	C1	21	261	69	093	04	353	2.5	1.9	1.1		9	11	0.55
	C2	20	259	70	092	04	351	2.2	1.9	1.0		11	11	0.51

sample	spec	EV directions						95% conf. angles			$K_1 \wedge IL$	$S_0 \wedge K_3$	$S_1 \wedge K_3$	$(S_1 \wedge K_3)_{norm}$
		I1	D1	I2	D2	I3	D3	E 12	E 23	E 13				
BR11TH050	C3	18	260	72	074	02	170	2.1	1.4	0.8		16	17	0.52
	C4	14	264	75	106	05	355	2.0	2.1	1.0		7	11	0.61
	A1	19	266	07	359	69	107	1.7	1.6	0.8		29	18	0.38
	A2	20	267	08	359	68	110	3.3	3.0	1.6		28	18	0.38
	A3	20	266	07	358	69	108	2.2	2.3	1.1		29	18	0.38
	A4	20	266	08	359	68	109	1.8	1.8	0.9		28	18	0.39
	B1	23	263	04	355	67	093	2.2	2.4	1.1		35	23	0.40
	B2	21	266	03	357	68	095	1.6	1.6	0.8		34	22	0.40
	B3	20	265	08	358	68	110	1.4	1.4	0.7		28	18	0.38
	B4	19	266	07	358	69	108	1.8	2.0	0.9		29	18	0.38
	C1	22	262	09	355	66	107	1.9	1.9	0.9		29	20	0.40
	C2	22	263	08	357	67	105	1.3	1.3	0.6		30	20	0.40
BR11TH059	C3	23	263	07	356	66	102	1.3	1.3	0.7		31	21	0.40
	C4	22	263	09	356	67	107	2.2	2.2	1.1		29	19	0.39
	A1	39	050	51	232	01	141	9.8	2.0	1.6		11	1	0.11
	A2	39	051	51	232	00	141	4.3	0.9	0.7		11	1	0.08
	A3	38	049	52	234	02	141	4.4	0.8	0.7		11	2	0.17
	B1	41	052	49	232	00	142	2.7	0.6	0.5		12	2	0.14
	B2	38	050	52	226	02	318	6.5	1.5	1.2		8	3	0.26
	B3	43	049	47	232	02	140	4.7	0.9	0.7		10	2	0.16
	C1	37	055	53	233	01	324	2.9	0.6	0.5		14	4	0.23
	C2	35	054	55	234	00	144	4.0	0.9	0.7		14	4	0.22
	C3	37	050	53	229	00	319	4.1	0.8	0.7		9	1	0.10
	C4	32	052	58	232	00	142	5.3	1.2	1.0		12	2	0.14
BR11TH058	A1	13	060	76	218	05	328	12.5	2.9	2.3		3	3	0.50
	B1	10	055	80	221	02	324	6.8	1.6	1.3		3	3	0.50
	B2	14	056	73	203	09	324	5.8	1.3	1.0		4	4	0.50
	C1	16	057	73	209	08	325	3.3	0.9	0.7		3	3	0.50
	C2	13	230	75	080	07	322	4.7	1.1	0.9		4	4	0.50
	C3	10	057	79	213	04	326	6.3	1.6	1.3		1	1	0.50
	C4	13	056	76	214	05	324	4.6	1.3	1.0		1	1	0.50
BR11TH057	A1	21	069	55	193	26	328	4.3	2.0	1.4			4	
	A2	21	071	56	195	26	330	4.3	1.9	1.3			4	
	B1	15	066	53	177	33	326	3.0	1.8	1.1			5	
	B2	15	067	57	181	29	329	3.0	1.6	1.1			1	
	B3	17	071	57	189	27	331	2.2	1.0	0.7			3	
	B4	20	073	57	198	25	333	2.9	1.1	0.8			6	
	C1	07	070	50	169	39	335	3.5	2.3	1.4			10	
	C2	13	072	47	176	40	331	3.7	2.3	1.4			10	
	C3	04	075	54	171	36	342	2.8	1.9	1.1			12	
	C4	05	071	59	169	30	338	4.6	2.0	1.4			7	
BR11TH054	C5	09	073	58	178	31	338	3.3	1.2	0.9			7	
	A1	12	049	75	263	08	140	2.3	1.9	1.0		55	14	0.20
	A2	12	050	74	269	09	142	1.9	1.8	0.9		54	14	0.21
	B1	11	049	77	262	07	140	1.9	1.4	0.8		56	13	0.19
	B2	10	053	80	241	01	143	2.4	1.6	1.0		61	6	0.09
	B3	08	053	79	276	08	145	3.5	2.5	1.5		54	13	0.19
	C1	09	055	80	263	05	146	1.2	1.2	0.6		57	10	0.15
	A1	00	243	23	153	67	333	2.0	3.0	1.2		53	42	0.44
	B1	00	066	25	156	65	334	2.4	3.7	1.5		55	40	0.42
BR11TH056	C1	01	063	29	154	61	331	1.7	2.2	1.0		59	37	0.38
	A1	24	274	66	102	03	005	1.3	3.2	0.9		49	0	0.00
	A2	24	275	65	107	05	007	1.0	2.2	0.7		51	3	0.05
	B1	25	273	64	076	07	180	1.6	8.4	1.3		38	11	0.23
	B2	27	271	62	106	06	004	1.2	5.0	1.0		51	3	0.06
	C1	26	266	13	170	60	056	1.1	2.9	0.8		62	69	0.53
	C2	24	269	64	070	07	176	0.9	6.8	0.8		36	13	0.27
	D1	25	268	30	014	49	145	0.9	23.6	0.9		14	62	0.82
BR11TH056	D2	23	268	61	127	16	005	1.5	3.0	1.0		61	13	0.18

sample spec	EV directions						95% conf. angles			K ₁ ^ IL	S ₀ ^ K ₃	S ₁ ^ K ₃	(S ₁ ^ K ₃) _{norm}
	I1	D1	I2	D2	I3	D3	E 12	E 23	E 13				
Monts d'Arrée slate belt - MASB03													
BR11TH060	A1	05	250	63	349	26	157	2.8	1.3	0.9	67	43	0.39
	B1	03	252	60	348	30	161	1.7	0.8	0.6	72	48	0.40
	B2	05	251	60	350	29	158	2.5	1.0	0.7	70	46	0.40
	B3	05	251	61	351	28	159	2.8	1.2	0.8	69	45	0.39
	C1	03	249	66	346	24	158	1.7	0.9	0.6	65	41	0.39
	C2	07	248	64	353	25	155	1.8	1.1	0.7	66	41	0.39
	C3	06	250	63	353	26	157	2.0	1.1	0.7	67	43	0.39
	C4	04	247	69	348	20	156	2.4	1.1	0.8	61	37	0.38
BR11TH062	A1	05	238	71	133	18	330	1.9	1.7	0.9	21	14	0.40
	A2	09	244	69	129	19	337	3.8	1.6	1.1	28	18	0.40
	A3	06	243	69	137	20	335	3.1	1.4	1.0	26	18	0.41
	A4	06	242	68	136	21	335	3.9	1.7	1.2	26	19	0.41
	A5	05	242	69	137	20	334	4.8	1.7	1.3	25	17	0.41
	A6	05	241	71	136	18	333	3.4	1.3	0.9	24	15	0.39
	B1	08	240	69	130	20	333	3.1	1.3	0.9	24	17	0.41
	B2	07	238	66	131	22	331	4.4	2.0	1.4	23	18	0.43
	B3	06	238	69	132	20	330	4.6	1.7	1.2	22	16	0.42
	B4	07	238	70	130	19	330	4.0	1.5	1.1	21	15	0.41
	B5	06	238	69	131	20	330	4.1	1.5	1.1	22	16	0.42
BR11TH063	A1	15	072	49	180	37	331	3.7	1.4	1.0	21	23	0.52
	A2	23	079	49	198	31	334	4.5	0.9	0.8	25	18	0.42
	A3	25	076	46	194	34	328	5.5	1.1	0.9	19	19	0.50
	A4	19	072	49	187	34	329	7.1	1.1	1.0	20	19	0.49
	A5	14	072	50	180	36	332	4.0	1.2	0.9	22	22	0.50
	A6	23	077	49	197	31	331	6.0	1.3	1.1	22	17	0.43
	A7	20	075	51	192	32	332	4.7	1.3	1.0	23	18	0.45
	A8	25	079	48	201	31	333	7.3	1.6	1.3	24	18	0.43
	B1	20	076	48	189	35	330	2.8	0.8	0.6	20	20	0.50
	B2	18	076	49	188	35	332	4.6	1.2	1.0	22	21	0.49
BR11TH064	A1	07	061	73	174	15	329	5.5	1.4	1.1	30	11	0.27
	A2	09	063	74	185	14	331	5.1	1.4	1.1	28	11	0.28
	A3	10	061	74	190	12	329	3.8	1.0	0.8	27	8	0.23
	A4	07	062	74	179	14	330	3.9	0.8	0.7	28	10	0.27
	A5	10	061	74	188	13	329	6.6	1.5	1.2	28	9	0.24
	A6	07	062	77	185	10	330	4.4	0.9	0.8	25	7	0.22
	B1	09	061	72	179	16	329	6.0	1.5	1.2	30	12	0.28
	B2	09	061	73	183	14	328	4.9	1.1	0.9	29	9	0.24
	B3	08	060	74	178	14	328	7.0	1.6	1.3	29	9	0.24
	B4	07	061	76	180	12	330	5.1	1.1	0.9	27	9	0.24
BR11TH061	A1	06	222	52	124	37	317	2.5	1.0	0.7	34	18	0.35
	A2	04	222	56	126	34	315	3.5	1.5	1.1	33	15	0.31
	B1	06	225	51	128	38	320	3.3	1.1	0.8	33	20	0.38
	B2	02	225	49	132	41	316	3.1	1.3	0.9	38	22	0.37
	B3	01	028	88	273	02	118	1.9	1.0	0.7	44	25	0.36
	B4	06	221	50	124	39	316	2.9	1.3	0.9	36	20	0.35
	C1	04	226	51	130	39	319	6.2	2.5	1.8	35	21	0.37
	C2	03	228	50	134	40	320	3.3	1.4	1.0	35	22	0.38
	C3	02	226	52	134	38	318	3.8	1.6	1.1	34	19	0.36
BR11TH065	A1	10	249	45	148	43	349	5.5	2.6	1.7	13	15	0.52
	A2	10	248	44	148	44	347	3.8	1.5	1.1	13	15	0.54
	A3	10	246	45	146	44	345	2.3	1.0	0.7	12	15	0.55
	A4	10	246	45	147	43	345	3.4	1.5	1.0	11	14	0.55
	B1	12	246	46	143	42	347	2.8	1.2	0.9	12	13	0.53
	B2	09	247	45	148	44	346	4.4	1.9	1.3	12	15	0.54
	B3	08	248	46	150	43	346	2.8	1.2	0.8	12	14	0.54
	B4	07	249	46	151	43	346	3.1	1.6	1.1	12	14	0.54
	C1	08	246	46	147	43	344	2.3	1.0	0.7	11	13	0.56
	C2	07	248	47	150	42	344	2.3	1.1	0.7	10	12	0.56

sample	spec	EV directions						95% conf. angles			$K_1 \wedge IL$	$S_0 \wedge K_3$	$S_1 \wedge K_3$	$(S_1 \wedge K_3)_{norm}$
		I1	D1	I2	D2	I3	D3	E 12	E 23	E 13				
	C3	08	248	47	149	42	345	3.0	1.4	1.0		10	13	0.55
BR09TH123	A1	08	060	70	309	19	153	14.4	5.8	4.2			14	
	A2	07	062	70	311	19	154	10.7	3.9	2.9			15	
	A3	06	065	69	319	20	157	5.6	2.6	1.8			16	
	B1	08	059	70	307	19	151	8.6	3.0	2.3			14	
	B2	07	058	71	307	17	151	6.8	2.6	1.9			12	
	B3	09	060	69	305	19	153	9.3	3.1	2.3			14	
	B4	08	064	71	312	18	157	10.6	3.3	2.5			15	
	C1	09	058	70	302	18	151	5.7	2.1	1.5			13	
	C2	07	061	69	313	19	153	12.0	4.3	3.2			14	
	C3	12	061	66	301	20	156	8.2	2.4	1.9			16	
	C4	13	063	67	300	18	157	6.9	1.8	1.4			15	
BR09TH124	A1	10	242	62	134	26	337	6.5	2.0	1.5			18	
	A2	05	235	64	135	26	327	3.8	1.3	1.0			15	
	A3	05	238	64	137	25	330	9.7	3.1	2.3			15	
	B1	09	240	61	134	28	335	12.2	4.0	3.0			19	
	B2	06	237	61	135	28	330	10.7	4.2	3.0			17	
	B3	06	238	61	138	28	331	6.9	2.3	1.8			18	
	C1	07	243	64	137	25	336	17.0	4.8	3.8			17	
	C2	06	243	62	141	27	336	12.6	4.6	3.4			19	
	C3	05	235	65	134	24	327	14.0	5.5	4.0			13	
	C4	09	236	61	129	27	330	6.6	2.6	1.9			16	
	D3	07	240	63	136	26	334	12.5	3.9	3.0			17	
	D1	08	243	67	135	22	336	8.8	3.5	2.5			15	
BR09TH121	D2	05	243	65	143	24	335	6.7	2.5	1.8			16	
	A1	05	062	82	287	05	152	7.5	2.6	2.0			14	
	A2	05	059	81	293	07	150	8.7	3.1	2.3			14	
	A3	05	062	82	294	06	152	8.5	3.8	2.6			15	
	A4	06	064	83	274	03	154	6.8	2.1	1.6			14	
	A5	03	075	85	317	05	165	8.1	2.5	1.9			25	
	A6	05	063	83	282	04	154	7.1	3.3	2.3			15	
	A7	02	068	86	311	04	158	6.2	2.2	1.6			18	
	A8	04	066	85	281	03	157	6.3	2.5	1.8			17	
	B1	08	063	79	289	08	155	6.3	1.9	1.5			18	
	B2	07	059	79	290	08	150	10.1	3.4	2.5			15	
	B3	07	059	81	277	05	150	8.4	3.4	2.4			13	
BR09TH127	B4	08	070	79	293	07	161	5.3	1.9	1.4			22	
	B5	03	063	83	306	06	154	4.9	1.4	1.1			16	
	A1	10	061	76	286	10	153	7.2	2.1	1.6			15	
	A2	08	063	76	296	11	154	7.2	2.4	1.8			16	
	A3	13	066	74	284	10	159	6.2	2.2	1.6			17	
	A4	05	062	78	306	11	153	6.9	2.3	1.7			16	
	A5	08	061	77	291	10	153	6.2	2.3	1.7			15	
	B1	09	239	67	126	21	332	6.3	2.0	1.5			16	
	B2	07	244	69	136	20	336	6.0	2.5	1.8			15	
	B3	06	067	81	298	07	158	14.4	5.0	3.7			13	
	B4	08	070	79	293	07	161	8.2	2.8	2.1			15	
	B5	07	062	78	297	10	153	6.7	2.7	1.9			15	
BR09TH133	B6	07	066	77	303	10	158	8.5	3.5	2.5			16	
	B7	09	064	76	295	11	155	6.2	2.9	2.0			16	
	A1	08	059	63	165	26	325	1.6	1.6	0.8		10	14	0.59
	A2	06	058	61	158	28	325	3.0	2.6	1.4		9	16	0.64
	A3	10	061	54	165	34	324	4.7	3.2	1.9		10	22	0.68
BR09TH132	A4	09	061	54	164	35	325	2.5	2.1	1.1		10	23	0.70
	A5	10	061	53	164	35	324	2.3	2.3	1.2		11	23	0.69
	A1	11	239	78	088	06	330	5.6	1.8	1.4		24	8	0.26
	A2	09	241	81	069	01	331	5.1	2.3	1.6		29	13	0.31
BR09TH132	A3	12	238	76	092	07	330	8.3	2.2	1.7		23	8	0.25
	A4	10	239	77	094	07	330	12.7	3.2	2.5		23	8	0.25

sample	spec	EV directions						95% conf. angles			$K_1 \wedge IL$	$S_0 \wedge K_3$	$S_1 \wedge K_3$	$(S_1 \wedge K_3)_{norm}$
		I1	D1	I2	D2	I3	D3	E 12	E 23	E 13				
BR09TH132	A5	09	241	81	068	01	331	9.1	2.8	2.1		29	13	0.31
	A6	08	240	82	045	02	150	5.1	1.7	1.3		32	15	0.32
	A7	09	244	80	034	05	153	3.2	1.9	1.2		35	19	0.35
	B1	11	241	79	061	00	331	3.1	1.6	1.0		30	14	0.31
	B2	10	240	79	075	03	331	9.7	4.1	2.9		27	11	0.29
	B3	05	242	82	010	07	152	3.8	3.1	1.7		37	21	0.36
	B4	08	237	77	108	10	329	8.7	3.1	2.3		21	5	0.20
	B5	10	239	80	066	01	329	10.7	4.0	2.9		30	12	0.29
	C1	18	239	71	078	06	331	2.8	0.9	0.7		24	9	0.27
	C2	16	239	73	078	05	330	5.3	1.9	1.4		25	9	0.27
	C3	07	240	83	064	01	330	7.0	2.4	1.8		29	13	0.30
	C4	08	241	82	047	02	150	4.4	2.1	1.4		32	15	0.32
BR09TH131	C5	14	241	76	060	00	151	9.1	3.2	2.4		30	14	0.31
	A1	00	231	61	140	29	321	11.7	3.6	2.7		12	5	0.30
	A2	02	230	62	136	28	320	15.1	3.4	2.8		13	5	0.29
	A3	02	232	65	138	25	323	12.3	3.0	2.4		12	2	0.13
	B1	00	230	56	140	34	321	14.3	3.3	2.7		13	10	0.44
	B2	04	231	59	134	31	323	13.7	2.6	2.2		10	6	0.38
	B3	02	231	62	137	28	322	18.7	3.8	3.2		12	4	0.26
	B4	06	236	60	135	30	329	10.4	1.5	1.3		5	6	0.54
	C1	04	230	56	135	34	322	15.4	1.9	1.7		12	9	0.44
	C2	00	234	58	144	32	324	7.4	1.3	1.1		10	7	0.42
BR09TH129	C3	01	238	60	147	30	328	17.0	2.8	2.4		6	6	0.48
	A1	00	235	62	145	28	325	12.9	4.1	3.1		9	9	0.51
	A2	01	055	59	147	31	325	19.7	5.7	4.5		9	12	0.58
	B1	01	056	63	148	27	325	8.0	1.9	1.5		9	8	0.47
	B2	03	057	62	152	28	325	8.0	1.7	1.4		9	9	0.51
	B3	03	055	63	152	27	324	5.9	1.0	0.9		10	8	0.44
	B4	02	049	61	142	29	318	11.5	1.7	1.5		15	9	0.38
	C1	06	056	62	158	27	322	16.2	2.6	2.2		12	7	0.38
	C2	09	056	61	162	27	321	15.2	2.2	2.0		13	7	0.36
BR11TH066	A1	06	063	80	297	08	154	2.5	0.7	0.5		14	10	0.41
	A2	00	064	82	332	08	154	3.7	1.2	0.9		14	10	0.41
	A3	03	064	80	318	10	154	2.7	0.8	0.6		16	12	0.42
	A4	04	065	82	306	07	155	3.1	0.8	0.6		13	9	0.40
	A5	03	065	83	313	06	156	4.0	1.0	0.8		12	7	0.38
	A6	03	065	82	310	07	156	3.4	0.9	0.7		13	8	0.39
	B1	04	069	81	316	09	159	3.1	0.9	0.7		14	9	0.39
	B2	04	063	81	311	09	154	2.3	0.6	0.5		15	11	0.42
	B3	04	066	80	315	09	157	4.0	1.1	0.8		14	9	0.40
	B4	03	067	80	319	09	157	2.2	0.6	0.5		14	9	0.40
	B5	02	068	82	327	08	159	3.3	0.9	0.7		13	8	0.38
BR11TH067	A1	07	065	53	326	36	161	4.2	1.5	1.1		16	41	0.72
	A2	04	250	71	147	19	342	2.5	1.0	0.7		39	16	0.29
	B1	07	249	70	139	18	341	1.7	0.7	0.5		38	14	0.27
	B2	04	249	70	147	19	340	4.8	1.8	1.3		39	15	0.28
	B3	04	068	53	333	37	160	2.7	1.1	0.8		17	42	0.71
	B4	04	249	73	148	16	341	4.3	1.4	1.1		36	12	0.26
BR11TH068	A1	14	060	51	167	35	320	4.1	0.9	0.7		22	5	0.19
	B1	15	058	51	167	35	317	1.2	0.3	0.2		23	6	0.19
	C1	14	065	52	174	35	325	3.4	0.8	0.6		20	7	0.24
	C2	12	063	53	170	35	325	2.7	0.7	0.5		20	7	0.24
	D1	12	064	54	170	34	325	3.6	0.9	0.7		20	6	0.23
	E1	12	065	50	171	37	326	4.4	0.9	0.7		22	9	0.28
	E2	08	063	53	164	36	327	4.3	1.1	0.9		21	8	0.28
	E3	10	062	52	164	37	325	4.7	1.2	0.9		22	8	0.27
	A1	06	227	83	074	03	317	1.6	1.6	0.8		8	24	0.76
	A2	09	226	79	077	06	317	2.2	2.3	1.1		9	22	0.70
	A3	03	225	86	084	03	315	1.7	1.9	0.9		6	22	0.79

sample	spec	EV directions						95% conf. angles			$K_1 \wedge IL$	$S_0 \wedge K_3$	$S_1 \wedge K_3$	$(S_1 \wedge K_3)_{norm}$
		I1	D1	I2	D2	I3	D3	E 12	E 23	E 13				
BR11TH070	B1	05	226	85	044	00	136	2.4	2.3	1.2		6	25	0.81
	B2	06	225	84	050	00	315	1.7	1.7	0.8		5	25	0.83
	B3	07	225	83	046	00	315	3.0	3.2	1.5		5	25	0.83
	B4	10	227	80	052	01	317	1.1	1.4	0.6		7	25	0.78
	B5	04	227	83	103	05	318	1.7	1.5	0.8		9	23	0.71
	C1	06	226	84	064	02	317	1.4	1.2	0.6		7	24	0.77
	C2	01	048	87	304	03	138	2.3	2.4	1.2		9	29	0.77
BR11TH071	A1	18	219	41	112	43	327	1.9	3.0	1.2		46	12	0.21
	A2	18	220	43	112	42	327	1.9	2.4	1.1		45	13	0.22
	A3	19	221	39	114	44	331	2.0	2.5	1.1		48	15	0.24
	B1	17	222	41	116	44	329	2.2	2.3	1.1		47	14	0.22
	B2	20	221	42	113	42	330	2.1	2.5	1.1		46	15	0.24
	B3	20	221	47	108	36	327	2.1	3.3	1.3		39	16	0.29
	B4	19	218	45	108	39	325	2.1	2.8	1.2		41	13	0.23
	C1	19	218	38	112	46	328	2.5	2.8	1.3		49	13	0.21
	C2	20	215	44	105	39	323	2.1	2.3	1.1		41	11	0.22
BR11TH069	C3	23	218	46	102	36	325	2.5	3.5	1.5		39	14	0.27
	A1	03	079	68	176	21	348	2.1	1.0	0.7		27	32	0.54
	A2	00	078	67	169	23	347	1.8	0.8	0.5		28	34	0.54
	A3	01	076	68	168	22	345	3.3	1.5	1.0		26	32	0.55
	A4	01	075	69	169	21	345	2.3	1.0	0.7		26	31	0.55
	A5	01	075	71	168	19	345	4.7	2.3	1.5		24	29	0.55
	A6	02	078	68	174	22	347	4.3	2.0	1.4		28	33	0.54
	B1	01	079	71	172	19	349	2.2	0.9	0.6		27	30	0.53
	B2	03	077	72	175	18	346	2.3	1.1	0.7		24	29	0.54
	B3	04	078	69	178	20	347	2.3	1.1	0.7		26	31	0.54
	B4	04	256	70	154	20	347	4.1	1.7	1.2		26	31	0.54
BR11TH078	B5	02	076	70	172	19	345	2.6	1.2	0.8		24	29	0.55
	A1	01	061	54	152	36	330	0.9	0.6	0.3		86	7	0.08
	A2	01	062	63	155	27	331	1.4	1.1	0.6		77	5	0.06
	A3	00	243	65	152	25	333	1.8	1.1	0.7		75	5	0.07
	A4	01	060	65	153	25	329	1.2	1.0	0.5		75	7	0.09
	B1	02	060	62	155	28	329	1.4	1.0	0.6		78	6	0.07
	B2	01	060	62	152	28	329	1.3	0.7	0.4		78	6	0.07
	B3	00	060	64	150	26	330	2.2	1.2	0.8		76	6	0.07
	B4	00	238	62	148	28	328	1.1	0.8	0.5		78	6	0.08
	C1	00	237	62	146	28	327	1.5	0.8	0.5		78	7	0.09
	C2	01	058	56	150	34	328	2.1	1.0	0.7		84	7	0.08
	C3	01	059	63	151	27	328	1.6	0.9	0.6		77	7	0.08
	C4	06	060	57	159	32	326	4.1	1.7	1.2		82	8	0.09
Monts d'Arrée slate belt - MASB04														
BR11TH072	A1	01	049	63	142	27	318	5.5	1.4	1.1		9	3	0.22
	A2	01	051	66	142	24	321	4.2	1.0	0.8		5	1	0.20
	A3	01	232	65	141	25	323	3.4	0.7	0.6		5	3	0.34
	A4	00	231	63	141	27	322	4.2	0.9	0.8		8	3	0.26
	B1	04	051	66	149	24	319	9.2	2.0	1.6		7	1	0.16
	B2	03	054	67	150	23	323	4.7	1.0	0.8		4	3	0.49
	B3	02	051	66	145	24	320	3.4	0.7	0.6		6	1	0.14
	B4	02	054	69	149	21	324	4.7	1.1	0.9		1	5	0.80
	B5	03	052	66	149	24	320	5.0	1.1	0.9		6	1	0.14
BR11TH073	A1	06	238	61	138	29	331	3.2	0.9	0.7		37	12	0.24
	A2	06	239	63	137	26	332	3.8	1.0	0.8		35	15	0.30
	A3	05	235	59	137	31	328	4.3	1.2	0.9		38	9	0.20
	A4	09	241	56	138	33	337	6.5	1.7	1.4		43	12	0.22
	A5	08	238	57	136	32	332	3.1	1.1	0.8		40	10	0.20
	B1	06	238	57	139	32	331	3.7	1.2	0.9		40	9	0.19
	B2	03	241	60	146	29	332	4.5	1.3	1.0		38	12	0.25
	B3	04	234	57	138	33	327	3.2	1.0	0.7		40	7	0.15
BR11TH073	B4	05	238	56	140	33	331	3.5	1.0	0.8		41	8	0.17

sample	spec	EV directions						95% conf. angles			$K_1 \wedge IL$	$S_0 \wedge K_3$	$S_1 \wedge K_3$	$(S_1 \wedge K_3)_{norm}$
		I1	D1	I2	D2	I3	D3	E 12	E 23	E 13				
	B5	05	240	58	142	32	333	2.8	0.8	0.6		41	10	0.20
	B6	02	234	55	142	35	325	6.8	2.1	1.6		41	5	0.11
	B7	06	236	57	137	33	330	3.8	1.1	0.9		41	8	0.17
BR11TH075	A1	40	042	50	234	06	137	1.5	0.7	0.5		36	46	0.56
	A2	45	042	45	227	03	135	2.5	1.1	0.8		33	43	0.57
	A3	44	046	46	226	00	136	2.1	0.7	0.5		30	40	0.57
	A4	43	042	47	224	01	133	3.8	1.0	0.8		31	41	0.57
	A5	43	046	47	226	00	136	4.2	1.1	0.9		30	40	0.57
	A6	43	043	47	226	02	134	4.0	1.0	0.8		32	42	0.57
	B1	40	032	50	215	02	124	2.7	1.5	0.9		34	46	0.58
	B2	36	032	54	212	00	302	3.4	1.5	1.1		32	45	0.58
	B3	32	034	58	219	03	125	4.0	0.9	0.7		34	47	0.58
	B4	32	032	58	211	01	302	6.4	1.5	1.2		32	44	0.58
	B5	32	035	58	210	02	304	7.7	1.8	1.5		30	43	0.59
	B6	32	035	58	214	00	304	7.8	2.1	1.6		32	44	0.58
BR11TH074	A1	03	039	48	132	42	306	1.8	0.8	0.6		19	5	0.21
	A2	00	217	48	127	42	307	2.0	0.8	0.6		18	6	0.24
	A3	02	035	47	127	43	304	2.5	1.0	0.7		20	4	0.17
	A4	02	038	46	130	44	307	2.4	1.0	0.7		20	7	0.25
	B1	00	217	47	127	43	307	3.9	1.7	1.2		19	6	0.24
	B2	00	217	45	127	45	307	3.8	1.7	1.2		21	7	0.25
	B3	01	218	46	127	44	309	4.1	1.7	1.2		20	8	0.28
	C1	00	037	46	128	44	307	2.3	1.0	0.7		20	7	0.25
	C2	00	217	45	126	45	307	2.8	1.1	0.8		21	7	0.25
	C3	03	038	43	130	47	305	2.4	1.0	0.7		23	8	0.25
	C4	01	039	42	130	48	308	2.6	1.1	0.8		24	10	0.29
BR11TH076	A1	43	045	43	254	15	150	1.7	4.4	1.2		46	43	0.48
	A2	23	043	59	267	19	141	1.8	4.1	1.3		49	44	0.48
	B1	26	042	63	242	08	136	1.6	4.8	1.2		38	33	0.46
	B2	20	043	68	248	09	136	1.6	5.1	1.2		39	34	0.46
	B3	22	044	66	251	10	138	1.3	3.8	1.0		40	35	0.47
	C1	25	041	64	240	07	135	2.6	6.5	1.9		37	32	0.46
	C2	22	043	66	249	09	137	1.4	3.5	1.0		39	34	0.47
	C3	22	044	66	244	07	137	1.0	2.7	0.7		37	32	0.46
	D1	25	042	64	239	07	136	1.8	5.1	1.3		37	32	0.46
	D2	23	043	65	244	08	136	2.0	4.9	1.4		38	33	0.46
	D3	29	043	60	239	07	137	1.8	4.6	1.3		37	32	0.46
BR11TH077	A1	07	055	58	157	31	320	9.7	1.0	0.9		22	9	0.29
	A2	12	055	57	163	30	318	4.6	0.7	0.6		21	10	0.33
	A3	08	052	58	156	30	318	7.4	1.0	0.9		21	10	0.33
	A4	11	056	58	163	30	319	6.8	1.0	0.9		21	10	0.31
	A5	06	055	59	155	30	321	4.8	0.9	0.7		20	8	0.28
	B1	01	244	63	152	27	335	12.5	1.2	1.1		19	5	0.21
	B2	01	241	63	150	27	332	7.2	0.8	0.7		18	3	0.16
	B3	02	061	63	155	27	330	4.8	0.7	0.6		18	3	0.15
	B4	06	057	61	159	29	324	7.8	1.1	1.0		19	5	0.22
	B5	07	057	60	159	29	323	17.5	2.5	2.2		19	6	0.24
	B6	05	054	59	152	30	321	6.5	1.1	0.9		20	8	0.28
BR11TH080	A1	15	048	55	162	30	309	1.9	1.2	0.7		27	11	0.28
	A2	15	050	53	160	33	309	1.2	0.8	0.5		30	13	0.31
	A3	15	050	54	161	32	310	1.5	0.9	0.6		29	13	0.31
	A4	17	053	54	169	30	313	2.1	1.3	0.8		26	12	0.32
	A5	16	048	54	162	31	308	2.4	1.3	0.9		28	11	0.29
	A6	14	048	54	158	33	309	2.6	1.5	0.9		30	13	0.31
	A7	12	051	51	157	36	312	2.5	2.0	1.1		32	17	0.35
	B1	16	049	53	161	33	309	1.7	1.2	0.7		30	13	0.31
	B2	17	050	53	164	32	309	2.4	1.3	0.9		29	13	0.30
	B3	16	049	52	160	33	309	1.2	0.8	0.5		30	13	0.31
	C1	18	051	55	168	29	311	2.3	1.6	1.0		25	11	0.29

sample	spec	EV directions						95% conf. angles			$K_1 \wedge IL$	$S_0 \wedge K_3$	$S_1 \wedge K_3$	$(S_1 \wedge K_3)_{norm}$
		I1	D1	I2	D2	I3	D3	E 12	E 23	E 13				
	C2	23	064	51	185	30	319	1.7	1.0	0.6		25	16	0.39
BR11TH079	A1	40	215	42	076	22	325	4.6	1.2	1.0			13	
	A2	40	212	40	076	24	324	3.4	0.8	0.7			15	
	A3	40	210	40	075	24	322	4.4	1.1	0.9			14	
	B1	44	213	37	075	22	327	4.2	1.0	0.8			14	
	B2	41	215	41	075	22	325	2.2	0.6	0.4			13	
	B3	39	211	41	075	24	322	2.9	0.7	0.6			14	
	C1	46	212	37	073	22	326	5.1	1.4	1.1			13	
	C2	45	215	38	072	20	326	4.7	1.2	1.0			12	
	C3	46	215	38	072	20	326	4.8	1.2	1.0			12	
	D1	46	218	38	074	19	328	2.8	0.8	0.6			12	
	D2	43	217	39	076	21	328	4.7	1.2	1.0			13	
	D3	43	210	39	071	22	322	3.2	0.9	0.7			12	
Monts d'Arée slate belt - MASB05														
BR13TH032	A1	59	139	09	243	30	338	19.7	0.8	0.8		35	2	0.05
	A2	31	228	45	100	28	337	36.3	0.5	0.5		33	3	0.09
	A3	60	140	08	244	29	338	46.5	1.1	1.1		35	2	0.05
	B1	54	199	20	079	28	338	18.5	0.6	0.6		34	3	0.07
	B2	48	213	28	086	28	339	16.2	0.6	0.5		35	2	0.06
	B3	53	201	21	080	28	338	11.3	0.9	0.9		34	3	0.07
	B4	61	171	06	070	28	337	28.9	0.8	0.8		33	3	0.09
	C1	49	213	26	088	29	342	6.5	0.4	0.4		37	2	0.05
	C2	63	170	04	072	27	340	21.7	0.7	0.7		35	3	0.08
	D1	60	181	09	076	29	341	15.3	0.8	0.7		37	1	0.03
	D2	53	204	22	082	28	340	43.6	1.2	1.2		35	2	0.05
	D3	58	184	10	077	30	341	12.3	0.5	0.5		37	1	0.02
BR13TH033	A1	11	238	74	107	12	331	2.5	1.4	0.9		31	2	0.07
	A2	12	237	74	100	10	330	1.3	0.7	0.4		33	0	0.00
	A3	11	239	76	097	08	331	3.0	1.3	0.9		34	2	0.06
	A4	11	237	73	105	12	330	1.4	0.6	0.4		31	2	0.06
	B1	09	238	75	113	12	330	2.1	1.0	0.7		31	2	0.06
	B2	10	238	75	106	11	330	2.0	1.0	0.7		32	1	0.03
	B3	13	237	74	097	10	329	3.2	1.2	0.9		33	1	0.03
	B4	13	237	73	101	12	329	2.2	0.9	0.6		31	2	0.07
	C1	09	237	75	109	12	329	2.2	1.1	0.7		31	2	0.07
	C2	12	239	75	099	10	331	2.5	1.1	0.8		32	1	0.03
	C3	12	240	73	104	11	332	2.8	1.1	0.8		31	2	0.07
	C4	12	236	72	103	12	329	2.3	0.8	0.6		31	2	0.07
BR11TH081	A1	54	182	16	069	32	329	4.2	0.7	0.6			2	
	A2	15	076	62	195	24	339	15.0	1.3	1.2			10	
	A3	05	056	64	158	25	324	4.5	1.4	1.0			7	
	B1	01	244	65	152	25	334	9.5	1.1	1.0			6	
	B2	14	238	62	120	24	334	8.2	1.1	0.9			7	
	B3	03	235	64	140	26	326	4.6	1.1	0.9			5	
	C1	22	222	51	101	30	325	13.2	1.1	1.0			4	
	C2	16	233	57	118	28	332	6.2	1.3	1.1			3	
	C3	11	232	59	122	28	328	6.8	1.1	1.0			3	
	D1	25	227	53	099	26	330	5.9	1.1	0.9			4	
	D2	21	230	54	108	28	332	15.0	2.5	2.2			3	
BR11TH082	A1	06	244	61	142	28	337	3.9	1.0	0.8			4	
	A2	08	251	59	147	30	346	3.4	0.8	0.7			7	
	A3	08	249	59	146	30	344	5.6	1.2	1.0			6	
	B1	05	242	68	138	21	334	4.0	1.2	0.9			7	
	B2	06	245	62	143	27	338	7.3	2.2	1.7			3	
	B3	06	251	59	151	30	344	4.3	1.2	1.0			6	
	B4	05	256	57	159	32	349	6.1	1.5	1.2			11	
	C1	04	240	71	139	19	331	1.8	1.4	0.8			10	
	C2	04	241	72	139	17	332	2.5	1.5	1.0			11	
	C3	04	240	67	140	22	331	2.6	1.1	0.8			9	

sample	spec	EV directions						95% conf. angles			$K_1 \wedge IL$	$S_0 \wedge K_3$	$S_1 \wedge K_3$	$(S_1 \wedge K_3)_{norm}$
		I1	D1	I2	D2	I3	D3	E 12	E 23	E 13				
BR13TH030	A1	37	243	38	115	30	359	3.9	1.3	1.0		13	3	0.21
	A2	40	240	35	114	31	360	4.1	1.4	1.1		14	4	0.24
	A3	39	240	37	112	29	357	2.3	0.8	0.6		11	2	0.15
	A4	39	241	38	112	29	357	2.6	1.0	0.7		11	2	0.15
	B1	37	241	40	112	28	355	3.0	0.9	0.7		9	2	0.18
	B2	37	241	40	113	29	355	3.3	1.0	0.8		10	1	0.09
	B3	38	240	38	112	29	356	3.5	1.1	0.9		11	1	0.11
	C1	39	243	39	113	27	358	3.2	1.1	0.8		10	4	0.28
	C2	39	241	38	111	28	356	3.2	1.2	0.9		10	2	0.18
	C3	40	243	37	113	28	359	4.3	1.7	1.2		11	4	0.26
	D1	41	240	38	107	26	355	1.9	0.7	0.5		8	4	0.35
	D2	41	243	41	105	23	354	2.8	1.0	0.7		5	7	0.60
BR13TH031	A1	42	245	36	115	28	003	2.8	0.9	0.7		14	3	0.19
	A2	41	243	35	116	29	002	5.4	1.6	1.3		14	2	0.12
	A3	42	242	33	116	30	004	7.5	2.6	1.9		16	3	0.18
	A4	41	243	33	117	31	004	3.2	1.0	0.8		17	4	0.18
	B1	44	243	34	114	28	004	4.7	1.7	1.3		15	4	0.21
	B2	43	242	34	113	28	002	3.6	1.5	1.1		14	3	0.16
	B3	44	242	34	113	28	003	4.0	1.3	1.0		14	3	0.19
	B4	42	240	32	115	31	002	3.8	1.2	0.9		15	2	0.11
	B5	45	238	29	115	31	005	4.6	1.5	1.1		17	4	0.20
	C1	45	240	32	111	28	002	4.6	1.6	1.2		14	3	0.16
	C2	47	236	27	112	30	005	5.0	1.7	1.3		17	4	0.20
	C3	45	242	30	117	30	008	4.8	1.7	1.2		19	7	0.27
Monts d'Arree slate belt - MASB06														
BR13TH028	A1	10	279	40	181	48	020	8.7	2.2	1.8		35	27	0.43
	A2	09	278	41	180	48	018	7.2	1.4	1.2		35	26	0.43
	A3	01	106	42	196	48	015	5.5	1.2	1.0		35	25	0.42
	A4	09	114	39	211	49	014	5.4	1.3	1.0		36	24	0.40
	B1	06	279	43	184	46	016	5.9	1.7	1.3		33	27	0.45
	B2	06	282	44	187	46	018	8.0	2.4	1.9		33	28	0.46
	B3	06	281	44	185	46	017	5.2	1.6	1.2		33	28	0.45
	B4	01	288	44	197	46	019	7.5	2.0	1.6		33	28	0.46
	C1	07	285	46	188	43	022	5.5	2.4	1.7		31	32	0.51
	C2	07	282	47	185	43	019	4.8	1.7	1.2		30	31	0.51
	C3	04	282	46	188	44	016	3.9	1.6	1.1		31	29	0.48
	C4	05	281	45	187	45	016	2.7	1.3	0.9		32	28	0.47
BR13TH029	A1	21	277	67	122	09	011	3.8	0.8	0.7			8	
	A2	16	276	74	115	05	007	3.3	0.9	0.7			10	
	A3	16	275	72	121	07	007	5.2	1.2	1.0			8	
	B1	18	271	71	111	06	003	3.7	1.1	0.8			9	
	B2	21	269	68	108	07	002	3.3	0.9	0.7			9	
	B3	16	271	72	120	08	003	5.2	1.1	0.9			7	
	C1	20	276	68	123	09	009	6.5	1.2	1.0			7	
	C2	21	273	66	123	11	008	5.0	0.8	0.7			5	
	C3	20	269	69	106	05	001	2.9	0.8	0.6			11	
	D1	28	274	61	110	07	008	9.4	1.8	1.5			9	
	D2	19	274	70	116	07	006	5.6	1.1	0.9			8	
	D3	15	269	74	110	05	001	3.0	0.9	0.7			11	
BR13TH026	A1	10	246	53	350	35	149	1.0	1.7	0.6		74	48	0.40
	A2	11	245	52	349	35	147	1.6	4.1	1.1		73	48	0.40
	A3	08	241	35	337	54	140	1.8	3.8	1.2		54	28	0.35
	A4	10	245	46	346	43	145	1.4	6.2	1.1		65	40	0.38
	B1	11	247	53	351	35	149	1.3	2.9	0.9		74	48	0.40
	B2	11	246	66	001	22	151	1.9	4.9	1.4		87	61	0.41
	B3	08	241	39	338	49	141	1.8	3.9	1.2		59	33	0.36
	B4	10	246	60	354	28	150	1.5	5.4	1.2		81	55	0.41
	C1	07	242	40	339	49	144	1.5	2.9	1.0		59	34	0.36
	C2	13	246	69	013	16	153	1.1	3.0	0.8		87	68	0.44

sample	spec	EV directions						95% conf. angles			$K_1 \wedge IL$	$S_0 \wedge K_3$	$S_1 \wedge K_3$	$(S_1 \wedge K_3)_{norm}$
		I1	D1	I2	D2	I3	D3	E 12	E 23	E 13				
	C3	11	246	54	352	33	148	1.2	5.7	1.0		75	50	0.40
	C4	12	246	56	355	31	148	1.6	9.2	1.4		77	52	0.40
BR13TH025	A1	23	264	42	151	39	015	3.1	3.2	1.6		33	15	0.32
	A2	22	264	43	153	39	014	2.0	2.2	1.0		33	16	0.32
	A3	21	265	43	154	40	014	2.6	2.9	1.4		32	15	0.32
	A4	23	263	37	155	44	017	3.2	3.2	1.6		28	11	0.28
	B1	24	263	41	151	39	015	1.7	1.9	0.9		33	15	0.32
	B2	23	263	41	151	40	014	2.5	2.5	1.2		32	15	0.32
	B3	24	264	40	152	40	017	2.6	3.0	1.4		31	14	0.30
	B4	25	263	36	153	44	019	1.0	1.0	0.5		27	10	0.26
	C1	26	264	40	150	39	017	2.7	2.7	1.4		32	14	0.31
	C2	25	264	42	149	38	015	2.3	2.8	1.3		34	16	0.32
	C3	24	265	41	152	40	017	1.6	1.9	0.9		31	14	0.30
	C4	28	263	36	151	41	021	2.2	2.3	1.1		29	11	0.27
BR13TH027	A1	31	262	12	164	56	055	5.6	6.1	2.9		19	25	0.57
	A2	28	265	11	169	59	061	1.4	2.1	0.9		22	30	0.57
	A3	30	268	15	169	56	057	2.0	3.3	1.3		20	26	0.57
	A4	31	268	14	170	56	059	2.3	3.9	1.4		21	27	0.56
	B1	28	266	13	169	58	057	2.2	3.6	1.4		20	27	0.57
	B2	31	267	12	169	56	060	1.7	2.9	1.1		22	28	0.56
	B3	31	268	11	172	57	064	1.9	3.1	1.2		24	30	0.56
	B4	31	268	10	171	57	066	1.9	3.3	1.2		25	31	0.56
	C1	27	262	10	167	60	058	2.7	3.7	1.6		21	29	0.58
	C2	30	265	12	167	57	057	2.2	3.8	1.4		20	27	0.57
	C3	30	267	12	170	57	062	2.0	3.9	1.3		23	29	0.56
	C4	32	267	11	170	56	063	2.6	4.9	1.7		23	29	0.56
BR13TH024	A1	31	249	59	076	03	341	3.3	1.0	0.8		35	13	0.27
	A2	31	249	58	086	07	344	6.4	2.3	1.7		30	8	0.21
	A3	33	249	56	084	07	343	6.4	2.6	1.9		30	8	0.21
	A4	31	248	58	086	08	343	6.0	2.2	1.6		29	7	0.20
	A5	34	250	55	085	07	345	4.8	1.6	1.2		29	8	0.21
	B1	29	252	61	079	03	344	3.9	1.2	0.9		34	12	0.26
	B2	31	252	59	082	05	344	4.7	1.6	1.2		32	10	0.24
	B3	30	250	58	089	08	345	4.3	1.4	1.0		29	7	0.20
	C1	28	253	61	091	07	347	4.1	1.2	1.0		29	8	0.22
	C2	29	253	59	091	08	347	5.2	1.5	1.2		28	7	0.21
	C3	27	252	63	079	03	344	4.9	1.8	1.3		34	12	0.26
	C4	33	253	56	082	04	345	6.6	2.5	1.8		32	11	0.25
Monts d'Arree slate belt - MASB07														
BR13TH012	A1	44	269	18	161	40	055	2.7	2.2	1.2			33	
	A2	42	268	16	163	43	057	2.3	2.0	1.1			35	
	A3	42	270	15	165	43	060	2.6	2.4	1.3			37	
	A4	45	267	13	163	42	060	2.3	2.3	1.2			37	
	A5	46	268	17	159	39	054	2.3	2.1	1.1			32	
	B1	44	267	16	161	42	057	2.8	2.3	1.3			35	
	B2	43	266	16	161	43	056	2.7	2.0	1.1			34	
	B3	44	268	15	162	42	058	2.1	1.6	0.9			36	
	C1	39	267	13	166	48	061	3.2	2.7	1.5			39	
	C2	40	267	14	165	46	060	1.7	1.4	0.8			38	
	C3	43	262	11	161	44	060	3.1	2.4	1.3			38	
	C4	40	266	14	165	47	059	3.5	2.5	1.4			38	
BR13TH013	A1	04	264	33	172	57	360	3.0	2.4	1.3		28	7	0.20
	A2	03	260	33	167	57	355	3.2	2.9	1.5		28	8	0.21
	A3	05	263	40	169	50	358	2.3	1.5	0.9		35	1	0.04
	B1	07	262	35	167	54	001	3.6	2.9	1.6		31	4	0.12
	B2	07	263	41	167	49	001	3.2	2.0	1.2		36	1	0.03
	B3	12	262	39	162	49	005	3.3	3.0	1.6		36	3	0.09
	C1	09	265	28	171	60	011	4.5	3.0	1.8		25	12	0.32
	C2	12	268	27	172	60	020	1.6	1.8	0.8		26	15	0.37

sample	spec	EV directions						95% conf. angles			$K_1 \wedge IL$	$S_0 \wedge K_3$	$S_1 \wedge K_3$	$(S_1 \wedge K_3)_{norm}$
		I1	D1	I2	D2	I3	D3	E 12	E 23	E 13				
BR13 TH013	C3	10	263	23	169	65	015	1.9	2.0	1.0		20	17	0.45
	D1	15	262	33	162	53	013	5.3	4.5	2.4		32	9	0.21
	D2	16	266	29	166	56	021	5.7	3.8	2.3		30	14	0.32
	D3	13	266	33	168	54	014	3.6	4.3	1.9		31	9	0.23
BR13TH014	A1	31	047	59	221	03	315	2.7	1.1	0.8			6	
	A2	30	047	60	224	02	316	3.5	1.3	0.9			4	
	B1	30	050	60	223	03	318	1.7	0.6	0.5			4	
	B2	28	050	61	221	04	318	1.8	0.8	0.5			4	
	B3	29	050	60	218	05	317	2.7	1.0	0.7			6	
	B4	28	051	62	220	05	318	2.5	0.9	0.7			5	
	B5	28	051	61	224	03	319	3.2	1.3	0.9			3	
	C1	28	050	62	219	05	318	2.5	0.9	0.7			5	
	C2	28	051	62	225	03	320	2.6	1.0	0.7			3	
	C3	27	051	63	224	03	320	1.7	0.7	0.5			3	
	C4	28	051	62	229	01	320	3.6	1.4	1.0			1	
BR13TH015	C5	28	051	62	228	02	321	2.0	0.8	0.6			2	
	A1	24	124	29	228	51	001	4.8	1.9	1.4			46	
	A2	21	122	30	224	52	001	2.9	1.3	0.9			46	
	A3	22	121	31	224	51	001	3.5	1.3	0.9			46	
	B1	23	122	31	226	50	002	3.0	1.2	0.9			47	
	B2	21	121	34	226	49	004	4.2	1.8	1.3			48	
	B3	21	119	33	224	49	003	3.1	1.5	1.0			47	
	C1	26	123	30	230	48	360	2.0	1.0	0.6			46	
	C2	26	123	31	230	48	000	3.2	1.7	1.1			46	
	C3	23	120	31	224	50	000	3.4	1.4	1.0			45	
	D1	23	119	32	224	49	360	4.7	2.3	1.5			45	
BR13TH016	D2	23	120	32	225	49	000	3.1	1.5	1.0			45	
	D3	21	119	31	222	50	000	4.8	1.8	1.3			45	
	A1	22	227	66	074	10	321	1.8	2.3	1.0		41	35	0.46
	A2	18	229	72	065	05	321	5.2	5.6	2.7		37	40	0.52
	A3	19	233	70	071	06	325	5.4	5.5	2.7		39	41	0.51
	A4	21	228	67	071	08	321	3.4	5.0	2.0		39	37	0.48
	B1	20	227	67	075	10	321	4.4	4.2	2.1		41	35	0.46
	B2	20	225	66	083	14	321	3.8	5.5	2.3		45	32	0.41
	B3	19	227	69	079	10	321	2.7	3.2	1.5		41	35	0.46
	B4	18	227	68	083	12	321	2.8	3.3	1.5		43	34	0.44
	C1	19	223	63	089	18	320	2.3	2.6	1.2		49	28	0.36
BR13TH017	C2	20	224	65	085	15	320	1.7	2.1	1.0		46	30	0.40
	C3	20	223	64	086	16	319	1.5	1.9	0.8		47	29	0.38
	C4	18	223	65	088	17	319	1.6	2.0	0.9		48	28	0.37
	A1	20	218	44	107	39	325	2.8	2.3	1.3		70	21	0.23
	A2	21	215	39	107	43	327	2.5	2.0	1.1		75	17	0.19
	A3	19	217	42	108	42	325	3.4	2.6	1.5		73	18	0.20
	A4	23	217	38	108	43	331	3.7	2.5	1.5		76	17	0.18
	B1	18	217	49	106	36	321	3.8	2.9	1.6		67	25	0.27
	B2	19	217	46	106	38	323	3.0	2.3	1.3		69	22	0.25
	B3	19	217	43	107	40	324	3.5	2.3	1.4		71	20	0.22
	B4	19	216	44	106	40	322	3.2	2.6	1.4		71	21	0.23
BR13TH018	C1	15	217	47	111	39	319	3.5	2.3	1.4		70	22	0.24
	C2	16	217	46	110	40	321	1.4	1.1	0.6		71	21	0.23
	C3	16	217	46	110	40	320	3.3	2.5	1.4		71	21	0.23
	C4	15	216	46	109	40	319	3.0	2.2	1.3		70	21	0.23
	A1	27	220	52	089	24	323	3.3	3.2	1.6		55	32	0.37
	A2	27	221	55	085	21	323	1.5	1.5	0.8		53	35	0.40
	B1	27	223	56	086	20	324	2.2	2.1	1.1		52	36	0.41
BR13TH018	B2	29	222	52	088	23	326	2.1	2.2	1.1		55	33	0.37
	B3	26	223	58	081	17	322	4.6	4.1	2.2		48	39	0.45
	B4	30	222	58	068	11	319	5.5	7.5	3.2		42	46	0.52
	C1	33	226	52	081	18	327	4.0	6.3	2.5		51	38	0.43

sample	spec	EV directions						95% conf. angles			$K_1 \wedge IL$	$S_0 \wedge K_3$	$S_1 \wedge K_3$	$(S_1 \wedge K_3)_{norm}$
		I1	D1	I2	D2	I3	D3	E 12	E 23	E 13				
BR13TH018	C2	35	223	51	076	16	325	6.9	7.6	3.7		48	40	0.45
	C3	34	224	47	086	22	330	6.3	6.3	3.2		55	33	0.37
	D1	24	228	55	097	23	329	3.4	6.8	2.3		56	32	0.37
	D2	22	226	63	084	15	323	3.5	3.8	1.8		47	41	0.47
	D3	27	224	59	078	15	322	3.5	3.7	1.8		46	41	0.47
BR09TH103	A1	28	221	54	356	22	119	1.8	1.7	0.9		63	68	0.52
	A2	32	219	55	011	13	120	2.5	2.4	1.2		71	61	0.46
	A4	30	219	59	023	07	125	3.1	2.4	1.4		79	53	0.40
	A3	27	220	60	012	12	123	1.5	1.7	0.8		73	58	0.44
	A5	32	220	58	029	05	127	2.0	1.5	0.9		81	50	0.38
	B1	28	218	60	015	10	123	2.4	2.5	1.2		75	57	0.43
	B2	30	224	57	018	12	127	3.4	3.3	1.7		76	56	0.42
	B3	31	223	59	029	06	129	3.6	3.2	1.7		82	50	0.38
	C1	28	221	58	009	14	123	2.6	2.4	1.2		72	60	0.45
	C2	29	221	61	031	05	129	2.2	1.7	1.0		82	49	0.37
	C3	26	225	64	036	03	133	1.8	1.6	0.8		86	45	0.34
	C4	40	222	49	055	07	318	2.7	2.1	1.2		83	34	0.29
	C5	40	224	49	056	06	319	2.7	2.6	1.3		83	34	0.29
BR09TH107	A1	07	050	19	143	69	302	24.0	3.3	2.9		12	21	0.64
	A2	09	051	21	144	67	300	42.1	2.2	2.1		12	20	0.62
	A3	21	156	12	061	65	303	48.4	4.4	4.1		11	17	0.61
	A4	22	131	03	039	68	302	37.6	3.0	2.8		11	20	0.64
	A5	21	162	13	067	65	307	9.7	2.4	2.0		10	16	0.63
	A6	15	136	05	045	74	297	47.7	1.3	1.3		14	26	0.64
	A7	11	167	11	075	74	300	29.0	2.7	2.5		14	25	0.65
	A8	08	189	16	097	71	305	34.4	2.8	2.6		11	22	0.67
	A9	15	170	15	076	69	301	30.4	2.0	1.9		12	21	0.64
	A10	21	115	02	206	69	300	22.4	2.2	2.0		12	21	0.64
	A11	16	161	14	067	69	298	14.7	2.1	1.8		13	22	0.63
BR09TH108	A1	09	138	02	048	81	306	20.7	3.3	2.9		12	31	0.73
	A2	11	138	02	048	79	310	22.0	3.3	2.9		10	29	0.75
	A3	06	138	00	228	84	318	19.3	3.3	2.8		14	34	0.71
	A4	11	119	05	210	78	325	65.6	2.7	2.7		8	28	0.78
	B1	07	135	02	045	83	296	15.3	3.4	2.8		14	34	0.70
	B2	05	146	00	056	85	325	9.8	1.7	1.5		15	35	0.70
	B3	07	140	01	230	83	327	8.4	1.4	1.2		13	33	0.72
	B4	12	143	03	052	77	309	23.6	1.8	1.6		8	27	0.77
	C1	09	136	00	046	81	316	9.7	2.5	2.0		11	31	0.73
	C2	07	139	04	048	82	291	10.2	2.8	2.2		14	33	0.70
	C3	05	139	03	229	85	348	8.8	2.2	1.7		16	36	0.70
BR09TH111	A1	12	153	02	063	78	321	20.7	1.4	1.3		24	28	0.54
	A2	11	150	00	060	79	328	17.5	2.1	1.9		24	29	0.55
	A3	10	181	07	090	78	327	20.7	2.4	2.1		23	28	0.55
	A4	12	166	06	075	76	319	18.5	1.6	1.4		22	26	0.54
	A5	11	160	05	069	78	316	17.2	2.3	2.0		24	28	0.54
	B1	12	162	01	072	78	338	39.3	1.9	1.9		23	29	0.56
	B2	11	186	06	095	78	337	32.4	1.7	1.6		23	29	0.56
	B3	12	164	01	073	78	339	35.1	1.6	1.6		23	29	0.56
	C1	09	185	08	094	78	320	23.6	2.0	1.9		24	28	0.54
	C2	11	159	02	069	79	330	22.5	1.5	1.4		24	29	0.55
	C3	10	177	06	085	78	325	14.2	1.0	0.9		23	28	0.55
BR09TH112	A1	08	143	04	234	81	350	4.2	1.0	0.8		27	32	0.55
	A2	09	140	04	231	80	344	4.4	1.2	0.9		25	31	0.55
	A3	10	143	04	233	79	347	6.6	1.4	1.1		25	31	0.55
	A4	11	136	04	227	78	337	7.4	1.3	1.1		23	29	0.55
	A5	10	141	05	232	79	350	13.9	3.0	2.5		25	31	0.55
	B1	11	140	04	231	78	339	12.5	2.2	1.9		23	29	0.55
	B2	09	138	04	229	81	341	5.6	1.3	1.1		26	32	0.55
	B3	12	139	03	230	78	333	20.0	3.7	3.2		23	28	0.55

sample	spec	EV directions						95% conf. angles			$K_1 \wedge IL$	$S_0 \wedge K_3$	$S_1 \wedge K_3$	$(S_1 \wedge K_3)_{norm}$
		I1	D1	I2	D2	I3	D3	E 12	E 23	E 13				
BR09TH112	B4	12	139	03	230	78	335	19.9	3.5	3.0		23	29	0.55
	B5	11	145	04	235	78	346	26.2	3.8	3.3		24	30	0.56
	B6	09	141	05	232	79	350	10.5	2.0	1.7		25	31	0.55
	C1	10	144	01	234	80	329	21.9	3.7	3.2		25	30	0.55
	C2	12	145	02	235	77	332	17.4	3.5	2.9		22	27	0.55
	C3	10	143	03	233	79	337	12.1	2.6	2.2		24	30	0.55
	C4	10	136	04	227	79	340	7.2	1.8	1.4		24	30	0.55
BR13TH019	A1	00	054	08	145	82	322	1.6	3.0	1.0			37	
	A2	01	058	13	148	77	321	2.1	3.8	1.3			32	
	A3	00	058	14	148	76	328	2.7	2.6	1.3			31	
	A4	06	232	11	323	77	115	3.4	9.4	2.5			57	
	B1	01	237	05	327	85	137	2.6	2.6	1.3			50	
	B2	01	237	02	327	87	129	2.7	3.2	1.5			48	
	B3	05	237	22	329	68	134	2.0	3.1	1.2			67	
	B4	00	060	00	150	90	323	2.4	2.4	1.2			45	
	C1	01	249	16	159	74	344	3.3	2.5	1.4			31	
	C2	04	245	17	154	72	346	1.2	3.7	0.9			30	
	C3	00	066	14	156	76	334	2.3	6.6	1.7			32	
	C4	02	244	08	154	82	348	1.5	3.9	1.1			38	
Monts d'Arrée slate belt - MASB08														
BR13TH009	A1	13	121	29	218	58	009	3.0	1.6	1.0		29	10	0.25
	A2	12	121	29	218	58	010	3.1	1.4	1.0		30	10	0.25
	A3	13	120	30	217	57	010	2.5	1.3	0.9		30	9	0.23
	B1	15	125	28	223	58	011	3.2	1.5	1.0		30	10	0.25
	B2	14	123	28	220	59	009	1.3	0.6	0.4		29	10	0.26
	B3	13	122	28	220	58	010	2.2	1.0	0.7		30	10	0.25
	B4	14	123	29	221	57	010	2.3	1.1	0.8		30	9	0.23
	C1	15	121	29	220	57	008	2.3	1.2	0.8		29	8	0.23
	C2	15	123	30	222	56	009	2.4	1.3	0.8		30	8	0.21
	C3	15	123	29	222	57	009	2.5	1.3	0.8		29	9	0.23
	C4	16	123	28	222	57	007	2.2	1.1	0.7		28	8	0.22
	C5	15	122	28	220	58	008	3.0	1.5	1.0		29	9	0.24
BR13TH010	A1	07	115	24	208	65	010	2.8	1.5	1.0		28	5	0.15
	A2	06	117	26	210	63	014	2.4	1.4	0.9		30	4	0.11
	A3	07	117	28	211	61	015	2.2	1.5	0.9		31	3	0.08
	A4	04	116	27	208	62	017	3.5	2.4	1.4		32	4	0.11
	A5	05	113	27	206	62	013	2.4	1.2	0.8		30	2	0.08
	B1	03	115	29	206	61	019	1.7	1.1	0.7		33	5	0.12
	B2	06	118	23	211	66	015	1.9	1.1	0.7		30	6	0.18
	B3	04	117	25	209	64	018	3.3	1.9	1.2		32	5	0.15
	B4	05	116	25	209	65	015	2.3	1.2	0.8		30	6	0.15
	C1	06	112	22	205	67	008	2.1	1.4	0.8		27	7	0.21
	C2	04	110	24	201	66	011	2.7	1.5	1.0		29	6	0.17
BR13TH011	A1	12	113	32	210	55	005	2.9	1.9	1.1		28	3	0.09
	A2	14	114	32	213	55	004	3.8	2.4	1.5		28	2	0.08
	A3	11	114	34	212	53	009	1.8	1.2	0.7		31	6	0.15
	B1	14	111	37	212	49	005	2.5	1.4	0.9		31	7	0.18
	B2	12	113	36	212	51	008	2.7	1.9	1.1		31	6	0.17
	B3	09	111	37	208	52	009	2.0	1.4	0.8		31	6	0.16
	C1	10	110	37	208	51	008	1.3	0.8	0.5		31	6	0.17
	C2	13	113	35	212	52	005	2.6	1.6	1.0		29	4	0.13
	C3	12	111	37	210	50	007	1.8	1.0	0.7		31	7	0.17
	D1	11	110	37	208	51	006	2.1	1.1	0.7		30	5	0.15
	D2	12	109	39	209	48	005	6.2	4.0	2.4		31	8	0.20
	D3	11	110	38	209	50	007	2.2	1.2	0.8		31	7	0.17
Monts d'Arrée slate belt - MASB09														
	A1	40	275	15	018	46	123	2.0	2.9	1.2		28	45	0.62
	A2	46	280	14	025	41	128	1.9	2.4	1.0		26	50	0.66
	A3	44	283	13	025	43	127	1.6	2.6	1.0		27	49	0.64

sample	spec	EV directions						95% conf. angles			$K_1 \wedge IL$	$S_0 \wedge K_3$	$S_1 \wedge K_3$	$(S_1 \wedge K_3)_{norm}$
		I1	D1	I2	D2	I3	D3	E 12	E 23	E 13				
BR13TH021	B1	41	281	16	025	45	131	1.3	1.6	0.7		30	51	0.63
	B2	41	282	15	025	45	130	1.4	1.7	0.8		30	50	0.63
	B3	43	282	15	026	43	130	2.2	4.4	1.5		28	51	0.64
	C1	41	282	16	027	44	133	2.4	2.7	1.3		31	53	0.63
	C2	41	282	13	024	46	128	1.7	2.2	1.0		30	49	0.62
	C3	43	285	13	028	44	131	3.4	4.4	1.9		30	51	0.63
	D1	44	276	14	021	42	124	2.9	3.1	1.5		25	47	0.65
	D2	43	276	15	020	43	124	2.6	3.4	1.5		26	47	0.64
	D3	44	276	14	020	42	124	2.2	4.0	1.4		25	47	0.65
BR13TH022	A1	55	282	16	036	30	136	2.6	4.0	1.6		26	55	0.68
	A2	53	287	16	038	33	139	1.6	2.1	0.9		29	56	0.66
	A3	53	288	14	037	33	137	2.3	2.8	1.3		27	54	0.67
	B1	55	286	16	040	31	140	1.6	2.0	0.9		29	58	0.66
	B2	53	285	17	039	32	140	1.3	1.6	0.7		29	57	0.66
	B3	53	282	15	034	32	134	2.3	3.0	1.3		25	53	0.68
	C1	54	285	17	039	31	140	1.7	2.1	0.9		29	58	0.66
	C2	54	284	15	036	32	136	2.1	2.6	1.2		26	54	0.67
	C3	53	283	16	035	32	136	3.0	3.8	1.7		26	54	0.67
	D1	54	289	13	038	33	136	1.3	1.7	0.8		27	54	0.67
	D2	55	289	12	037	33	135	2.6	3.2	1.4		26	53	0.67
	D3	52	284	15	034	34	134	2.9	3.8	1.6		25	52	0.67
BR13TH023	A1	55	281	12	028	32	126	2.6	3.1	1.4		19	46	0.71
	A2	53	280	16	032	32	132	3.7	5.0	2.1		23	51	0.69
	B1	56	282	11	030	31	126	2.2	3.5	1.4		18	47	0.72
	B2	56	281	12	029	32	126	3.0	2.9	1.5		19	46	0.71
	B3	51	286	09	028	37	124	3.5	3.1	1.7		21	43	0.67
Monts d'Arree slate belt - MASB10														
BR13TH034	A1	07	212	59	315	30	118	1.6	0.6	0.5		44	7	0.14
	A2	05	213	61	313	28	121	3.3	1.3	0.9		47	10	0.17
	A3	06	212	60	313	29	118	3.4	1.3	0.9		45	7	0.14
	A4	09	214	62	321	26	119	2.4	1.0	0.7		48	9	0.16
	B1	07	214	59	316	30	119	4.4	1.9	1.3		44	8	0.15
	B2	11	209	59	318	29	113	3.0	1.1	0.8		44	3	0.06
	B3	09	213	60	318	28	118	4.7	1.6	1.2		46	7	0.14
	B4	09	215	58	318	31	119	5.3	1.7	1.3		43	8	0.15
	C1	05	213	56	310	34	120	3.3	1.2	0.9		41	9	0.19
	C2	08	212	55	314	33	117	3.7	1.4	1.0		41	7	0.14
	C3	07	208	56	309	33	113	2.5	0.9	0.6		40	4	0.09
	C4	10	209	55	314	33	112	3.1	1.1	0.8		40	3	0.08
BR13TH035	A1	51	278	05	014	39	108	1.5	0.8	0.5		32	4	0.12
	A2	53	280	06	017	37	111	1.3	0.7	0.5		35	2	0.06
	A3	53	276	09	019	35	116	2.2	1.3	0.8		39	5	0.11
	A4	52	275	10	018	36	115	2.4	1.4	0.9		37	4	0.10
	A5	51	274	11	018	37	116	1.4	0.8	0.5		37	5	0.12
	A6	52	277	10	020	37	118	0.9	0.5	0.3		38	7	0.15
	B1	52	278	09	020	36	117	1.3	0.7	0.5		38	6	0.13
	B2	52	276	11	021	35	119	2.2	1.3	0.8		40	7	0.16
	B3	52	276	11	019	36	117	2.5	1.4	0.9		38	6	0.13
	B4	53	278	10	022	35	119	2.0	1.2	0.7		40	7	0.16
	B5	51	276	12	021	36	120	2.3	1.3	0.8		39	8	0.17
	B6	55	275	14	026	32	125	1.4	0.9	0.5		45	13	0.22
Montagnes Noires slate belt - MNSB01														
BR13TH001	A1	76	057	12	270	08	178	2.4	1.0	0.7		11	4	0.29
	A2	77	052	11	270	08	179	4.3	2.0	1.3		11	5	0.31
	A3	76	055	12	270	08	178	2.0	0.8	0.6		11	4	0.29
	A4	76	053	11	270	08	178	3.5	1.6	1.1		11	4	0.29
	A5	73	061	15	269	07	177	3.2	1.1	0.8		11	3	0.21
	A6	76	056	12	269	07	178	3.6	1.5	1.1		11	4	0.24

sample	spec	EV directions						95% conf. angles			$K_1 \wedge IL$	$S_0 \wedge K_3$	$S_1 \wedge K_3$	$(S_1 \wedge K_3)_{norm}$
		I1	D1	I2	D2	I3	D3	E 12	E 23	E 13				
BR13TH001	A7	77	055	11	270	08	179	2.9	1.3	0.9		11	5	0.31
	B1	76	053	11	271	08	179	2.3	1.0	0.7		11	5	0.31
	B2	77	053	11	271	08	180	3.1	1.3	0.9		12	6	0.33
	B3	75	050	12	269	09	178	4.2	1.7	1.2		10	5	0.34
	B4	77	051	10	270	08	178	2.4	1.0	0.7		11	4	0.29
	B5	77	049	10	268	08	176	2.9	1.3	0.9		9	3	0.26
BR13TH002	A1	75	059	13	271	08	179	4.8	1.9	1.4		11	4	0.28
	A2	74	056	13	271	09	179	5.1	2.0	1.4		11	4	0.28
	A3	77	047	09	269	09	178	3.5	1.4	1.0		10	3	0.24
	B1	76	039	08	272	11	180	2.3	1.0	0.7		11	5	0.32
	B2	78	041	07	272	09	181	4.8	2.0	1.4		12	6	0.33
	B3	76	040	09	270	10	178	3.2	1.3	0.9		9	3	0.24
	C1	77	042	09	270	10	178	5.4	2.3	1.6		9	3	0.24
	C2	77	042	09	269	09	178	2.6	1.1	0.8		10	3	0.24
	C3	77	046	10	269	09	177	2.5	1.0	0.7		9	2	0.20
	C4	78	041	08	269	09	178	2.5	1.1	0.8		10	3	0.24
BR13TH003	A1	80	057	08	267	05	177	4.9	1.8	1.3		12	2	0.14
	A2	81	057	08	266	04	175	3.1	1.3	0.9		12	1	0.08
	B1	81	051	07	269	06	178	3.2	1.3	0.9		12	3	0.21
	B2	80	052	08	268	06	177	2.3	0.9	0.7		11	2	0.16
	B3	81	048	07	268	06	178	4.3	1.8	1.3		12	3	0.21
	C1	81	028	04	269	08	179	3.7	1.6	1.1		11	5	0.31
	C2	81	040	06	269	07	178	3.9	1.8	1.2		11	4	0.24
	C3	80	041	07	269	08	178	3.2	1.3	0.9		11	4	0.29
	C4	79	035	07	268	09	177	3.1	1.2	0.9		9	4	0.33
	D1	83	029	03	271	06	181	3.3	1.4	1.0		14	6	0.30
	D2	82	033	04	269	06	179	2.1	0.9	0.6		13	4	0.25
	D3	81	033	05	270	08	180	2.8	1.2	0.8		12	6	0.33
BR13TH004	A1	82	237	08	057	00	147	1.5	1.7	0.8		30	9	0.24
	A2	83	253	07	057	02	147	2.4	2.6	1.2		29	11	0.27
	A3	83	251	07	057	02	147	1.6	1.7	0.8		29	11	0.27
	A4	84	240	06	057	00	147	1.4	1.7	0.8		30	9	0.24
	B1	84	230	06	061	01	331	2.3	2.0	1.1		26	6	0.18
	B2	85	242	05	058	00	149	2.1	2.4	1.1		28	8	0.22
	B3	86	233	04	061	01	331	1.6	1.8	0.8		26	6	0.18
	B4	83	232	06	061	01	330	1.7	1.9	0.9		27	6	0.19
	B5	83	238	07	058	00	328	1.3	1.5	0.7		29	9	0.23
	B6	84	237	06	059	00	329	1.9	2.4	1.1		28	8	0.22
	C1	88	278	02	058	01	148	1.5	1.8	0.8		28	9	0.25
	C2	85	221	05	054	01	324	1.8	1.8	0.9		33	12	0.26
BR13TH005	A1	88	289	01	062	02	152	1.8	1.7	0.9		24	4	0.15
	A2	87	282	02	055	02	145	1.3	1.4	0.7		31	10	0.25
	A3	87	270	03	061	02	151	1.1	1.2	0.6		25	5	0.17
	A4	87	272	03	060	02	151	1.0	1.0	0.5		25	5	0.17
	A5	87	283	02	061	02	152	2.4	3.1	1.3		24	4	0.15
	B1	01	242	87	123	03	332	1.2	1.4	0.7		26	9	0.24
	B2	88	268	02	064	01	154	2.0	1.9	1.0		23	4	0.15
	B3	89	227	01	055	00	325	1.7	1.8	0.9		31	11	0.26
	C1	88	286	02	064	02	154	1.0	0.9	0.5		22	3	0.12
	C2	86	290	03	062	03	152	2.3	2.2	1.1		24	4	0.13
	C3	87	320	01	061	03	151	1.6	1.8	0.8		25	4	0.15
	C4	88	280	02	063	01	153	2.2	2.1	1.1		24	4	0.16
Montagnes Noires slate belt - MNSB02														
BR13TH006	A1	29	090	03	182	61	277	3.6	2.0	1.3		51	2	0.03
	A2	30	100	03	008	60	272	1.9	1.1	0.7		53	4	0.07
	A3	30	100	03	008	60	272	2.2	1.3	0.8		53	4	0.07
	A4	29	099	02	008	61	274	1.9	1.2	0.7		53	3	0.06
	A5	29	102	03	010	61	275	2.0	1.0	0.7		52	3	0.05

sample	spec	EV directions						95% conf. angles			$K_1 \wedge IL$	$S_0 \wedge K_3$	$S_1 \wedge K_3$	$(S_1 \wedge K_3)_{norm}$
		I1	D1	I2	D2	I3	D3	E 12	E 23	E 13				
BR13TH006	B1	28	093	01	003	62	270	1.5	0.7	0.5		55	5	0.09
	B2	28	094	02	003	62	269	1.3	0.5	0.4		55	6	0.09
	B3	30	097	05	004	60	267	2.7	1.0	0.7		56	6	0.10
	B4	30	103	03	012	60	277	3.6	1.3	1.0		51	1	0.03
	C1	29	094	02	003	61	270	2.0	0.9	0.6		54	5	0.08
	C2	29	093	00	003	61	273	2.8	1.4	0.9		53	4	0.06
	C3	29	097	02	006	61	272	2.2	1.2	0.8		54	4	0.07
BR13TH007	A1	28	101	17	200	56	318	1.5	2.2	0.9		43	4	0.09
	A2	27	102	17	201	58	319	1.8	2.5	1.0		44	2	0.04
	A3	27	103	15	201	59	317	1.2	1.8	0.7		45	2	0.04
	B1	28	102	16	201	57	318	1.7	2.6	1.0		44	3	0.07
	B2	27	102	17	201	57	320	1.8	2.6	1.1		43	3	0.07
	B3	28	103	17	203	57	321	1.9	3.1	1.2		42	3	0.07
	C1	25	103	21	203	57	328	1.8	2.5	1.0		39	5	0.12
	C2	26	103	20	203	56	326	0.9	1.5	0.6		40	5	0.11
	C3	25	103	20	203	57	327	1.2	1.9	0.7		40	5	0.11
	D1	25	103	17	201	59	322	1.0	1.6	0.6		43	1	0.03
	D2	25	103	18	202	58	324	1.6	2.6	1.0		42	3	0.06
	D3	26	103	20	203	56	327	1.1	1.8	0.7		39	5	0.12
BR13TH008	A1	43	106	12	207	45	310	3.8	2.6	1.5		38	4	0.09
	A2	44	105	15	210	42	315	4.8	2.4	1.6		33	3	0.08
	A3	43	099	18	207	41	313	3.6	2.0	1.3		35	4	0.11
	A4	42	102	17	207	44	314	5.7	2.7	1.8		35	1	0.03
	B1	42	102	14	205	44	309	3.6	2.0	1.3		38	4	0.10
	B2	42	102	15	207	43	312	3.6	1.8	1.2		36	3	0.08
	B3	43	101	16	207	42	312	2.5	1.3	0.8		36	4	0.09
	B4	43	103	15	208	43	313	3.4	1.6	1.1		35	2	0.07
	B5	45	101	15	206	42	310	5.0	2.4	1.6		37	5	0.11
	C1	43	103	09	202	46	302	2.4	1.8	1.0		44	9	0.17
	C2	43	102	15	206	43	311	2.8	1.4	0.9		37	4	0.09
	C3	44	101	16	207	42	312	2.9	1.4	0.9		36	4	0.09
Montagnes Noires slate belt - MNSB03														
BR09TH149	A1	80	084	09	251	02	341	6.4	2.5	1.8		33	4	0.12
	A2	83	084	07	253	01	344	8.8	3.3	2.4		30	1	0.04
	B1	81	139	03	250	08	340	4.6	2.1	1.4		38	9	0.20
	B2	83	263	07	092	01	002	6.2	2.8	1.9		18	17	0.49
	C1	82	134	04	253	07	343	4.6	2.6	1.7		35	7	0.17
BR09TH142	A1	53	099	34	255	11	353	2.8	2.2	1.2		34	3	0.08
	A2	54	099	34	256	11	354	2.8	2.2	1.2		33	4	0.11
	A3	53	099	35	256	11	354	2.8	2.1	1.2		33	4	0.11
	A4	53	100	35	259	10	356	2.5	1.9	1.1		31	6	0.16
	A5	50	098	38	258	10	356	1.9	1.4	0.8		31	6	0.16
	A6	52	100	37	259	10	356	2.8	2.1	1.2		31	6	0.16
	B1	53	103	35	262	11	359	2.9	2.2	1.3		30	9	0.23
	B2	57	109	29	258	14	356	3.5	2.4	1.4		35	7	0.17
	B3	48	105	38	258	14	359	3.2	2.6	1.4		33	10	0.23
	B4	54	113	31	257	17	358	1.8	1.4	0.8		36	10	0.22
	B5	53	103	34	260	11	357	3.5	2.6	1.5		32	7	0.18
	B6	50	103	37	257	13	357	4.3	3.5	1.9		33	7	0.18
	B7	50	102	38	259	11	358	3.3	2.6	1.5		31	8	0.20
	B8	51	105	36	261	12	000	5.1	3.7	2.1		31	10	0.25
	B9	50	104	39	263	11	002	4.2	3.3	1.9		29	12	0.29
BR09TH141	A1	60	057	23	280	18	182	4.9	6.6	2.8		18	39	0.69
	A2	66	032	07	286	22	193	3.0	3.0	1.5		28	49	0.64
	B1	71	039	19	217	01	307	2.8	2.4	1.3		43	29	0.40
	B2	72	043	18	219	01	309	3.4	3.1	1.6		41	27	0.40
	A1	59	111	29	272	09	007	3.2	4.0	1.8		16	17	0.52
	B1	62	107	27	275	05	007	2.7	2.9	1.4		12	18	0.59

sample	spec	EV directions						95% conf. angles			$K_1 \wedge IL$	$S_0 \wedge K_3$	$S_1 \wedge K_3$	$(S_1 \wedge K_3)_{norm}$
		I1	D1	I2	D2	I3	D3	E 12	E 23	E 13				
BR09TH143	B2	61	107	28	270	07	004	3.1	2.9	1.5		13	14	0.53
	C1	61	105	28	272	06	005	2.7	2.4	1.3		12	15	0.56
	C2	60	102	29	268	06	002	5.9	4.8	2.6		11	13	0.53
	D1	64	108	24	264	09	359	3.1	3.0	1.5		14	9	0.39
	D2	65	107	23	266	08	359	1.7	1.6	0.8		13	9	0.41
	E1	62	111	26	264	11	360	2.1	2.2	1.1		16	10	0.38
	E2	62	111	25	264	11	360	6.9	5.1	3.0		16	10	0.38
	F1	57	114	29	264	14	002	4.6	4.7	2.3		19	12	0.39
	F2	57	111	30	264	12	001	4.3	3.7	2.0		17	11	0.39
BR09TH148	A1	66	099	19	238	15	333	4.2	2.3	1.5		44	7	0.13
	A2	62	088	25	241	11	336	6.7	3.3	2.2		40	6	0.12
	A3	59	085	30	247	08	342	3.1	2.0	1.2		33	7	0.18
	A4	61	084	27	244	08	339	7.1	3.4	2.3		36	7	0.17
	A5	62	085	27	247	07	341	7.7	3.3	2.3		34	8	0.19
	B1	67	101	18	239	14	334	9.9	4.1	2.9		43	6	0.12
	B2	65	100	19	237	15	333	7.5	2.8	2.0		44	7	0.13
	B3	66	101	19	239	15	334	7.2	3.2	2.2		44	6	0.12
	B4	62	095	24	240	14	336	9.0	3.8	2.7		41	4	0.09
	B5	65	097	21	242	13	337	3.7	1.9	1.3		40	4	0.08
	B6	61	093	26	245	12	341	7.0	3.7	2.4		36	3	0.08
	C1	64	123	10	234	23	329	8.1	3.7	2.5		52	13	0.20
	C2	61	112	17	234	24	332	12.5	4.8	3.5		50	12	0.19
	C3	62	114	16	237	22	334	3.6	1.6	1.1		48	9	0.16
	C4	62	113	17	238	22	335	5.8	2.3	1.7		47	8	0.15
BR09TH151	A1	47	077	39	287	15	184	2.7	4.4	1.7		8	9	0.53
	A2	47	074	37	288	18	184	3.4	5.1	2.0		6	9	0.60
	A3	46	076	38	291	18	186	5.1	7.8	3.1		4	11	0.72
	A4	48	077	34	296	20	191	4.2	6.3	2.5		1	16	0.94
	B1	48	076	38	288	16	185	3.3	4.9	2.0		6	10	0.61
	B2	49	076	37	289	16	186	4.4	5.9	2.5		6	11	0.66
	B3	48	076	37	290	17	186	2.7	3.9	1.6		5	11	0.69
	B4	49	078	36	291	17	188	4.7	5.9	2.6		4	13	0.78
	C1	50	082	38	286	12	187	3.8	5.6	2.3		9	12	0.59
	C2	51	081	36	286	13	187	2.8	4.2	1.7		8	12	0.61
	C3	51	082	36	291	14	190	3.0	4.4	1.8		6	15	0.71
	C4	52	079	33	294	17	192	2.9	4.8	1.8		4	16	0.82
BR09TH150	A1	49	084	38	290	13	190	1.9	2.7	1.1		7	15	0.68
	A2	48	083	38	291	14	190	3.2	3.5	1.7		6	15	0.71
	A3	55	084	35	279	07	184	1.8	2.2	1.0		14	12	0.46
	A6	50	084	38	281	08	184	1.6	2.1	0.9		13	11	0.46
	A7	52	083	36	283	10	186	1.5	1.9	0.8		11	12	0.52
	B1	49	080	36	293	17	190	2.9	3.0	1.5		3	15	0.83
	B2	48	079	40	280	11	181	2.9	3.0	1.5		12	7	0.36
	B3	53	080	35	282	11	185	1.9	2.4	1.1		10	11	0.51
	B4	50	080	38	283	11	184	2.3	2.6	1.2		11	10	0.47
	B5	53	081	34	287	12	188	2.0	2.9	1.2		8	13	0.61
	B6	52	080	35	284	12	185	2.2	2.9	1.3		9	10	0.52
	B7	54	080	34	280	09	183	1.3	1.7	0.7		13	10	0.43
BR09TH152	A1	41	088	48	276	04	182	8.4	5.1	3.2		10	4	0.31
	A2	42	087	47	277	05	182	5.4	3.6	2.2		9	5	0.36
	A3	44	088	45	279	06	184	3.6	2.7	1.6		7	7	0.50
	B1	44	090	46	273	01	182	3.4	2.3	1.4		12	2	0.16
	B2	43	090	47	275	02	183	2.9	2.0	1.2		11	4	0.25
	B3	40	093	50	272	00	003	6.9	4.4	2.7		12	3	0.20
	B4	43	092	47	274	01	183	8.7	5.3	3.3		11	3	0.22
	C1	42	090	48	278	04	184	7.2	5.4	3.1		8	6	0.40
	C2	44	083	44	283	10	183	5.4	4.1	2.3		7	10	0.60
	C3	41	085	47	285	10	184	5.7	4.6	2.6		6	11	0.65

sample	spec	EV directions						95% conf. angles			$K_1 \wedge IL$	$S_0 \wedge K_3$	$S_1 \wedge K_3$	$(S_1 \wedge K_3)_{norm}$
		I1	D1	I2	D2	I3	D3	E 12	E 23	E 13				
BR09TH152	C4	39	087	49	284	09	184	7.0	4.8	2.9		6	10	0.62
	D1	43	087	47	279	06	183	3.9	3.2	1.8		8	7	0.46
	D2	45	086	44	280	07	183	5.0	3.4	2.0		8	8	0.50
	D3	44	086	45	281	08	183	5.2	3.7	2.2		7	9	0.54
	D4	45	085	44	281	08	183	5.6	4.2	2.4		7	9	0.54
BR09TH153	A1	44	087	42	296	15	192	7.8	5.8	3.3		5	2	0.26
	A2	47	088	41	286	09	188	5.3	3.9	2.3		2	6	0.74
	A3	45	086	43	286	11	186	4.3	3.0	1.8		4	6	0.58
	A4	43	086	45	288	11	187	4.4	2.9	1.8		3	5	0.61
	A5	46	087	41	293	13	191	5.3	3.6	2.1		3	2	0.41
	A6	44	088	45	287	10	187	4.8	3.4	2.0		3	6	0.66
	A7	43	090	45	290	10	189	8.6	5.5	3.4		1	5	0.84
	A8	42	087	45	294	14	190	7.0	4.9	2.9		4	1	0.20
	A9	46	084	41	290	13	188	5.3	3.8	2.2		4	3	0.44
	A10	41	085	46	292	14	187	9.0	6.2	3.7		5	3	0.38
	A11	47	086	40	292	13	191	12.7	8.1	5.0		3	2	0.41
BR09TH154	A1	58	107	32	274	06	007	4.4	4.1	2.1		16	7	0.30
	A2	59	110	30	272	08	007	3.8	4.4	2.0		18	8	0.29
	A3	56	110	33	272	08	008	3.2	4.2	1.8		18	8	0.32
	B1	49	103	40	270	06	005	6.2	7.0	3.3		17	5	0.23
	B2	50	103	39	270	06	005	6.2	6.0	3.1		17	5	0.23
	B3	52	103	37	267	08	003	5.6	5.9	2.9		19	4	0.18
	B4	53	104	35	260	12	358	4.7	4.4	2.3		25	7	0.23
	B5	49	102	38	257	12	357	4.1	3.4	1.9		26	8	0.23
	C1	50	102	39	270	06	005	2.5	2.3	1.2		17	5	0.23
	C2	52	101	37	270	05	004	1.5	1.6	0.8		16	4	0.20
	C3	48	097	41	261	08	358	6.9	6.9	3.5		22	4	0.14
	C4	50	101	39	261	10	359	6.7	5.9	3.2		23	5	0.18
	C5	49	100	37	252	14	353	5.0	5.1	2.5		29	11	0.28
BR09TH156	A1	56	099	34	284	02	192	2.4	2.5	1.2		8	4	0.30
	A2	52	098	38	276	01	007	3.2	3.5	1.7		11	7	0.37
	A3	56	104	33	271	06	005	5.7	7.4	3.2		17	12	0.42
	A4	62	112	27	276	07	009	2.6	3.1	1.4		17	12	0.41
	A5	57	116	30	272	11	008	2.4	2.5	1.2		21	16	0.43
	A6	55	112	33	274	09	010	3.5	3.1	1.6		19	14	0.42
	A7	53	116	36	276	10	013	3.6	3.2	1.7		20	15	0.43
	B1	52	093	38	276	01	185	2.5	3.0	1.4		10	6	0.38
	B2	57	100	32	266	06	000	3.6	4.3	2.0		19	15	0.44
	B3	56	104	34	275	04	008	4.3	4.9	2.3		14	9	0.39
	B5	55	110	34	274	07	009	2.5	2.7	1.3		17	12	0.41
BR09TH155	A1	55	089	35	279	05	186	3.4	3.4	1.7		6	39	0.86
	A2	58	093	32	280	03	188	2.0	3.1	1.2		7	40	0.85
	A3	60	090	30	281	05	188	2.1	3.7	1.3		5	41	0.88
	A4	58	085	30	284	08	190	2.3	7.8	1.8		2	44	0.96
	B1	56	091	34	285	07	191	1.6	2.7	1.0		3	45	0.93
	B2	57	086	32	280	06	186	2.4	4.5	1.6		6	40	0.88
	B3	55	085	34	278	06	184	2.0	3.2	1.2		7	39	0.84
	B4	61	091	28	288	08	194	2.7	8.5	2.1		4	48	0.91
	C1	55	081	31	293	15	194	2.2	3.4	1.4		6	52	0.89
	C2	54	082	32	292	14	193	1.5	2.4	0.9		5	51	0.91
BR09TH158	D1	50	081	38	285	12	186	3.0	6.9	2.1		4	44	0.91
	A1	20	077	67	228	10	343	2.0	3.5	1.3		33	15	0.31
	A2	23	076	65	230	10	342	1.5	2.7	1.0		34	15	0.31
	A3	21	076	66	226	11	341	2.5	4.3	1.6		36	14	0.28
	A4	21	075	66	227	10	341	2.6	4.5	1.7		35	15	0.30
	A5	22	075	64	219	14	339	3.2	5.9	2.1		39	11	0.22
	A6	23	076	62	220	14	340	1.4	2.9	1.0		38	11	0.22
	B1	23	074	64	223	12	339	1.4	2.3	0.9		38	13	0.26

sample	spec	EV directions						95% conf. angles			$K_1 \wedge IL$	$S_0 \wedge K_3$	$S_1 \wedge K_3$	$(S_1 \wedge K_3)_{norm}$
		I1	D1	I2	D2	I3	D3	E 12	E 23	E 13				
BR09TH158	B2	23	075	63	219	14	339	1.7	2.6	1.0		39	11	0.22
	B3	24	076	61	221	15	340	3.0	5.8	2.0		39	10	0.20
	B4	22	075	66	226	11	341	2.9	6.9	2.1		36	14	0.28
	B5	22	078	66	233	09	344	2.2	4.8	1.5		32	16	0.34
	B6	24	077	65	247	04	345	1.5	4.4	1.1		29	22	0.43
	B7	24	078	65	253	02	347	1.6	5.6	1.2		26	24	0.48
BR09TH157	A1	50	093	38	253	10	351	2.4	2.9	1.3		28	18	0.40
	A2	51	090	36	245	12	345	1.8	1.9	0.9		33	14	0.29
	B1	50	097	35	246	16	347	3.5	10.6	2.6		35	11	0.24
	B2	52	093	36	253	10	350	4.1	5.2	2.3		28	18	0.39
	C1	51	098	34	246	16	347	1.8	8.0	1.4		35	11	0.24
	C2	52	093	37	258	08	354	3.4	7.6	2.4		24	22	0.47
	C3	54	096	33	250	12	349	4.4	5.0	2.3		30	16	0.34
	D1	54	094	35	254	10	350	2.5	6.5	1.8		28	18	0.39
	D2	52	095	35	250	12	349	3.4	4.1	1.9		30	16	0.34
	E1	53	104	34	258	13	356	2.8	4.5	1.7		27	19	0.42
	F1	50	103	37	255	14	356	2.3	5.1	1.6		28	19	0.40
	F2	48	106	37	256	15	358	2.9	5.6	1.9		28	20	0.41
BR09TH160	A1	52	106	36	261	12	360	3.2	15.6	2.7		40	23	0.36
	A2	49	104	25	227	30	333	2.5	16.0	2.2		71	8	0.10
	A3	54	101	35	274	03	007	2.1	8.4	1.7		29	34	0.54
	A4	52	101	35	255	13	354	2.9	20.4	2.6		45	18	0.28
	A5	52	107	19	223	31	325	4.9	21.3	4.0		77	15	0.16
	B1	61	098	19	226	21	324	7.8	57.2	7.2		72	15	0.17
	B2	54	104	28	242	20	344	3.2	22.1	2.8		57	6	0.10
	C1	62	095	28	271	02	002	2.8	16.0	2.4		32	31	0.50
	C2	57	101	26	240	19	339	2.5	18.0	2.2		60	6	0.09
BR09TH159	B1	55	098	35	271	03	003	4.7	10.7	3.3		32	31	0.50
	B2	57	095	33	266	04	359	1.4	3.1	1.0		35	28	0.44
	B3	55	100	34	290	04	197	1.8	10.7	1.5		18	46	0.72
	B4	60	103	28	260	10	355	1.9	4.7	1.4		42	21	0.33
	B5	55	101	34	299	09	204	1.1	5.8	0.9		11	55	0.83
	B6	57	104	29	254	14	352	2.5	5.1	1.7		47	16	0.25
	C1	56	101	34	275	03	007	3.0	6.5	2.0		29	34	0.54
	C2	56	101	32	304	11	207	1.0	4.8	0.8		9	58	0.86
	C3	56	101	33	293	06	200	1.8	9.9	1.5		15	50	0.77
	C4	58	102	29	257	11	354	2.7	4.7	1.7		43	19	0.31
	C5	56	101	26	238	20	338	1.4	8.9	1.2		61	5	0.08
BR09TH161	A1	51	085	38	284	09	186	2.5	3.0	1.3		21	4	0.16
	A2	54	083	34	280	08	184	4.1	3.6	1.9		24	3	0.12
	A3	57	085	33	267	01	176	1.9	1.3	0.8		34	10	0.22
	A4	58	087	31	262	02	353	2.3	1.2	0.8		38	14	0.27
	A5	58	085	32	261	02	352	3.4	1.6	1.1		39	15	0.27
	B1	53	093	37	282	04	189	3.2	5.9	2.1		22	4	0.16
	B2	52	095	38	283	04	190	1.9	2.7	1.1		22	5	0.19
	B3	50	091	39	281	05	187	4.3	4.5	2.2		23	2	0.08
	B4	53	091	37	275	02	183	4.8	3.4	2.0		28	4	0.11
	B5	55	092	34	265	03	357	3.9	2.0	1.3		36	11	0.24
BR09TH162	B1	51	105	27	235	25	339	4.4	7.4	2.8		63	7	0.10
	B2	48	106	39	262	12	002	4.1	5.0	2.3		39	24	0.38
	B3	50	103	38	263	10	000	6.0	5.7	2.9		39	24	0.39
	C1	48	099	33	235	23	342	1.8	2.9	1.1		60	7	0.11
	C2	45	100	43	262	09	001	2.3	2.4	1.2		37	26	0.41
BR09TH163	A1	33	088	26	196	47	316	2.2	6.7	1.7		74	29	0.28
	A2	31	090	25	196	49	318	1.2	2.7	0.9		75	30	0.28
	A3	34	096	34	213	37	334	1.6	3.0	1.1		58	13	0.18
	A4	30	089	19	192	53	309	2.5	4.8	1.6		81	36	0.31
	A5	28	092	12	188	60	298	2.8	6.8	2.0		90	45	0.34

sample	spec	EV directions						95% conf. angles			$K_1 \wedge IL$	$S_0 \wedge K_3$	$S_1 \wedge K_3$	$(S_1 \wedge K_3)_{norm}$
		I1	D1	I2	D2	I3	D3	E 12	E 23	E 13				
BR09TH163	A6	37	096	42	229	26	344	1.8	6.5	1.4		44	4	0.08
	A7	43	091	40	310	21	202	2.1	17.1	1.9		16	61	0.79
	B1	40	082	14	183	48	288	1.8	11.2	1.5		88	47	0.35
	B2	34	089	31	204	40	324	1.1	4.5	0.9		66	20	0.23
	B3	32	093	33	206	41	331	1.7	4.2	1.2		62	18	0.22
	B4	34	088	07	353	55	253	2.6	5.4	1.7		67	68	0.51
	B5	24	093	00	183	66	273	2.1	8.4	1.7		78	58	0.43
	B6	31	094	33	206	41	332	1.1	2.7	0.8		62	17	0.22
BR09TH164	A1	33	079	52	228	16	339	1.6	4.8	1.2		40	6	0.12
	A2	33	079	50	221	19	335	1.8	7.7	1.4		45	1	0.02
	B1	30	074	59	234	09	339	2.6	5.6	1.8		36	12	0.24
	B2	32	072	55	229	11	335	1.2	2.8	0.8		41	9	0.18
	C1	29	078	61	251	03	346	3.4	6.9	2.3		27	20	0.42
	C2	32	074	58	248	03	342	2.3	5.0	1.6		31	18	0.37
BR09TH166	A1	60	079	26	288	12	192	3.6	2.6	1.5		4	12	0.74
	A2	58	075	26	294	17	196	2.6	2.3	1.2		2	17	0.88
	A3	59	070	25	291	18	193	2.8	2.8	1.4		4	15	0.81
	A4	60	067	24	284	16	187	3.5	3.6	1.8		8	9	0.54
	A5	60	065	24	286	18	188	2.5	2.2	1.2		7	11	0.60
	B1	51	091	37	297	13	197	2.2	3.2	1.3		3	17	0.86
	B2	53	086	32	302	18	201	2.4	3.8	1.5		6	22	0.77
	B3	57	080	29	293	15	195	2.3	3.4	1.4		0	15	1.00
	B4	58	077	28	289	14	192	2.0	2.6	1.1		3	12	0.80
	B5	58	077	27	292	16	194	4.2	4.7	2.2		1	15	0.91
	C1	49	080	27	314	28	209	2.7	3.3	1.5		18	33	0.64
	C2	54	084	32	293	14	194	5.3	5.2	2.6		1	14	0.91
	C3	54	082	33	289	13	190	3.0	3.4	1.6		5	10	0.66

Appendix 8: Low-field, RT-AMS results

sample	spec	Eigenvalues			Normalized eigenvalues			K _m [SI]	P _J	T
		κ ₁ [SI]	κ ₂ [SI]	κ ₃ [SI]	K ₁	K ₂	K ₃			
Crozon South - outcrop zone CS01										
BR11TH016	A1	3.40E-04	3.28E-04	3.11E-04	1.04	1.01	0.95	3.27E-04	1.09	0.23
	A2	3.43E-04	3.31E-04	3.16E-04	1.04	1.00	0.96	3.30E-04	1.09	0.13
	A3	3.48E-04	3.35E-04	3.18E-04	1.04	1.00	0.95	3.34E-04	1.09	0.16
	A4	3.45E-04	3.33E-04	3.18E-04	1.04	1.00	0.96	3.32E-04	1.09	0.17
	B1	3.54E-04	3.42E-04	3.25E-04	1.04	1.00	0.95	3.40E-04	1.09	0.17
	B2	3.57E-04	3.45E-04	3.28E-04	1.04	1.01	0.95	3.44E-04	1.09	0.21
	B3	3.49E-04	3.38E-04	3.22E-04	1.04	1.01	0.96	3.36E-04	1.08	0.24
	B4	3.33E-04	3.23E-04	3.07E-04	1.04	1.01	0.96	3.21E-04	1.09	0.21
BR11TH017	A1	3.94E-04	3.85E-04	3.63E-04	1.04	1.01	0.95	3.81E-04	1.09	0.44
	A2	3.84E-04	3.77E-04	3.54E-04	1.03	1.01	0.95	3.72E-04	1.09	0.53
	A3	3.71E-04	3.62E-04	3.39E-04	1.04	1.01	0.95	3.57E-04	1.10	0.47
	B1	3.89E-04	3.81E-04	3.58E-04	1.03	1.01	0.95	3.76E-04	1.09	0.52
	B2	3.82E-04	3.75E-04	3.52E-04	1.03	1.02	0.95	3.70E-04	1.09	0.58
BR11TH038	A1	2.32E-04	2.30E-04	2.27E-04	1.01	1.00	0.99	2.30E-04	1.02	0.09
	A2	2.50E-04	2.49E-04	2.45E-04	1.01	1.00	0.99	2.48E-04	1.02	0.47
	A3	2.49E-04	2.47E-04	2.44E-04	1.01	1.00	0.99	2.47E-04	1.02	0.16
	A4	2.30E-04	2.28E-04	2.25E-04	1.01	1.00	0.99	2.28E-04	1.02	0.17
	A5	2.03E-04	2.01E-04	1.98E-04	1.01	1.00	0.99	2.01E-04	1.02	0.31
	B1	2.79E-04	2.76E-04	2.72E-04	1.01	1.00	0.99	2.76E-04	1.03	0.27
BR11TH014	A1	3.04E-04	3.02E-04	2.83E-04	1.03	1.02	0.95	2.97E-04	1.08	0.80
	A2	3.08E-04	3.05E-04	2.86E-04	1.03	1.02	0.95	3.00E-04	1.08	0.76
	A3	3.03E-04	3.01E-04	2.81E-04	1.03	1.02	0.95	2.95E-04	1.08	0.82
	A5	3.04E-04	3.02E-04	2.84E-04	1.03	1.02	0.96	2.97E-04	1.08	0.77
	A5	3.02E-04	2.99E-04	2.79E-04	1.03	1.02	0.95	2.93E-04	1.09	0.74
	A6	3.03E-04	2.99E-04	2.80E-04	1.03	1.02	0.95	2.94E-04	1.09	0.70
	B1	3.22E-04	3.19E-04	2.98E-04	1.03	1.02	0.95	3.13E-04	1.09	0.74
	B2	3.12E-04	3.09E-04	2.89E-04	1.03	1.02	0.95	3.03E-04	1.09	0.81
	B3	3.19E-04	3.17E-04	2.97E-04	1.03	1.02	0.95	3.11E-04	1.08	0.84
	B4	3.19E-04	3.14E-04	2.95E-04	1.03	1.02	0.95	3.09E-04	1.09	0.67
	B5	3.11E-04	3.08E-04	2.87E-04	1.03	1.02	0.95	3.02E-04	1.09	0.70
	B6	3.16E-04	3.12E-04	2.90E-04	1.03	1.02	0.95	3.06E-04	1.10	0.66
BR11TH015	A1	2.75E-04	2.67E-04	2.59E-04	1.03	1.00	0.97	2.67E-04	1.06	0.06
	A2	2.73E-04	2.64E-04	2.58E-04	1.03	1.00	0.97	2.65E-04	1.06	-0.10
	A3	2.59E-04	2.51E-04	2.45E-04	1.03	1.00	0.97	2.52E-04	1.06	-0.06
	A4	2.72E-04	2.63E-04	2.56E-04	1.03	1.00	0.97	2.64E-04	1.06	-0.10
	B1	2.64E-04	2.56E-04	2.50E-04	1.03	1.00	0.97	2.57E-04	1.06	-0.08
	B2	2.62E-04	2.54E-04	2.47E-04	1.03	1.00	0.97	2.55E-04	1.06	0.01
	C1	2.58E-04	2.51E-04	2.43E-04	1.03	1.00	0.97	2.51E-04	1.06	0.02
	D1	2.69E-04	2.60E-04	2.53E-04	1.03	1.00	0.97	2.61E-04	1.06	-0.14
	D2	2.69E-04	2.61E-04	2.54E-04	1.03	1.00	0.97	2.61E-04	1.06	-0.12
	E1	2.77E-04	2.67E-04	2.61E-04	1.03	1.00	0.97	2.68E-04	1.06	-0.20
	E2	2.70E-04	2.62E-04	2.55E-04	1.03	1.00	0.97	2.62E-04	1.06	-0.11
	E3	2.70E-04	2.61E-04	2.54E-04	1.03	1.00	0.97	2.62E-04	1.06	-0.09
	BR11TH011	A1	3.06E-04	3.01E-04	2.83E-04	1.03	1.01	0.95	2.97E-04	1.09
A2		3.05E-04	3.00E-04	2.82E-04	1.03	1.02	0.95	2.95E-04	1.09	0.60
A3		3.07E-04	3.02E-04	2.84E-04	1.03	1.02	0.95	2.98E-04	1.09	0.65
A4		3.12E-04	3.05E-04	2.87E-04	1.04	1.01	0.95	3.01E-04	1.09	0.46
B1		3.03E-04	2.98E-04	2.81E-04	1.03	1.01	0.96	2.94E-04	1.08	0.56
B2		3.06E-04	3.00E-04	2.82E-04	1.03	1.01	0.95	2.96E-04	1.09	0.54
B3		2.93E-04	2.88E-04	2.70E-04	1.03	1.02	0.95	2.84E-04	1.09	0.59
B4		2.88E-04	2.83E-04	2.66E-04	1.03	1.01	0.95	2.79E-04	1.09	0.54
B5		2.93E-04	2.88E-04	2.70E-04	1.03	1.02	0.95	2.84E-04	1.09	0.59
BR11TH012	A1	2.99E-04	2.95E-04	2.77E-04	1.03	1.02	0.95	2.90E-04	1.09	0.64
	A2	3.00E-04	2.96E-04	2.78E-04	1.03	1.02	0.95	2.92E-04	1.08	0.64
	A3	3.12E-04	3.09E-04	2.89E-04	1.03	1.02	0.95	3.03E-04	1.09	0.72
	A4	3.13E-04	3.08E-04	2.89E-04	1.03	1.02	0.95	3.03E-04	1.09	0.62
	A5	3.26E-04	3.23E-04	3.03E-04	1.03	1.02	0.96	3.17E-04	1.08	0.69

sample	spec	Eigenvalues			Normalized eigenvalues			K_m [SI]	P_J	T
		κ_1 [SI]	κ_2 [SI]	κ_3 [SI]	K_1	K_2	K_3			
BR11TH012	B1	2.99E-04	2.96E-04	2.78E-04	1.03	1.02	0.95	2.91E-04	1.09	0.72
	B2	3.13E-04	3.08E-04	2.89E-04	1.03	1.02	0.95	3.03E-04	1.09	0.62
	B3	3.09E-04	3.05E-04	2.87E-04	1.03	1.02	0.96	3.00E-04	1.08	0.65
	B4	3.10E-04	3.04E-04	2.87E-04	1.03	1.01	0.95	3.00E-04	1.09	0.46
	B5	3.38E-04	3.33E-04	3.14E-04	1.03	1.02	0.96	3.28E-04	1.08	0.66
	B6	3.09E-04	3.06E-04	2.88E-04	1.03	1.02	0.96	3.01E-04	1.08	0.74
BR11TH013	A1	3.12E-04	3.09E-04	2.89E-04	1.03	1.02	0.95	3.03E-04	1.09	0.81
	A2	3.14E-04	3.11E-04	2.89E-04	1.03	1.02	0.95	3.05E-04	1.09	0.79
	A3	3.15E-04	3.13E-04	2.92E-04	1.03	1.02	0.95	3.07E-04	1.09	0.84
	A4	3.18E-04	3.16E-04	2.95E-04	1.03	1.02	0.95	3.10E-04	1.09	0.78
	A5	3.27E-04	3.24E-04	3.02E-04	1.03	1.02	0.95	3.18E-04	1.09	0.79
	A6	3.10E-04	3.07E-04	2.87E-04	1.03	1.02	0.95	3.01E-04	1.09	0.79
	B1	3.02E-04	3.00E-04	2.81E-04	1.03	1.02	0.95	2.94E-04	1.08	0.77
	B2	3.09E-04	3.08E-04	2.87E-04	1.03	1.02	0.95	3.02E-04	1.09	0.91
	B3	3.06E-04	3.04E-04	2.84E-04	1.03	1.02	0.95	2.98E-04	1.09	0.85
	B4	3.03E-04	3.00E-04	2.81E-04	1.03	1.02	0.95	2.95E-04	1.09	0.79
	B5	3.02E-04	2.99E-04	2.79E-04	1.03	1.02	0.95	2.93E-04	1.09	0.79
	B6	3.01E-04	2.98E-04	2.78E-04	1.03	1.02	0.95	2.93E-04	1.09	0.80
BR11TH018	A1	3.14E-04	3.09E-04	2.92E-04	1.03	1.01	0.96	3.05E-04	1.08	0.54
	A2	3.16E-04	3.10E-04	2.94E-04	1.03	1.01	0.96	3.07E-04	1.08	0.43
	A3	3.20E-04	3.16E-04	2.98E-04	1.03	1.02	0.96	3.11E-04	1.08	0.67
	A4	3.19E-04	3.14E-04	2.95E-04	1.03	1.01	0.95	3.09E-04	1.08	0.58
	A5	3.11E-04	3.06E-04	2.89E-04	1.03	1.01	0.96	3.02E-04	1.08	0.54
	B1	3.14E-04	3.09E-04	2.91E-04	1.03	1.01	0.96	3.05E-04	1.08	0.58
	B2	3.09E-04	3.06E-04	2.88E-04	1.03	1.02	0.96	3.01E-04	1.08	0.67
	B3	3.14E-04	3.08E-04	2.92E-04	1.03	1.01	0.96	3.05E-04	1.08	0.51
	B4	3.15E-04	3.11E-04	2.93E-04	1.03	1.01	0.96	3.07E-04	1.08	0.64
	B5	3.24E-04	3.18E-04	3.00E-04	1.03	1.01	0.95	3.14E-04	1.09	0.49
BR11TH019	A1	3.21E-04	3.16E-04	3.06E-04	1.02	1.00	0.97	3.14E-04	1.05	0.33
	A2	3.34E-04	3.28E-04	3.18E-04	1.02	1.00	0.97	3.27E-04	1.05	0.25
	A3	3.17E-04	3.11E-04	3.02E-04	1.02	1.00	0.97	3.10E-04	1.05	0.26
	A4	3.15E-04	3.09E-04	2.99E-04	1.02	1.00	0.97	3.08E-04	1.05	0.28
	B1	3.23E-04	3.17E-04	3.06E-04	1.02	1.01	0.97	3.16E-04	1.06	0.29
	B2	3.21E-04	3.16E-04	3.05E-04	1.02	1.00	0.97	3.14E-04	1.05	0.29
	B3	3.25E-04	3.19E-04	3.08E-04	1.02	1.01	0.97	3.17E-04	1.06	0.35
	B4	3.27E-04	3.20E-04	3.09E-04	1.03	1.00	0.97	3.19E-04	1.06	0.25
	C1	3.24E-04	3.19E-04	3.07E-04	1.02	1.01	0.97	3.17E-04	1.05	0.37
	C2	3.13E-04	3.08E-04	2.98E-04	1.02	1.01	0.97	3.07E-04	1.05	0.32
	C3	3.27E-04	3.19E-04	3.09E-04	1.03	1.00	0.97	3.19E-04	1.06	0.11
	C4	3.24E-04	3.18E-04	3.08E-04	1.02	1.00	0.97	3.17E-04	1.06	0.25
Crozon South - Outcrop zone CS02										
BR11TH023	A1	4.09E-04	4.04E-04	3.72E-04	1.04	1.02	0.94	3.95E-04	1.11	0.72
	A2	4.16E-04	4.11E-04	3.78E-04	1.04	1.02	0.94	4.02E-04	1.11	0.77
	B1	4.01E-04	3.96E-04	3.62E-04	1.04	1.02	0.94	3.87E-04	1.12	0.72
	B2	4.06E-04	4.01E-04	3.68E-04	1.04	1.02	0.94	3.92E-04	1.11	0.73
	B3	3.97E-04	3.91E-04	3.60E-04	1.04	1.02	0.94	3.83E-04	1.11	0.72
	C1	3.92E-04	3.86E-04	3.54E-04	1.04	1.02	0.94	3.77E-04	1.11	0.70
	C2	4.10E-04	4.03E-04	3.69E-04	1.04	1.02	0.94	3.94E-04	1.12	0.68
	C3	4.14E-04	4.09E-04	3.74E-04	1.04	1.02	0.94	3.99E-04	1.12	0.72
BR11TH020	A1	4.28E-04	4.23E-04	3.94E-04	1.03	1.02	0.95	4.15E-04	1.09	0.72
	B1	4.41E-04	4.37E-04	4.06E-04	1.03	1.02	0.95	4.28E-04	1.09	0.75
	B2	4.45E-04	4.41E-04	4.10E-04	1.03	1.02	0.95	4.32E-04	1.09	0.76
	B3	4.57E-04	4.52E-04	4.20E-04	1.03	1.02	0.95	4.43E-04	1.10	0.73
	C1	4.50E-04	4.44E-04	4.16E-04	1.03	1.02	0.95	4.37E-04	1.09	0.67
	C2	4.34E-04	4.29E-04	4.02E-04	1.03	1.02	0.95	4.22E-04	1.09	0.72
	C3	4.36E-04	4.30E-04	4.01E-04	1.03	1.02	0.95	4.22E-04	1.09	0.69
	D1	4.09E-04	4.05E-04	3.75E-04	1.03	1.02	0.95	3.96E-04	1.10	0.73
	E1	4.40E-04	4.33E-04	4.03E-04	1.03	1.02	0.95	4.26E-04	1.10	0.65

sample	spec	Eigenvalues			Normalized eigenvalues			K_m [SI]	P_J	T
		κ_1 [SI]	κ_2 [SI]	κ_3 [SI]	K_1	K_2	K_3			
BR11 TH024	E2	4.40E-04	4.34E-04	4.05E-04	1.03	1.02	0.95	4.26E-04	1.09	0.69
	E3	4.37E-04	4.31E-04	4.02E-04	1.03	1.02	0.95	4.23E-04	1.09	0.70
	A1	3.40E-04	3.36E-04	3.14E-04	1.03	1.02	0.95	3.30E-04	1.09	0.76
	B1	3.44E-04	3.41E-04	3.18E-04	1.03	1.02	0.95	3.34E-04	1.09	0.75
	B2	3.48E-04	3.45E-04	3.22E-04	1.03	1.02	0.95	3.38E-04	1.09	0.77
	B3	3.36E-04	3.34E-04	3.11E-04	1.03	1.02	0.95	3.27E-04	1.09	0.82
BR11TH036	A1	4.67E-04	4.60E-04	4.13E-04	1.05	1.03	0.92	4.47E-04	1.14	0.75
	A2	4.73E-04	4.68E-04	4.17E-04	1.05	1.03	0.92	4.53E-04	1.15	0.81
	B1	4.49E-04	4.42E-04	3.92E-04	1.05	1.03	0.92	4.28E-04	1.16	0.77
	B2	4.72E-04	4.67E-04	4.15E-04	1.05	1.03	0.92	4.52E-04	1.15	0.82
	B3	4.61E-04	4.54E-04	4.04E-04	1.05	1.03	0.92	4.40E-04	1.16	0.79
	C1	4.79E-04	4.72E-04	4.22E-04	1.05	1.03	0.92	4.58E-04	1.15	0.76
BR11TH025	C2	4.70E-04	4.65E-04	4.16E-04	1.04	1.03	0.92	4.50E-04	1.15	0.81
	A1	3.62E-04	3.54E-04	3.35E-04	1.03	1.01	0.96	3.50E-04	1.08	0.47
	A2	3.48E-04	3.42E-04	3.26E-04	1.03	1.01	0.96	3.39E-04	1.07	0.49
	A3	3.47E-04	3.39E-04	3.21E-04	1.03	1.01	0.96	3.36E-04	1.08	0.43
	A4	3.09E-04	3.04E-04	2.87E-04	1.03	1.01	0.96	3.00E-04	1.08	0.55
	B1	3.59E-04	3.51E-04	3.34E-04	1.03	1.01	0.96	3.48E-04	1.08	0.40
BR11 TH040	B2	3.45E-04	3.40E-04	3.25E-04	1.03	1.01	0.97	3.37E-04	1.06	0.47
	A1	5.54E-04	5.47E-04	4.99E-04	1.04	1.02	0.94	5.33E-04	1.12	0.73
	A2	5.86E-04	5.78E-04	5.29E-04	1.04	1.02	0.94	5.65E-04	1.12	0.75
	A3	5.80E-04	5.74E-04	5.24E-04	1.04	1.03	0.94	5.59E-04	1.12	0.78
	B1	5.87E-04	5.79E-04	5.30E-04	1.04	1.02	0.94	5.65E-04	1.12	0.75
	A1	4.71E-04	4.67E-04	4.34E-04	1.03	1.02	0.95	4.57E-04	1.10	0.82
BR11TH035	A2	4.83E-04	4.77E-04	4.46E-04	1.03	1.02	0.95	4.69E-04	1.09	0.72
	A3	4.86E-04	4.81E-04	4.49E-04	1.03	1.02	0.95	4.72E-04	1.09	0.75
	A3	4.82E-04	4.77E-04	4.46E-04	1.03	1.02	0.95	4.68E-04	1.09	0.73
	B1	4.91E-04	4.87E-04	4.54E-04	1.03	1.02	0.95	4.77E-04	1.09	0.77
	B2	4.88E-04	4.84E-04	4.53E-04	1.03	1.02	0.95	4.75E-04	1.09	0.75
	B3	4.98E-04	4.93E-04	4.64E-04	1.03	1.02	0.96	4.85E-04	1.08	0.72
	B4	5.01E-04	4.95E-04	4.66E-04	1.03	1.02	0.96	4.87E-04	1.08	0.69
	C1	4.71E-04	4.67E-04	4.38E-04	1.03	1.02	0.96	4.59E-04	1.08	0.73
	C2	4.88E-04	4.83E-04	4.52E-04	1.03	1.02	0.95	4.75E-04	1.09	0.73
	C3	4.87E-04	4.82E-04	4.53E-04	1.03	1.02	0.96	4.74E-04	1.08	0.74
	C4	4.91E-04	4.86E-04	4.56E-04	1.03	1.02	0.96	4.78E-04	1.08	0.74
	A1	4.37E-04	4.26E-04	4.14E-04	1.03	1.00	0.97	4.26E-04	1.05	0.03
	A2	4.29E-04	4.14E-04	4.06E-04	1.03	0.99	0.98	4.16E-04	1.06	-0.30
	B1	4.30E-04	4.16E-04	4.09E-04	1.03	1.00	0.98	4.18E-04	1.05	-0.26
BR11TH026	B2	4.26E-04	4.14E-04	4.05E-04	1.03	1.00	0.98	4.15E-04	1.05	-0.17
	C1	4.29E-04	4.16E-04	4.08E-04	1.03	1.00	0.98	4.18E-04	1.05	-0.24
	C2	4.21E-04	4.06E-04	3.99E-04	1.03	0.99	0.98	4.09E-04	1.05	-0.31
	D1	4.31E-04	4.18E-04	4.09E-04	1.03	1.00	0.98	4.20E-04	1.05	-0.13
	E1	4.43E-04	4.30E-04	4.21E-04	1.03	1.00	0.98	4.31E-04	1.05	-0.13
	E2	4.43E-04	4.29E-04	4.19E-04	1.03	1.00	0.97	4.31E-04	1.06	-0.14
	E3	4.41E-04	4.28E-04	4.18E-04	1.03	1.00	0.97	4.29E-04	1.05	-0.10
	E4	4.33E-04	4.20E-04	4.11E-04	1.03	1.00	0.98	4.21E-04	1.05	-0.14
	E5	4.25E-04	4.13E-04	4.04E-04	1.03	1.00	0.98	4.14E-04	1.05	-0.14
	A1	4.99E-04	4.84E-04	4.57E-04	1.04	1.01	0.95	4.80E-04	1.09	0.33
BR11TH034	B1	5.33E-04	5.18E-04	4.91E-04	1.04	1.01	0.96	5.14E-04	1.09	0.31
	B2	5.19E-04	5.05E-04	4.80E-04	1.04	1.01	0.96	5.01E-04	1.08	0.32
	C1	5.35E-04	5.21E-04	4.93E-04	1.04	1.01	0.95	5.16E-04	1.09	0.34
	C2	5.22E-04	5.08E-04	4.81E-04	1.04	1.01	0.95	5.04E-04	1.09	0.32
	C3	5.10E-04	4.98E-04	4.72E-04	1.03	1.01	0.96	4.93E-04	1.08	0.40
BR11TH033	A1	4.20E-04	4.07E-04	4.03E-04	1.02	0.99	0.98	4.10E-04	1.05	-0.45
	B1	4.09E-04	3.96E-04	3.92E-04	1.03	0.99	0.98	3.99E-04	1.05	-0.55
	B2	4.06E-04	3.93E-04	3.89E-04	1.02	0.99	0.98	3.96E-04	1.04	-0.53
	C1	4.01E-04	3.88E-04	3.83E-04	1.03	0.99	0.98	3.91E-04	1.05	-0.45
	C2	4.12E-04	3.99E-04	3.95E-04	1.03	0.99	0.98	4.02E-04	1.05	-0.53

sample	spec	Eigenvalues			Normalized eigenvalues			K_m [SI]	P_J	T
		κ_1 [SI]	κ_2 [SI]	κ_3 [SI]	K_1	K_2	K_3			
BR11 TH033	C3	3.89E-04	3.76E-04	3.75E-04	1.03	0.99	0.99	3.80E-04	1.04	-0.87
	D1	3.81E-04	3.69E-04	3.65E-04	1.03	0.99	0.98	3.72E-04	1.05	-0.41
	D2	3.98E-04	3.86E-04	3.82E-04	1.02	0.99	0.98	3.89E-04	1.04	-0.58
	D3	4.11E-04	3.97E-04	3.93E-04	1.03	0.99	0.98	4.00E-04	1.05	-0.54
BR11TH039	A1	4.57E-04	4.45E-04	4.16E-04	1.04	1.01	0.95	4.39E-04	1.10	0.47
	A2	4.57E-04	4.44E-04	4.16E-04	1.04	1.01	0.95	4.39E-04	1.10	0.40
	A3	4.52E-04	4.41E-04	4.13E-04	1.04	1.01	0.95	4.35E-04	1.10	0.42
	A4	4.43E-04	4.32E-04	4.05E-04	1.04	1.01	0.95	4.27E-04	1.10	0.43
	B1	4.57E-04	4.45E-04	4.17E-04	1.04	1.01	0.95	4.40E-04	1.10	0.40
	B2	4.54E-04	4.42E-04	4.14E-04	1.04	1.01	0.95	4.37E-04	1.10	0.41
	B3	4.54E-04	4.41E-04	4.13E-04	1.04	1.01	0.95	4.36E-04	1.10	0.39
	C1	4.34E-04	4.23E-04	3.97E-04	1.04	1.01	0.95	4.18E-04	1.10	0.44
	C2	4.31E-04	4.20E-04	3.94E-04	1.04	1.01	0.95	4.15E-04	1.10	0.43
	C3	4.34E-04	4.24E-04	3.96E-04	1.04	1.01	0.95	4.18E-04	1.10	0.49
BR11TH031	A1	6.99E-04	6.89E-04	6.25E-04	1.04	1.03	0.93	6.71E-04	1.13	0.74
	A2	6.37E-04	6.28E-04	5.77E-04	1.04	1.02	0.94	6.14E-04	1.11	0.70
	B1	6.23E-04	6.11E-04	5.65E-04	1.04	1.02	0.94	6.00E-04	1.11	0.60
	B2	5.98E-04	5.88E-04	5.42E-04	1.04	1.02	0.94	5.76E-04	1.11	0.66
	B3	6.02E-04	5.94E-04	5.42E-04	1.04	1.03	0.94	5.79E-04	1.12	0.73
BR11TH032	A1	4.92E-04	4.89E-04	4.52E-04	1.03	1.02	0.95	4.78E-04	1.10	0.85
	A2	5.17E-04	5.17E-04	4.78E-04	1.03	1.02	0.95	5.04E-04	1.09	0.97
	A3	4.85E-04	4.83E-04	4.50E-04	1.03	1.02	0.95	4.73E-04	1.09	0.88
	A4	4.83E-04	4.80E-04	4.46E-04	1.03	1.02	0.95	4.70E-04	1.09	0.86
	A5	4.58E-04	4.54E-04	4.21E-04	1.03	1.02	0.95	4.45E-04	1.10	0.79
	A6	4.60E-04	4.56E-04	4.22E-04	1.03	1.02	0.95	4.46E-04	1.10	0.78
	A7	4.59E-04	4.55E-04	4.22E-04	1.03	1.02	0.95	4.46E-04	1.10	0.78
	B1	5.15E-04	5.11E-04	4.76E-04	1.03	1.02	0.95	5.01E-04	1.09	0.82
	B2	5.13E-04	5.11E-04	4.74E-04	1.03	1.02	0.95	5.00E-04	1.09	0.89
	B3	4.88E-04	4.87E-04	4.51E-04	1.03	1.02	0.95	4.75E-04	1.09	0.90
	B4	4.47E-04	4.43E-04	4.13E-04	1.03	1.02	0.95	4.35E-04	1.09	0.76
	B5	4.45E-04	4.40E-04	4.09E-04	1.03	1.02	0.95	4.31E-04	1.10	0.73
BR11TH041	C1	5.12E-04	5.01E-04	4.47E-04	1.05	1.03	0.92	4.87E-04	1.16	0.68
	C2	5.36E-04	5.24E-04	4.61E-04	1.06	1.03	0.91	5.07E-04	1.18	0.70
	D1	5.24E-04	5.12E-04	4.53E-04	1.06	1.03	0.91	4.96E-04	1.17	0.68
	D2	5.27E-04	5.16E-04	4.56E-04	1.06	1.03	0.91	5.00E-04	1.17	0.69
	E1	6.48E-04	6.34E-04	5.62E-04	1.05	1.03	0.91	6.14E-04	1.17	0.69
BR11TH027	A1	1.55E-04	1.52E-04	1.48E-04	1.02	1.00	0.97	1.52E-04	1.05	0.24
	B1	1.43E-04	1.41E-04	1.36E-04	1.02	1.01	0.97	1.40E-04	1.06	0.37
	B2	1.54E-04	1.51E-04	1.46E-04	1.02	1.01	0.97	1.50E-04	1.05	0.33
	C1	1.36E-04	1.34E-04	1.30E-04	1.02	1.00	0.97	1.33E-04	1.05	0.32
	C2	1.42E-04	1.40E-04	1.36E-04	1.02	1.01	0.97	1.40E-04	1.05	0.37
BR11TH030	A1	2.81E-04	2.73E-04	2.58E-04	1.04	1.01	0.95	2.70E-04	1.09	0.34
	A2	2.83E-04	2.74E-04	2.59E-04	1.04	1.01	0.95	2.72E-04	1.09	0.26
	A3	2.79E-04	2.70E-04	2.56E-04	1.04	1.01	0.95	2.68E-04	1.09	0.29
	A4	2.68E-04	2.60E-04	2.45E-04	1.04	1.01	0.95	2.58E-04	1.09	0.32
	B1	2.98E-04	2.89E-04	2.73E-04	1.04	1.01	0.95	2.87E-04	1.09	0.32
	B2	3.00E-04	2.92E-04	2.76E-04	1.04	1.01	0.95	2.89E-04	1.09	0.37
	B3	2.97E-04	2.89E-04	2.73E-04	1.04	1.01	0.95	2.87E-04	1.09	0.38
	C1	3.00E-04	2.92E-04	2.75E-04	1.04	1.01	0.95	2.89E-04	1.09	0.36
	C2	2.95E-04	2.87E-04	2.70E-04	1.04	1.01	0.95	2.84E-04	1.09	0.39
BR11TH021	A1	4.21E-04	4.11E-04	3.94E-04	1.03	1.01	0.96	4.09E-04	1.07	0.32
	B1	4.37E-04	4.27E-04	4.09E-04	1.03	1.01	0.96	4.24E-04	1.07	0.31
	B2	4.39E-04	4.30E-04	4.10E-04	1.03	1.01	0.96	4.26E-04	1.07	0.37
	C1	4.25E-04	4.14E-04	3.96E-04	1.03	1.01	0.96	4.12E-04	1.07	0.27
	C2	4.28E-04	4.17E-04	3.98E-04	1.03	1.01	0.96	4.14E-04	1.08	0.28
	D1	4.13E-04	4.04E-04	3.84E-04	1.03	1.01	0.96	4.00E-04	1.08	0.34
	D2	4.40E-04	4.29E-04	4.08E-04	1.03	1.01	0.96	4.26E-04	1.08	0.32
	A1	3.37E-04	3.24E-04	3.03E-04	1.05	1.01	0.94	3.21E-04	1.12	0.23

sample	spec	Eigenvalues			Normalized eigenvalues			K_m [SI]	P_J	T
		κ_1 [SI]	κ_2 [SI]	κ_3 [SI]	K_1	K_2	K_3			
BR11 TH006	A2	3.39E-04	3.25E-04	3.02E-04	1.05	1.01	0.94	3.22E-04	1.12	0.26
	B1	3.72E-04	3.61E-04	3.37E-04	1.04	1.01	0.94	3.57E-04	1.11	0.42
	B2	3.69E-04	3.61E-04	3.36E-04	1.04	1.02	0.95	3.55E-04	1.10	0.53
	B3	3.65E-04	3.56E-04	3.31E-04	1.04	1.01	0.94	3.51E-04	1.11	0.48
BR11TH007	A1	3.41E-04	3.31E-04	3.08E-04	1.04	1.01	0.94	3.27E-04	1.11	0.41
	A2	3.46E-04	3.37E-04	3.12E-04	1.04	1.02	0.94	3.32E-04	1.11	0.50
	A3	3.57E-04	3.47E-04	3.22E-04	1.04	1.02	0.94	3.42E-04	1.11	0.48
	A4	3.69E-04	3.61E-04	3.34E-04	1.04	1.02	0.94	3.55E-04	1.11	0.53
	B1	3.33E-04	3.24E-04	3.01E-04	1.04	1.01	0.94	3.19E-04	1.11	0.46
	B2	3.58E-04	3.49E-04	3.24E-04	1.04	1.02	0.94	3.43E-04	1.11	0.52
	B3	3.60E-04	3.52E-04	3.26E-04	1.04	1.02	0.94	3.46E-04	1.11	0.52
	B4	3.70E-04	3.63E-04	3.34E-04	1.04	1.02	0.94	3.56E-04	1.11	0.59
	B5	3.67E-04	3.59E-04	3.31E-04	1.04	1.02	0.94	3.52E-04	1.11	0.54
BR11TH008	A1	3.72E-04	3.66E-04	3.38E-04	1.04	1.02	0.94	3.59E-04	1.11	0.65
	A2	3.39E-04	3.34E-04	3.07E-04	1.04	1.02	0.94	3.27E-04	1.12	0.72
	A3	3.20E-04	3.12E-04	2.89E-04	1.04	1.02	0.94	3.07E-04	1.11	0.52
	B1	3.94E-04	3.87E-04	3.62E-04	1.03	1.02	0.95	3.81E-04	1.09	0.57
	B2	3.78E-04	3.70E-04	3.45E-04	1.04	1.02	0.95	3.64E-04	1.10	0.54
	B3	3.73E-04	3.67E-04	3.39E-04	1.04	1.02	0.94	3.60E-04	1.11	0.66
	C1	3.90E-04	3.84E-04	3.59E-04	1.03	1.02	0.95	3.77E-04	1.09	0.60
	C2	3.84E-04	3.77E-04	3.52E-04	1.04	1.02	0.95	3.71E-04	1.10	0.55
	C3	3.94E-04	3.86E-04	3.62E-04	1.04	1.01	0.95	3.80E-04	1.09	0.52
	C4	4.00E-04	3.91E-04	3.66E-04	1.04	1.01	0.95	3.85E-04	1.10	0.51
	D1	4.01E-04	3.92E-04	3.67E-04	1.04	1.01	0.95	3.87E-04	1.09	0.51
	D2	4.03E-04	3.95E-04	3.70E-04	1.04	1.01	0.95	3.89E-04	1.09	0.49
BR11TH010	A1	3.82E-04	3.73E-04	3.48E-04	1.04	1.01	0.95	3.68E-04	1.10	0.50
	A2	3.95E-04	3.87E-04	3.58E-04	1.04	1.02	0.94	3.80E-04	1.11	0.59
	A3	4.42E-04	4.31E-04	3.97E-04	1.04	1.02	0.94	4.23E-04	1.12	0.55
	A4	4.53E-04	4.40E-04	4.06E-04	1.05	1.02	0.94	4.33E-04	1.12	0.48
	B1	4.30E-04	4.22E-04	3.82E-04	1.05	1.03	0.93	4.11E-04	1.13	0.67
	B2	4.36E-04	4.25E-04	3.94E-04	1.04	1.02	0.94	4.18E-04	1.11	0.50
	B3	4.28E-04	4.18E-04	3.86E-04	1.04	1.02	0.94	4.11E-04	1.11	0.52
	B4	4.40E-04	4.29E-04	3.94E-04	1.04	1.02	0.94	4.21E-04	1.12	0.57
	C1	4.41E-04	4.33E-04	3.97E-04	1.04	1.02	0.94	4.24E-04	1.12	0.66
	C2	4.28E-04	4.18E-04	3.85E-04	1.04	1.02	0.94	4.10E-04	1.12	0.59
	C3	4.29E-04	4.17E-04	3.85E-04	1.05	1.02	0.94	4.10E-04	1.12	0.50
	C4	4.05E-04	3.98E-04	3.62E-04	1.04	1.03	0.93	3.89E-04	1.13	0.70
BR11 TH028	A1	4.02E-04	3.96E-04	3.78E-04	1.03	1.01	0.96	3.92E-04	1.07	0.47
	A2	4.10E-04	4.04E-04	3.85E-04	1.03	1.01	0.96	3.99E-04	1.07	0.51
	A3	4.02E-04	3.94E-04	3.75E-04	1.03	1.01	0.96	3.90E-04	1.07	0.44
	B1	3.97E-04	3.93E-04	3.72E-04	1.02	1.01	0.96	3.88E-04	1.07	0.69
BR11TH029	A1	3.60E-04	3.56E-04	3.39E-04	1.02	1.01	0.96	3.52E-04	1.07	0.57
	A2	3.84E-04	3.79E-04	3.60E-04	1.03	1.01	0.96	3.74E-04	1.07	0.62
	B1	3.62E-04	3.58E-04	3.40E-04	1.02	1.01	0.96	3.54E-04	1.07	0.66
	B2	3.93E-04	3.87E-04	3.69E-04	1.03	1.01	0.96	3.83E-04	1.07	0.50
	B3	3.87E-04	3.84E-04	3.66E-04	1.02	1.01	0.97	3.79E-04	1.06	0.67
	B4	4.06E-04	4.01E-04	3.81E-04	1.03	1.01	0.96	3.96E-04	1.07	0.58
	C1	3.82E-04	3.78E-04	3.60E-04	1.02	1.01	0.96	3.73E-04	1.07	0.70
	C2	3.92E-04	3.89E-04	3.71E-04	1.02	1.01	0.97	3.84E-04	1.06	0.71
	C3	3.99E-04	3.94E-04	3.75E-04	1.03	1.01	0.96	3.89E-04	1.07	0.59
	C4	4.12E-04	4.10E-04	3.90E-04	1.02	1.01	0.97	4.04E-04	1.06	0.77
BR11TH083	A1	3.27E-04	3.20E-04	2.95E-04	1.04	1.02	0.94	3.14E-04	1.11	0.60
	A2	3.44E-04	3.38E-04	3.12E-04	1.04	1.02	0.94	3.31E-04	1.11	0.66
	A3	3.39E-04	3.33E-04	3.07E-04	1.04	1.02	0.94	3.26E-04	1.11	0.68
	A4	3.26E-04	3.20E-04	2.95E-04	1.04	1.02	0.94	3.14E-04	1.11	0.61
	B1	3.25E-04	3.18E-04	2.93E-04	1.04	1.02	0.94	3.12E-04	1.12	0.59
	B2	3.31E-04	3.25E-04	2.99E-04	1.04	1.02	0.94	3.18E-04	1.11	0.66
	B3	3.24E-04	3.19E-04	2.93E-04	1.04	1.02	0.94	3.12E-04	1.12	0.66

sample	spec	Eigenvalues			Normalized eigenvalues			K _m [SI]	P _J	T
		κ ₁ [SI]	κ ₂ [SI]	κ ₃ [SI]	K ₁	K ₂	K ₃			
BR11TH083	B4	3.29E-04	3.24E-04	2.98E-04	1.04	1.02	0.94	3.17E-04	1.11	0.65
	C1	3.33E-04	3.26E-04	3.00E-04	1.04	1.02	0.94	3.20E-04	1.12	0.61
	C2	3.36E-04	3.30E-04	3.04E-04	1.04	1.02	0.94	3.24E-04	1.11	0.65
	C3	3.51E-04	3.45E-04	3.16E-04	1.04	1.02	0.94	3.37E-04	1.12	0.69
	C4	3.43E-04	3.38E-04	3.11E-04	1.04	1.02	0.94	3.31E-04	1.11	0.68
Crozon South - Outcrop zone CS03										
BR11TH084	A1	3.27E-04	3.26E-04	3.19E-04	1.01	1.01	0.98	3.24E-04	1.03	0.77
	A2	4.00E-04	3.98E-04	3.90E-04	1.01	1.00	0.98	3.96E-04	1.03	0.53
	A4	3.92E-04	3.88E-04	3.81E-04	1.01	1.00	0.98	3.87E-04	1.03	0.33
	B1	2.66E-04	2.64E-04	2.55E-04	1.02	1.01	0.97	2.62E-04	1.05	0.60
	B2	4.09E-04	4.03E-04	3.95E-04	1.02	1.00	0.98	4.02E-04	1.04	0.11
	B3	3.34E-04	3.34E-04	3.23E-04	1.01	1.01	0.98	3.30E-04	1.04	0.87
	C1	3.81E-04	3.78E-04	3.70E-04	1.01	1.01	0.98	3.76E-04	1.03	0.58
	C2	2.95E-04	2.90E-04	2.84E-04	1.02	1.00	0.98	2.90E-04	1.04	0.05
	C3	3.56E-04	3.49E-04	3.45E-04	1.02	1.00	0.99	3.50E-04	1.03	-0.15
	C4	2.69E-04	2.65E-04	2.59E-04	1.02	1.00	0.98	2.64E-04	1.04	0.22
BR11TH085	A1	3.23E-04	3.18E-04	2.98E-04	1.03	1.02	0.95	3.13E-04	1.09	0.57
	A2	3.28E-04	3.23E-04	3.03E-04	1.03	1.02	0.95	3.18E-04	1.09	0.63
	A3	3.32E-04	3.25E-04	3.06E-04	1.03	1.01	0.95	3.21E-04	1.09	0.52
	A4	3.37E-04	3.32E-04	3.12E-04	1.03	1.02	0.95	3.27E-04	1.09	0.62
	B1	3.32E-04	3.26E-04	3.07E-04	1.03	1.01	0.95	3.21E-04	1.09	0.54
	B2	3.29E-04	3.22E-04	3.03E-04	1.03	1.01	0.95	3.18E-04	1.09	0.50
	B3	3.48E-04	3.41E-04	3.21E-04	1.03	1.01	0.95	3.36E-04	1.09	0.49
	B4	3.47E-04	3.42E-04	3.22E-04	1.03	1.02	0.95	3.37E-04	1.08	0.63
	C1	3.41E-04	3.36E-04	3.15E-04	1.03	1.02	0.95	3.31E-04	1.09	0.61
	C2	3.40E-04	3.35E-04	3.14E-04	1.03	1.02	0.95	3.29E-04	1.09	0.61
	C3	3.32E-04	3.26E-04	3.06E-04	1.03	1.01	0.95	3.21E-04	1.09	0.51
	C4	3.31E-04	3.27E-04	3.06E-04	1.03	1.02	0.95	3.21E-04	1.09	0.65
BR11TH086	A1	3.85E-04	3.72E-04	3.56E-04	1.04	1.00	0.96	3.71E-04	1.08	0.14
	A2	4.49E-04	4.35E-04	4.15E-04	1.04	1.00	0.96	4.33E-04	1.08	0.17
	A3	4.06E-04	3.93E-04	3.74E-04	1.04	1.01	0.96	3.91E-04	1.09	0.23
	A4	3.33E-04	3.23E-04	3.08E-04	1.04	1.01	0.96	3.21E-04	1.08	0.21
	A5	3.34E-04	3.24E-04	3.08E-04	1.04	1.01	0.96	3.22E-04	1.08	0.26
	A6	3.42E-04	3.32E-04	3.15E-04	1.04	1.01	0.95	3.30E-04	1.09	0.32
	B1	3.23E-04	3.12E-04	3.00E-04	1.04	1.00	0.96	3.12E-04	1.08	0.08
	B2	3.73E-04	3.63E-04	3.46E-04	1.03	1.01	0.96	3.61E-04	1.08	0.29
	B3	3.07E-04	2.96E-04	2.84E-04	1.04	1.00	0.96	2.96E-04	1.08	0.08
	B4	3.16E-04	3.07E-04	2.93E-04	1.04	1.01	0.96	3.06E-04	1.08	0.24
BR11TH087	A1	3.00E-04	2.94E-04	2.86E-04	1.02	1.00	0.98	2.94E-04	1.05	0.11
	A2	2.86E-04	2.80E-04	2.72E-04	1.02	1.00	0.97	2.80E-04	1.05	0.18
	A3	3.09E-04	3.02E-04	2.94E-04	1.02	1.00	0.97	3.02E-04	1.05	0.13
	B1	3.11E-04	3.03E-04	2.97E-04	1.02	1.00	0.98	3.04E-04	1.05	-0.04
	B2	2.97E-04	2.90E-04	2.84E-04	1.02	1.00	0.98	2.91E-04	1.05	-0.03
	B3	3.13E-04	3.06E-04	2.99E-04	1.02	1.00	0.98	3.06E-04	1.05	-0.03
	C1	3.08E-04	3.01E-04	2.93E-04	1.02	1.00	0.97	3.00E-04	1.05	0.11
	C2	2.91E-04	2.85E-04	2.76E-04	1.02	1.00	0.97	2.84E-04	1.05	0.20
	C3	2.99E-04	2.92E-04	2.84E-04	1.02	1.00	0.98	2.92E-04	1.05	0.02
Crozon South - Outcrop zoneS04										
BR11TH088	A1	3.50E-04	3.44E-04	3.16E-04	1.04	1.02	0.94	3.37E-04	1.11	0.66
	A2	3.47E-04	3.42E-04	3.13E-04	1.04	1.02	0.94	3.34E-04	1.11	0.72
	B1	3.27E-04	3.23E-04	2.96E-04	1.04	1.02	0.94	3.15E-04	1.11	0.76
	B2	3.36E-04	3.31E-04	3.04E-04	1.04	1.02	0.94	3.24E-04	1.11	0.73
	C1	3.48E-04	3.45E-04	3.16E-04	1.03	1.03	0.94	3.36E-04	1.11	0.82
	C2	3.37E-04	3.33E-04	3.05E-04	1.04	1.02	0.94	3.25E-04	1.11	0.75
	D1	3.44E-04	3.40E-04	3.13E-04	1.04	1.02	0.94	3.32E-04	1.11	0.75
	D2	3.42E-04	3.40E-04	3.11E-04	1.03	1.03	0.94	3.31E-04	1.11	0.85
	D3	3.40E-04	3.37E-04	3.08E-04	1.04	1.03	0.94	3.28E-04	1.11	0.82
	A1	7.04E-04	6.99E-04	6.38E-04	1.03	1.03	0.94	6.81E-04	1.12	0.85

sample	spec	Eigenvalues			Normalized eigenvalues			K _m [SI]	P _J	T
		κ ₁ [SI]	κ ₂ [SI]	κ ₃ [SI]	K ₁	K ₂	K ₃			
BR11TH089	A2	7.06E-04	6.99E-04	6.41E-04	1.03	1.03	0.94	6.82E-04	1.11	0.80
	B1	7.35E-04	7.27E-04	6.65E-04	1.04	1.03	0.94	7.09E-04	1.12	0.77
	B2	7.15E-04	7.07E-04	6.47E-04	1.04	1.03	0.94	6.89E-04	1.12	0.77
	B3	7.06E-04	6.97E-04	6.38E-04	1.04	1.02	0.94	6.80E-04	1.12	0.76
	B4	7.01E-04	6.93E-04	6.33E-04	1.04	1.03	0.94	6.76E-04	1.12	0.78
	C1	6.82E-04	6.75E-04	6.20E-04	1.03	1.02	0.94	6.59E-04	1.11	0.78
	C2	6.71E-04	6.62E-04	6.04E-04	1.04	1.03	0.94	6.46E-04	1.12	0.74
	C3	6.78E-04	6.65E-04	6.12E-04	1.04	1.02	0.94	6.52E-04	1.12	0.62
	C4	6.94E-04	6.85E-04	6.28E-04	1.04	1.02	0.94	6.69E-04	1.11	0.73
	C5	6.81E-04	6.71E-04	6.16E-04	1.04	1.02	0.94	6.56E-04	1.11	0.72
BR11TH090	A1	4.01E-04	3.92E-04	3.45E-04	1.06	1.03	0.91	3.79E-04	1.18	0.71
	A2	3.76E-04	3.68E-04	3.25E-04	1.05	1.03	0.91	3.56E-04	1.17	0.72
	A3	3.92E-04	3.83E-04	3.37E-04	1.06	1.03	0.91	3.71E-04	1.18	0.71
	B1	3.82E-04	3.76E-04	3.27E-04	1.06	1.04	0.90	3.62E-04	1.19	0.79
	B2	3.45E-04	3.39E-04	2.97E-04	1.06	1.04	0.91	3.27E-04	1.18	0.76
	B3	3.46E-04	3.40E-04	2.98E-04	1.05	1.04	0.91	3.28E-04	1.18	0.77
	B4	3.57E-04	3.51E-04	3.08E-04	1.05	1.04	0.91	3.39E-04	1.18	0.78
	B5	3.64E-04	3.59E-04	3.13E-04	1.05	1.04	0.91	3.45E-04	1.18	0.80
	B6	3.63E-04	3.56E-04	3.12E-04	1.06	1.04	0.91	3.44E-04	1.18	0.74
Crozon South - Outcrop zone CS05										
BR09TH032	A1	4.07E-04	3.91E-04	3.84E-04	1.03	0.99	0.97	3.94E-04	1.06	-0.32
	A2	4.25E-04	4.08E-04	4.00E-04	1.03	0.99	0.97	4.11E-04	1.06	-0.34
	A3	4.53E-04	4.37E-04	4.31E-04	1.03	0.99	0.98	4.40E-04	1.05	-0.45
	A4	4.70E-04	4.51E-04	4.45E-04	1.03	0.99	0.98	4.55E-04	1.06	-0.48
	A5	4.77E-04	4.59E-04	4.52E-04	1.03	0.99	0.98	4.63E-04	1.06	-0.44
	B1	4.27E-04	4.10E-04	4.07E-04	1.03	0.99	0.98	4.15E-04	1.05	-0.73
	B2	4.25E-04	4.09E-04	4.01E-04	1.03	0.99	0.97	4.12E-04	1.06	-0.32
	B3	3.84E-04	3.70E-04	3.66E-04	1.03	0.99	0.98	3.73E-04	1.05	-0.52
	B4	3.96E-04	3.81E-04	3.64E-04	1.04	1.00	0.96	3.80E-04	1.09	0.10
	C1	4.55E-04	4.35E-04	4.29E-04	1.03	0.99	0.98	4.40E-04	1.06	-0.52
	C2	4.68E-04	4.49E-04	4.44E-04	1.03	0.99	0.98	4.54E-04	1.06	-0.57
	C3	4.79E-04	4.60E-04	4.55E-04	1.03	0.99	0.98	4.65E-04	1.05	-0.55
	C4	4.75E-04	4.55E-04	4.50E-04	1.03	0.99	0.98	4.60E-04	1.06	-0.62
	C5	4.75E-04	4.55E-04	4.50E-04	1.03	0.99	0.98	4.60E-04	1.06	-0.62
BR09TH033	A1	3.65E-04	3.47E-04	3.30E-04	1.05	1.00	0.95	3.47E-04	1.11	0.02
	A2	3.65E-04	3.47E-04	3.31E-04	1.05	1.00	0.95	3.48E-04	1.10	-0.01
	A3	3.57E-04	3.37E-04	3.20E-04	1.06	1.00	0.95	3.38E-04	1.11	-0.04
	A4	4.05E-04	3.84E-04	3.69E-04	1.05	1.00	0.96	3.86E-04	1.10	-0.13
	A5	4.23E-04	4.01E-04	3.83E-04	1.05	1.00	0.95	4.02E-04	1.11	-0.08
	B1	3.60E-04	3.42E-04	3.28E-04	1.05	1.00	0.96	3.43E-04	1.10	-0.12
	B2	3.62E-04	3.43E-04	3.28E-04	1.05	1.00	0.95	3.44E-04	1.10	-0.07
	B3	3.80E-04	3.60E-04	3.46E-04	1.05	1.00	0.96	3.62E-04	1.10	-0.12
	B4	3.73E-04	3.54E-04	3.40E-04	1.05	1.00	0.96	3.56E-04	1.10	-0.12
	B5	3.98E-04	3.80E-04	3.63E-04	1.05	1.00	0.96	3.80E-04	1.09	-0.01
	C1	3.44E-04	3.32E-04	3.24E-04	1.03	1.00	0.97	3.33E-04	1.06	-0.15
BR09TH034	A2	3.47E-04	3.34E-04	3.26E-04	1.03	0.99	0.97	3.36E-04	1.06	-0.25
	A3	3.25E-04	3.09E-04	2.96E-04	1.05	1.00	0.95	3.10E-04	1.10	-0.05
	B1	3.70E-04	3.57E-04	3.53E-04	1.03	0.99	0.98	3.60E-04	1.05	-0.49
	B2	3.15E-04	3.01E-04	2.89E-04	1.04	1.00	0.96	3.02E-04	1.09	-0.06
	B3	3.80E-04	3.65E-04	3.57E-04	1.03	0.99	0.97	3.68E-04	1.07	-0.31
	C1	4.15E-04	4.00E-04	3.92E-04	1.03	0.99	0.97	4.02E-04	1.06	-0.30
	C2	4.03E-04	3.85E-04	3.76E-04	1.04	0.99	0.97	3.88E-04	1.07	-0.34
	D1	3.87E-04	3.73E-04	3.67E-04	1.03	0.99	0.98	3.76E-04	1.06	-0.39
	D2	3.93E-04	3.79E-04	3.72E-04	1.03	0.99	0.98	3.81E-04	1.06	-0.32
	D3	3.31E-04	3.16E-04	3.02E-04	1.05	1.00	0.95	3.17E-04	1.10	0.00
	D4	3.31E-04	3.16E-04	3.02E-04	1.05	1.00	0.95	3.17E-04	1.10	0.00
BR09TH035	A1	4.85E-04	4.61E-04	4.43E-04	1.05	1.00	0.96	4.63E-04	1.10	-0.10
	A2	4.92E-04	4.68E-04	4.47E-04	1.05	1.00	0.95	4.69E-04	1.10	-0.04
	A3	4.66E-04	4.46E-04	4.31E-04	1.04	1.00	0.96	4.48E-04	1.08	-0.14
	A4	4.64E-04	4.45E-04	4.29E-04	1.04	1.00	0.96	4.46E-04	1.08	-0.07

sample	spec	Eigenvalues			Normalized eigenvalues			K _m [SI]	P _J	T
		κ ₁ [SI]	κ ₂ [SI]	κ ₃ [SI]	K ₁	K ₂	K ₃			
BR09TH035	A5	4.63E-04	4.43E-04	4.29E-04	1.04	0.99	0.96	4.45E-04	1.08	-0.18
	A6	4.52E-04	4.35E-04	4.17E-04	1.04	1.00	0.96	4.35E-04	1.08	0.03
	A7	4.37E-04	4.22E-04	4.04E-04	1.04	1.00	0.96	4.21E-04	1.08	0.11
	A8	4.42E-04	4.22E-04	4.06E-04	1.04	1.00	0.96	4.23E-04	1.09	-0.07
	B1	4.55E-04	4.37E-04	4.17E-04	1.04	1.00	0.96	4.37E-04	1.09	0.08
	B2	4.77E-04	4.58E-04	4.40E-04	1.04	1.00	0.96	4.58E-04	1.08	-0.02
	B3	4.87E-04	4.68E-04	4.55E-04	1.04	1.00	0.97	4.70E-04	1.07	-0.18
	B4	4.10E-04	3.93E-04	3.78E-04	1.04	1.00	0.96	3.94E-04	1.08	-0.01
	B5	4.25E-04	4.10E-04	3.96E-04	1.04	1.00	0.96	4.10E-04	1.08	0.01
	B6	4.43E-04	4.29E-04	4.17E-04	1.03	1.00	0.97	4.30E-04	1.06	-0.02
BR09TH036	A1	4.74E-04	4.51E-04	4.37E-04	1.04	0.99	0.96	4.54E-04	1.08	-0.20
	A2	4.80E-04	4.60E-04	4.39E-04	1.04	1.00	0.95	4.60E-04	1.09	0.07
	A3	4.91E-04	4.67E-04	4.51E-04	1.05	0.99	0.96	4.70E-04	1.09	-0.19
	A4	4.99E-04	4.78E-04	4.59E-04	1.04	1.00	0.96	4.79E-04	1.09	-0.02
	A5	4.90E-04	4.69E-04	4.50E-04	1.04	1.00	0.96	4.69E-04	1.09	-0.04
	A6	4.47E-04	4.30E-04	4.16E-04	1.04	1.00	0.96	4.31E-04	1.08	-0.09
	A7	4.41E-04	4.24E-04	4.07E-04	1.04	1.00	0.96	4.24E-04	1.08	0.04
	B1	5.24E-04	5.02E-04	4.79E-04	1.04	1.00	0.95	5.02E-04	1.09	0.05
	B2	5.34E-04	5.11E-04	4.90E-04	1.04	1.00	0.96	5.12E-04	1.09	-0.03
	B3	5.03E-04	4.84E-04	4.65E-04	1.04	1.00	0.96	4.84E-04	1.08	0.03
	B4	4.46E-04	4.23E-04	4.11E-04	1.05	0.99	0.96	4.27E-04	1.09	-0.31
	B5	4.72E-04	4.51E-04	4.36E-04	1.04	0.99	0.96	4.53E-04	1.08	-0.18
	B6	4.78E-04	4.56E-04	4.41E-04	1.04	0.99	0.96	4.58E-04	1.08	-0.18
	B7	4.97E-04	4.73E-04	4.58E-04	1.04	0.99	0.96	4.76E-04	1.09	-0.24
BR09TH038	A1	3.35E-04	3.22E-04	3.14E-04	1.04	0.99	0.97	3.24E-04	1.07	-0.25
	A2	3.21E-04	3.09E-04	2.99E-04	1.04	1.00	0.97	3.10E-04	1.07	-0.09
	A3	3.21E-04	3.08E-04	3.00E-04	1.04	0.99	0.97	3.10E-04	1.07	-0.23
	A4	3.14E-04	2.99E-04	2.95E-04	1.04	0.99	0.97	3.03E-04	1.07	-0.54
	A5	3.21E-04	3.09E-04	3.01E-04	1.03	1.00	0.97	3.10E-04	1.07	-0.20
	A6	3.15E-04	3.03E-04	2.95E-04	1.04	0.99	0.97	3.04E-04	1.07	-0.22
	A7	3.09E-04	2.95E-04	2.90E-04	1.04	0.99	0.97	2.98E-04	1.07	-0.44
	A8	3.12E-04	2.98E-04	2.93E-04	1.04	0.99	0.98	3.01E-04	1.06	-0.51
	A9	3.16E-04	3.03E-04	2.97E-04	1.03	0.99	0.97	3.05E-04	1.06	-0.37
	B1	3.47E-04	3.35E-04	3.28E-04	1.03	1.00	0.97	3.37E-04	1.06	-0.22
	B2	3.41E-04	3.27E-04	3.20E-04	1.04	0.99	0.97	3.29E-04	1.07	-0.31
	B3	3.42E-04	3.28E-04	3.20E-04	1.04	0.99	0.97	3.30E-04	1.07	-0.28
	B4	3.44E-04	3.30E-04	3.24E-04	1.03	0.99	0.97	3.33E-04	1.06	-0.46
	B5	3.53E-04	3.36E-04	3.31E-04	1.04	0.99	0.97	3.40E-04	1.07	-0.48
	B6	3.65E-04	3.51E-04	3.46E-04	1.03	0.99	0.98	3.54E-04	1.06	-0.42
BR09TH039	A1	1.93E-04	1.87E-04	1.82E-04	1.03	1.00	0.97	1.88E-04	1.06	-0.11
	A2	2.15E-04	2.07E-04	2.02E-04	1.03	0.99	0.97	2.08E-04	1.06	-0.24
	A3	2.00E-04	1.94E-04	1.89E-04	1.03	1.00	0.97	1.94E-04	1.06	-0.18
	B1	1.77E-04	1.69E-04	1.65E-04	1.04	0.99	0.97	1.70E-04	1.07	-0.31
	B2	1.74E-04	1.67E-04	1.63E-04	1.04	0.99	0.97	1.68E-04	1.07	-0.25
Crozon South - Outcrop zone CS06										
BR09TH003	A1	3.91E-04	3.74E-04	3.70E-04	1.03	0.99	0.98	3.78E-04	1.06	-0.66
	A2	3.80E-04	3.65E-04	3.61E-04	1.03	0.99	0.98	3.69E-04	1.05	-0.56
	A3	4.07E-04	3.94E-04	3.88E-04	1.03	0.99	0.98	3.97E-04	1.05	-0.35
	A4	3.82E-04	3.69E-04	3.64E-04	1.03	0.99	0.98	3.72E-04	1.05	-0.44
	A5	3.30E-04	3.18E-04	3.14E-04	1.03	0.99	0.98	3.21E-04	1.05	-0.53
	A6	3.64E-04	3.50E-04	3.46E-04	1.03	0.99	0.98	3.53E-04	1.06	-0.56
	A7	3.39E-04	3.25E-04	3.23E-04	1.03	0.99	0.98	3.29E-04	1.05	-0.72
	B1	3.63E-04	3.50E-04	3.46E-04	1.03	0.99	0.98	3.53E-04	1.05	-0.54
	B2	3.46E-04	3.31E-04	3.28E-04	1.03	0.99	0.98	3.35E-04	1.06	-0.67
	B3	3.10E-04	3.00E-04	2.96E-04	1.03	0.99	0.98	3.02E-04	1.05	-0.46
	B4	3.13E-04	3.01E-04	2.97E-04	1.03	0.99	0.98	3.04E-04	1.06	-0.48
	B5	2.83E-04	2.71E-04	2.67E-04	1.04	0.99	0.98	2.74E-04	1.06	-0.52
	B6	2.84E-04	2.73E-04	2.69E-04	1.03	0.99	0.98	2.76E-04	1.06	-0.53

sample	spec	Eigenvalues			Normalized eigenvalues			K_m [SI]	P_J	T
		κ_1 [SI]	κ_2 [SI]	κ_3 [SI]	K_1	K_2	K_3			
BR09TH004	A1	3.89E-04	3.71E-04	3.68E-04	1.04	0.99	0.98	3.76E-04	1.06	-0.71
	A2	3.94E-04	3.77E-04	3.74E-04	1.03	0.99	0.98	3.82E-04	1.06	-0.65
	A3	3.74E-04	3.57E-04	3.55E-04	1.03	0.99	0.98	3.62E-04	1.06	-0.80
	A4	3.59E-04	3.43E-04	3.39E-04	1.03	0.99	0.98	3.47E-04	1.06	-0.62
	A5	3.51E-04	3.36E-04	3.31E-04	1.03	0.99	0.98	3.39E-04	1.06	-0.54
	B1	3.86E-04	3.67E-04	3.65E-04	1.04	0.99	0.98	3.73E-04	1.06	-0.77
	B2	3.79E-04	3.61E-04	3.58E-04	1.04	0.99	0.98	3.66E-04	1.06	-0.78
	B3	3.72E-04	3.54E-04	3.52E-04	1.03	0.98	0.98	3.59E-04	1.06	-0.86
	B4	3.63E-04	3.43E-04	3.40E-04	1.04	0.98	0.98	3.49E-04	1.07	-0.72
	B5	3.55E-04	3.39E-04	3.36E-04	1.03	0.99	0.98	3.43E-04	1.06	-0.66
BR09TH005	A1	3.83E-04	3.71E-04	3.64E-04	1.03	1.00	0.98	3.73E-04	1.05	-0.28
	A2	4.14E-04	4.01E-04	3.95E-04	1.03	0.99	0.98	4.03E-04	1.05	-0.43
	A3	4.22E-04	4.07E-04	4.01E-04	1.03	0.99	0.98	4.10E-04	1.05	-0.44
	A4	4.12E-04	3.99E-04	3.93E-04	1.03	0.99	0.98	4.02E-04	1.05	-0.36
	A5	3.98E-04	3.83E-04	3.78E-04	1.03	0.99	0.98	3.86E-04	1.06	-0.47
	B1	3.74E-04	3.61E-04	3.54E-04	1.03	0.99	0.98	3.63E-04	1.06	-0.29
	B2	4.07E-04	3.92E-04	3.87E-04	1.03	0.99	0.98	3.96E-04	1.05	-0.46
	B3	4.08E-04	3.94E-04	3.87E-04	1.03	0.99	0.98	3.96E-04	1.06	-0.38
	B4	4.01E-04	3.87E-04	3.81E-04	1.03	0.99	0.98	3.90E-04	1.05	-0.37
	B5	4.05E-04	3.93E-04	3.84E-04	1.03	1.00	0.97	3.94E-04	1.06	-0.15
	B6	3.38E-04	3.30E-04	3.22E-04	1.02	1.00	0.98	3.30E-04	1.05	-0.01
	C1	3.95E-04	3.80E-04	3.76E-04	1.03	0.99	0.98	3.84E-04	1.05	-0.57
	C2	3.84E-04	3.71E-04	3.66E-04	1.03	0.99	0.98	3.74E-04	1.05	-0.44
BR09TH009	A1	3.05E-04	2.98E-04	2.93E-04	1.02	1.00	0.98	2.99E-04	1.04	-0.25
	A2	3.03E-04	2.95E-04	2.87E-04	1.03	1.00	0.97	2.95E-04	1.06	0.04
	A3	2.91E-04	2.83E-04	2.75E-04	1.03	1.00	0.97	2.83E-04	1.06	0.07
	B2	2.84E-04	2.75E-04	2.70E-04	1.03	1.00	0.98	2.76E-04	1.05	-0.19
	B4	2.71E-04	2.63E-04	2.57E-04	1.03	1.00	0.97	2.64E-04	1.05	-0.08
BR09TH010	A1	3.99E-04	3.81E-04	3.63E-04	1.05	1.00	0.95	3.81E-04	1.10	0.01
	A2	4.15E-04	3.94E-04	3.77E-04	1.05	1.00	0.95	3.95E-04	1.10	-0.07
	A3	4.09E-04	3.92E-04	3.72E-04	1.05	1.00	0.95	3.91E-04	1.10	0.07
	A4	4.25E-04	4.05E-04	3.85E-04	1.05	1.00	0.95	4.05E-04	1.10	0.02
BR09TH011	A1	4.09E-04	3.87E-04	3.84E-04	1.04	0.98	0.98	3.93E-04	1.07	-0.77
	A2	4.04E-04	3.82E-04	3.76E-04	1.04	0.99	0.97	3.88E-04	1.08	-0.58
	C1	4.23E-04	4.01E-04	3.97E-04	1.04	0.99	0.98	4.07E-04	1.07	-0.70
	C2	4.25E-04	4.03E-04	3.98E-04	1.04	0.99	0.98	4.09E-04	1.07	-0.67
	C3	4.16E-04	3.93E-04	3.88E-04	1.04	0.98	0.97	3.99E-04	1.08	-0.68
	C4	4.06E-04	3.83E-04	3.80E-04	1.04	0.98	0.98	3.90E-04	1.07	-0.77
BR09TH012	A1	3.31E-04	3.14E-04	3.07E-04	1.04	0.99	0.97	3.17E-04	1.08	-0.41
	A2	3.46E-04	3.27E-04	3.22E-04	1.04	0.99	0.97	3.31E-04	1.08	-0.58
	A3	3.28E-04	3.11E-04	3.04E-04	1.04	0.99	0.97	3.14E-04	1.08	-0.43
	A4	3.09E-04	2.95E-04	2.91E-04	1.04	0.99	0.97	2.99E-04	1.07	-0.50
	B1	3.75E-04	3.53E-04	3.47E-04	1.05	0.99	0.97	3.58E-04	1.08	-0.53
	B2	3.99E-04	3.76E-04	3.71E-04	1.04	0.99	0.97	3.82E-04	1.08	-0.59
	B3	3.98E-04	3.75E-04	3.70E-04	1.04	0.99	0.97	3.81E-04	1.08	-0.59
BR09TH013	A1	4.81E-04	4.60E-04	4.52E-04	1.03	0.99	0.97	4.65E-04	1.06	-0.43
	A2	5.26E-04	5.00E-04	4.91E-04	1.04	0.99	0.97	5.06E-04	1.07	-0.48
	B1	4.99E-04	4.72E-04	4.64E-04	1.04	0.99	0.97	4.78E-04	1.08	-0.50
	B2	5.03E-04	4.79E-04	4.72E-04	1.04	0.99	0.97	4.85E-04	1.07	-0.53
	B3	4.93E-04	4.70E-04	4.63E-04	1.04	0.99	0.97	4.75E-04	1.07	-0.50
	B4	4.90E-04	4.67E-04	4.60E-04	1.04	0.99	0.97	4.72E-04	1.07	-0.52
BR09TH014	A1	4.07E-04	3.89E-04	3.80E-04	1.04	0.99	0.97	3.92E-04	1.07	-0.31
	A2	4.25E-04	4.05E-04	3.97E-04	1.04	0.99	0.97	4.09E-04	1.07	-0.39
	A3	4.16E-04	3.96E-04	3.85E-04	1.04	0.99	0.96	3.99E-04	1.08	-0.27
	B1	4.97E-04	4.75E-04	4.64E-04	1.04	0.99	0.97	4.78E-04	1.07	-0.34
	B2	4.96E-04	4.73E-04	4.63E-04	1.04	0.99	0.97	4.78E-04	1.07	-0.39
	B3	5.02E-04	4.80E-04	4.67E-04	1.04	0.99	0.97	4.83E-04	1.08	-0.22
	C1	3.98E-04	3.81E-04	3.72E-04	1.04	0.99	0.97	3.84E-04	1.07	-0.29

sample	spec	Eigenvalues			Normalized eigenvalues			K_m [SI]	P_J	T
		κ_1 [SI]	κ_2 [SI]	κ_3 [SI]	K_1	K_2	K_3			
BR09TH015	C2	4.41E-04	4.21E-04	4.10E-04	1.04	0.99	0.97	4.24E-04	1.08	-0.30
	A1	3.41E-04	3.36E-04	3.24E-04	1.02	1.01	0.97	3.34E-04	1.05	0.42
	A2	3.69E-04	3.63E-04	3.49E-04	1.02	1.01	0.97	3.60E-04	1.06	0.44
	A3	3.76E-04	3.72E-04	3.57E-04	1.02	1.01	0.97	3.68E-04	1.06	0.52
	A4	4.13E-04	4.07E-04	3.92E-04	1.02	1.01	0.97	4.04E-04	1.05	0.47
	A5	3.67E-04	3.59E-04	3.49E-04	1.03	1.00	0.97	3.58E-04	1.05	0.09
	C1	2.55E-04	2.47E-04	2.40E-04	1.03	1.00	0.97	2.47E-04	1.06	-0.07
	C2	2.44E-04	2.38E-04	2.30E-04	1.03	1.00	0.97	2.38E-04	1.06	0.03
	D1	2.42E-04	2.34E-04	2.28E-04	1.03	1.00	0.97	2.35E-04	1.06	-0.18
	D2	2.60E-04	2.52E-04	2.45E-04	1.03	1.00	0.97	2.52E-04	1.06	-0.03
BR09TH016	A1	3.36E-04	3.22E-04	3.16E-04	1.04	0.99	0.97	3.24E-04	1.07	-0.39
	A2	3.26E-04	3.14E-04	3.06E-04	1.03	1.00	0.97	3.16E-04	1.06	-0.17
	A3	3.40E-04	3.28E-04	3.21E-04	1.03	1.00	0.97	3.30E-04	1.06	-0.25
	A4	3.40E-04	3.28E-04	3.21E-04	1.03	0.99	0.97	3.30E-04	1.06	-0.26
	A5	3.31E-04	3.20E-04	3.12E-04	1.03	1.00	0.97	3.21E-04	1.06	-0.16
	A6	4.08E-04	3.93E-04	3.83E-04	1.03	1.00	0.97	3.95E-04	1.07	-0.18
	A7	4.23E-04	4.05E-04	3.96E-04	1.04	0.99	0.97	4.08E-04	1.07	-0.32
	A8	4.20E-04	4.03E-04	3.93E-04	1.04	0.99	0.97	4.05E-04	1.07	-0.25
	B1	3.10E-04	2.99E-04	2.93E-04	1.03	0.99	0.97	3.00E-04	1.06	-0.25
	B2	3.29E-04	3.16E-04	3.10E-04	1.03	0.99	0.97	3.18E-04	1.06	-0.29
BR09TH016	B3	3.46E-04	3.33E-04	3.25E-04	1.03	1.00	0.97	3.35E-04	1.06	-0.20
	B4	3.50E-04	3.37E-04	3.29E-04	1.03	0.99	0.97	3.39E-04	1.07	-0.23
	B5	3.54E-04	3.40E-04	3.31E-04	1.04	0.99	0.97	3.42E-04	1.07	-0.23
	B6	4.02E-04	3.84E-04	3.76E-04	1.04	0.99	0.97	3.87E-04	1.07	-0.34
	B7	4.17E-04	3.99E-04	3.91E-04	1.04	0.99	0.97	4.02E-04	1.07	-0.35
	B8	4.45E-04	4.26E-04	4.17E-04	1.04	0.99	0.97	4.29E-04	1.07	-0.31
	B9	4.29E-04	4.13E-04	4.04E-04	1.03	0.99	0.97	4.15E-04	1.06	-0.28
	B10	4.31E-04	4.13E-04	4.02E-04	1.04	0.99	0.97	4.16E-04	1.07	-0.21
BR09TH017	A1	4.70E-04	4.40E-04	4.31E-04	1.05	0.98	0.97	4.47E-04	1.09	-0.55
	A2	4.51E-04	4.26E-04	4.15E-04	1.05	0.99	0.96	4.31E-04	1.09	-0.36
	A3	4.83E-04	4.55E-04	4.45E-04	1.05	0.99	0.97	4.61E-04	1.09	-0.45
	A4	4.91E-04	4.64E-04	4.53E-04	1.05	0.99	0.97	4.70E-04	1.09	-0.41
	C1	5.13E-04	4.83E-04	4.70E-04	1.05	0.99	0.96	4.89E-04	1.09	-0.38
	C2	5.19E-04	4.89E-04	4.75E-04	1.05	0.99	0.96	4.94E-04	1.09	-0.35
BR09TH018	A1	4.72E-04	4.50E-04	4.40E-04	1.04	0.99	0.97	4.54E-04	1.07	-0.41
	A2	4.62E-04	4.40E-04	4.31E-04	1.04	0.99	0.97	4.45E-04	1.07	-0.40
	C1	4.48E-04	4.24E-04	4.17E-04	1.04	0.99	0.97	4.30E-04	1.08	-0.52
	C2	4.54E-04	4.32E-04	4.23E-04	1.04	0.99	0.97	4.36E-04	1.08	-0.41
	C3	4.47E-04	4.27E-04	4.19E-04	1.04	0.99	0.97	4.31E-04	1.07	-0.38
BR09TH019	A1	3.12E-04	3.01E-04	2.98E-04	1.03	0.99	0.98	3.04E-04	1.05	-0.58
	A2	3.09E-04	2.99E-04	2.96E-04	1.03	0.99	0.98	3.02E-04	1.05	-0.50
	A3	3.17E-04	3.04E-04	3.01E-04	1.03	0.99	0.98	3.07E-04	1.05	-0.53
	A4	3.33E-04	3.19E-04	3.16E-04	1.03	0.99	0.98	3.23E-04	1.06	-0.56
	A5	3.22E-04	3.10E-04	3.06E-04	1.03	0.99	0.98	3.12E-04	1.06	-0.47
	A6	3.25E-04	3.13E-04	3.10E-04	1.03	0.99	0.98	3.16E-04	1.05	-0.55
	A7	3.50E-04	3.38E-04	3.34E-04	1.03	0.99	0.98	3.40E-04	1.05	-0.45
	B1	3.25E-04	3.14E-04	3.11E-04	1.03	0.99	0.98	3.16E-04	1.05	-0.49
	B2	3.28E-04	3.17E-04	3.13E-04	1.03	0.99	0.98	3.20E-04	1.05	-0.43
	B3	3.39E-04	3.29E-04	3.24E-04	1.03	0.99	0.98	3.31E-04	1.05	-0.34
	B4	3.47E-04	3.36E-04	3.32E-04	1.03	0.99	0.98	3.38E-04	1.05	-0.47
	B5	3.66E-04	3.55E-04	3.50E-04	1.02	0.99	0.98	3.57E-04	1.04	-0.41
	B6	3.45E-04	3.33E-04	3.29E-04	1.03	0.99	0.98	3.36E-04	1.05	-0.53
BR09TH020	A1	3.58E-04	3.45E-04	3.42E-04	1.03	0.99	0.98	3.49E-04	1.05	-0.59
	A2	3.56E-04	3.43E-04	3.40E-04	1.03	0.99	0.98	3.46E-04	1.05	-0.68
	A3	3.51E-04	3.37E-04	3.34E-04	1.03	0.99	0.98	3.41E-04	1.05	-0.64
	A4	3.39E-04	3.26E-04	3.23E-04	1.03	0.99	0.98	3.29E-04	1.05	-0.60
	A5	3.24E-04	3.12E-04	3.09E-04	1.03	0.99	0.98	3.15E-04	1.05	-0.55
	B1	3.20E-04	3.12E-04	3.09E-04	1.02	0.99	0.98	3.14E-04	1.04	-0.42

sample	spec	Eigenvalues			Normalized eigenvalues			K_m [SI]	P_J	T
		κ_1 [SI]	κ_2 [SI]	κ_3 [SI]	K_1	K_2	K_3			
	B2	3.43E-04	3.33E-04	3.29E-04	1.02	0.99	0.98	3.35E-04	1.05	-0.45
	B3	3.14E-04	3.05E-04	3.02E-04	1.02	0.99	0.98	3.07E-04	1.04	-0.60
Crozon South - Outcrop zone CS07										
BR11TH001	A1	4.21E-04	4.16E-04	3.77E-04	1.04	1.03	0.93	4.05E-04	1.13	0.80
	A2	4.19E-04	4.14E-04	3.74E-04	1.04	1.03	0.93	4.03E-04	1.13	0.79
	B1	4.31E-04	4.26E-04	3.84E-04	1.04	1.03	0.93	4.14E-04	1.13	0.79
	B2	4.22E-04	4.18E-04	3.78E-04	1.04	1.03	0.93	4.06E-04	1.13	0.84
	C1	4.17E-04	4.14E-04	3.72E-04	1.04	1.03	0.93	4.01E-04	1.14	0.89
	C3	4.19E-04	4.18E-04	3.75E-04	1.04	1.04	0.93	4.04E-04	1.14	0.96
	D1	4.04E-04	4.00E-04	3.61E-04	1.04	1.03	0.93	3.89E-04	1.13	0.79
	D2	4.16E-04	4.11E-04	3.70E-04	1.04	1.03	0.93	3.99E-04	1.14	0.82
	D3	4.27E-04	4.22E-04	3.81E-04	1.04	1.03	0.93	4.10E-04	1.13	0.78
BR11TH002	A1	4.12E-04	4.07E-04	3.68E-04	1.04	1.03	0.93	3.96E-04	1.13	0.80
	A2	4.14E-04	4.09E-04	3.70E-04	1.04	1.03	0.93	3.97E-04	1.13	0.80
	A3	4.13E-04	4.09E-04	3.69E-04	1.04	1.03	0.93	3.97E-04	1.13	0.82
	A4	4.27E-04	4.22E-04	3.80E-04	1.04	1.03	0.93	4.10E-04	1.14	0.80
	B1	4.16E-04	4.11E-04	3.70E-04	1.04	1.03	0.93	3.99E-04	1.14	0.81
	B2	4.28E-04	4.23E-04	3.82E-04	1.04	1.03	0.93	4.11E-04	1.13	0.81
	B3	4.08E-04	4.03E-04	3.64E-04	1.04	1.03	0.93	3.92E-04	1.13	0.79
	B4	4.12E-04	4.07E-04	3.65E-04	1.04	1.03	0.93	3.95E-04	1.14	0.80
	C1	4.20E-04	4.14E-04	3.73E-04	1.04	1.03	0.93	4.02E-04	1.14	0.76
	C2	4.20E-04	4.16E-04	3.74E-04	1.04	1.03	0.93	4.03E-04	1.14	0.82
	C3	4.16E-04	4.13E-04	3.71E-04	1.04	1.03	0.93	4.00E-04	1.14	0.86
	C4	4.20E-04	4.16E-04	3.73E-04	1.04	1.03	0.93	4.03E-04	1.14	0.84
Crozon North - CN01										
BR13TH036	A1	5.45E-04	5.37E-04	4.67E-04	1.06	1.04	0.90	5.16E-04	1.19	0.80
	B1	6.25E-04	6.09E-04	5.36E-04	1.06	1.03	0.91	5.90E-04	1.18	0.66
	B2	5.26E-04	5.15E-04	4.48E-04	1.06	1.04	0.90	4.96E-04	1.19	0.73
	B3	4.97E-04	4.89E-04	4.28E-04	1.05	1.04	0.91	4.71E-04	1.18	0.77
	C1	5.73E-04	5.57E-04	4.92E-04	1.06	1.03	0.91	5.41E-04	1.18	0.64
	C2	5.50E-04	5.36E-04	4.68E-04	1.06	1.03	0.90	5.18E-04	1.19	0.67
BR13TH037	A1	4.03E-04	3.75E-04	3.55E-04	1.07	0.99	0.94	3.78E-04	1.13	-0.15
	A2	4.16E-04	3.88E-04	3.66E-04	1.07	0.99	0.94	3.90E-04	1.14	-0.09
	B1	4.28E-04	3.99E-04	3.79E-04	1.06	0.99	0.94	4.02E-04	1.13	-0.14
	B2	4.26E-04	3.99E-04	3.75E-04	1.06	1.00	0.94	4.00E-04	1.13	-0.04
	B3	4.49E-04	4.21E-04	3.91E-04	1.07	1.00	0.93	4.20E-04	1.15	0.07
	C1	4.41E-04	4.13E-04	3.89E-04	1.06	1.00	0.94	4.14E-04	1.13	-0.04
	C2	4.35E-04	4.09E-04	3.80E-04	1.07	1.00	0.93	4.08E-04	1.15	0.08
	C3	4.49E-04	4.21E-04	3.90E-04	1.07	1.00	0.93	4.20E-04	1.15	0.09
BR13TH038	A1	1.95E-04	1.77E-04	1.70E-04	1.08	0.98	0.94	1.81E-04	1.15	-0.38
	A2	1.89E-04	1.73E-04	1.65E-04	1.08	0.99	0.94	1.76E-04	1.15	-0.29
	B1	2.03E-04	1.85E-04	1.77E-04	1.08	0.98	0.94	1.88E-04	1.15	-0.35
	C1	1.62E-04	1.50E-04	1.42E-04	1.07	0.99	0.94	1.52E-04	1.14	-0.16
	C2	2.04E-04	1.87E-04	1.79E-04	1.07	0.98	0.94	1.90E-04	1.14	-0.34
	C3	1.88E-04	1.74E-04	1.65E-04	1.07	0.99	0.94	1.76E-04	1.14	-0.15
	D1	2.19E-04	2.01E-04	1.92E-04	1.07	0.99	0.94	2.04E-04	1.14	-0.29
	D2	1.33E-04	1.25E-04	1.19E-04	1.06	1.00	0.94	1.26E-04	1.13	-0.09
	D3	1.73E-04	1.63E-04	1.54E-04	1.06	1.00	0.94	1.63E-04	1.13	-0.04
	E1	2.33E-04	2.14E-04	2.06E-04	1.07	0.98	0.95	2.18E-04	1.14	-0.39
	E2	1.76E-04	1.63E-04	1.55E-04	1.07	0.99	0.94	1.64E-04	1.13	-0.20
	E3	1.46E-04	1.36E-04	1.30E-04	1.06	0.99	0.95	1.37E-04	1.12	-0.16
BR13TH039	A1	3.23E-04	3.17E-04	2.85E-04	1.05	1.03	0.92	3.09E-04	1.15	0.70
	A2	3.25E-04	3.20E-04	2.87E-04	1.05	1.03	0.92	3.11E-04	1.14	0.73
	A3	3.04E-04	2.98E-04	2.69E-04	1.05	1.03	0.93	2.90E-04	1.14	0.65
	B1	3.20E-04	3.13E-04	2.81E-04	1.05	1.03	0.92	3.05E-04	1.15	0.66
	B2	3.16E-04	3.09E-04	2.78E-04	1.05	1.03	0.92	3.01E-04	1.15	0.65
	B3	3.07E-04	3.02E-04	2.72E-04	1.05	1.03	0.93	2.94E-04	1.14	0.72
	B4	3.04E-04	2.98E-04	2.68E-04	1.05	1.03	0.92	2.90E-04	1.14	0.71

sample	spec	Eigenvalues			Normalized eigenvalues			K _m [SI]	P _J	T
		κ ₁ [SI]	κ ₂ [SI]	κ ₃ [SI]	K ₁	K ₂	K ₃			
	C1	3.02E-04	2.97E-04	2.66E-04	1.05	1.03	0.92	2.88E-04	1.14	0.73
	C2	2.81E-04	2.75E-04	2.46E-04	1.05	1.03	0.92	2.67E-04	1.15	0.68
	C3	2.90E-04	2.85E-04	2.55E-04	1.05	1.03	0.92	2.77E-04	1.15	0.70
BR13TH040	A1	6.27E-04	5.87E-04	5.37E-04	1.07	1.01	0.92	5.84E-04	1.17	0.15
	A2	5.87E-04	5.48E-04	5.02E-04	1.08	1.00	0.92	5.46E-04	1.17	0.13
	A3	6.13E-04	5.75E-04	5.27E-04	1.07	1.01	0.92	5.72E-04	1.16	0.16
	A4	5.83E-04	5.46E-04	4.99E-04	1.07	1.01	0.92	5.43E-04	1.17	0.17
	B1	6.15E-04	5.77E-04	5.28E-04	1.07	1.01	0.92	5.73E-04	1.16	0.15
	B2	6.17E-04	5.71E-04	5.22E-04	1.08	1.00	0.92	5.70E-04	1.18	0.07
	B3	6.10E-04	5.64E-04	5.25E-04	1.08	1.00	0.93	5.66E-04	1.16	-0.04
	B4	6.12E-04	5.67E-04	5.22E-04	1.08	1.00	0.92	5.67E-04	1.17	0.04
	C1	6.35E-04	5.93E-04	5.45E-04	1.07	1.00	0.92	5.91E-04	1.17	0.10
	C2	5.84E-04	5.45E-04	5.00E-04	1.08	1.00	0.92	5.43E-04	1.17	0.10
	C3	6.26E-04	5.83E-04	5.36E-04	1.08	1.00	0.92	5.82E-04	1.17	0.08
	C4	6.18E-04	5.77E-04	5.28E-04	1.08	1.00	0.92	5.74E-04	1.17	0.13
BR13TH041	A1	6.37E-04	6.01E-04	5.45E-04	1.07	1.01	0.92	5.94E-04	1.17	0.26
	A2	6.37E-04	6.00E-04	5.42E-04	1.07	1.01	0.91	5.93E-04	1.18	0.26
	A3	5.75E-04	5.41E-04	4.88E-04	1.08	1.01	0.91	5.35E-04	1.18	0.25
	A4	6.41E-04	6.03E-04	5.44E-04	1.08	1.01	0.91	5.96E-04	1.18	0.25
	A5	6.42E-04	6.04E-04	5.43E-04	1.08	1.01	0.91	5.96E-04	1.19	0.27
	B1	5.15E-04	4.85E-04	4.35E-04	1.08	1.01	0.91	4.79E-04	1.19	0.28
	B2	5.11E-04	4.79E-04	4.33E-04	1.08	1.01	0.91	4.74E-04	1.18	0.24
	B3	4.87E-04	4.58E-04	4.14E-04	1.08	1.01	0.91	4.53E-04	1.18	0.24
	B4	5.95E-04	5.60E-04	4.99E-04	1.08	1.02	0.91	5.51E-04	1.20	0.30
	C1	5.15E-04	4.84E-04	4.37E-04	1.08	1.01	0.91	4.79E-04	1.18	0.23
	C2	5.18E-04	4.86E-04	4.39E-04	1.08	1.01	0.91	4.81E-04	1.18	0.23
	D1	4.94E-04	4.65E-04	4.20E-04	1.08	1.01	0.91	4.60E-04	1.18	0.24
Crozon North - CN02										
BR13TH042	A1	9.16E-05	8.94E-05	8.26E-05	1.04	1.02	0.94	8.79E-05	1.11	0.52
	A2	9.57E-05	9.44E-05	8.59E-05	1.04	1.03	0.93	9.20E-05	1.12	0.74
	B1	1.25E-04	1.18E-04	1.08E-04	1.06	1.01	0.92	1.17E-04	1.15	0.29
	B2	9.28E-05	8.93E-05	8.17E-05	1.05	1.02	0.93	8.79E-05	1.14	0.40
	B3	8.95E-05	8.66E-05	8.00E-05	1.05	1.01	0.94	8.54E-05	1.12	0.43
	B4	9.14E-05	8.86E-05	8.15E-05	1.05	1.02	0.94	8.72E-05	1.13	0.45
	C1	8.86E-05	8.55E-05	7.79E-05	1.06	1.02	0.93	8.40E-05	1.14	0.43
	C2	9.63E-05	9.31E-05	8.57E-05	1.05	1.02	0.93	9.17E-05	1.13	0.42
	C3	9.81E-05	9.42E-05	8.62E-05	1.06	1.01	0.93	9.29E-05	1.14	0.37
	D1	9.94E-05	9.54E-05	8.74E-05	1.06	1.01	0.93	9.41E-05	1.14	0.36
	D2	8.72E-05	8.43E-05	7.69E-05	1.05	1.02	0.93	8.28E-05	1.14	0.46
	D3	9.18E-05	8.87E-05	8.10E-05	1.05	1.02	0.93	8.71E-05	1.14	0.45
BR13TH043	A1	5.36E-04	5.07E-04	4.67E-04	1.06	1.01	0.93	5.03E-04	1.15	0.19
	A2	3.99E-04	3.80E-04	3.41E-04	1.07	1.02	0.91	3.73E-04	1.18	0.40
	A3	4.06E-04	3.89E-04	3.46E-04	1.07	1.02	0.91	3.80E-04	1.18	0.47
	B1	4.29E-04	4.10E-04	3.68E-04	1.07	1.02	0.91	4.02E-04	1.17	0.39
	B2	5.42E-04	5.16E-04	4.68E-04	1.07	1.01	0.92	5.09E-04	1.16	0.32
	B3	4.65E-04	4.44E-04	4.03E-04	1.06	1.02	0.92	4.37E-04	1.16	0.35
	C1	4.00E-04	3.83E-04	3.40E-04	1.07	1.02	0.91	3.75E-04	1.18	0.46
	C2	4.18E-04	4.03E-04	3.60E-04	1.06	1.02	0.92	3.94E-04	1.17	0.50
	C3	4.29E-04	4.09E-04	3.68E-04	1.07	1.02	0.92	4.02E-04	1.17	0.38
	D1	4.27E-04	4.11E-04	3.64E-04	1.07	1.03	0.91	4.00E-04	1.18	0.53
	D2	4.17E-04	3.99E-04	3.56E-04	1.07	1.02	0.91	3.90E-04	1.18	0.43
	D3	4.15E-04	3.95E-04	3.55E-04	1.07	1.02	0.92	3.88E-04	1.17	0.37
BR13TH044	A1	3.71E-04	3.60E-04	3.22E-04	1.06	1.03	0.92	3.51E-04	1.16	0.58
	A2	3.50E-04	3.42E-04	3.06E-04	1.05	1.03	0.92	3.33E-04	1.16	0.62
	A3	3.44E-04	3.35E-04	2.98E-04	1.06	1.03	0.91	3.26E-04	1.17	0.63
	B1	3.95E-04	3.79E-04	3.41E-04	1.06	1.02	0.92	3.72E-04	1.16	0.46
	B2	3.48E-04	3.40E-04	3.04E-04	1.05	1.03	0.92	3.31E-04	1.15	0.65
	C1	3.94E-04	3.84E-04	3.42E-04	1.06	1.03	0.92	3.74E-04	1.16	0.64

sample	spec	Eigenvalues			Normalized eigenvalues			K_m [SI]	P_J	T
		κ_1 [SI]	κ_2 [SI]	κ_3 [SI]	K_1	K_2	K_3			
BR13TH044	C2	3.86E-04	3.79E-04	3.37E-04	1.05	1.03	0.92	3.67E-04	1.16	0.73
	C3	3.40E-04	3.29E-04	2.96E-04	1.06	1.02	0.92	3.22E-04	1.15	0.53
	D1	3.61E-04	3.52E-04	3.14E-04	1.06	1.03	0.92	3.42E-04	1.16	0.64
	D2	4.08E-04	3.98E-04	3.55E-04	1.06	1.03	0.92	3.87E-04	1.16	0.64
	E1	4.13E-04	4.02E-04	3.57E-04	1.06	1.03	0.91	3.91E-04	1.17	0.64
	E2	3.74E-04	3.65E-04	3.26E-04	1.05	1.03	0.92	3.55E-04	1.16	0.66
BR13TH045	A1	3.89E-04	3.73E-04	3.41E-04	1.06	1.01	0.93	3.67E-04	1.14	0.37
	B1	3.79E-04	3.63E-04	3.32E-04	1.06	1.01	0.93	3.58E-04	1.14	0.32
	C1	3.83E-04	3.66E-04	3.37E-04	1.06	1.01	0.93	3.62E-04	1.14	0.31
	C2	3.66E-04	3.50E-04	3.22E-04	1.06	1.01	0.93	3.46E-04	1.14	0.31
	C3	3.72E-04	3.57E-04	3.26E-04	1.06	1.01	0.93	3.52E-04	1.14	0.37
	C4	3.79E-04	3.63E-04	3.33E-04	1.06	1.01	0.93	3.58E-04	1.14	0.32
	D1	3.79E-04	3.63E-04	3.36E-04	1.05	1.01	0.94	3.59E-04	1.13	0.28
	D2	3.66E-04	3.53E-04	3.22E-04	1.06	1.02	0.93	3.47E-04	1.14	0.42
	E1	3.65E-04	3.49E-04	3.22E-04	1.06	1.01	0.93	3.46E-04	1.13	0.29
	E2	3.53E-04	3.38E-04	3.11E-04	1.06	1.01	0.93	3.34E-04	1.14	0.31
	E3	3.66E-04	3.51E-04	3.24E-04	1.05	1.01	0.93	3.47E-04	1.13	0.32
BR13TH046	A1	2.38E-04	2.30E-04	2.07E-04	1.06	1.02	0.92	2.25E-04	1.16	0.51
	A2	2.50E-04	2.42E-04	2.17E-04	1.06	1.02	0.92	2.36E-04	1.16	0.51
	A3	2.49E-04	2.42E-04	2.17E-04	1.05	1.03	0.92	2.36E-04	1.16	0.59
	B1	2.44E-04	2.37E-04	2.11E-04	1.06	1.03	0.92	2.31E-04	1.16	0.55
	B2	2.58E-04	2.49E-04	2.23E-04	1.06	1.02	0.92	2.43E-04	1.17	0.52
	B3	2.46E-04	2.38E-04	2.14E-04	1.06	1.02	0.92	2.33E-04	1.16	0.53
	C1	2.41E-04	2.33E-04	2.08E-04	1.06	1.02	0.92	2.27E-04	1.16	0.53
	C2	2.51E-04	2.42E-04	2.17E-04	1.06	1.02	0.92	2.37E-04	1.17	0.52
	C3	2.43E-04	2.36E-04	2.11E-04	1.06	1.03	0.92	2.30E-04	1.16	0.60
	D1	2.48E-04	2.39E-04	2.14E-04	1.06	1.02	0.91	2.34E-04	1.17	0.53
	D2	2.45E-04	2.37E-04	2.12E-04	1.06	1.02	0.92	2.32E-04	1.17	0.54
	D3	2.36E-04	2.28E-04	2.04E-04	1.06	1.02	0.92	2.23E-04	1.16	0.53
Crozon North - CN03										
BR09TH053	A1	2.74E-04	2.61E-04	2.30E-04	1.08	1.02	0.90	2.55E-04	1.20	0.44
	B1	2.81E-04	2.68E-04	2.36E-04	1.07	1.02	0.90	2.62E-04	1.19	0.44
	B2	2.91E-04	2.76E-04	2.45E-04	1.07	1.02	0.91	2.71E-04	1.19	0.39
	C1	2.86E-04	2.71E-04	2.41E-04	1.08	1.02	0.90	2.66E-04	1.20	0.38
	D1	2.46E-04	2.34E-04	2.09E-04	1.07	1.02	0.91	2.30E-04	1.18	0.38
BR09TH054	A1	3.93E-04	3.79E-04	3.23E-04	1.08	1.04	0.89	3.65E-04	1.23	0.63
	A2	3.39E-04	3.25E-04	2.79E-04	1.08	1.03	0.89	3.14E-04	1.23	0.56
	B1	3.93E-04	3.73E-04	3.25E-04	1.08	1.03	0.89	3.64E-04	1.22	0.44
	B2	3.78E-04	3.60E-04	3.10E-04	1.08	1.03	0.89	3.49E-04	1.23	0.49
	C1	3.50E-04	3.34E-04	2.86E-04	1.08	1.03	0.88	3.24E-04	1.24	0.54
BR09TH055	A1	7.39E-04	7.01E-04	6.10E-04	1.08	1.03	0.89	6.83E-04	1.22	0.45
	B1	7.87E-04	7.42E-04	6.39E-04	1.09	1.03	0.88	7.23E-04	1.24	0.44
	B2	7.75E-04	7.42E-04	6.42E-04	1.08	1.03	0.89	7.19E-04	1.22	0.54
	C1	7.92E-04	7.58E-04	6.56E-04	1.08	1.03	0.89	7.35E-04	1.22	0.54
	C2	8.08E-04	7.69E-04	6.65E-04	1.08	1.03	0.89	7.47E-04	1.22	0.49
	D1	6.66E-04	6.27E-04	5.48E-04	1.09	1.02	0.89	6.14E-04	1.22	0.38
	D2	7.16E-04	6.72E-04	5.95E-04	1.08	1.02	0.90	6.61E-04	1.21	0.31
Crozon North - CN04										
BR13TH047	A1	2.61E-04	2.55E-04	2.31E-04	1.05	1.02	0.93	2.49E-04	1.14	0.61
	B1	2.87E-04	2.81E-04	2.55E-04	1.05	1.02	0.93	2.75E-04	1.13	0.60
	B2	2.87E-04	2.80E-04	2.54E-04	1.05	1.02	0.93	2.74E-04	1.14	0.60
	C1	2.73E-04	2.65E-04	2.42E-04	1.05	1.02	0.93	2.60E-04	1.13	0.52
	B3	2.69E-04	2.62E-04	2.39E-04	1.05	1.02	0.93	2.57E-04	1.13	0.58
BR13TH048	A1	2.80E-04	2.72E-04	2.50E-04	1.05	1.02	0.93	2.67E-04	1.13	0.47
	A2	2.79E-04	2.70E-04	2.48E-04	1.05	1.02	0.93	2.65E-04	1.13	0.44
	A3	2.71E-04	2.63E-04	2.41E-04	1.05	1.02	0.93	2.58E-04	1.13	0.44
	B1	2.87E-04	2.78E-04	2.54E-04	1.05	1.02	0.93	2.73E-04	1.13	0.48
	B2	2.79E-04	2.70E-04	2.47E-04	1.05	1.02	0.93	2.65E-04	1.14	0.49

sample	spec	Eigenvalues			Normalized eigenvalues			K_m [SI]	P_J	T
		κ_1 [SI]	κ_2 [SI]	κ_3 [SI]	K_1	K_2	K_3			
BR13 TH048	C1	2.84E-04	2.75E-04	2.51E-04	1.05	1.02	0.93	2.70E-04	1.13	0.48
	C2	2.61E-04	2.53E-04	2.31E-04	1.05	1.02	0.93	2.48E-04	1.13	0.52
	C3	2.69E-04	2.62E-04	2.40E-04	1.05	1.02	0.93	2.57E-04	1.13	0.51
	D1	2.75E-04	2.67E-04	2.45E-04	1.05	1.02	0.93	2.62E-04	1.13	0.49
	D2	2.71E-04	2.63E-04	2.42E-04	1.05	1.02	0.93	2.59E-04	1.13	0.49
	D3	2.44E-04	2.37E-04	2.17E-04	1.05	1.02	0.93	2.33E-04	1.13	0.53
	E1	2.46E-04	2.39E-04	2.20E-04	1.05	1.02	0.94	2.35E-04	1.12	0.52
Crozon North - CN05										
BR13TH049	A1	6.28E-05	6.24E-05	6.13E-05	1.01	1.00	0.99	6.22E-05	1.03	0.57
	A2	7.42E-05	7.39E-05	7.24E-05	1.01	1.01	0.99	7.35E-05	1.03	0.67
	A3	7.79E-05	7.74E-05	7.65E-05	1.01	1.00	0.99	7.73E-05	1.02	0.20
	B1	6.19E-05	6.14E-05	6.08E-05	1.01	1.00	0.99	6.14E-05	1.02	0.09
	B2	6.78E-05	6.72E-05	6.62E-05	1.01	1.00	0.99	6.71E-05	1.02	0.34
	B3	6.19E-05	6.08E-05	5.96E-05	1.02	1.00	0.98	6.08E-05	1.04	0.06
	C1	6.41E-05	6.38E-05	6.33E-05	1.01	1.00	0.99	6.37E-05	1.01	0.42
	C2	3.61E-05	3.58E-05	3.53E-05	1.01	1.00	0.99	3.57E-05	1.02	0.33
	C3	6.01E-05	5.99E-05	5.93E-05	1.01	1.00	0.99	5.98E-05	1.01	0.60
	D1	5.68E-05	5.66E-05	5.61E-05	1.01	1.00	0.99	5.65E-05	1.01	0.37
	D2	6.60E-05	6.58E-05	6.51E-05	1.01	1.00	0.99	6.56E-05	1.01	0.63
	D3	6.12E-05	6.11E-05	6.06E-05	1.00	1.00	0.99	6.09E-05	1.01	0.79
Crozon North - CN06										
BR09TH043	A1	3.60E-04	3.44E-04	3.15E-04	1.06	1.01	0.93	3.40E-04	1.15	0.32
	A2	3.44E-04	3.29E-04	3.01E-04	1.06	1.01	0.93	3.25E-04	1.15	0.33
	B1	3.38E-04	3.23E-04	2.95E-04	1.06	1.02	0.93	3.19E-04	1.15	0.37
	B2	3.02E-04	2.88E-04	2.62E-04	1.06	1.01	0.92	2.84E-04	1.15	0.31
	C1	3.51E-04	3.35E-04	3.02E-04	1.07	1.02	0.92	3.30E-04	1.17	0.38
	C2	3.50E-04	3.34E-04	3.03E-04	1.06	1.01	0.92	3.29E-04	1.16	0.34
	C3	3.37E-04	3.22E-04	2.92E-04	1.06	1.02	0.92	3.17E-04	1.16	0.35
	D1	3.16E-04	3.00E-04	2.74E-04	1.06	1.01	0.92	2.96E-04	1.15	0.27
	D2	3.19E-04	3.04E-04	2.77E-04	1.06	1.01	0.92	3.00E-04	1.15	0.32
	D3	3.13E-04	3.00E-04	2.74E-04	1.06	1.01	0.93	2.96E-04	1.15	0.34
BR09TH041	A1	3.80E-04	3.62E-04	3.27E-04	1.07	1.02	0.92	3.56E-04	1.16	0.36
	A2	3.87E-04	3.71E-04	3.34E-04	1.06	1.02	0.92	3.64E-04	1.16	0.40
	A3	4.00E-04	3.81E-04	3.49E-04	1.06	1.01	0.93	3.77E-04	1.15	0.27
	A4	3.82E-04	3.66E-04	3.31E-04	1.06	1.02	0.92	3.60E-04	1.16	0.39
	A5	3.75E-04	3.58E-04	3.24E-04	1.06	1.02	0.92	3.52E-04	1.16	0.38
	B1	4.37E-04	4.22E-04	3.85E-04	1.05	1.02	0.93	4.15E-04	1.14	0.45
	B2	3.69E-04	3.53E-04	3.18E-04	1.07	1.02	0.92	3.47E-04	1.17	0.39
	B3	3.64E-04	3.47E-04	3.14E-04	1.06	1.02	0.92	3.42E-04	1.16	0.37
	B4	3.70E-04	3.54E-04	3.18E-04	1.07	1.02	0.92	3.47E-04	1.17	0.40
	B5	3.64E-04	3.50E-04	3.14E-04	1.06	1.02	0.92	3.43E-04	1.16	0.47
BR09TH042	A1	4.55E-04	4.27E-04	4.12E-04	1.05	0.99	0.96	4.31E-04	1.10	-0.28
	A2	4.44E-04	4.17E-04	4.02E-04	1.06	0.99	0.96	4.21E-04	1.11	-0.30
	A3	4.04E-04	3.85E-04	3.57E-04	1.06	1.01	0.93	3.82E-04	1.13	0.22
	A4	3.50E-04	3.32E-04	3.11E-04	1.06	1.00	0.94	3.31E-04	1.13	0.11
	A5	3.16E-04	3.02E-04	2.74E-04	1.06	1.02	0.92	2.98E-04	1.15	0.38
	A6	3.07E-04	2.94E-04	2.68E-04	1.06	1.02	0.93	2.90E-04	1.15	0.38
	B1	4.63E-04	4.32E-04	4.20E-04	1.06	0.99	0.96	4.38E-04	1.11	-0.39
	B2	4.52E-04	4.25E-04	4.11E-04	1.05	0.99	0.96	4.29E-04	1.10	-0.30
	B3	4.43E-04	4.17E-04	4.01E-04	1.05	0.99	0.95	4.20E-04	1.11	-0.22
	B4	4.41E-04	4.13E-04	4.01E-04	1.05	0.99	0.96	4.18E-04	1.10	-0.39
	B5	3.89E-04	3.70E-04	3.42E-04	1.06	1.01	0.93	3.67E-04	1.14	0.23
	B6	3.88E-04	3.69E-04	3.39E-04	1.06	1.01	0.93	3.65E-04	1.14	0.24
BR09 TH049	A1	7.26E-04	7.12E-04	7.00E-04	1.02	1.00	0.98	7.13E-04	1.04	-0.06
	A2	5.79E-04	5.61E-04	5.49E-04	1.03	1.00	0.98	5.63E-04	1.05	-0.20
	A3	3.22E-04	2.98E-04	2.87E-04	1.07	0.99	0.95	3.02E-04	1.13	-0.33
	A4	3.28E-04	3.01E-04	2.90E-04	1.07	0.98	0.95	3.06E-04	1.13	-0.38

sample	spec	Eigenvalues			Normalized eigenvalues			K_m [SI]	P_J	T
		κ_1 [SI]	κ_2 [SI]	κ_3 [SI]	K_1	K_2	K_3			
BR09 TH049	A5	3.55E-04	3.26E-04	3.12E-04	1.07	0.99	0.94	3.31E-04	1.14	-0.31
	B1	2.17E-04	2.04E-04	1.89E-04	1.07	1.00	0.93	2.04E-04	1.15	0.11
	B2	2.39E-04	2.24E-04	2.07E-04	1.07	1.00	0.93	2.23E-04	1.15	0.07
	B3	2.60E-04	2.44E-04	2.27E-04	1.07	1.00	0.93	2.44E-04	1.15	0.09
BR09TH050	A1	3.30E-04	3.15E-04	2.86E-04	1.06	1.02	0.92	3.10E-04	1.16	0.36
	A2	2.78E-04	2.63E-04	2.36E-04	1.07	1.02	0.91	2.59E-04	1.18	0.35
	A3	3.63E-04	3.45E-04	3.31E-04	1.05	1.00	0.96	3.46E-04	1.10	-0.13
	A4	3.62E-04	3.41E-04	3.27E-04	1.05	0.99	0.95	3.44E-04	1.11	-0.16
	A5	2.55E-04	2.41E-04	2.33E-04	1.05	0.99	0.96	2.43E-04	1.10	-0.19
	A6	2.89E-04	2.72E-04	2.63E-04	1.05	0.99	0.96	2.75E-04	1.10	-0.30
	B1	2.30E-04	2.19E-04	1.98E-04	1.06	1.02	0.92	2.16E-04	1.16	0.37
	B2	3.58E-04	3.39E-04	3.26E-04	1.05	0.99	0.96	3.41E-04	1.10	-0.17
	B3	2.99E-04	2.83E-04	2.75E-04	1.05	0.99	0.96	2.86E-04	1.09	-0.30
	B4	3.42E-04	3.22E-04	3.13E-04	1.05	0.99	0.96	3.25E-04	1.10	-0.36
BR09TH048	A1	2.81E-04	2.66E-04	2.46E-04	1.06	1.01	0.93	2.64E-04	1.14	0.19
	A2	2.72E-04	2.57E-04	2.36E-04	1.07	1.01	0.93	2.55E-04	1.15	0.22
	A3	2.47E-04	2.34E-04	2.16E-04	1.06	1.01	0.93	2.32E-04	1.14	0.21
	B1	2.28E-04	2.17E-04	2.00E-04	1.06	1.01	0.93	2.15E-04	1.14	0.19
	B2	2.24E-04	2.13E-04	1.96E-04	1.06	1.01	0.93	2.11E-04	1.14	0.25
	B3	1.68E-04	1.60E-04	1.45E-04	1.07	1.02	0.92	1.57E-04	1.16	0.34
	B4	1.70E-04	1.62E-04	1.46E-04	1.07	1.02	0.92	1.59E-04	1.17	0.36
BR09TH058	A1	2.97E-04	2.85E-04	2.60E-04	1.06	1.02	0.93	2.81E-04	1.15	0.37
	A2	2.96E-04	2.83E-04	2.58E-04	1.06	1.01	0.93	2.79E-04	1.15	0.33
	A3	3.06E-04	2.93E-04	2.68E-04	1.06	1.01	0.93	2.89E-04	1.15	0.33
	A4	3.24E-04	3.11E-04	2.81E-04	1.06	1.02	0.92	3.05E-04	1.16	0.43
	A5	3.23E-04	3.08E-04	2.78E-04	1.07	1.02	0.92	3.03E-04	1.17	0.39
	A6	3.22E-04	3.07E-04	2.78E-04	1.06	1.02	0.92	3.02E-04	1.16	0.35
	A7	3.13E-04	2.98E-04	2.71E-04	1.06	1.01	0.92	2.94E-04	1.16	0.32
BR09 TH057	A1	3.13E-04	3.00E-04	2.73E-04	1.06	1.02	0.92	2.95E-04	1.15	0.40
	A2	3.18E-04	3.08E-04	2.78E-04	1.06	1.02	0.92	3.01E-04	1.15	0.50
	B1	3.18E-04	3.06E-04	2.77E-04	1.06	1.02	0.92	3.00E-04	1.15	0.44
	B2	3.05E-04	2.93E-04	2.66E-04	1.06	1.02	0.92	2.88E-04	1.15	0.42
BR09TH056	A1	3.33E-04	3.22E-04	2.81E-04	1.07	1.03	0.90	3.12E-04	1.20	0.58
	A2	3.35E-04	3.32E-04	2.91E-04	1.05	1.04	0.91	3.19E-04	1.17	0.88
	A3	3.58E-04	3.45E-04	3.02E-04	1.07	1.03	0.90	3.35E-04	1.20	0.58
	A4	3.59E-04	3.47E-04	3.01E-04	1.07	1.03	0.90	3.36E-04	1.21	0.59
	A5	3.65E-04	3.51E-04	3.05E-04	1.07	1.03	0.90	3.40E-04	1.21	0.55
	A6	3.92E-04	3.77E-04	3.27E-04	1.07	1.03	0.90	3.65E-04	1.21	0.57
	B1	2.71E-04	2.62E-04	2.26E-04	1.07	1.04	0.89	2.53E-04	1.21	0.64
	B2	3.53E-04	3.37E-04	2.94E-04	1.08	1.03	0.90	3.28E-04	1.21	0.50
	B3	3.08E-04	2.96E-04	2.59E-04	1.07	1.03	0.90	2.88E-04	1.20	0.54
	B4	3.31E-04	3.19E-04	2.79E-04	1.07	1.03	0.90	3.10E-04	1.20	0.54
BR09 TH061	A1	1.54E-04	1.45E-04	1.34E-04	1.07	1.00	0.93	1.45E-04	1.15	0.13
	A2	1.59E-04	1.50E-04	1.39E-04	1.06	1.00	0.93	1.50E-04	1.14	0.14
BR09TH063	A1	3.63E-04	3.48E-04	3.28E-04	1.05	1.00	0.95	3.47E-04	1.11	0.12
	A2	3.53E-04	3.36E-04	3.18E-04	1.05	1.00	0.95	3.36E-04	1.11	0.07
	A3	3.50E-04	3.33E-04	3.16E-04	1.05	1.00	0.95	3.33E-04	1.11	0.05
	A4	4.15E-04	3.96E-04	3.75E-04	1.05	1.00	0.95	3.95E-04	1.11	0.06
	A5	3.73E-04	3.54E-04	3.36E-04	1.05	1.00	0.95	3.54E-04	1.11	0.02
	A6	3.42E-04	3.26E-04	3.10E-04	1.05	1.00	0.95	3.26E-04	1.10	0.03
	B1	3.44E-04	3.25E-04	3.07E-04	1.06	1.00	0.94	3.26E-04	1.12	0.00
	B2	3.34E-04	3.16E-04	3.01E-04	1.05	1.00	0.95	3.17E-04	1.11	-0.06
	B3	3.48E-04	3.29E-04	3.15E-04	1.05	1.00	0.95	3.31E-04	1.11	-0.10
	B4	3.25E-04	3.07E-04	2.91E-04	1.06	1.00	0.95	3.08E-04	1.11	-0.06
	B5	3.16E-04	3.01E-04	2.87E-04	1.05	1.00	0.95	3.01E-04	1.10	-0.06
	A1	1.71E-04	1.63E-04	1.49E-04	1.06	1.01	0.92	1.61E-04	1.15	0.32
	A2	1.73E-04	1.65E-04	1.50E-04	1.06	1.01	0.92	1.63E-04	1.16	0.33

sample	spec	Eigenvalues			Normalized eigenvalues			K _m [SI]	P _J	T
		κ ₁ [SI]	κ ₂ [SI]	κ ₃ [SI]	K ₁	K ₂	K ₃			
BR09TH060	A3	1.78E-04	1.69E-04	1.55E-04	1.06	1.01	0.93	1.67E-04	1.15	0.30
	B1	1.77E-04	1.68E-04	1.53E-04	1.07	1.01	0.92	1.66E-04	1.16	0.26
	B2	1.77E-04	1.68E-04	1.53E-04	1.07	1.01	0.92	1.66E-04	1.16	0.26
	B3	1.95E-04	1.85E-04	1.69E-04	1.07	1.01	0.92	1.83E-04	1.15	0.26
	C1	1.63E-04	1.55E-04	1.42E-04	1.06	1.01	0.93	1.53E-04	1.15	0.25
BR09TH062	A1	2.50E-04	2.37E-04	2.19E-04	1.06	1.01	0.93	2.36E-04	1.14	0.18
	A2	2.40E-04	2.26E-04	2.09E-04	1.07	1.00	0.93	2.25E-04	1.15	0.14
	A3	2.36E-04	2.25E-04	2.07E-04	1.06	1.01	0.93	2.23E-04	1.14	0.24
	B1	1.77E-04	1.66E-04	1.53E-04	1.07	1.00	0.93	1.65E-04	1.16	0.11
Monts d'Arrée slate belt - MASB01										
BR11TH043	A1	7.24E-04	6.65E-04	5.78E-04	1.10	1.01	0.88	6.56E-04	1.26	0.25
	A2	7.42E-04	6.75E-04	5.98E-04	1.11	1.00	0.89	6.72E-04	1.24	0.11
	A3	6.49E-04	5.93E-04	5.17E-04	1.11	1.01	0.88	5.86E-04	1.26	0.20
	A4	7.18E-04	6.52E-04	5.77E-04	1.11	1.00	0.89	6.49E-04	1.24	0.12
	A5	9.13E-04	8.31E-04	7.41E-04	1.10	1.00	0.89	8.28E-04	1.23	0.10
	A6	6.14E-04	5.64E-04	4.83E-04	1.11	1.02	0.87	5.54E-04	1.28	0.29
	B1	8.33E-04	7.60E-04	6.71E-04	1.10	1.01	0.89	7.55E-04	1.24	0.15
	B2	7.97E-04	7.26E-04	6.40E-04	1.11	1.01	0.89	7.21E-04	1.25	0.15
	B3	6.30E-04	5.77E-04	5.01E-04	1.11	1.01	0.88	5.69E-04	1.26	0.22
	B4	6.01E-04	5.50E-04	4.77E-04	1.11	1.01	0.88	5.42E-04	1.26	0.24
	B5	8.70E-04	7.90E-04	7.18E-04	1.10	1.00	0.91	7.93E-04	1.21	-0.01
	B6	8.60E-04	7.81E-04	6.99E-04	1.10	1.00	0.90	7.80E-04	1.23	0.07
BR11TH044	A1	6.10E-04	5.71E-04	4.89E-04	1.10	1.03	0.88	5.57E-04	1.26	0.41
	A2	5.42E-04	5.03E-04	4.31E-04	1.10	1.02	0.88	4.92E-04	1.26	0.35
	A3	4.67E-04	4.36E-04	3.69E-04	1.10	1.03	0.87	4.24E-04	1.27	0.42
	B1	6.17E-04	5.81E-04	4.95E-04	1.09	1.03	0.88	5.65E-04	1.26	0.46
	B2	6.20E-04	5.84E-04	4.94E-04	1.10	1.03	0.87	5.66E-04	1.26	0.47
	B3	5.07E-04	4.72E-04	4.05E-04	1.10	1.02	0.88	4.62E-04	1.26	0.37
	B4	4.66E-04	4.35E-04	3.68E-04	1.10	1.03	0.87	4.23E-04	1.27	0.42
	B5	5.20E-04	4.86E-04	4.15E-04	1.10	1.03	0.88	4.73E-04	1.26	0.40
	C1	6.18E-04	5.81E-04	4.95E-04	1.09	1.03	0.88	5.65E-04	1.26	0.44
	C2	5.45E-04	5.11E-04	4.34E-04	1.10	1.03	0.87	4.97E-04	1.27	0.44
	C3	4.93E-04	4.59E-04	3.91E-04	1.10	1.03	0.87	4.48E-04	1.27	0.39
	C4	5.79E-04	5.42E-04	4.63E-04	1.10	1.03	0.88	5.28E-04	1.26	0.40
BR11TH045	A1	3.86E-04	3.72E-04	3.09E-04	1.08	1.05	0.87	3.56E-04	1.27	0.68
	B1	4.43E-04	4.24E-04	3.56E-04	1.09	1.04	0.87	4.08E-04	1.26	0.60
	C1	4.20E-04	4.04E-04	3.37E-04	1.08	1.04	0.87	3.87E-04	1.26	0.65
	D1	4.01E-04	3.85E-04	3.27E-04	1.08	1.04	0.88	3.71E-04	1.24	0.60
BR11TH042	A1	4.78E-04	4.62E-04	4.13E-04	1.06	1.02	0.92	4.51E-04	1.16	0.53
	A2	4.36E-04	4.15E-04	3.75E-04	1.07	1.02	0.92	4.09E-04	1.17	0.35
	A3	2.01E-04	1.87E-04	1.71E-04	1.08	1.00	0.92	1.86E-04	1.18	0.13
	A4	7.64E-04	7.15E-04	6.63E-04	1.07	1.00	0.93	7.14E-04	1.15	0.05
	B1	4.20E-04	4.00E-04	3.57E-04	1.07	1.02	0.91	3.93E-04	1.18	0.40
	B2	4.11E-04	3.94E-04	3.44E-04	1.07	1.03	0.90	3.83E-04	1.20	0.54
	B3	2.14E-04	2.02E-04	1.88E-04	1.06	1.00	0.93	2.01E-04	1.14	0.14
	B4	2.93E-04	2.72E-04	2.57E-04	1.07	0.99	0.94	2.74E-04	1.14	-0.14
	B5	2.46E-04	2.32E-04	2.07E-04	1.08	1.02	0.90	2.29E-04	1.20	0.32
	B6	4.67E-04	4.38E-04	3.97E-04	1.08	1.01	0.91	4.34E-04	1.18	0.22
BR11TH047	A1	4.99E-04	4.66E-04	4.18E-04	1.08	1.01	0.91	4.61E-04	1.19	0.22
	A2	4.93E-04	4.64E-04	4.17E-04	1.08	1.01	0.91	4.58E-04	1.19	0.27
	A3	4.52E-04	4.25E-04	3.84E-04	1.08	1.01	0.91	4.20E-04	1.18	0.25
	A4	4.36E-04	4.02E-04	3.68E-04	1.08	1.00	0.91	4.02E-04	1.19	0.05
	B1	4.43E-04	4.11E-04	3.84E-04	1.07	0.99	0.93	4.13E-04	1.15	-0.08
	B2	3.87E-04	3.61E-04	3.34E-04	1.07	1.00	0.93	3.61E-04	1.16	0.05
	B3	3.89E-04	3.65E-04	3.37E-04	1.07	1.00	0.93	3.64E-04	1.16	0.12
	B4	4.24E-04	3.94E-04	3.60E-04	1.08	1.00	0.92	3.93E-04	1.18	0.09
	C1	4.94E-04	4.60E-04	4.29E-04	1.07	1.00	0.93	4.61E-04	1.15	0.00

sample	spec	Eigenvalues			Normalized eigenvalues			K_m [SI]	P_J	T
		κ_1 [SI]	κ_2 [SI]	κ_3 [SI]	K_1	K_2	K_3			
	C2	5.63E-04	5.24E-04	4.86E-04	1.07	1.00	0.93	5.24E-04	1.16	0.04
	C3	6.43E-04	6.01E-04	5.52E-04	1.07	1.00	0.92	5.99E-04	1.16	0.11
	C4	6.37E-04	5.93E-04	5.45E-04	1.08	1.00	0.92	5.92E-04	1.17	0.10
BR11TH048	A1	4.00E-04	3.88E-04	3.40E-04	1.06	1.03	0.90	3.76E-04	1.19	0.64
	A2	3.98E-04	3.86E-04	3.39E-04	1.06	1.03	0.91	3.74E-04	1.19	0.62
	A3	4.33E-04	4.20E-04	3.71E-04	1.06	1.03	0.91	4.08E-04	1.18	0.60
	A4	4.25E-04	4.08E-04	3.64E-04	1.07	1.02	0.91	3.99E-04	1.17	0.46
	B1	3.97E-04	3.83E-04	3.41E-04	1.06	1.02	0.91	3.74E-04	1.17	0.53
	B2	4.31E-04	4.14E-04	3.70E-04	1.06	1.02	0.91	4.05E-04	1.17	0.46
	B3	4.27E-04	4.11E-04	3.69E-04	1.06	1.02	0.92	4.02E-04	1.16	0.48
	B4	4.12E-04	3.96E-04	3.55E-04	1.06	1.02	0.92	3.87E-04	1.17	0.46
	C1	4.98E-04	4.83E-04	4.25E-04	1.06	1.03	0.91	4.69E-04	1.18	0.62
	C2	3.99E-04	3.81E-04	3.43E-04	1.07	1.02	0.92	3.74E-04	1.17	0.39
	C3	4.28E-04	4.14E-04	3.66E-04	1.06	1.03	0.91	4.02E-04	1.18	0.57
	C4	4.00E-04	3.83E-04	3.43E-04	1.07	1.02	0.91	3.76E-04	1.17	0.43
BR11TH046	A1	3.24E-04	2.93E-04	2.67E-04	1.10	0.99	0.91	2.95E-04	1.21	-0.04
	A2	3.21E-04	2.89E-04	2.66E-04	1.10	0.99	0.91	2.92E-04	1.21	-0.12
	A3	3.15E-04	2.81E-04	2.61E-04	1.10	0.98	0.91	2.86E-04	1.21	-0.20
	A4	3.03E-04	2.71E-04	2.51E-04	1.10	0.99	0.91	2.75E-04	1.21	-0.18
	B1	3.57E-04	3.21E-04	2.94E-04	1.10	0.99	0.91	3.24E-04	1.22	-0.09
	B2	2.53E-04	2.30E-04	2.09E-04	1.10	1.00	0.91	2.31E-04	1.21	0.00
	B3	2.90E-04	2.65E-04	2.38E-04	1.10	1.00	0.90	2.64E-04	1.22	0.06
	C1	2.72E-04	2.48E-04	2.23E-04	1.10	1.00	0.90	2.48E-04	1.22	0.05
	C2	2.91E-04	2.67E-04	2.36E-04	1.10	1.01	0.89	2.65E-04	1.23	0.17
Monts d'Arrée slate belt - MASB02										
BR11TH049	A1	4.17E-04	3.77E-04	3.44E-04	1.10	0.99	0.91	3.80E-04	1.21	-0.04
	A2	3.56E-04	3.27E-04	2.98E-04	1.09	1.00	0.91	3.27E-04	1.20	0.04
	A3	3.44E-04	3.16E-04	2.82E-04	1.10	1.01	0.90	3.14E-04	1.22	0.15
	B1	2.34E-04	2.15E-04	1.90E-04	1.10	1.01	0.89	2.13E-04	1.23	0.20
	B2	3.42E-04	3.17E-04	2.77E-04	1.10	1.02	0.89	3.12E-04	1.24	0.30
	B3	3.18E-04	2.91E-04	2.65E-04	1.09	1.00	0.91	2.91E-04	1.20	0.03
	C1	2.98E-04	2.72E-04	2.44E-04	1.10	1.00	0.90	2.71E-04	1.22	0.10
	C2	3.70E-04	3.38E-04	3.01E-04	1.10	1.00	0.90	3.37E-04	1.23	0.12
	C3	4.03E-04	3.73E-04	3.32E-04	1.09	1.01	0.90	3.69E-04	1.22	0.22
BR11TH052	C4	3.96E-04	3.61E-04	3.28E-04	1.10	1.00	0.91	3.62E-04	1.21	0.03
	A1	5.47E-04	4.91E-04	4.57E-04	1.10	0.99	0.92	4.98E-04	1.20	-0.19
	A2	4.18E-04	3.77E-04	3.39E-04	1.11	1.00	0.90	3.78E-04	1.23	0.00
	A3	3.77E-04	3.40E-04	3.04E-04	1.11	1.00	0.89	3.40E-04	1.24	0.04
	A4	5.53E-04	4.97E-04	4.61E-04	1.10	0.99	0.92	5.04E-04	1.20	-0.18
	B1	4.02E-04	3.61E-04	3.28E-04	1.11	0.99	0.90	3.64E-04	1.23	-0.04
BR11TH051	B2	4.75E-04	4.26E-04	3.94E-04	1.10	0.99	0.91	4.32E-04	1.21	-0.17
	A1	5.51E-04	5.06E-04	4.73E-04	1.08	0.99	0.93	5.10E-04	1.17	-0.11
	A2	6.64E-04	6.06E-04	5.74E-04	1.08	0.99	0.93	6.15E-04	1.16	-0.24
	B1	5.90E-04	5.41E-04	5.09E-04	1.08	0.99	0.93	5.47E-04	1.16	-0.18
	B2	6.27E-04	5.79E-04	5.41E-04	1.08	0.99	0.93	5.82E-04	1.16	-0.09
	B3	5.78E-04	5.33E-04	4.99E-04	1.08	0.99	0.93	5.37E-04	1.16	-0.10
	C1	6.31E-04	5.80E-04	5.50E-04	1.08	0.99	0.94	5.87E-04	1.15	-0.22
	C2	5.63E-04	5.18E-04	4.90E-04	1.08	0.99	0.94	5.23E-04	1.15	-0.20
BR11TH053	C3	7.84E-04	7.22E-04	6.76E-04	1.08	0.99	0.93	7.27E-04	1.16	-0.12
	A1	5.14E-04	4.69E-04	4.29E-04	1.09	1.00	0.91	4.71E-04	1.20	-0.01
	A2	5.28E-04	4.87E-04	4.40E-04	1.09	1.00	0.91	4.85E-04	1.20	0.10
	A3	5.37E-04	5.02E-04	4.51E-04	1.08	1.01	0.91	4.97E-04	1.19	0.24
	A4	5.83E-04	5.46E-04	4.75E-04	1.09	1.02	0.89	5.35E-04	1.23	0.35
	B1	4.80E-04	4.43E-04	3.97E-04	1.09	1.01	0.90	4.40E-04	1.21	0.14
BR11TH053	B2	4.91E-04	4.56E-04	4.02E-04	1.09	1.01	0.89	4.50E-04	1.22	0.25
	B3	4.84E-04	4.44E-04	4.04E-04	1.09	1.00	0.91	4.44E-04	1.20	0.05
	B4	5.00E-04	4.64E-04	4.11E-04	1.09	1.01	0.90	4.59E-04	1.22	0.24
	C1	5.33E-04	4.93E-04	4.41E-04	1.09	1.01	0.90	4.89E-04	1.21	0.18

sample	spec	Eigenvalues			Normalized eigenvalues			K_m [SI]	P_J	T
		κ_1 [SI]	κ_2 [SI]	κ_3 [SI]	K_1	K_2	K_3			
BR11 TH053	C2	5.28E-04	4.87E-04	4.39E-04	1.09	1.00	0.91	4.85E-04	1.20	0.12
	C3	5.49E-04	5.09E-04	4.49E-04	1.09	1.01	0.89	5.02E-04	1.22	0.25
	C4	5.46E-04	4.98E-04	4.53E-04	1.09	1.00	0.91	4.99E-04	1.21	0.00
BR11TH050	A1	7.46E-04	6.83E-04	6.14E-04	1.10	1.00	0.90	6.81E-04	1.21	0.08
	A2	7.19E-04	6.61E-04	5.96E-04	1.09	1.00	0.91	6.59E-04	1.21	0.10
	A3	7.88E-04	7.20E-04	6.54E-04	1.09	1.00	0.91	7.21E-04	1.20	0.03
	A4	8.32E-04	7.60E-04	6.91E-04	1.09	1.00	0.91	7.61E-04	1.20	0.03
	B1	6.38E-04	5.82E-04	5.30E-04	1.09	1.00	0.91	5.83E-04	1.21	0.00
	B2	7.05E-04	6.46E-04	5.88E-04	1.09	1.00	0.91	6.46E-04	1.20	0.04
	B3	7.66E-04	7.02E-04	6.40E-04	1.09	1.00	0.91	7.03E-04	1.20	0.03
	B4	7.94E-04	7.24E-04	6.62E-04	1.09	1.00	0.91	7.27E-04	1.20	-0.02
	C1	7.70E-04	7.01E-04	6.34E-04	1.10	1.00	0.90	7.02E-04	1.21	0.04
	C2	7.73E-04	7.06E-04	6.42E-04	1.09	1.00	0.91	7.07E-04	1.20	0.02
	C3	7.52E-04	6.91E-04	6.27E-04	1.09	1.00	0.91	6.90E-04	1.20	0.07
	C4	7.84E-04	7.21E-04	6.58E-04	1.09	1.00	0.91	7.21E-04	1.19	0.04
BR11TH059	A1	5.20E-04	4.99E-04	3.95E-04	1.10	1.06	0.84	4.71E-04	1.35	0.70
	A2	4.75E-04	4.56E-04	3.64E-04	1.10	1.06	0.84	4.32E-04	1.33	0.70
	A3	4.98E-04	4.79E-04	3.73E-04	1.11	1.06	0.83	4.50E-04	1.37	0.74
	B1	5.48E-04	5.25E-04	4.16E-04	1.10	1.06	0.84	4.97E-04	1.34	0.69
	B2	5.28E-04	5.04E-04	4.00E-04	1.11	1.06	0.84	4.77E-04	1.35	0.66
	B3	4.81E-04	4.62E-04	3.62E-04	1.11	1.06	0.83	4.35E-04	1.36	0.72
	C1	4.93E-04	4.73E-04	3.74E-04	1.10	1.06	0.84	4.47E-04	1.35	0.69
	C2	4.86E-04	4.65E-04	3.68E-04	1.11	1.06	0.84	4.40E-04	1.35	0.68
	C3	5.65E-04	5.42E-04	4.25E-04	1.11	1.06	0.83	5.11E-04	1.36	0.71
	C4	4.99E-04	4.77E-04	3.81E-04	1.10	1.05	0.84	4.53E-04	1.34	0.67
BR11TH058	A1	3.07E-04	2.93E-04	2.33E-04	1.11	1.06	0.84	2.78E-04	1.35	0.67
	B1	3.10E-04	2.97E-04	2.40E-04	1.10	1.05	0.85	2.82E-04	1.32	0.66
	B2	3.06E-04	2.93E-04	2.34E-04	1.10	1.06	0.84	2.78E-04	1.34	0.68
	C1	2.86E-04	2.72E-04	2.19E-04	1.10	1.05	0.85	2.59E-04	1.33	0.61
	C2	3.27E-04	3.12E-04	2.51E-04	1.10	1.05	0.85	2.97E-04	1.33	0.66
	C3	3.16E-04	3.00E-04	2.42E-04	1.10	1.05	0.85	2.86E-04	1.33	0.63
BR11TH057	C4	2.95E-04	2.80E-04	2.25E-04	1.11	1.05	0.84	2.67E-04	1.33	0.61
	A1	5.97E-04	5.63E-04	4.89E-04	1.09	1.02	0.89	5.50E-04	1.23	0.41
	A2	5.55E-04	5.24E-04	4.52E-04	1.09	1.03	0.89	5.10E-04	1.24	0.43
	B1	5.72E-04	5.40E-04	4.86E-04	1.07	1.01	0.91	5.33E-04	1.18	0.30
	B2	5.51E-04	5.19E-04	4.60E-04	1.08	1.02	0.90	5.10E-04	1.20	0.35
	B3	5.06E-04	4.78E-04	4.18E-04	1.08	1.02	0.89	4.67E-04	1.22	0.42
	B4	5.24E-04	4.99E-04	4.31E-04	1.08	1.03	0.89	4.85E-04	1.23	0.49
	C1	5.25E-04	4.94E-04	4.49E-04	1.07	1.01	0.92	4.89E-04	1.17	0.24
	C2	4.59E-04	4.37E-04	4.00E-04	1.06	1.01	0.93	4.32E-04	1.15	0.27
	C3	4.99E-04	4.69E-04	4.26E-04	1.07	1.01	0.92	4.65E-04	1.17	0.22
	C4	4.56E-04	4.38E-04	3.94E-04	1.06	1.02	0.92	4.29E-04	1.16	0.43
	C5	4.85E-04	4.66E-04	4.13E-04	1.07	1.02	0.91	4.55E-04	1.18	0.50
BR11TH054	A1	2.13E-04	1.97E-04	1.79E-04	1.08	1.01	0.91	1.96E-04	1.19	0.13
	A2	2.91E-04	2.69E-04	2.45E-04	1.09	1.00	0.91	2.68E-04	1.19	0.07
	B1	3.04E-04	2.84E-04	2.56E-04	1.08	1.01	0.91	2.81E-04	1.19	0.19
	B2	2.45E-04	2.28E-04	2.03E-04	1.09	1.01	0.90	2.25E-04	1.21	0.24
	B3	2.86E-04	2.65E-04	2.37E-04	1.09	1.01	0.90	2.63E-04	1.21	0.22
	C1	2.92E-04	2.70E-04	2.48E-04	1.08	1.00	0.92	2.70E-04	1.18	0.04
	A1	3.47E-04	3.16E-04	2.95E-04	1.09	0.99	0.92	3.19E-04	1.18	-0.15
	B1	2.87E-04	2.62E-04	2.45E-04	1.09	0.99	0.93	2.65E-04	1.17	-0.17
BR11TH056	C1	2.67E-04	2.44E-04	2.26E-04	1.09	0.99	0.92	2.46E-04	1.18	-0.08
	A1	3.50E-04	3.13E-04	2.98E-04	1.09	0.98	0.93	3.20E-04	1.18	-0.39
	A2	3.99E-04	3.56E-04	3.38E-04	1.09	0.98	0.93	3.64E-04	1.18	-0.34
	B1	3.02E-04	2.67E-04	2.60E-04	1.09	0.97	0.94	2.76E-04	1.17	-0.66
	B2	4.60E-04	4.11E-04	3.98E-04	1.09	0.97	0.94	4.23E-04	1.16	-0.58
	C1	5.04E-04	4.48E-04	4.26E-04	1.10	0.98	0.93	4.60E-04	1.19	-0.40
	C2	3.33E-04	2.95E-04	2.90E-04	1.09	0.96	0.95	3.06E-04	1.16	-0.74

sample	spec	Eigenvalues			Normalized eigenvalues			K_m [SI]	P_J	T
		κ_1 [SI]	κ_2 [SI]	κ_3 [SI]	K_1	K_2	K_3			
	D1	3.05E-04	2.66E-04	2.65E-04	1.09	0.96	0.95	2.79E-04	1.17	-0.92
	D2	5.13E-04	4.61E-04	4.35E-04	1.09	0.98	0.93	4.70E-04	1.18	-0.30
Monts d'Arree slate belt - MASB03										
BR11TH060	A1	2.99E-04	2.78E-04	2.33E-04	1.11	1.03	0.86	2.70E-04	1.29	0.42
	B1	3.66E-04	3.41E-04	2.90E-04	1.10	1.03	0.87	3.32E-04	1.27	0.40
	B2	3.00E-04	2.82E-04	2.36E-04	1.10	1.03	0.87	2.73E-04	1.28	0.46
	B3	2.88E-04	2.70E-04	2.26E-04	1.10	1.03	0.86	2.61E-04	1.29	0.45
	C1	5.06E-04	4.71E-04	4.05E-04	1.10	1.02	0.88	4.61E-04	1.26	0.35
	C2	4.16E-04	3.83E-04	3.31E-04	1.10	1.02	0.88	3.77E-04	1.26	0.29
	C3	4.08E-04	3.78E-04	3.25E-04	1.10	1.02	0.88	3.70E-04	1.26	0.34
	C4	3.93E-04	3.66E-04	3.11E-04	1.10	1.03	0.87	3.57E-04	1.27	0.41
BR11TH062	A1	2.18E-04	2.01E-04	1.83E-04	1.09	1.00	0.91	2.01E-04	1.19	0.09
	A2	2.10E-04	2.01E-04	1.78E-04	1.07	1.02	0.91	1.96E-04	1.18	0.45
	A3	2.38E-04	2.28E-04	2.03E-04	1.07	1.02	0.91	2.23E-04	1.18	0.42
	A4	2.33E-04	2.23E-04	1.99E-04	1.07	1.02	0.91	2.19E-04	1.18	0.41
	A5	2.22E-04	2.14E-04	1.89E-04	1.07	1.03	0.91	2.08E-04	1.18	0.50
	A6	2.18E-04	2.09E-04	1.86E-04	1.07	1.02	0.91	2.05E-04	1.18	0.49
	B1	2.27E-04	2.17E-04	1.92E-04	1.07	1.02	0.91	2.12E-04	1.19	0.44
	B2	2.14E-04	2.04E-04	1.83E-04	1.07	1.02	0.91	2.01E-04	1.17	0.41
	B3	2.24E-04	2.15E-04	1.90E-04	1.07	1.03	0.91	2.10E-04	1.19	0.50
	B4	2.27E-04	2.17E-04	1.92E-04	1.07	1.02	0.91	2.12E-04	1.19	0.48
	B5	2.20E-04	2.11E-04	1.87E-04	1.07	1.02	0.91	2.06E-04	1.18	0.49
BR11TH063	A1	3.27E-04	3.10E-04	2.63E-04	1.09	1.03	0.88	3.00E-04	1.25	0.50
	A2	2.84E-04	2.74E-04	2.25E-04	1.09	1.05	0.86	2.61E-04	1.29	0.69
	A3	2.92E-04	2.81E-04	2.29E-04	1.09	1.05	0.86	2.67E-04	1.30	0.69
	A4	2.83E-04	2.75E-04	2.23E-04	1.09	1.06	0.86	2.60E-04	1.29	0.75
	A5	2.86E-04	2.72E-04	2.28E-04	1.09	1.04	0.87	2.62E-04	1.26	0.57
	A6	2.77E-04	2.66E-04	2.16E-04	1.09	1.05	0.85	2.53E-04	1.30	0.67
	A7	2.84E-04	2.71E-04	2.24E-04	1.09	1.04	0.86	2.60E-04	1.28	0.60
	A8	2.85E-04	2.74E-04	2.23E-04	1.09	1.05	0.86	2.60E-04	1.30	0.68
	B1	2.87E-04	2.74E-04	2.29E-04	1.09	1.04	0.87	2.63E-04	1.27	0.60
	B2	3.05E-04	2.92E-04	2.42E-04	1.09	1.04	0.87	2.80E-04	1.28	0.61
BR11TH064	A1	3.67E-04	3.49E-04	2.82E-04	1.10	1.05	0.85	3.33E-04	1.33	0.63
	A2	3.76E-04	3.58E-04	2.90E-04	1.10	1.05	0.85	3.41E-04	1.32	0.62
	A3	3.63E-04	3.46E-04	2.78E-04	1.10	1.05	0.85	3.29E-04	1.33	0.63
	A4	3.66E-04	3.51E-04	2.81E-04	1.10	1.05	0.85	3.32E-04	1.33	0.68
	A5	3.59E-04	3.44E-04	2.75E-04	1.10	1.05	0.84	3.26E-04	1.33	0.68
	A6	3.49E-04	3.35E-04	2.67E-04	1.10	1.06	0.84	3.17E-04	1.33	0.69
	B1	3.70E-04	3.53E-04	2.82E-04	1.11	1.05	0.84	3.35E-04	1.34	0.64
	B2	3.74E-04	3.57E-04	2.85E-04	1.10	1.05	0.84	3.39E-04	1.34	0.67
	B3	3.66E-04	3.49E-04	2.78E-04	1.11	1.06	0.84	3.31E-04	1.34	0.66
	B4	3.55E-04	3.40E-04	2.71E-04	1.10	1.06	0.84	3.22E-04	1.34	0.68
BR11TH061	A1	5.95E-04	5.65E-04	4.88E-04	1.08	1.03	0.89	5.49E-04	1.23	0.48
	A2	6.15E-04	5.81E-04	5.00E-04	1.09	1.03	0.89	5.65E-04	1.24	0.44
	B1	5.92E-04	5.64E-04	4.81E-04	1.08	1.03	0.88	5.46E-04	1.24	0.54
	B2	5.85E-04	5.54E-04	4.75E-04	1.09	1.03	0.88	5.38E-04	1.24	0.47
	B3	6.11E-04	5.75E-04	5.05E-04	1.08	1.02	0.90	5.64E-04	1.21	0.36
	B4	5.76E-04	5.46E-04	4.78E-04	1.08	1.02	0.90	5.34E-04	1.21	0.42
	C1	5.52E-04	5.24E-04	4.52E-04	1.08	1.03	0.89	5.09E-04	1.23	0.47
	C2	5.95E-04	5.64E-04	4.90E-04	1.08	1.03	0.89	5.50E-04	1.22	0.45
	C3	5.97E-04	5.65E-04	4.91E-04	1.08	1.03	0.89	5.51E-04	1.22	0.44
BR11TH065	A1	3.35E-04	3.12E-04	2.63E-04	1.10	1.03	0.87	3.03E-04	1.28	0.41
	A2	3.53E-04	3.31E-04	2.75E-04	1.10	1.03	0.86	3.20E-04	1.29	0.48
	A3	3.35E-04	3.14E-04	2.63E-04	1.10	1.03	0.87	3.04E-04	1.28	0.46
	A4	3.38E-04	3.16E-04	2.66E-04	1.10	1.03	0.87	3.06E-04	1.28	0.44
	B1	3.37E-04	3.16E-04	2.68E-04	1.10	1.03	0.87	3.07E-04	1.27	0.43
	B2	3.34E-04	3.13E-04	2.64E-04	1.10	1.03	0.87	3.04E-04	1.27	0.45
	B3	3.46E-04	3.24E-04	2.74E-04	1.10	1.03	0.87	3.15E-04	1.27	0.45

sample	spec	Eigenvalues			Normalized eigenvalues			K_m [SI]	P_J	T
		κ_1 [SI]	κ_2 [SI]	κ_3 [SI]	K_1	K_2	K_3			
BR11 TH065	B4	3.42E-04	3.19E-04	2.72E-04	1.10	1.02	0.88	3.11E-04	1.26	0.38
	C1	3.65E-04	3.42E-04	2.89E-04	1.10	1.03	0.87	3.32E-04	1.27	0.44
	C2	3.50E-04	3.27E-04	2.78E-04	1.10	1.03	0.87	3.18E-04	1.27	0.41
	C3	3.71E-04	3.46E-04	2.93E-04	1.10	1.03	0.87	3.37E-04	1.27	0.40
BR09TH123	A1	5.40E-04	5.09E-04	4.30E-04	1.10	1.03	0.87	4.93E-04	1.26	0.48
	A2	5.13E-04	4.86E-04	4.11E-04	1.09	1.03	0.87	4.70E-04	1.26	0.51
	A3	4.93E-04	4.63E-04	3.95E-04	1.10	1.03	0.88	4.50E-04	1.26	0.42
	B1	5.25E-04	4.96E-04	4.14E-04	1.10	1.04	0.87	4.78E-04	1.28	0.52
	B2	5.20E-04	4.90E-04	4.12E-04	1.10	1.03	0.87	4.74E-04	1.28	0.49
	B3	5.11E-04	4.85E-04	4.06E-04	1.09	1.04	0.87	4.67E-04	1.27	0.54
	B4	5.09E-04	4.84E-04	4.00E-04	1.10	1.04	0.86	4.64E-04	1.29	0.57
	C1	4.50E-04	4.24E-04	3.52E-04	1.10	1.04	0.86	4.09E-04	1.29	0.52
	C2	4.38E-04	4.14E-04	3.46E-04	1.10	1.04	0.87	3.99E-04	1.28	0.52
	C3	4.49E-04	4.30E-04	3.67E-04	1.08	1.04	0.88	4.16E-04	1.24	0.58
	C4	4.24E-04	4.07E-04	3.39E-04	1.09	1.04	0.87	3.90E-04	1.27	0.62
BR09TH124	A1	5.07E-04	4.84E-04	4.06E-04	1.09	1.04	0.87	4.66E-04	1.26	0.58
	A2	5.09E-04	4.83E-04	4.07E-04	1.09	1.04	0.87	4.67E-04	1.26	0.54
	A3	4.95E-04	4.72E-04	3.99E-04	1.09	1.04	0.88	4.55E-04	1.25	0.56
	B1	5.29E-04	5.04E-04	4.27E-04	1.09	1.04	0.88	4.86E-04	1.25	0.55
	B2	5.38E-04	5.08E-04	4.31E-04	1.09	1.03	0.88	4.92E-04	1.26	0.48
	B3	5.59E-04	5.31E-04	4.49E-04	1.09	1.04	0.88	5.13E-04	1.26	0.54
	C1	4.70E-04	4.47E-04	3.63E-04	1.10	1.05	0.85	4.27E-04	1.32	0.61
	C2	5.02E-04	4.73E-04	3.92E-04	1.10	1.04	0.86	4.55E-04	1.30	0.51
	C3	5.52E-04	5.18E-04	4.32E-04	1.10	1.04	0.86	5.01E-04	1.29	0.49
	C4	5.61E-04	5.27E-04	4.44E-04	1.10	1.03	0.87	5.11E-04	1.27	0.48
	D3	5.60E-04	5.31E-04	4.33E-04	1.10	1.04	0.85	5.08E-04	1.31	0.57
	D1	5.48E-04	5.13E-04	4.24E-04	1.11	1.04	0.86	4.95E-04	1.30	0.48
	D2	6.08E-04	5.73E-04	4.76E-04	1.10	1.04	0.86	5.53E-04	1.29	0.51
BR09TH121	A1	5.26E-04	4.99E-04	4.21E-04	1.09	1.03	0.87	4.82E-04	1.26	0.52
	A2	5.24E-04	4.97E-04	4.20E-04	1.09	1.03	0.87	4.80E-04	1.26	0.51
	A3	5.77E-04	5.42E-04	4.63E-04	1.09	1.03	0.88	5.27E-04	1.25	0.43
	A4	6.11E-04	5.82E-04	4.90E-04	1.09	1.04	0.87	5.61E-04	1.26	0.56
	A5	5.81E-04	5.59E-04	4.84E-04	1.07	1.03	0.89	5.41E-04	1.21	0.57
	A6	5.73E-04	5.38E-04	4.63E-04	1.09	1.03	0.88	5.25E-04	1.25	0.41
	A7	6.48E-04	6.16E-04	5.25E-04	1.09	1.03	0.88	5.96E-04	1.25	0.52
	A8	6.39E-04	6.03E-04	5.09E-04	1.10	1.03	0.87	5.84E-04	1.27	0.48
	B1	4.70E-04	4.48E-04	3.77E-04	1.09	1.04	0.87	4.32E-04	1.26	0.57
	B2	4.87E-04	4.63E-04	3.90E-04	1.09	1.04	0.87	4.47E-04	1.26	0.54
	B3	5.24E-04	4.94E-04	4.19E-04	1.09	1.03	0.87	4.79E-04	1.26	0.47
	B4	5.38E-04	5.13E-04	4.43E-04	1.08	1.03	0.89	4.98E-04	1.22	0.52
	B5	5.80E-04	5.55E-04	4.68E-04	1.09	1.04	0.88	5.34E-04	1.26	0.58
BR09TH127	A1	4.97E-04	4.75E-04	3.99E-04	1.09	1.04	0.87	4.57E-04	1.26	0.58
	A2	4.62E-04	4.39E-04	3.71E-04	1.09	1.04	0.87	4.24E-04	1.26	0.54
	A3	4.21E-04	4.02E-04	3.45E-04	1.08	1.03	0.89	3.90E-04	1.23	0.51
	A4	5.49E-04	5.24E-04	4.46E-04	1.08	1.03	0.88	5.06E-04	1.24	0.54
	A5	5.50E-04	5.21E-04	4.46E-04	1.09	1.03	0.88	5.06E-04	1.24	0.49
	B1	4.65E-04	4.43E-04	3.72E-04	1.09	1.04	0.87	4.26E-04	1.27	0.56
	B2	4.74E-04	4.47E-04	3.82E-04	1.09	1.03	0.88	4.34E-04	1.25	0.46
	B3	4.40E-04	4.17E-04	3.51E-04	1.09	1.04	0.87	4.02E-04	1.27	0.53
	B4	4.88E-04	4.65E-04	3.99E-04	1.08	1.03	0.89	4.51E-04	1.23	0.53
	B5	5.92E-04	5.58E-04	4.73E-04	1.09	1.03	0.87	5.41E-04	1.26	0.47
	B6	5.98E-04	5.64E-04	4.79E-04	1.09	1.03	0.88	5.47E-04	1.26	0.46
	B7	5.61E-04	5.26E-04	4.50E-04	1.10	1.03	0.88	5.12E-04	1.26	0.41
BR09 TH133	A1	4.24E-04	3.89E-04	3.54E-04	1.09	1.00	0.91	3.89E-04	1.20	0.06
	A2	4.43E-04	4.05E-04	3.60E-04	1.10	1.00	0.89	4.03E-04	1.23	0.12
	A3	4.28E-04	3.99E-04	3.55E-04	1.09	1.01	0.90	3.94E-04	1.21	0.23
	A4	3.22E-04	2.99E-04	2.71E-04	1.08	1.00	0.91	2.97E-04	1.19	0.12
	A5	3.93E-04	3.60E-04	3.26E-04	1.09	1.00	0.91	3.60E-04	1.20	0.06

sample	spec	Eigenvalues			Normalized eigenvalues			K _m [SI]	P _J	T
		κ ₁ [SI]	κ ₂ [SI]	κ ₃ [SI]	K ₁	K ₂	K ₃			
BR09 TH132	A1	5.53E-04	5.23E-04	4.30E-04	1.10	1.04	0.86	5.02E-04	1.30	0.55
	A2	5.53E-04	5.18E-04	4.39E-04	1.10	1.03	0.87	5.04E-04	1.27	0.42
	A3	5.78E-04	5.49E-04	4.41E-04	1.11	1.05	0.84	5.23E-04	1.33	0.63
	A4	5.64E-04	5.38E-04	4.32E-04	1.10	1.05	0.85	5.11E-04	1.33	0.65
	A5	5.78E-04	5.48E-04	4.46E-04	1.10	1.04	0.85	5.24E-04	1.31	0.58
	A6	6.29E-04	5.94E-04	4.91E-04	1.10	1.04	0.86	5.71E-04	1.30	0.54
	A7	6.33E-04	5.87E-04	5.09E-04	1.10	1.02	0.88	5.76E-04	1.25	0.31
BR09TH132	B1	5.40E-04	5.03E-04	4.27E-04	1.10	1.03	0.87	4.90E-04	1.27	0.39
	B2	5.20E-04	4.84E-04	4.01E-04	1.11	1.03	0.86	4.69E-04	1.31	0.45
	B3	4.94E-04	4.50E-04	3.96E-04	1.11	1.01	0.89	4.47E-04	1.25	0.16
	B4	4.83E-04	4.52E-04	3.65E-04	1.11	1.04	0.84	4.34E-04	1.34	0.53
	B5	4.80E-04	4.49E-04	3.66E-04	1.11	1.04	0.85	4.32E-04	1.33	0.51
	C1	5.10E-04	4.80E-04	3.91E-04	1.11	1.04	0.85	4.61E-04	1.32	0.55
	C2	5.46E-04	5.13E-04	4.21E-04	1.11	1.04	0.85	4.93E-04	1.31	0.53
	C3	5.41E-04	5.10E-04	4.15E-04	1.11	1.04	0.85	4.89E-04	1.32	0.54
	C4	6.32E-04	5.92E-04	5.06E-04	1.10	1.03	0.88	5.77E-04	1.26	0.41
C5	5.35E-04	5.04E-04	4.18E-04	1.10	1.04	0.86	4.86E-04	1.29	0.52	
BR09TH131	A1	3.70E-04	3.47E-04	2.72E-04	1.12	1.05	0.82	3.29E-04	1.38	0.59
	A2	3.73E-04	3.55E-04	2.75E-04	1.12	1.06	0.82	3.34E-04	1.39	0.68
	A3	3.58E-04	3.40E-04	2.65E-04	1.12	1.06	0.82	3.21E-04	1.38	0.66
	B1	3.77E-04	3.60E-04	2.86E-04	1.11	1.06	0.84	3.41E-04	1.34	0.67
	B2	3.60E-04	3.46E-04	2.73E-04	1.10	1.06	0.84	3.26E-04	1.35	0.72
	B3	3.68E-04	3.53E-04	2.79E-04	1.10	1.06	0.84	3.33E-04	1.35	0.71
	B4	3.33E-04	3.22E-04	2.45E-04	1.11	1.07	0.82	3.00E-04	1.40	0.79
	C1	5.48E-04	5.34E-04	4.15E-04	1.10	1.07	0.83	4.99E-04	1.36	0.81
	C2	4.81E-04	4.63E-04	3.62E-04	1.11	1.06	0.83	4.35E-04	1.36	0.73
	C3	4.32E-04	4.17E-04	3.17E-04	1.11	1.07	0.82	3.89E-04	1.40	0.76
BR09TH129	A1	4.04E-04	3.80E-04	3.04E-04	1.11	1.05	0.84	3.63E-04	1.35	0.57
	A2	4.14E-04	3.92E-04	3.13E-04	1.11	1.05	0.84	3.73E-04	1.34	0.61
	B1	3.57E-04	3.41E-04	2.73E-04	1.10	1.05	0.84	3.24E-04	1.33	0.66
	B2	3.76E-04	3.61E-04	2.88E-04	1.10	1.06	0.84	3.42E-04	1.33	0.68
	B3	3.87E-04	3.73E-04	2.96E-04	1.10	1.06	0.84	3.52E-04	1.34	0.73
	B4	3.77E-04	3.66E-04	2.88E-04	1.10	1.06	0.84	3.44E-04	1.34	0.77
	C1	3.30E-04	3.21E-04	2.58E-04	1.09	1.06	0.85	3.03E-04	1.31	0.76
	C2	3.50E-04	3.41E-04	2.73E-04	1.09	1.06	0.85	3.21E-04	1.31	0.77
BR11TH066	A1	4.16E-04	3.96E-04	3.21E-04	1.10	1.05	0.85	3.78E-04	1.31	0.61
	A2	3.98E-04	3.77E-04	3.10E-04	1.10	1.04	0.86	3.62E-04	1.30	0.56
	A3	3.68E-04	3.49E-04	2.85E-04	1.10	1.05	0.85	3.34E-04	1.31	0.59
	A4	3.74E-04	3.56E-04	2.89E-04	1.10	1.05	0.85	3.40E-04	1.32	0.62
	A5	3.71E-04	3.54E-04	2.86E-04	1.10	1.05	0.85	3.37E-04	1.32	0.63
	A6	3.87E-04	3.68E-04	2.99E-04	1.10	1.05	0.85	3.51E-04	1.32	0.62
	B1	3.95E-04	3.75E-04	3.08E-04	1.10	1.04	0.86	3.59E-04	1.30	0.58
	B2	3.91E-04	3.72E-04	3.03E-04	1.10	1.05	0.85	3.56E-04	1.31	0.62
	B3	3.72E-04	3.54E-04	2.87E-04	1.10	1.05	0.85	3.38E-04	1.32	0.62
	B4	3.58E-04	3.41E-04	2.77E-04	1.10	1.05	0.85	3.25E-04	1.31	0.62
	B5	3.86E-04	3.67E-04	2.99E-04	1.10	1.05	0.85	3.50E-04	1.31	0.60
BR11TH067	A1	3.49E-04	3.29E-04	2.72E-04	1.10	1.04	0.86	3.17E-04	1.30	0.51
	A2	3.67E-04	3.44E-04	2.86E-04	1.10	1.04	0.86	3.32E-04	1.29	0.49
	B1	3.04E-04	2.84E-04	2.36E-04	1.11	1.03	0.86	2.75E-04	1.30	0.46
	B2	4.20E-04	3.93E-04	3.21E-04	1.11	1.04	0.85	3.78E-04	1.32	0.50
	B3	3.27E-04	3.06E-04	2.54E-04	1.11	1.03	0.86	2.96E-04	1.30	0.47
	B4	4.03E-04	3.80E-04	3.10E-04	1.11	1.04	0.85	3.64E-04	1.32	0.55
BR11TH068	A1	7.17E-04	6.89E-04	5.55E-04	1.10	1.05	0.85	6.54E-04	1.32	0.68
	B1	7.18E-04	6.84E-04	5.56E-04	1.10	1.05	0.85	6.53E-04	1.31	0.63
	C1	6.72E-04	6.43E-04	5.19E-04	1.10	1.05	0.85	6.12E-04	1.32	0.66
	C2	6.75E-04	6.45E-04	5.22E-04	1.10	1.05	0.85	6.14E-04	1.31	0.65
	D1	7.00E-04	6.68E-04	5.41E-04	1.10	1.05	0.85	6.36E-04	1.32	0.64
	E1	6.57E-04	6.32E-04	5.06E-04	1.10	1.06	0.85	5.99E-04	1.32	0.70

sample	spec	Eigenvalues			Normalized eigenvalues			K _m [SI]	P _J	T
		κ ₁ [SI]	κ ₂ [SI]	κ ₃ [SI]	K ₁	K ₂	K ₃			
	E2	7.24E-04	6.88E-04	5.55E-04	1.10	1.05	0.85	6.56E-04	1.33	0.62
	E3	7.48E-04	7.13E-04	5.77E-04	1.10	1.05	0.85	6.79E-04	1.32	0.64
BR11TH070	A1	4.31E-04	3.97E-04	3.61E-04	1.09	1.00	0.91	3.97E-04	1.19	0.06
	A2	4.28E-04	3.93E-04	3.59E-04	1.09	1.00	0.91	3.93E-04	1.19	0.02
	A3	4.10E-04	3.75E-04	3.44E-04	1.09	1.00	0.91	3.76E-04	1.19	0.00
	B1	4.27E-04	3.93E-04	3.57E-04	1.09	1.00	0.91	3.92E-04	1.20	0.08
	B2	4.13E-04	3.80E-04	3.46E-04	1.09	1.00	0.91	3.80E-04	1.20	0.06
	B3	4.11E-04	3.79E-04	3.49E-04	1.08	1.00	0.92	3.80E-04	1.18	0.01
	B4	4.01E-04	3.66E-04	3.39E-04	1.09	0.99	0.92	3.68E-04	1.18	-0.08
	B5	4.18E-04	3.86E-04	3.50E-04	1.09	1.00	0.91	3.85E-04	1.20	0.11
	C1	4.46E-04	4.12E-04	3.73E-04	1.09	1.00	0.91	4.10E-04	1.20	0.10
	C2	4.55E-04	4.18E-04	3.82E-04	1.09	1.00	0.91	4.18E-04	1.19	0.02
BR11TH071	A1	4.36E-04	4.01E-04	3.79E-04	1.08	0.99	0.93	4.06E-04	1.15	-0.18
	A2	4.22E-04	3.92E-04	3.67E-04	1.07	0.99	0.93	3.94E-04	1.15	-0.08
	A3	4.10E-04	3.80E-04	3.57E-04	1.07	0.99	0.93	3.82E-04	1.15	-0.08
	B1	4.57E-04	4.26E-04	3.97E-04	1.07	1.00	0.93	4.27E-04	1.15	0.01
	B2	4.88E-04	4.53E-04	4.23E-04	1.07	1.00	0.93	4.55E-04	1.15	-0.04
	B3	4.59E-04	4.25E-04	4.04E-04	1.07	0.99	0.94	4.29E-04	1.14	-0.21
	B4	4.55E-04	4.22E-04	3.97E-04	1.07	0.99	0.94	4.25E-04	1.15	-0.11
	C1	4.62E-04	4.29E-04	4.01E-04	1.07	1.00	0.93	4.31E-04	1.15	-0.03
	C2	4.49E-04	4.19E-04	3.93E-04	1.07	1.00	0.93	4.20E-04	1.14	-0.02
	C3	4.53E-04	4.20E-04	3.97E-04	1.07	0.99	0.94	4.24E-04	1.14	-0.13
BR11TH069	A1	6.00E-04	5.63E-04	4.82E-04	1.09	1.03	0.88	5.49E-04	1.25	0.42
	A2	5.99E-04	5.63E-04	4.82E-04	1.09	1.03	0.88	5.48E-04	1.25	0.43
	A3	6.09E-04	5.74E-04	4.91E-04	1.09	1.03	0.88	5.58E-04	1.25	0.44
	A4	5.85E-04	5.49E-04	4.69E-04	1.09	1.03	0.88	5.35E-04	1.26	0.43
	A5	5.95E-04	5.57E-04	4.77E-04	1.10	1.03	0.88	5.43E-04	1.25	0.40
	A6	5.69E-04	5.34E-04	4.57E-04	1.09	1.03	0.88	5.20E-04	1.25	0.42
	B1	5.79E-04	5.44E-04	4.62E-04	1.10	1.03	0.87	5.28E-04	1.26	0.45
	B2	6.16E-04	5.77E-04	4.93E-04	1.10	1.03	0.88	5.62E-04	1.26	0.42
	B3	6.02E-04	5.64E-04	4.83E-04	1.09	1.03	0.88	5.50E-04	1.25	0.41
	B4	5.76E-04	5.43E-04	4.64E-04	1.09	1.03	0.88	5.28E-04	1.25	0.46
	B5	6.14E-04	5.77E-04	4.95E-04	1.09	1.03	0.88	5.62E-04	1.25	0.42
BR11TH078	A1	6.15E-04	5.68E-04	5.00E-04	1.10	1.01	0.89	5.61E-04	1.23	0.23
	A2	5.01E-04	4.62E-04	4.10E-04	1.10	1.01	0.90	4.58E-04	1.22	0.19
	A3	5.89E-04	5.48E-04	4.80E-04	1.09	1.02	0.89	5.39E-04	1.23	0.29
	A4	6.41E-04	5.86E-04	5.20E-04	1.10	1.01	0.89	5.82E-04	1.23	0.15
	B1	6.45E-04	5.95E-04	5.23E-04	1.10	1.01	0.89	5.88E-04	1.23	0.23
	B2	6.28E-04	5.85E-04	5.04E-04	1.10	1.02	0.88	5.72E-04	1.25	0.35
	B3	6.14E-04	5.71E-04	4.93E-04	1.10	1.02	0.88	5.59E-04	1.25	0.34
	B4	6.27E-04	5.77E-04	5.08E-04	1.10	1.01	0.89	5.71E-04	1.24	0.21
	C1	6.32E-04	5.89E-04	5.06E-04	1.10	1.02	0.88	5.76E-04	1.25	0.37
	C2	6.43E-04	6.00E-04	5.13E-04	1.10	1.03	0.88	5.86E-04	1.26	0.39
	C3	6.10E-04	5.68E-04	4.89E-04	1.10	1.02	0.88	5.56E-04	1.25	0.35
	C4	5.73E-04	5.40E-04	4.59E-04	1.09	1.03	0.88	5.24E-04	1.26	0.46
Monts d'Arree slate belt - MASB04										
BR11TH072	A1	5.39E-04	5.11E-04	4.01E-04	1.11	1.06	0.83	4.84E-04	1.37	0.64
	A2	5.45E-04	5.20E-04	4.09E-04	1.11	1.06	0.83	4.91E-04	1.36	0.67
	A3	5.44E-04	5.21E-04	4.09E-04	1.11	1.06	0.83	4.91E-04	1.36	0.69
	A4	5.26E-04	5.02E-04	3.96E-04	1.11	1.06	0.83	4.75E-04	1.36	0.68
	B1	4.78E-04	4.58E-04	3.60E-04	1.11	1.06	0.83	4.32E-04	1.36	0.69
	B2	4.58E-04	4.39E-04	3.42E-04	1.11	1.06	0.83	4.13E-04	1.37	0.70
	B3	5.20E-04	4.97E-04	3.88E-04	1.11	1.06	0.83	4.68E-04	1.37	0.69
	B4	4.93E-04	4.70E-04	3.67E-04	1.11	1.06	0.83	4.43E-04	1.37	0.67
	B5	5.35E-04	5.11E-04	4.02E-04	1.11	1.06	0.83	4.83E-04	1.36	0.67
BR11TH073	A1	4.43E-04	4.21E-04	3.39E-04	1.11	1.05	0.84	4.01E-04	1.33	0.62
	A2	4.38E-04	4.16E-04	3.34E-04	1.11	1.05	0.84	3.96E-04	1.33	0.61
	A3	4.51E-04	4.28E-04	3.46E-04	1.10	1.05	0.85	4.08E-04	1.32	0.60

sample	spec	Eigenvalues			Normalized eigenvalues			K_m [SI]	P_J	T
		κ_1 [SI]	κ_2 [SI]	κ_3 [SI]	K_1	K_2	K_3			
BR11TH073	A4	4.10E-04	3.90E-04	3.12E-04	1.11	1.05	0.84	3.71E-04	1.34	0.62
	A5	4.23E-04	3.97E-04	3.24E-04	1.11	1.04	0.85	3.82E-04	1.32	0.54
	B1	4.51E-04	4.26E-04	3.45E-04	1.11	1.05	0.85	4.08E-04	1.33	0.57
	B2	4.62E-04	4.38E-04	3.56E-04	1.10	1.05	0.85	4.19E-04	1.31	0.59
	B3	4.45E-04	4.20E-04	3.40E-04	1.11	1.05	0.85	4.01E-04	1.33	0.58
	B4	4.42E-04	4.19E-04	3.39E-04	1.10	1.05	0.85	4.00E-04	1.32	0.60
	B5	4.57E-04	4.33E-04	3.51E-04	1.10	1.05	0.85	4.14E-04	1.32	0.59
	B6	4.39E-04	4.13E-04	3.30E-04	1.11	1.05	0.84	3.94E-04	1.35	0.58
BR11TH075	B7	4.54E-04	4.30E-04	3.46E-04	1.11	1.05	0.84	4.10E-04	1.33	0.60
	A1	3.23E-04	3.00E-04	2.51E-04	1.11	1.03	0.86	2.92E-04	1.29	0.41
	A2	3.33E-04	3.10E-04	2.56E-04	1.11	1.03	0.85	3.00E-04	1.31	0.44
	A3	3.27E-04	3.06E-04	2.48E-04	1.11	1.04	0.85	2.94E-04	1.33	0.53
	A4	3.36E-04	3.19E-04	2.51E-04	1.11	1.06	0.83	3.02E-04	1.36	0.64
	A5	3.44E-04	3.25E-04	2.56E-04	1.12	1.05	0.83	3.08E-04	1.37	0.62
	A6	3.31E-04	3.14E-04	2.46E-04	1.11	1.06	0.83	2.97E-04	1.37	0.64
	B1	3.54E-04	3.27E-04	2.77E-04	1.11	1.02	0.87	3.20E-04	1.28	0.34
	B2	3.34E-04	3.11E-04	2.59E-04	1.11	1.03	0.86	3.02E-04	1.30	0.43
	B3	3.37E-04	3.22E-04	2.53E-04	1.11	1.06	0.83	3.04E-04	1.36	0.68
	B4	3.53E-04	3.36E-04	2.64E-04	1.11	1.06	0.83	3.18E-04	1.37	0.66
	B5	3.60E-04	3.43E-04	2.70E-04	1.11	1.06	0.83	3.24E-04	1.36	0.66
BR11TH074	B6	3.41E-04	3.23E-04	2.55E-04	1.11	1.05	0.83	3.06E-04	1.36	0.62
	A1	4.73E-04	4.40E-04	3.65E-04	1.11	1.03	0.86	4.26E-04	1.31	0.44
	A2	4.02E-04	3.75E-04	3.10E-04	1.11	1.03	0.86	3.62E-04	1.31	0.46
	A3	4.63E-04	4.33E-04	3.59E-04	1.11	1.03	0.86	4.18E-04	1.30	0.47
	A4	4.74E-04	4.43E-04	3.67E-04	1.11	1.03	0.86	4.28E-04	1.30	0.46
	B1	3.80E-04	3.53E-04	2.93E-04	1.11	1.03	0.86	3.42E-04	1.31	0.44
	B2	3.77E-04	3.50E-04	2.91E-04	1.11	1.03	0.86	3.40E-04	1.30	0.43
	B3	4.10E-04	3.82E-04	3.13E-04	1.11	1.04	0.85	3.69E-04	1.32	0.47
	C1	3.55E-04	3.30E-04	2.74E-04	1.11	1.03	0.86	3.20E-04	1.31	0.44
	C2	3.82E-04	3.57E-04	2.95E-04	1.11	1.04	0.86	3.45E-04	1.31	0.49
	C3	5.29E-04	4.93E-04	4.09E-04	1.11	1.03	0.86	4.77E-04	1.30	0.46
	C4	4.81E-04	4.49E-04	3.74E-04	1.11	1.03	0.86	4.35E-04	1.30	0.46
BR11TH076	A1	5.49E-04	4.92E-04	4.71E-04	1.09	0.98	0.93	5.04E-04	1.17	-0.42
	A2	5.72E-04	5.15E-04	4.89E-04	1.09	0.98	0.93	5.26E-04	1.17	-0.35
	B1	5.33E-04	4.75E-04	4.56E-04	1.09	0.97	0.93	4.88E-04	1.18	-0.47
	B2	5.54E-04	4.93E-04	4.74E-04	1.09	0.97	0.94	5.07E-04	1.18	-0.49
	B3	5.78E-04	5.16E-04	4.95E-04	1.09	0.97	0.93	5.30E-04	1.17	-0.46
	C1	4.91E-04	4.41E-04	4.21E-04	1.09	0.98	0.93	4.51E-04	1.17	-0.40
	C2	5.57E-04	5.00E-04	4.76E-04	1.09	0.98	0.93	5.11E-04	1.17	-0.39
	C3	5.45E-04	4.88E-04	4.67E-04	1.09	0.98	0.93	5.00E-04	1.17	-0.42
	D1	5.46E-04	4.87E-04	4.67E-04	1.09	0.97	0.93	5.00E-04	1.18	-0.45
	D2	5.73E-04	5.15E-04	4.91E-04	1.09	0.98	0.93	5.27E-04	1.17	-0.38
	D3	5.44E-04	4.87E-04	4.66E-04	1.09	0.98	0.93	4.99E-04	1.17	-0.42
BR11TH077	A1	4.77E-04	4.65E-04	3.51E-04	1.11	1.08	0.81	4.31E-04	1.40	0.83
	A2	4.78E-04	4.60E-04	3.48E-04	1.12	1.07	0.81	4.29E-04	1.41	0.76
	A3	4.54E-04	4.39E-04	3.31E-04	1.11	1.08	0.81	4.08E-04	1.42	0.79
	A4	4.49E-04	4.33E-04	3.27E-04	1.11	1.07	0.81	4.03E-04	1.42	0.77
	A5	4.98E-04	4.77E-04	3.61E-04	1.12	1.07	0.81	4.45E-04	1.42	0.73
	B1	4.64E-04	4.53E-04	3.36E-04	1.11	1.08	0.81	4.18E-04	1.43	0.85
	B2	4.83E-04	4.70E-04	3.54E-04	1.11	1.08	0.81	4.36E-04	1.41	0.83
	B3	5.06E-04	4.88E-04	3.70E-04	1.11	1.07	0.81	4.55E-04	1.41	0.77
	B4	4.81E-04	4.64E-04	3.50E-04	1.11	1.08	0.81	4.32E-04	1.42	0.78
	B5	4.63E-04	4.48E-04	3.36E-04	1.11	1.08	0.81	4.16E-04	1.42	0.79
	B6	4.68E-04	4.51E-04	3.42E-04	1.11	1.07	0.81	4.20E-04	1.41	0.76
BR11TH080	A1	6.29E-04	5.91E-04	5.34E-04	1.08	1.01	0.91	5.85E-04	1.18	0.24
	A2	6.52E-04	6.12E-04	5.53E-04	1.08	1.01	0.91	6.06E-04	1.18	0.24
	A3	6.12E-04	5.77E-04	5.21E-04	1.07	1.01	0.91	5.70E-04	1.18	0.27
	A4	6.18E-04	5.81E-04	5.24E-04	1.08	1.01	0.91	5.74E-04	1.18	0.27

sample	spec	Eigenvalues			Normalized eigenvalues			K_m [SI]	P_J	T
		κ_1 [SI]	κ_2 [SI]	κ_3 [SI]	K_1	K_2	K_3			
BR11TH080	A5	6.40E-04	6.03E-04	5.36E-04	1.08	1.02	0.90	5.93E-04	1.20	0.33
	A6	5.02E-04	4.73E-04	4.24E-04	1.08	1.01	0.91	4.67E-04	1.19	0.30
	A7	4.41E-04	4.09E-04	3.69E-04	1.08	1.01	0.91	4.06E-04	1.20	0.17
	B1	5.79E-04	5.42E-04	4.89E-04	1.08	1.01	0.91	5.37E-04	1.19	0.23
	B2	5.95E-04	5.62E-04	5.02E-04	1.08	1.02	0.91	5.53E-04	1.19	0.33
	B3	5.99E-04	5.63E-04	5.08E-04	1.08	1.01	0.91	5.57E-04	1.18	0.23
	C1	6.45E-04	6.06E-04	5.50E-04	1.07	1.01	0.92	6.01E-04	1.17	0.22
	C2	6.39E-04	6.07E-04	5.50E-04	1.07	1.01	0.92	5.99E-04	1.16	0.30
BR11TH079	A1	4.55E-04	4.39E-04	3.79E-04	1.07	1.03	0.89	4.24E-04	1.21	0.61
	A2	4.37E-04	4.23E-04	3.65E-04	1.07	1.04	0.89	4.08E-04	1.21	0.64
	A3	4.47E-04	4.31E-04	3.72E-04	1.07	1.04	0.89	4.17E-04	1.22	0.62
	B1	4.28E-04	4.15E-04	3.57E-04	1.07	1.04	0.89	4.00E-04	1.21	0.64
	B2	4.17E-04	4.02E-04	3.47E-04	1.07	1.04	0.89	3.89E-04	1.22	0.62
	B3	4.39E-04	4.24E-04	3.66E-04	1.07	1.04	0.89	4.10E-04	1.21	0.63
	C1	4.38E-04	4.23E-04	3.67E-04	1.07	1.03	0.90	4.09E-04	1.21	0.60
	C2	4.17E-04	4.03E-04	3.48E-04	1.07	1.03	0.89	3.89E-04	1.21	0.62
	C3	4.18E-04	4.03E-04	3.48E-04	1.07	1.04	0.89	3.90E-04	1.21	0.62
	D1	4.68E-04	4.51E-04	3.91E-04	1.07	1.03	0.90	4.37E-04	1.21	0.59
	D2	4.44E-04	4.29E-04	3.71E-04	1.07	1.03	0.89	4.15E-04	1.21	0.62
	D3	4.72E-04	4.54E-04	3.93E-04	1.07	1.03	0.89	4.40E-04	1.21	0.58
Monts d'Arree slate belt - MASB05										
BR13TH032	A1	3.14E-04	3.11E-04	2.34E-04	1.10	1.09	0.82	2.87E-04	1.40	0.94
	A2	2.93E-04	2.92E-04	2.18E-04	1.09	1.09	0.81	2.68E-04	1.41	0.98
	A3	3.14E-04	3.12E-04	2.35E-04	1.09	1.09	0.82	2.87E-04	1.40	0.97
	B1	3.00E-04	2.97E-04	2.24E-04	1.10	1.09	0.82	2.74E-04	1.40	0.95
	B2	3.36E-04	3.33E-04	2.51E-04	1.10	1.09	0.82	3.07E-04	1.40	0.94
	B3	3.40E-04	3.33E-04	2.56E-04	1.10	1.08	0.83	3.10E-04	1.37	0.87
	B4	3.23E-04	3.21E-04	2.41E-04	1.10	1.09	0.82	2.95E-04	1.40	0.96
	C1	3.30E-04	3.26E-04	2.51E-04	1.09	1.08	0.83	3.02E-04	1.37	0.90
	C2	3.80E-04	3.77E-04	2.84E-04	1.09	1.09	0.82	3.47E-04	1.39	0.95
	D1	3.26E-04	3.22E-04	2.46E-04	1.09	1.08	0.82	2.98E-04	1.38	0.92
	D2	3.21E-04	3.19E-04	2.40E-04	1.09	1.09	0.82	2.94E-04	1.40	0.96
	D3	4.18E-04	4.14E-04	3.17E-04	1.09	1.08	0.83	3.83E-04	1.37	0.93
BR13TH033	A1	2.86E-04	2.65E-04	2.24E-04	1.11	1.02	0.87	2.58E-04	1.28	0.36
	A2	2.82E-04	2.62E-04	2.22E-04	1.11	1.03	0.87	2.55E-04	1.28	0.38
	A3	2.66E-04	2.49E-04	2.08E-04	1.10	1.03	0.86	2.41E-04	1.29	0.45
	A4	2.69E-04	2.51E-04	2.09E-04	1.11	1.03	0.86	2.43E-04	1.30	0.46
	B1	2.91E-04	2.70E-04	2.28E-04	1.11	1.03	0.87	2.63E-04	1.28	0.40
	B2	2.81E-04	2.61E-04	2.20E-04	1.11	1.03	0.87	2.54E-04	1.29	0.40
	B3	2.68E-04	2.52E-04	2.08E-04	1.11	1.04	0.86	2.43E-04	1.30	0.51
	B4	2.64E-04	2.48E-04	2.05E-04	1.11	1.04	0.86	2.39E-04	1.30	0.49
	C1	2.86E-04	2.65E-04	2.24E-04	1.11	1.03	0.87	2.59E-04	1.29	0.39
	C2	2.75E-04	2.56E-04	2.14E-04	1.11	1.03	0.86	2.48E-04	1.30	0.44
	C3	2.65E-04	2.48E-04	2.05E-04	1.11	1.04	0.86	2.40E-04	1.30	0.50
	C4	2.62E-04	2.46E-04	2.01E-04	1.11	1.04	0.85	2.37E-04	1.32	0.51
BR11TH081	A1	6.96E-04	6.85E-04	6.24E-04	1.04	1.03	0.93	6.68E-04	1.12	0.73
	A2	6.16E-04	6.11E-04	5.57E-04	1.04	1.03	0.94	5.95E-04	1.12	0.86
	A3	8.20E-04	7.88E-04	6.81E-04	1.07	1.03	0.89	7.63E-04	1.22	0.57
	B1	6.31E-04	6.24E-04	5.61E-04	1.04	1.03	0.93	6.05E-04	1.14	0.80
	B2	6.63E-04	6.54E-04	5.83E-04	1.05	1.03	0.92	6.34E-04	1.15	0.78
	B3	7.71E-04	7.44E-04	6.34E-04	1.08	1.04	0.88	7.17E-04	1.23	0.63
	C1	6.75E-04	6.69E-04	6.01E-04	1.04	1.03	0.93	6.48E-04	1.14	0.86
	C2	7.35E-04	7.17E-04	6.27E-04	1.06	1.03	0.91	6.93E-04	1.19	0.68
	C3	7.63E-04	7.47E-04	6.45E-04	1.06	1.04	0.90	7.18E-04	1.20	0.73
	D1	6.82E-04	6.69E-04	5.99E-04	1.05	1.03	0.92	6.50E-04	1.15	0.71
	D2	6.97E-04	6.85E-04	6.11E-04	1.05	1.03	0.92	6.64E-04	1.15	0.73
	A1	6.25E-04	5.98E-04	4.89E-04	1.10	1.05	0.86	5.71E-04	1.30	0.63
	A2	6.14E-04	5.88E-04	4.80E-04	1.09	1.05	0.86	5.61E-04	1.30	0.65

sample	spec	Eigenvalues			Normalized eigenvalues			K_m [SI]	P_J	T
		κ_1 [SI]	κ_2 [SI]	κ_3 [SI]	K_1	K_2	K_3			
BR11TH082	A3	5.99E-04	5.77E-04	4.73E-04	1.09	1.05	0.86	5.50E-04	1.29	0.68
	B1	7.15E-04	6.79E-04	5.61E-04	1.10	1.04	0.86	6.51E-04	1.29	0.57
	B2	7.11E-04	6.76E-04	5.57E-04	1.10	1.04	0.86	6.48E-04	1.29	0.59
	B3	6.94E-04	6.61E-04	5.44E-04	1.10	1.04	0.86	6.33E-04	1.29	0.59
	B4	6.58E-04	6.32E-04	5.23E-04	1.09	1.05	0.87	6.04E-04	1.28	0.64
	C1	6.02E-04	5.56E-04	4.99E-04	1.09	1.01	0.90	5.53E-04	1.21	0.14
	C2	6.54E-04	6.10E-04	5.39E-04	1.09	1.02	0.90	6.01E-04	1.22	0.28
	C3	7.44E-04	7.01E-04	5.99E-04	1.09	1.03	0.88	6.82E-04	1.25	0.45
BR13TH030	A1	3.23E-04	3.07E-04	2.60E-04	1.09	1.04	0.88	2.96E-04	1.25	0.54
	A2	3.29E-04	3.13E-04	2.66E-04	1.09	1.03	0.88	3.03E-04	1.25	0.52
	A3	3.25E-04	3.09E-04	2.64E-04	1.09	1.03	0.88	2.99E-04	1.24	0.51
	A4	3.29E-04	3.12E-04	2.66E-04	1.09	1.03	0.88	3.02E-04	1.25	0.48
	B1	3.12E-04	2.97E-04	2.51E-04	1.09	1.04	0.87	2.87E-04	1.26	0.56
	B2	3.13E-04	2.99E-04	2.52E-04	1.09	1.04	0.88	2.88E-04	1.26	0.57
	B3	3.24E-04	3.08E-04	2.61E-04	1.09	1.04	0.88	2.98E-04	1.25	0.55
	C1	3.11E-04	2.96E-04	2.50E-04	1.09	1.04	0.88	2.86E-04	1.26	0.54
	C2	3.24E-04	3.07E-04	2.61E-04	1.09	1.03	0.88	2.97E-04	1.25	0.49
	C3	3.29E-04	3.11E-04	2.64E-04	1.09	1.03	0.88	3.01E-04	1.26	0.49
	D1	2.87E-04	2.72E-04	2.32E-04	1.09	1.03	0.88	2.64E-04	1.25	0.50
	D2	3.04E-04	2.89E-04	2.46E-04	1.09	1.03	0.88	2.80E-04	1.25	0.53
BR13TH031	A1	3.03E-04	2.88E-04	2.42E-04	1.09	1.04	0.87	2.78E-04	1.26	0.55
	A2	3.41E-04	3.25E-04	2.73E-04	1.09	1.04	0.87	3.13E-04	1.26	0.57
	A3	3.56E-04	3.39E-04	2.88E-04	1.09	1.03	0.88	3.28E-04	1.25	0.52
	A4	3.64E-04	3.47E-04	2.95E-04	1.08	1.04	0.88	3.35E-04	1.25	0.56
	B1	3.54E-04	3.35E-04	2.85E-04	1.09	1.03	0.88	3.25E-04	1.25	0.50
	B2	3.15E-04	2.98E-04	2.55E-04	1.09	1.03	0.88	2.89E-04	1.24	0.46
	B3	3.41E-04	3.25E-04	2.76E-04	1.09	1.04	0.88	3.14E-04	1.25	0.54
	B4	3.38E-04	3.22E-04	2.71E-04	1.09	1.04	0.87	3.10E-04	1.26	0.56
	B5	3.52E-04	3.36E-04	2.83E-04	1.09	1.04	0.87	3.24E-04	1.26	0.55
	C1	3.16E-04	3.01E-04	2.56E-04	1.09	1.03	0.88	2.91E-04	1.24	0.52
	C2	3.27E-04	3.10E-04	2.62E-04	1.09	1.04	0.88	3.00E-04	1.26	0.53
	C3	3.47E-04	3.30E-04	2.79E-04	1.09	1.03	0.88	3.19E-04	1.26	0.52
Monts d'Arree slate belt - MASB06										
BR13TH028	A1	2.83E-04	2.75E-04	2.46E-04	1.05	1.03	0.92	2.68E-04	1.16	0.62
	A2	2.82E-04	2.76E-04	2.48E-04	1.05	1.03	0.92	2.69E-04	1.15	0.69
	A3	2.75E-04	2.69E-04	2.41E-04	1.05	1.03	0.92	2.62E-04	1.15	0.67
	A4	2.77E-04	2.71E-04	2.44E-04	1.05	1.03	0.92	2.64E-04	1.14	0.64
	B1	3.07E-04	2.98E-04	2.68E-04	1.05	1.02	0.92	2.91E-04	1.15	0.57
	B2	3.25E-04	3.16E-04	2.83E-04	1.06	1.02	0.92	3.08E-04	1.16	0.56
	B3	2.84E-04	2.76E-04	2.49E-04	1.05	1.02	0.92	2.70E-04	1.15	0.55
	B4	2.74E-04	2.68E-04	2.42E-04	1.05	1.02	0.93	2.61E-04	1.14	0.61
	C1	3.21E-04	3.09E-04	2.81E-04	1.06	1.02	0.93	3.04E-04	1.14	0.42
	C2	3.03E-04	2.93E-04	2.65E-04	1.06	1.02	0.92	2.87E-04	1.15	0.51
	C3	3.05E-04	2.94E-04	2.67E-04	1.06	1.02	0.93	2.89E-04	1.14	0.44
	C4	3.08E-04	2.96E-04	2.72E-04	1.05	1.01	0.93	2.92E-04	1.14	0.37
BR13TH029	A1	4.05E-04	3.92E-04	3.31E-04	1.08	1.04	0.88	3.76E-04	1.24	0.67
	A2	3.95E-04	3.80E-04	3.20E-04	1.08	1.04	0.88	3.65E-04	1.25	0.62
	A3	4.15E-04	4.00E-04	3.36E-04	1.08	1.04	0.88	3.83E-04	1.25	0.65
	B1	4.24E-04	4.05E-04	3.40E-04	1.09	1.04	0.87	3.90E-04	1.26	0.59
	B2	4.08E-04	3.91E-04	3.31E-04	1.08	1.04	0.88	3.77E-04	1.25	0.60
	B3	4.13E-04	3.99E-04	3.34E-04	1.08	1.05	0.87	3.82E-04	1.26	0.69
	C1	4.54E-04	4.40E-04	3.70E-04	1.08	1.05	0.88	4.21E-04	1.25	0.71
	C2	4.14E-04	4.04E-04	3.44E-04	1.07	1.04	0.89	3.87E-04	1.22	0.74
	C3	4.27E-04	4.10E-04	3.44E-04	1.09	1.04	0.87	3.94E-04	1.26	0.61
	D1	5.05E-04	4.91E-04	4.17E-04	1.07	1.04	0.89	4.71E-04	1.23	0.71
	D2	5.19E-04	5.05E-04	4.31E-04	1.07	1.04	0.89	4.85E-04	1.22	0.70
	D3	4.73E-04	4.53E-04	3.83E-04	1.08	1.04	0.88	4.36E-04	1.25	0.59
	A1	3.10E-04	2.88E-04	2.74E-04	1.07	0.99	0.94	2.91E-04	1.13	-0.23

sample	spec	Eigenvalues			Normalized eigenvalues			K _m [SI]	P _J	T
		κ ₁ [SI]	κ ₂ [SI]	κ ₃ [SI]	K ₁	K ₂	K ₃			
BR13TH026	A2	2.99E-04	2.75E-04	2.66E-04	1.07	0.98	0.95	2.80E-04	1.13	-0.43
	A3	2.62E-04	2.42E-04	2.32E-04	1.07	0.99	0.95	2.45E-04	1.13	-0.33
	A4	2.98E-04	2.73E-04	2.68E-04	1.07	0.98	0.96	2.80E-04	1.12	-0.62
	B1	2.81E-04	2.60E-04	2.50E-04	1.07	0.99	0.95	2.64E-04	1.13	-0.34
	B2	2.96E-04	2.72E-04	2.63E-04	1.07	0.98	0.95	2.77E-04	1.13	-0.42
	B3	2.40E-04	2.22E-04	2.13E-04	1.07	0.99	0.95	2.25E-04	1.13	-0.34
	B4	2.85E-04	2.61E-04	2.55E-04	1.07	0.98	0.95	2.67E-04	1.12	-0.55
	C1	2.70E-04	2.50E-04	2.39E-04	1.07	0.99	0.95	2.53E-04	1.13	-0.28
	C2	3.42E-04	3.14E-04	3.03E-04	1.07	0.98	0.95	3.20E-04	1.13	-0.42
	C3	2.98E-04	2.72E-04	2.66E-04	1.07	0.98	0.96	2.79E-04	1.13	-0.64
	C4	2.94E-04	2.69E-04	2.64E-04	1.07	0.97	0.96	2.76E-04	1.12	-0.69
BR13TH025	A1	4.38E-04	4.15E-04	3.93E-04	1.05	1.00	0.95	4.15E-04	1.12	0.01
	A2	4.39E-04	4.15E-04	3.94E-04	1.06	1.00	0.95	4.16E-04	1.11	-0.04
	A3	4.49E-04	4.24E-04	4.03E-04	1.05	1.00	0.95	4.25E-04	1.11	-0.04
	A4	4.38E-04	4.15E-04	3.93E-04	1.05	1.00	0.95	4.15E-04	1.12	0.02
	B1	4.54E-04	4.30E-04	4.08E-04	1.05	1.00	0.95	4.31E-04	1.11	-0.03
	B2	4.44E-04	4.21E-04	3.97E-04	1.06	1.00	0.94	4.21E-04	1.12	0.05
	B3	4.62E-04	4.36E-04	4.15E-04	1.06	1.00	0.95	4.38E-04	1.11	-0.05
	B4	4.15E-04	3.95E-04	3.73E-04	1.05	1.00	0.95	3.94E-04	1.11	0.04
	C1	4.48E-04	4.24E-04	4.01E-04	1.05	1.00	0.95	4.25E-04	1.12	0.02
	C2	4.52E-04	4.27E-04	4.06E-04	1.05	1.00	0.95	4.28E-04	1.11	-0.07
	C3	4.43E-04	4.19E-04	3.99E-04	1.05	1.00	0.95	4.21E-04	1.11	-0.07
	C4	4.37E-04	4.15E-04	3.94E-04	1.05	1.00	0.95	4.16E-04	1.11	0.00
BR13TH027	A1	3.48E-04	3.33E-04	3.20E-04	1.04	1.00	0.96	3.34E-04	1.09	-0.03
	A2	3.63E-04	3.43E-04	3.29E-04	1.05	0.99	0.95	3.45E-04	1.10	-0.16
	A3	3.57E-04	3.35E-04	3.21E-04	1.06	0.99	0.95	3.38E-04	1.11	-0.22
	A4	3.48E-04	3.26E-04	3.13E-04	1.06	0.99	0.95	3.29E-04	1.11	-0.23
	B1	3.31E-04	3.11E-04	2.99E-04	1.06	0.99	0.95	3.14E-04	1.11	-0.21
	B2	3.57E-04	3.35E-04	3.21E-04	1.06	0.99	0.95	3.38E-04	1.11	-0.23
	B3	3.66E-04	3.44E-04	3.30E-04	1.06	0.99	0.95	3.47E-04	1.11	-0.23
	B4	3.65E-04	3.42E-04	3.29E-04	1.06	0.99	0.95	3.45E-04	1.11	-0.25
	C1	3.45E-04	3.25E-04	3.11E-04	1.05	0.99	0.95	3.27E-04	1.11	-0.14
	C2	3.54E-04	3.32E-04	3.19E-04	1.06	0.99	0.95	3.35E-04	1.11	-0.24
	C3	3.49E-04	3.27E-04	3.16E-04	1.06	0.99	0.95	3.31E-04	1.11	-0.31
	C4	3.47E-04	3.22E-04	3.09E-04	1.06	0.99	0.95	3.26E-04	1.12	-0.29
BR13TH024	A1	3.45E-04	3.32E-04	2.90E-04	1.07	1.03	0.90	3.22E-04	1.20	0.55
	A2	3.48E-04	3.33E-04	2.92E-04	1.07	1.03	0.90	3.24E-04	1.20	0.51
	A3	3.32E-04	3.16E-04	2.78E-04	1.08	1.02	0.90	3.08E-04	1.20	0.46
	A4	3.28E-04	3.14E-04	2.76E-04	1.07	1.03	0.90	3.06E-04	1.20	0.49
	A5	3.32E-04	3.18E-04	2.78E-04	1.07	1.03	0.90	3.09E-04	1.20	0.53
	B1	3.51E-04	3.38E-04	2.95E-04	1.07	1.03	0.90	3.28E-04	1.20	0.56
	B2	3.61E-04	3.46E-04	3.02E-04	1.07	1.03	0.90	3.36E-04	1.20	0.53
	B3	3.36E-04	3.24E-04	2.83E-04	1.07	1.03	0.90	3.14E-04	1.20	0.55
	C1	3.16E-04	3.04E-04	2.66E-04	1.07	1.03	0.90	2.95E-04	1.20	0.57
	C2	3.36E-04	3.23E-04	2.81E-04	1.07	1.03	0.90	3.13E-04	1.21	0.58
	C3	3.27E-04	3.14E-04	2.75E-04	1.07	1.03	0.90	3.05E-04	1.20	0.51
	C4	3.41E-04	3.26E-04	2.86E-04	1.07	1.03	0.90	3.18E-04	1.20	0.49
Monts d'Arrée slate belt - MASB07										
BR13TH012	A1	3.75E-04	3.53E-04	3.27E-04	1.07	1.00	0.93	3.52E-04	1.15	0.13
	A2	3.63E-04	3.42E-04	3.17E-04	1.07	1.00	0.93	3.41E-04	1.15	0.11
	A3	3.67E-04	3.45E-04	3.21E-04	1.07	1.00	0.93	3.44E-04	1.14	0.06
	A4	3.55E-04	3.33E-04	3.12E-04	1.07	1.00	0.94	3.34E-04	1.14	0.03
	A5	3.65E-04	3.43E-04	3.20E-04	1.07	1.00	0.93	3.43E-04	1.14	0.07
	B1	3.89E-04	3.68E-04	3.41E-04	1.06	1.00	0.93	3.66E-04	1.14	0.14
	B2	4.04E-04	3.81E-04	3.51E-04	1.07	1.01	0.93	3.79E-04	1.15	0.19
	B3	3.84E-04	3.63E-04	3.35E-04	1.06	1.01	0.93	3.61E-04	1.15	0.18
	C1	3.91E-04	3.68E-04	3.42E-04	1.06	1.00	0.93	3.67E-04	1.14	0.11
	C2	3.78E-04	3.57E-04	3.32E-04	1.06	1.00	0.93	3.56E-04	1.14	0.13

sample	spec	Eigenvalues			Normalized eigenvalues			K_m [SI]	P_J	T
		κ_1 [SI]	κ_2 [SI]	κ_3 [SI]	K_1	K_2	K_3			
BR13 TH013	C3	3.71E-04	3.52E-04	3.28E-04	1.06	1.01	0.94	3.50E-04	1.13	0.15
	C4	3.82E-04	3.63E-04	3.36E-04	1.06	1.01	0.93	3.60E-04	1.14	0.21
	A1	4.29E-04	4.07E-04	3.79E-04	1.06	1.01	0.94	4.05E-04	1.13	0.15
	A2	3.54E-04	3.35E-04	3.15E-04	1.06	1.00	0.94	3.35E-04	1.12	0.07
	A3	3.48E-04	3.32E-04	3.07E-04	1.06	1.01	0.93	3.29E-04	1.13	0.24
	B1	4.52E-04	4.28E-04	3.99E-04	1.06	1.00	0.94	4.26E-04	1.13	0.15
	B2	3.77E-04	3.60E-04	3.34E-04	1.06	1.01	0.94	3.57E-04	1.13	0.25
	B3	2.31E-04	2.18E-04	2.04E-04	1.06	1.00	0.94	2.18E-04	1.13	0.09
	C1	3.66E-04	3.50E-04	3.27E-04	1.05	1.01	0.94	3.48E-04	1.12	0.23
	C2	2.46E-04	2.32E-04	2.20E-04	1.06	1.00	0.94	2.32E-04	1.12	-0.03
	C3	2.27E-04	2.15E-04	2.04E-04	1.05	1.00	0.95	2.16E-04	1.12	0.01
	D1	4.02E-04	3.81E-04	3.57E-04	1.06	1.00	0.94	3.80E-04	1.13	0.11
	D2	3.69E-04	3.53E-04	3.28E-04	1.05	1.01	0.94	3.50E-04	1.13	0.23
	D3	3.08E-04	2.90E-04	2.75E-04	1.06	1.00	0.95	2.91E-04	1.12	-0.06
	A1	4.89E-04	4.67E-04	4.12E-04	1.07	1.02	0.90	4.56E-04	1.19	0.47
	A2	4.87E-04	4.66E-04	4.10E-04	1.07	1.03	0.90	4.54E-04	1.20	0.51
	B1	4.84E-04	4.63E-04	4.09E-04	1.07	1.02	0.91	4.52E-04	1.19	0.47
	B2	4.96E-04	4.72E-04	4.19E-04	1.07	1.02	0.91	4.62E-04	1.19	0.43
	B3	5.07E-04	4.86E-04	4.28E-04	1.07	1.03	0.90	4.74E-04	1.19	0.49
	B4	5.10E-04	4.88E-04	4.29E-04	1.07	1.03	0.90	4.76E-04	1.20	0.48
	B5	4.93E-04	4.71E-04	4.16E-04	1.07	1.02	0.90	4.60E-04	1.19	0.46
	C1	4.85E-04	4.64E-04	4.09E-04	1.07	1.03	0.90	4.53E-04	1.19	0.49
	C2	5.07E-04	4.84E-04	4.28E-04	1.07	1.02	0.90	4.73E-04	1.19	0.46
	C3	4.97E-04	4.74E-04	4.19E-04	1.07	1.02	0.90	4.63E-04	1.19	0.45
	C4	5.03E-04	4.81E-04	4.25E-04	1.07	1.02	0.91	4.70E-04	1.19	0.46
	C5	5.07E-04	4.85E-04	4.29E-04	1.07	1.02	0.91	4.74E-04	1.19	0.46
BR13TH015	A1	4.90E-04	4.74E-04	4.32E-04	1.05	1.02	0.93	4.65E-04	1.14	0.46
	A2	4.90E-04	4.72E-04	4.32E-04	1.06	1.02	0.93	4.65E-04	1.14	0.40
	A3	4.81E-04	4.65E-04	4.22E-04	1.06	1.02	0.93	4.56E-04	1.15	0.48
	B1	4.95E-04	4.78E-04	4.36E-04	1.05	1.02	0.93	4.70E-04	1.14	0.44
	B2	4.96E-04	4.78E-04	4.37E-04	1.05	1.02	0.93	4.70E-04	1.14	0.42
	B3	4.88E-04	4.69E-04	4.29E-04	1.06	1.02	0.93	4.62E-04	1.14	0.39
	C1	4.73E-04	4.55E-04	4.16E-04	1.06	1.02	0.93	4.48E-04	1.14	0.39
	C2	4.66E-04	4.45E-04	4.08E-04	1.06	1.01	0.93	4.40E-04	1.14	0.33
	C3	4.84E-04	4.67E-04	4.26E-04	1.06	1.02	0.93	4.59E-04	1.14	0.43
	D1	4.85E-04	4.66E-04	4.27E-04	1.06	1.01	0.93	4.60E-04	1.14	0.38
	D2	4.87E-04	4.68E-04	4.28E-04	1.06	1.02	0.93	4.61E-04	1.14	0.38
	D3	4.63E-04	4.48E-04	4.07E-04	1.05	1.02	0.93	4.40E-04	1.14	0.49
BR13TH016	A1	3.11E-04	2.92E-04	2.77E-04	1.06	1.00	0.95	2.93E-04	1.12	-0.10
	A2	3.15E-04	2.98E-04	2.82E-04	1.06	1.00	0.94	2.98E-04	1.12	0.00
	A3	3.29E-04	3.11E-04	2.93E-04	1.06	1.00	0.94	3.11E-04	1.12	0.02
	A4	3.32E-04	3.10E-04	2.96E-04	1.06	0.99	0.95	3.13E-04	1.12	-0.16
	B1	3.45E-04	3.25E-04	3.05E-04	1.06	1.00	0.94	3.25E-04	1.13	0.06
	B2	3.20E-04	3.00E-04	2.86E-04	1.06	0.99	0.95	3.02E-04	1.12	-0.16
	B3	3.41E-04	3.21E-04	3.04E-04	1.06	1.00	0.94	3.22E-04	1.12	-0.04
	B4	3.38E-04	3.18E-04	3.00E-04	1.06	1.00	0.94	3.19E-04	1.13	-0.05
	C1	2.94E-04	2.76E-04	2.61E-04	1.06	1.00	0.94	2.77E-04	1.13	-0.03
	C2	2.94E-04	2.76E-04	2.62E-04	1.06	1.00	0.94	2.77E-04	1.12	-0.06
	C3	3.01E-04	2.83E-04	2.68E-04	1.06	1.00	0.94	2.84E-04	1.12	-0.08
	C4	2.92E-04	2.74E-04	2.60E-04	1.06	1.00	0.94	2.75E-04	1.12	-0.07
BR13TH017	A1	4.43E-04	4.21E-04	3.93E-04	1.06	1.00	0.94	4.19E-04	1.13	0.14
	A2	4.35E-04	4.13E-04	3.85E-04	1.06	1.01	0.94	4.11E-04	1.13	0.15
	A3	4.53E-04	4.31E-04	4.01E-04	1.06	1.01	0.94	4.28E-04	1.13	0.16
	A4	4.03E-04	3.85E-04	3.57E-04	1.06	1.01	0.94	3.82E-04	1.13	0.22
	B1	4.66E-04	4.43E-04	4.13E-04	1.06	1.01	0.94	4.41E-04	1.13	0.17
	B2	4.53E-04	4.31E-04	4.02E-04	1.06	1.01	0.94	4.29E-04	1.13	0.16
	B3	4.37E-04	4.17E-04	3.86E-04	1.06	1.01	0.93	4.13E-04	1.13	0.23
	B4	4.46E-04	4.24E-04	3.96E-04	1.06	1.00	0.94	4.22E-04	1.13	0.13

sample	spec	Eigenvalues			Normalized eigenvalues			K _m [SI]	P _J	T
		κ ₁ [SI]	κ ₂ [SI]	κ ₃ [SI]	K ₁	K ₂	K ₃			
BR13 TH017	C1	4.43E-04	4.23E-04	3.92E-04	1.06	1.01	0.93	4.19E-04	1.13	0.23
	C2	4.32E-04	4.09E-04	3.82E-04	1.06	1.00	0.94	4.08E-04	1.13	0.13
	C3	4.39E-04	4.18E-04	3.90E-04	1.06	1.01	0.94	4.16E-04	1.13	0.17
	C4	4.22E-04	4.02E-04	3.75E-04	1.06	1.01	0.94	4.00E-04	1.13	0.17
BR13TH018	A1	4.27E-04	4.04E-04	3.81E-04	1.06	1.00	0.94	4.04E-04	1.12	0.04
	A2	4.40E-04	4.16E-04	3.92E-04	1.06	1.00	0.94	4.16E-04	1.12	0.03
	B1	4.60E-04	4.35E-04	4.09E-04	1.06	1.00	0.94	4.35E-04	1.12	0.05
	B2	4.56E-04	4.31E-04	4.06E-04	1.06	1.00	0.94	4.31E-04	1.12	0.02
	B3	4.36E-04	4.16E-04	3.94E-04	1.05	1.00	0.95	4.16E-04	1.11	0.09
	B4	4.44E-04	4.20E-04	4.03E-04	1.05	0.99	0.95	4.22E-04	1.10	-0.13
	C1	4.26E-04	3.99E-04	3.82E-04	1.06	0.99	0.95	4.02E-04	1.11	-0.19
	C2	4.37E-04	4.15E-04	3.94E-04	1.05	1.00	0.95	4.16E-04	1.11	-0.02
	C3	4.26E-04	4.05E-04	3.84E-04	1.05	1.00	0.95	4.05E-04	1.11	0.02
	D1	4.30E-04	4.01E-04	3.87E-04	1.06	0.99	0.95	4.06E-04	1.11	-0.32
	D2	4.55E-04	4.29E-04	4.06E-04	1.06	1.00	0.94	4.30E-04	1.12	-0.01
	D3	4.46E-04	4.23E-04	4.01E-04	1.05	1.00	0.95	4.23E-04	1.11	0.00
BR09TH103	A1	7.67E-04	7.25E-04	6.79E-04	1.06	1.00	0.94	7.24E-04	1.13	0.08
	A2	8.68E-04	8.16E-04	7.62E-04	1.06	1.00	0.93	8.15E-04	1.14	0.06
	A4	9.34E-04	8.83E-04	8.19E-04	1.06	1.01	0.93	8.79E-04	1.14	0.15
	A3	9.03E-04	8.46E-04	7.98E-04	1.06	1.00	0.94	8.49E-04	1.13	-0.05
	A5	9.12E-04	8.64E-04	8.03E-04	1.06	1.01	0.93	8.60E-04	1.14	0.16
	B1	8.10E-04	7.61E-04	7.15E-04	1.06	1.00	0.94	7.62E-04	1.13	0.00
	B2	8.30E-04	7.81E-04	7.29E-04	1.06	1.00	0.94	7.80E-04	1.14	0.05
	B3	7.87E-04	7.42E-04	6.93E-04	1.06	1.00	0.94	7.41E-04	1.13	0.08
	C1	8.50E-04	8.00E-04	7.46E-04	1.06	1.00	0.93	7.99E-04	1.14	0.07
	C2	8.50E-04	8.05E-04	7.45E-04	1.06	1.01	0.93	8.00E-04	1.14	0.17
	C3	7.77E-04	7.34E-04	6.83E-04	1.06	1.00	0.93	7.32E-04	1.14	0.11
	C4	7.55E-04	7.15E-04	6.63E-04	1.06	1.01	0.93	7.11E-04	1.14	0.16
	C5	8.00E-04	7.53E-04	7.04E-04	1.06	1.00	0.94	7.53E-04	1.14	0.06
BR09TH107	A1	3.59E-04	3.55E-04	3.28E-04	1.03	1.02	0.94	3.47E-04	1.11	0.78
	A2	3.28E-04	3.27E-04	2.98E-04	1.03	1.03	0.94	3.18E-04	1.11	0.92
	A3	3.12E-04	3.11E-04	2.87E-04	1.03	1.02	0.95	3.03E-04	1.10	0.88
	A4	2.99E-04	2.98E-04	2.74E-04	1.03	1.03	0.94	2.90E-04	1.11	0.88
	A5	3.05E-04	2.99E-04	2.78E-04	1.04	1.02	0.95	2.94E-04	1.10	0.62
	A6	3.81E-04	3.80E-04	3.48E-04	1.03	1.03	0.94	3.70E-04	1.11	0.96
	A7	4.06E-04	4.03E-04	3.72E-04	1.03	1.02	0.94	3.94E-04	1.10	0.85
	A8	4.18E-04	4.16E-04	3.83E-04	1.03	1.02	0.94	4.06E-04	1.10	0.87
	A9	3.95E-04	3.93E-04	3.62E-04	1.03	1.03	0.94	3.83E-04	1.10	0.89
	A10	3.76E-04	3.73E-04	3.45E-04	1.03	1.02	0.95	3.65E-04	1.10	0.84
	A11	3.80E-04	3.77E-04	3.50E-04	1.03	1.02	0.95	3.69E-04	1.10	0.77
BR09TH108	A1	6.47E-04	6.37E-04	5.72E-04	1.05	1.03	0.92	6.19E-04	1.14	0.75
	A2	6.28E-04	6.19E-04	5.53E-04	1.05	1.03	0.92	6.00E-04	1.15	0.76
	A3	6.46E-04	6.36E-04	5.73E-04	1.04	1.03	0.93	6.18E-04	1.14	0.73
	A4	7.74E-04	7.72E-04	6.87E-04	1.04	1.04	0.92	7.44E-04	1.15	0.96
	B1	5.99E-04	5.86E-04	5.29E-04	1.05	1.03	0.93	5.71E-04	1.14	0.66
	B2	5.71E-04	5.61E-04	5.06E-04	1.05	1.03	0.93	5.46E-04	1.14	0.72
	B3	5.83E-04	5.73E-04	5.19E-04	1.04	1.03	0.93	5.58E-04	1.13	0.72
	B4	7.41E-04	7.35E-04	6.56E-04	1.04	1.03	0.92	7.11E-04	1.15	0.88
	C1	5.78E-04	5.64E-04	5.13E-04	1.05	1.02	0.93	5.52E-04	1.13	0.61
	C2	5.66E-04	5.52E-04	5.01E-04	1.05	1.02	0.93	5.40E-04	1.14	0.60
	C3	5.57E-04	5.46E-04	4.99E-04	1.04	1.02	0.93	5.34E-04	1.13	0.63
BR09TH111	A1	4.96E-04	4.94E-04	4.55E-04	1.03	1.03	0.94	4.82E-04	1.10	0.88
	A2	4.75E-04	4.71E-04	4.35E-04	1.03	1.02	0.95	4.60E-04	1.10	0.80
	A3	4.75E-04	4.72E-04	4.38E-04	1.03	1.02	0.95	4.62E-04	1.09	0.81
	A4	4.82E-04	4.79E-04	4.42E-04	1.03	1.02	0.95	4.68E-04	1.10	0.85
	A5	4.68E-04	4.64E-04	4.30E-04	1.03	1.02	0.95	4.54E-04	1.10	0.78
	B1	4.78E-04	4.76E-04	4.40E-04	1.03	1.02	0.95	4.65E-04	1.10	0.92
	B2	4.81E-04	4.80E-04	4.44E-04	1.03	1.02	0.95	4.68E-04	1.10	0.91

sample	spec	Eigenvalues			Normalized eigenvalues			K _m [SI]	P _J	T
		κ ₁ [SI]	κ ₂ [SI]	κ ₃ [SI]	K ₁	K ₂	K ₃			
BR09 TH111	B3	4.77E-04	4.76E-04	4.40E-04	1.03	1.02	0.95	4.64E-04	1.10	0.92
	C1	4.72E-04	4.70E-04	4.37E-04	1.03	1.02	0.95	4.60E-04	1.09	0.85
	C2	4.70E-04	4.68E-04	4.34E-04	1.03	1.02	0.95	4.57E-04	1.09	0.88
	C3	4.72E-04	4.70E-04	4.35E-04	1.03	1.02	0.95	4.59E-04	1.09	0.87
BR09TH112	A1	5.64E-04	5.52E-04	5.02E-04	1.05	1.02	0.93	5.40E-04	1.13	0.65
	A2	5.87E-04	5.73E-04	5.21E-04	1.05	1.02	0.93	5.60E-04	1.13	0.61
	A3	5.68E-04	5.56E-04	5.03E-04	1.05	1.03	0.93	5.42E-04	1.14	0.67
	A4	5.38E-04	5.29E-04	4.75E-04	1.05	1.03	0.92	5.14E-04	1.14	0.71
	A5	5.56E-04	5.45E-04	4.94E-04	1.05	1.03	0.93	5.32E-04	1.14	0.66
	B1	6.01E-04	5.91E-04	5.34E-04	1.04	1.03	0.93	5.75E-04	1.14	0.72
	B2	5.83E-04	5.70E-04	5.16E-04	1.05	1.02	0.93	5.56E-04	1.14	0.63
	B3	5.92E-04	5.82E-04	5.25E-04	1.04	1.03	0.93	5.66E-04	1.14	0.71
	B4	5.68E-04	5.59E-04	5.04E-04	1.04	1.03	0.93	5.43E-04	1.14	0.72
	B5	5.39E-04	5.31E-04	4.78E-04	1.04	1.03	0.93	5.16E-04	1.14	0.77
	B6	5.56E-04	5.46E-04	4.94E-04	1.05	1.03	0.93	5.32E-04	1.14	0.69
	C1	5.66E-04	5.56E-04	4.97E-04	1.05	1.03	0.92	5.39E-04	1.15	0.74
	C2	5.09E-04	4.99E-04	4.50E-04	1.05	1.03	0.93	4.86E-04	1.14	0.69
	C3	5.49E-04	5.38E-04	4.87E-04	1.05	1.03	0.93	5.25E-04	1.14	0.66
	C4	5.60E-04	5.48E-04	4.97E-04	1.05	1.02	0.93	5.35E-04	1.14	0.62
BR13TH019	A1	1.30E-04	1.23E-04	1.19E-04	1.05	0.99	0.96	1.24E-04	1.09	-0.29
	A2	1.39E-04	1.30E-04	1.26E-04	1.05	0.99	0.96	1.32E-04	1.10	-0.26
	A3	1.24E-04	1.18E-04	1.12E-04	1.05	1.00	0.95	1.18E-04	1.11	0.04
	A4	1.19E-04	1.12E-04	1.09E-04	1.05	0.99	0.97	1.13E-04	1.09	-0.45
	B1	1.29E-04	1.22E-04	1.15E-04	1.06	1.00	0.95	1.22E-04	1.12	0.02
	B2	1.41E-04	1.34E-04	1.28E-04	1.05	1.00	0.95	1.34E-04	1.10	-0.06
	B3	1.34E-04	1.27E-04	1.23E-04	1.05	0.99	0.96	1.28E-04	1.09	-0.19
	B4	1.32E-04	1.25E-04	1.19E-04	1.05	1.00	0.95	1.25E-04	1.11	0.01
	C1	1.30E-04	1.24E-04	1.16E-04	1.05	1.01	0.94	1.23E-04	1.12	0.17
	C2	1.39E-04	1.30E-04	1.27E-04	1.05	0.99	0.96	1.32E-04	1.09	-0.49
	C3	1.40E-04	1.30E-04	1.27E-04	1.06	0.98	0.96	1.32E-04	1.11	-0.48
	C4	1.34E-04	1.25E-04	1.22E-04	1.06	0.99	0.96	1.27E-04	1.10	-0.42
Monts d'Arree slate belt - MASB08										
BR13TH009	A1	5.22E-04	4.95E-04	4.44E-04	1.07	1.02	0.91	4.87E-04	1.18	0.35
	A2	5.36E-04	5.11E-04	4.56E-04	1.07	1.02	0.91	5.01E-04	1.18	0.40
	A3	5.08E-04	4.84E-04	4.36E-04	1.07	1.02	0.92	4.76E-04	1.17	0.34
	B1	4.93E-04	4.70E-04	4.23E-04	1.07	1.02	0.92	4.62E-04	1.17	0.38
	B2	5.04E-04	4.79E-04	4.29E-04	1.07	1.02	0.91	4.71E-04	1.18	0.37
	B3	5.16E-04	4.92E-04	4.42E-04	1.07	1.02	0.91	4.83E-04	1.17	0.38
	B4	4.98E-04	4.74E-04	4.27E-04	1.07	1.02	0.92	4.67E-04	1.17	0.36
	C1	5.00E-04	4.75E-04	4.28E-04	1.07	1.02	0.92	4.68E-04	1.17	0.35
	C2	5.04E-04	4.79E-04	4.33E-04	1.07	1.01	0.92	4.72E-04	1.17	0.33
	C3	4.86E-04	4.62E-04	4.15E-04	1.07	1.02	0.91	4.54E-04	1.18	0.37
	C4	4.99E-04	4.76E-04	4.27E-04	1.07	1.02	0.91	4.67E-04	1.17	0.38
	C5	5.23E-04	4.97E-04	4.46E-04	1.07	1.02	0.91	4.88E-04	1.18	0.36
BR13TH010	A1	4.93E-04	4.66E-04	4.18E-04	1.07	1.02	0.91	4.59E-04	1.18	0.33
	A2	5.22E-04	4.94E-04	4.47E-04	1.07	1.01	0.92	4.87E-04	1.17	0.29
	A3	5.43E-04	5.11E-04	4.65E-04	1.07	1.01	0.92	5.06E-04	1.17	0.23
	A4	5.27E-04	4.97E-04	4.53E-04	1.07	1.01	0.92	4.92E-04	1.17	0.21
	A5	5.05E-04	4.80E-04	4.32E-04	1.07	1.02	0.91	4.72E-04	1.17	0.36
	B1	5.03E-04	4.76E-04	4.32E-04	1.07	1.01	0.92	4.70E-04	1.17	0.26
	B2	5.38E-04	5.10E-04	4.60E-04	1.07	1.01	0.91	5.03E-04	1.17	0.32
	B3	5.28E-04	5.01E-04	4.54E-04	1.07	1.01	0.92	4.94E-04	1.17	0.30
	B4	5.08E-04	4.82E-04	4.33E-04	1.07	1.02	0.91	4.74E-04	1.18	0.35
	C1	5.20E-04	4.91E-04	4.48E-04	1.07	1.01	0.92	4.86E-04	1.16	0.24
	C2	4.79E-04	4.56E-04	4.14E-04	1.07	1.01	0.92	4.50E-04	1.16	0.32
BR13 TH011	A1	5.15E-04	4.83E-04	4.34E-04	1.08	1.01	0.91	4.78E-04	1.19	0.26
	A2	5.14E-04	4.83E-04	4.33E-04	1.08	1.01	0.91	4.77E-04	1.19	0.27
	A3	5.22E-04	4.89E-04	4.41E-04	1.08	1.01	0.91	4.84E-04	1.19	0.23

sample	spec	Eigenvalues			Normalized eigenvalues			K _m [SI]	P _J	T
		κ ₁ [SI]	κ ₂ [SI]	κ ₃ [SI]	K ₁	K ₂	K ₃			
BR13TH011	B1	4.76E-04	4.49E-04	4.00E-04	1.08	1.02	0.91	4.42E-04	1.20	0.32
	B2	5.20E-04	4.86E-04	4.38E-04	1.08	1.01	0.91	4.81E-04	1.19	0.23
	B3	5.41E-04	5.06E-04	4.57E-04	1.08	1.01	0.91	5.01E-04	1.18	0.21
	C1	4.44E-04	4.17E-04	3.73E-04	1.08	1.01	0.91	4.11E-04	1.19	0.29
	C2	5.26E-04	4.93E-04	4.41E-04	1.08	1.01	0.91	4.87E-04	1.19	0.27
	C3	4.74E-04	4.48E-04	4.00E-04	1.08	1.02	0.91	4.41E-04	1.19	0.32
	D1	4.82E-04	4.56E-04	4.04E-04	1.08	1.02	0.90	4.48E-04	1.20	0.35
	D2	4.75E-04	4.45E-04	3.99E-04	1.08	1.01	0.91	4.40E-04	1.19	0.26
	D3	4.99E-04	4.71E-04	4.19E-04	1.08	1.02	0.91	4.63E-04	1.19	0.33
Monts d'Arrée slate belt - MASB09										
BR13TH021	A1	3.97E-04	3.65E-04	3.43E-04	1.08	0.99	0.93	3.68E-04	1.16	-0.15
	A2	4.68E-04	4.36E-04	4.10E-04	1.07	1.00	0.94	4.38E-04	1.14	-0.08
	A3	4.44E-04	4.10E-04	3.90E-04	1.07	0.99	0.94	4.15E-04	1.14	-0.20
	B1	3.95E-04	3.67E-04	3.43E-04	1.07	1.00	0.93	3.68E-04	1.15	-0.06
	B2	4.06E-04	3.75E-04	3.52E-04	1.07	0.99	0.93	3.78E-04	1.15	-0.08
	B3	4.27E-04	3.92E-04	3.74E-04	1.07	0.99	0.94	3.98E-04	1.14	-0.30
	C1	4.20E-04	3.90E-04	3.64E-04	1.07	1.00	0.93	3.91E-04	1.16	-0.03
	C2	4.87E-04	4.50E-04	4.21E-04	1.08	0.99	0.93	4.53E-04	1.16	-0.09
	C3	4.60E-04	4.27E-04	4.01E-04	1.07	0.99	0.93	4.29E-04	1.15	-0.09
	D1	4.58E-04	4.26E-04	3.96E-04	1.07	1.00	0.93	4.27E-04	1.15	0.00
	D2	4.21E-04	3.90E-04	3.67E-04	1.07	0.99	0.94	3.93E-04	1.15	-0.11
	D3	3.80E-04	3.50E-04	3.34E-04	1.07	0.99	0.94	3.55E-04	1.14	-0.27
BR13TH022	A1	3.24E-04	2.99E-04	2.83E-04	1.07	0.99	0.94	3.02E-04	1.15	-0.19
	A2	3.16E-04	2.94E-04	2.76E-04	1.07	0.99	0.93	2.95E-04	1.15	-0.09
	A3	3.16E-04	2.93E-04	2.74E-04	1.07	0.99	0.93	2.94E-04	1.15	-0.08
	B1	3.31E-04	3.07E-04	2.87E-04	1.07	1.00	0.93	3.08E-04	1.15	-0.07
	B2	3.21E-04	2.98E-04	2.79E-04	1.07	1.00	0.93	3.00E-04	1.15	-0.07
	B3	3.34E-04	3.10E-04	2.91E-04	1.07	0.99	0.93	3.12E-04	1.15	-0.09
	C1	3.42E-04	3.17E-04	2.97E-04	1.07	0.99	0.93	3.19E-04	1.15	-0.08
	C2	3.29E-04	3.06E-04	2.87E-04	1.07	1.00	0.93	3.07E-04	1.15	-0.07
	C3	3.32E-04	3.08E-04	2.89E-04	1.07	1.00	0.93	3.10E-04	1.15	-0.07
	D1	3.26E-04	3.02E-04	2.84E-04	1.07	0.99	0.93	3.04E-04	1.15	-0.10
	D2	3.16E-04	2.94E-04	2.76E-04	1.07	0.99	0.94	2.95E-04	1.14	-0.09
	D3	3.38E-04	3.12E-04	2.93E-04	1.08	0.99	0.93	3.15E-04	1.16	-0.10
BR13TH023	A1	3.48E-04	3.22E-04	3.00E-04	1.08	1.00	0.93	3.23E-04	1.16	-0.05
	A2	3.43E-04	3.16E-04	2.96E-04	1.08	0.99	0.93	3.18E-04	1.16	-0.12
	B1	3.28E-04	3.01E-04	2.84E-04	1.08	0.99	0.93	3.05E-04	1.16	-0.19
	B2	3.23E-04	3.03E-04	2.82E-04	1.07	1.00	0.93	3.02E-04	1.15	0.06
	B3	3.46E-04	3.25E-04	3.01E-04	1.07	1.00	0.93	3.24E-04	1.15	0.09
Monts d'Arrée slate belt - MASB10										
BR13TH034	A1	3.88E-04	3.67E-04	3.15E-04	1.09	1.03	0.88	3.57E-04	1.24	0.46
	A2	3.81E-04	3.61E-04	3.09E-04	1.09	1.03	0.88	3.50E-04	1.24	0.48
	A3	4.09E-04	3.88E-04	3.34E-04	1.08	1.03	0.89	3.77E-04	1.23	0.49
	A4	4.08E-04	3.86E-04	3.32E-04	1.09	1.03	0.88	3.75E-04	1.24	0.46
	B1	3.86E-04	3.64E-04	3.12E-04	1.09	1.03	0.88	3.54E-04	1.25	0.45
	B2	4.00E-04	3.80E-04	3.26E-04	1.09	1.03	0.88	3.68E-04	1.24	0.50
	B3	3.95E-04	3.76E-04	3.21E-04	1.09	1.03	0.88	3.64E-04	1.24	0.52
	B4	4.17E-04	3.98E-04	3.39E-04	1.08	1.04	0.88	3.85E-04	1.25	0.55
	C1	4.22E-04	4.01E-04	3.42E-04	1.09	1.03	0.88	3.88E-04	1.24	0.51
	C2	4.39E-04	4.15E-04	3.55E-04	1.09	1.03	0.88	4.03E-04	1.25	0.48
	C3	4.12E-04	3.92E-04	3.36E-04	1.08	1.03	0.88	3.80E-04	1.24	0.52
	C4	4.12E-04	3.92E-04	3.37E-04	1.08	1.03	0.89	3.81E-04	1.23	0.50
BR13TH035	A1	4.44E-04	4.18E-04	3.70E-04	1.08	1.02	0.90	4.11E-04	1.21	0.35
	A2	4.52E-04	4.25E-04	3.72E-04	1.09	1.02	0.89	4.16E-04	1.22	0.35
	A3	4.46E-04	4.19E-04	3.73E-04	1.08	1.02	0.90	4.12E-04	1.20	0.31
	A4	4.24E-04	3.98E-04	3.54E-04	1.08	1.02	0.90	3.92E-04	1.20	0.30
	A5	4.36E-04	4.09E-04	3.64E-04	1.08	1.01	0.90	4.03E-04	1.20	0.29
	A6	4.33E-04	4.06E-04	3.61E-04	1.08	1.01	0.90	4.00E-04	1.20	0.27

sample	spec	Eigenvalues			Normalized eigenvalues			K_m [SI]	P_J	T
		κ_1 [SI]	κ_2 [SI]	κ_3 [SI]	K_1	K_2	K_3			
BR13TH035	B1	4.36E-04	4.09E-04	3.61E-04	1.08	1.02	0.90	4.02E-04	1.21	0.32
	B2	4.31E-04	4.04E-04	3.58E-04	1.08	1.02	0.90	3.98E-04	1.21	0.31
	B3	4.28E-04	4.02E-04	3.56E-04	1.08	1.02	0.90	3.95E-04	1.21	0.33
	B4	4.26E-04	3.99E-04	3.53E-04	1.09	1.02	0.90	3.93E-04	1.21	0.30
	B5	4.32E-04	4.06E-04	3.59E-04	1.08	1.02	0.90	3.99E-04	1.21	0.33
	B6	4.68E-04	4.37E-04	3.88E-04	1.09	1.01	0.90	4.31E-04	1.21	0.27
Montagnes Noires slate belt - MNSB01										
BR13TH001	A1	7.03E-04	6.70E-04	5.90E-04	1.07	1.02	0.90	6.54E-04	1.20	0.45
	A2	7.08E-04	6.71E-04	5.88E-04	1.08	1.02	0.90	6.56E-04	1.21	0.41
	A3	7.17E-04	6.83E-04	5.98E-04	1.08	1.03	0.90	6.66E-04	1.21	0.46
	A4	7.23E-04	6.86E-04	6.06E-04	1.08	1.02	0.90	6.72E-04	1.20	0.41
	A5	7.07E-04	6.77E-04	5.90E-04	1.07	1.03	0.90	6.58E-04	1.21	0.52
	A6	6.89E-04	6.56E-04	5.74E-04	1.08	1.02	0.90	6.40E-04	1.21	0.45
	A7	7.36E-04	6.98E-04	6.13E-04	1.08	1.02	0.90	6.83E-04	1.21	0.41
	B1	6.96E-04	6.61E-04	5.81E-04	1.08	1.02	0.90	6.46E-04	1.20	0.42
	B2	6.88E-04	6.54E-04	5.73E-04	1.08	1.02	0.90	6.38E-04	1.21	0.44
	B3	6.78E-04	6.44E-04	5.65E-04	1.08	1.02	0.90	6.29E-04	1.21	0.45
	B4	7.54E-04	7.18E-04	6.30E-04	1.08	1.02	0.90	7.01E-04	1.20	0.45
	B5	7.00E-04	6.65E-04	5.84E-04	1.08	1.02	0.90	6.50E-04	1.21	0.43
BR13TH002	A1	6.36E-04	6.04E-04	5.28E-04	1.08	1.03	0.90	5.89E-04	1.21	0.46
	A2	6.40E-04	6.10E-04	5.31E-04	1.08	1.03	0.89	5.94E-04	1.21	0.47
	A3	6.20E-04	5.90E-04	5.14E-04	1.08	1.03	0.89	5.75E-04	1.21	0.46
	B1	6.14E-04	5.82E-04	5.09E-04	1.08	1.02	0.90	5.68E-04	1.21	0.44
	B2	6.26E-04	5.95E-04	5.19E-04	1.08	1.03	0.89	5.80E-04	1.21	0.46
	B3	6.16E-04	5.85E-04	5.11E-04	1.08	1.02	0.90	5.71E-04	1.21	0.44
	C1	5.96E-04	5.66E-04	4.96E-04	1.08	1.02	0.90	5.53E-04	1.21	0.44
	C2	6.01E-04	5.71E-04	4.99E-04	1.08	1.03	0.90	5.57E-04	1.21	0.46
	C3	6.31E-04	5.99E-04	5.24E-04	1.08	1.02	0.90	5.85E-04	1.21	0.44
	C4	6.61E-04	6.26E-04	5.47E-04	1.08	1.02	0.89	6.11E-04	1.22	0.42
BR13TH003	A1	6.64E-04	6.34E-04	5.53E-04	1.08	1.03	0.90	6.17E-04	1.21	0.49
	A2	6.41E-04	6.09E-04	5.34E-04	1.08	1.02	0.90	5.95E-04	1.21	0.44
	B1	6.61E-04	6.29E-04	5.50E-04	1.08	1.03	0.90	6.14E-04	1.21	0.47
	B2	6.45E-04	6.13E-04	5.37E-04	1.08	1.03	0.90	5.98E-04	1.21	0.46
	B3	6.52E-04	6.21E-04	5.44E-04	1.08	1.02	0.90	6.06E-04	1.20	0.46
	C1	6.71E-04	6.38E-04	5.59E-04	1.08	1.02	0.90	6.22E-04	1.21	0.45
	C2	6.59E-04	6.25E-04	5.50E-04	1.08	1.02	0.90	6.12E-04	1.20	0.42
	C3	6.24E-04	5.93E-04	5.21E-04	1.08	1.02	0.90	5.79E-04	1.21	0.44
	C4	6.47E-04	6.16E-04	5.40E-04	1.08	1.03	0.90	6.01E-04	1.21	0.47
	D1	6.49E-04	6.18E-04	5.43E-04	1.08	1.02	0.90	6.03E-04	1.20	0.44
	D2	6.68E-04	6.36E-04	5.59E-04	1.08	1.02	0.90	6.21E-04	1.20	0.45
	D3	6.80E-04	6.47E-04	5.69E-04	1.08	1.02	0.90	6.32E-04	1.20	0.43
BR13TH004	A1	8.27E-04	7.53E-04	6.91E-04	1.09	1.00	0.91	7.57E-04	1.20	-0.03
	A2	8.17E-04	7.51E-04	6.87E-04	1.09	1.00	0.91	7.52E-04	1.19	0.02
	A3	8.35E-04	7.63E-04	6.96E-04	1.09	1.00	0.91	7.65E-04	1.20	0.00
	A4	8.12E-04	7.40E-04	6.78E-04	1.09	1.00	0.91	7.43E-04	1.20	-0.03
	B1	6.82E-04	6.31E-04	5.72E-04	1.09	1.00	0.91	6.28E-04	1.19	0.12
	B2	7.98E-04	7.31E-04	6.73E-04	1.09	1.00	0.92	7.34E-04	1.18	-0.03
	B3	8.06E-04	7.37E-04	6.76E-04	1.09	1.00	0.91	7.40E-04	1.19	-0.01
	B4	8.55E-04	7.81E-04	7.17E-04	1.09	1.00	0.91	7.84E-04	1.19	-0.02
	B5	8.64E-04	7.88E-04	7.24E-04	1.09	1.00	0.91	7.92E-04	1.19	-0.03
	B6	8.21E-04	7.48E-04	6.91E-04	1.09	0.99	0.92	7.53E-04	1.19	-0.08
	C1	8.10E-04	7.39E-04	6.80E-04	1.09	0.99	0.92	7.43E-04	1.19	-0.05
	C2	7.93E-04	7.26E-04	6.61E-04	1.09	1.00	0.91	7.27E-04	1.20	0.02
BR13TH005	A1	7.50E-04	6.92E-04	6.30E-04	1.09	1.00	0.91	6.91E-04	1.19	0.08
	A2	6.59E-04	6.08E-04	5.58E-04	1.08	1.00	0.92	6.09E-04	1.18	0.03
	A3	7.82E-04	7.19E-04	6.62E-04	1.08	1.00	0.92	7.21E-04	1.18	-0.01
	A4	7.23E-04	6.69E-04	6.11E-04	1.08	1.00	0.92	6.68E-04	1.18	0.07
	A5	7.62E-04	6.97E-04	6.46E-04	1.09	0.99	0.92	7.02E-04	1.18	-0.09

sample	spec	Eigenvalues			Normalized eigenvalues			K_m [SI]	P_J	T
		κ_1 [SI]	κ_2 [SI]	κ_3 [SI]	K_1	K_2	K_3			
BR13TH005	B1	7.49E-04	6.88E-04	6.33E-04	1.09	1.00	0.92	6.90E-04	1.18	-0.01
	B2	7.48E-04	6.90E-04	6.32E-04	1.08	1.00	0.92	6.90E-04	1.18	0.05
	B3	6.39E-04	5.90E-04	5.43E-04	1.08	1.00	0.92	5.91E-04	1.18	0.02
	C1	7.75E-04	7.16E-04	6.52E-04	1.08	1.00	0.91	7.14E-04	1.19	0.08
	C2	8.46E-04	7.81E-04	7.13E-04	1.08	1.00	0.91	7.80E-04	1.19	0.06
	C3	7.84E-04	7.20E-04	6.63E-04	1.09	1.00	0.92	7.22E-04	1.18	-0.02
	C4	7.67E-04	7.10E-04	6.49E-04	1.08	1.00	0.92	7.09E-04	1.18	0.06
Montagnes Noires slate belt - MNSB02										
BR13TH006	A1	6.44E-04	6.02E-04	5.28E-04	1.09	1.02	0.89	5.92E-04	1.22	0.33
	A2	6.86E-04	6.38E-04	5.60E-04	1.09	1.02	0.89	6.28E-04	1.23	0.29
	A3	6.71E-04	6.24E-04	5.48E-04	1.09	1.02	0.89	6.14E-04	1.23	0.29
	A4	6.55E-04	6.09E-04	5.37E-04	1.09	1.02	0.89	6.00E-04	1.22	0.28
	A5	6.43E-04	6.03E-04	5.20E-04	1.09	1.02	0.88	5.89E-04	1.24	0.39
	B1	6.99E-04	6.57E-04	5.65E-04	1.09	1.03	0.88	6.40E-04	1.24	0.42
	B2	7.02E-04	6.62E-04	5.65E-04	1.09	1.03	0.88	6.43E-04	1.25	0.46
	B3	6.68E-04	6.32E-04	5.36E-04	1.09	1.03	0.88	6.12E-04	1.26	0.49
	B4	5.67E-04	5.38E-04	4.58E-04	1.09	1.03	0.88	5.21E-04	1.25	0.50
	C1	6.48E-04	6.08E-04	5.24E-04	1.09	1.03	0.88	5.93E-04	1.24	0.41
	C2	6.76E-04	6.33E-04	5.45E-04	1.09	1.02	0.88	6.18E-04	1.25	0.38
	C3	6.75E-04	6.30E-04	5.43E-04	1.10	1.02	0.88	6.16E-04	1.25	0.36
BR13TH007	A1	6.63E-04	5.94E-04	5.49E-04	1.10	0.99	0.91	6.02E-04	1.21	-0.15
	A2	5.83E-04	5.24E-04	4.82E-04	1.10	0.99	0.91	5.30E-04	1.21	-0.12
	A3	5.97E-04	5.36E-04	4.95E-04	1.10	0.99	0.91	5.43E-04	1.21	-0.16
	B1	6.35E-04	5.68E-04	5.26E-04	1.10	0.99	0.91	5.76E-04	1.21	-0.17
	B2	5.93E-04	5.33E-04	4.92E-04	1.10	0.99	0.91	5.39E-04	1.21	-0.15
	B3	6.49E-04	5.81E-04	5.39E-04	1.10	0.99	0.91	5.89E-04	1.20	-0.20
	C1	6.53E-04	5.87E-04	5.41E-04	1.10	0.99	0.91	5.94E-04	1.21	-0.14
	C2	5.88E-04	5.26E-04	4.87E-04	1.10	0.99	0.91	5.34E-04	1.21	-0.17
	C3	6.53E-04	5.83E-04	5.41E-04	1.10	0.98	0.91	5.92E-04	1.21	-0.19
	D1	6.54E-04	5.86E-04	5.43E-04	1.10	0.99	0.91	5.94E-04	1.21	-0.18
	D2	6.69E-04	6.00E-04	5.57E-04	1.10	0.99	0.91	6.09E-04	1.20	-0.18
	D3	6.35E-04	5.69E-04	5.28E-04	1.10	0.99	0.91	5.78E-04	1.20	-0.20
BR13TH008	A1	3.99E-04	3.68E-04	3.22E-04	1.10	1.01	0.89	3.63E-04	1.24	0.24
	A2	3.78E-04	3.56E-04	3.11E-04	1.09	1.02	0.89	3.48E-04	1.22	0.38
	A3	3.58E-04	3.34E-04	2.91E-04	1.09	1.02	0.89	3.28E-04	1.23	0.34
	A4	3.64E-04	3.42E-04	2.97E-04	1.09	1.02	0.89	3.34E-04	1.23	0.40
	B1	4.71E-04	4.40E-04	3.85E-04	1.09	1.02	0.89	4.32E-04	1.23	0.34
	B2	4.09E-04	3.85E-04	3.36E-04	1.09	1.02	0.89	3.77E-04	1.22	0.38
	B3	4.02E-04	3.78E-04	3.29E-04	1.09	1.02	0.89	3.70E-04	1.23	0.37
	B4	3.69E-04	3.47E-04	3.01E-04	1.09	1.02	0.89	3.39E-04	1.23	0.40
	B5	3.67E-04	3.45E-04	2.99E-04	1.09	1.02	0.89	3.37E-04	1.23	0.40
	C1	5.73E-04	5.28E-04	4.70E-04	1.09	1.01	0.90	5.24E-04	1.22	0.17
	C2	4.05E-04	3.80E-04	3.31E-04	1.09	1.02	0.89	3.72E-04	1.23	0.39
	C3	3.71E-04	3.48E-04	3.03E-04	1.09	1.02	0.89	3.41E-04	1.23	0.39
Montagnes Noires slate belt - MNSB03										
BR09TH149	A1	6.83E-04	6.56E-04	5.87E-04	1.06	1.02	0.91	6.42E-04	1.17	0.47
	A2	7.08E-04	6.80E-04	6.07E-04	1.06	1.02	0.91	6.65E-04	1.17	0.48
	B1	7.34E-04	7.01E-04	6.27E-04	1.07	1.02	0.91	6.88E-04	1.18	0.41
	B2	7.83E-04	7.50E-04	6.75E-04	1.06	1.02	0.92	7.36E-04	1.17	0.41
	C1	6.17E-04	5.85E-04	5.27E-04	1.07	1.01	0.91	5.77E-04	1.17	0.32
BR09TH142	A1	4.93E-04	4.66E-04	4.31E-04	1.06	1.01	0.93	4.63E-04	1.14	0.16
	A2	5.07E-04	4.79E-04	4.44E-04	1.06	1.00	0.93	4.77E-04	1.14	0.14
	A3	5.02E-04	4.75E-04	4.37E-04	1.07	1.01	0.93	4.71E-04	1.15	0.18
	A4	5.10E-04	4.81E-04	4.44E-04	1.07	1.01	0.93	4.79E-04	1.15	0.16
	A5	5.13E-04	4.84E-04	4.44E-04	1.07	1.01	0.92	4.81E-04	1.16	0.20
	A6	4.83E-04	4.55E-04	4.19E-04	1.07	1.01	0.93	4.52E-04	1.15	0.17
	B1	5.08E-04	4.79E-04	4.43E-04	1.07	1.01	0.93	4.77E-04	1.15	0.16
	B2	5.13E-04	4.87E-04	4.49E-04	1.06	1.01	0.93	4.83E-04	1.14	0.21

sample	spec	Eigenvalues			Normalized eigenvalues			K_m [SI]	P_J	T
		κ_1 [SI]	κ_2 [SI]	κ_3 [SI]	K_1	K_2	K_3			
BR09TH142	B3	4.95E-04	4.69E-04	4.36E-04	1.06	1.00	0.93	4.67E-04	1.14	0.14
	B4	5.50E-04	5.20E-04	4.81E-04	1.06	1.01	0.93	5.17E-04	1.14	0.16
	B5	4.94E-04	4.66E-04	4.29E-04	1.07	1.01	0.93	4.63E-04	1.15	0.17
	B6	4.71E-04	4.44E-04	4.12E-04	1.06	1.00	0.93	4.42E-04	1.14	0.14
	B7	5.04E-04	4.75E-04	4.36E-04	1.07	1.01	0.93	4.72E-04	1.16	0.16
	B8	4.89E-04	4.60E-04	4.21E-04	1.07	1.01	0.92	4.57E-04	1.16	0.19
	B9	5.31E-04	5.00E-04	4.60E-04	1.07	1.01	0.93	4.97E-04	1.16	0.15
BR09TH144	A1	5.96E-04	5.59E-04	5.31E-04	1.06	0.99	0.94	5.62E-04	1.12	-0.11
	A2	6.95E-04	6.52E-04	6.10E-04	1.07	1.00	0.93	6.52E-04	1.14	0.03
	B1	6.29E-04	5.96E-04	5.57E-04	1.06	1.00	0.94	5.94E-04	1.13	0.11
	B2	6.08E-04	5.72E-04	5.32E-04	1.07	1.00	0.93	5.71E-04	1.14	0.08
BR09TH143	A1	5.63E-04	5.22E-04	4.90E-04	1.07	0.99	0.93	5.25E-04	1.15	-0.08
	B1	6.15E-04	5.73E-04	5.34E-04	1.07	1.00	0.93	5.74E-04	1.15	0.00
	B2	6.22E-04	5.85E-04	5.46E-04	1.06	1.00	0.93	5.84E-04	1.14	0.07
	C1	6.49E-04	6.10E-04	5.66E-04	1.07	1.00	0.93	6.08E-04	1.15	0.09
	C2	6.24E-04	5.90E-04	5.49E-04	1.06	1.00	0.93	5.88E-04	1.14	0.13
	D1	6.02E-04	5.64E-04	5.25E-04	1.07	1.00	0.93	5.64E-04	1.15	0.05
	D2	6.11E-04	5.75E-04	5.35E-04	1.07	1.00	0.93	5.74E-04	1.14	0.08
	E1	6.49E-04	6.06E-04	5.64E-04	1.07	1.00	0.93	6.06E-04	1.15	0.02
	E2	7.24E-04	6.83E-04	6.29E-04	1.07	1.01	0.93	6.78E-04	1.15	0.18
	F1	7.11E-04	6.67E-04	6.24E-04	1.07	1.00	0.94	6.67E-04	1.14	0.01
	F2	7.85E-04	7.40E-04	6.88E-04	1.06	1.00	0.93	7.38E-04	1.14	0.11
BR09TH148	A1	5.23E-04	4.96E-04	4.44E-04	1.07	1.02	0.91	4.88E-04	1.18	0.34
	A2	5.19E-04	4.93E-04	4.42E-04	1.07	1.02	0.91	4.85E-04	1.18	0.37
	A3	5.05E-04	4.75E-04	4.27E-04	1.08	1.01	0.91	4.69E-04	1.19	0.27
	A4	5.19E-04	4.93E-04	4.37E-04	1.07	1.02	0.90	4.83E-04	1.19	0.40
	A5	4.80E-04	4.59E-04	4.09E-04	1.07	1.02	0.91	4.49E-04	1.18	0.44
	B1	6.27E-04	5.97E-04	5.24E-04	1.08	1.02	0.90	5.83E-04	1.20	0.45
	B2	5.80E-04	5.56E-04	4.92E-04	1.07	1.02	0.91	5.43E-04	1.19	0.49
	B3	5.69E-04	5.42E-04	4.80E-04	1.07	1.02	0.91	5.30E-04	1.19	0.42
	B4	5.52E-04	5.28E-04	4.68E-04	1.07	1.02	0.91	5.16E-04	1.19	0.45
	B5	5.30E-04	5.03E-04	4.51E-04	1.07	1.02	0.91	4.95E-04	1.18	0.36
	B6	5.32E-04	5.04E-04	4.52E-04	1.07	1.02	0.91	4.96E-04	1.18	0.34
	C1	5.48E-04	5.21E-04	4.59E-04	1.08	1.02	0.90	5.09E-04	1.20	0.41
	C2	5.50E-04	5.27E-04	4.64E-04	1.07	1.03	0.90	5.14E-04	1.19	0.48
	C3	5.78E-04	5.50E-04	4.88E-04	1.07	1.02	0.91	5.39E-04	1.19	0.43
	C4	5.60E-04	5.35E-04	4.72E-04	1.07	1.02	0.90	5.22E-04	1.19	0.46
BR09TH151	A1	4.34E-04	4.01E-04	3.81E-04	1.07	0.99	0.94	4.06E-04	1.14	-0.21
	A2	4.09E-04	3.79E-04	3.59E-04	1.07	0.99	0.94	3.82E-04	1.14	-0.17
	A3	3.56E-04	3.30E-04	3.13E-04	1.07	0.99	0.94	3.33E-04	1.14	-0.18
	A4	3.77E-04	3.47E-04	3.28E-04	1.07	0.99	0.94	3.51E-04	1.15	-0.17
	B1	4.77E-04	4.42E-04	4.19E-04	1.07	0.99	0.94	4.46E-04	1.14	-0.17
	B2	4.54E-04	4.22E-04	3.97E-04	1.07	0.99	0.94	4.24E-04	1.14	-0.11
	B3	4.48E-04	4.15E-04	3.92E-04	1.07	0.99	0.94	4.18E-04	1.14	-0.14
	B4	4.47E-04	4.15E-04	3.90E-04	1.07	1.00	0.94	4.18E-04	1.14	-0.07
	C1	4.31E-04	3.99E-04	3.77E-04	1.07	0.99	0.94	4.02E-04	1.14	-0.16
	C2	4.27E-04	3.95E-04	3.74E-04	1.07	0.99	0.94	3.99E-04	1.14	-0.16
	C3	4.29E-04	3.97E-04	3.76E-04	1.07	0.99	0.94	4.01E-04	1.14	-0.16
	C4	4.20E-04	3.88E-04	3.68E-04	1.07	0.99	0.94	3.92E-04	1.14	-0.21
BR09TH150	A1	4.51E-04	4.19E-04	3.96E-04	1.07	0.99	0.94	4.22E-04	1.14	-0.13
	A2	5.22E-04	4.88E-04	4.57E-04	1.07	1.00	0.93	4.89E-04	1.14	-0.01
	A3	5.09E-04	4.74E-04	4.44E-04	1.07	1.00	0.93	4.76E-04	1.15	-0.05
	A6	4.71E-04	4.38E-04	4.13E-04	1.07	0.99	0.94	4.41E-04	1.14	-0.11
	A7	4.99E-04	4.64E-04	4.37E-04	1.07	0.99	0.94	4.67E-04	1.14	-0.09
	B1	4.38E-04	4.10E-04	3.83E-04	1.07	1.00	0.93	4.11E-04	1.14	0.02
	B2	5.18E-04	4.85E-04	4.53E-04	1.07	1.00	0.93	4.85E-04	1.14	0.01
	B3	5.07E-04	4.71E-04	4.44E-04	1.07	0.99	0.94	4.74E-04	1.14	-0.10
	B4	5.34E-04	4.99E-04	4.69E-04	1.07	1.00	0.94	5.01E-04	1.14	-0.04

sample	spec	Eigenvalues			Normalized eigenvalues			K_m [SI]	P_J	T
		κ_1 [SI]	κ_2 [SI]	κ_3 [SI]	K_1	K_2	K_3			
BR09 TH150	B5	5.04E-04	4.69E-04	4.44E-04	1.07	0.99	0.94	4.72E-04	1.13	-0.15
	B6	4.83E-04	4.49E-04	4.24E-04	1.07	0.99	0.94	4.52E-04	1.14	-0.11
	B7	5.01E-04	4.67E-04	4.40E-04	1.07	0.99	0.94	4.69E-04	1.14	-0.09
BR09TH152	A1	4.18E-04	3.94E-04	3.53E-04	1.08	1.01	0.91	3.88E-04	1.18	0.29
	A2	3.75E-04	3.52E-04	3.18E-04	1.08	1.01	0.91	3.49E-04	1.18	0.24
	A3	3.70E-04	3.47E-04	3.16E-04	1.08	1.01	0.92	3.44E-04	1.17	0.18
	B1	4.48E-04	4.23E-04	3.84E-04	1.07	1.01	0.92	4.18E-04	1.17	0.24
	B2	4.48E-04	4.22E-04	3.84E-04	1.07	1.01	0.92	4.18E-04	1.17	0.22
	B3	4.24E-04	3.99E-04	3.60E-04	1.08	1.01	0.91	3.94E-04	1.18	0.26
	B4	4.15E-04	3.91E-04	3.51E-04	1.08	1.01	0.91	3.86E-04	1.18	0.28
	C1	4.78E-04	4.48E-04	4.07E-04	1.08	1.01	0.92	4.44E-04	1.18	0.19
	C2	4.80E-04	4.50E-04	4.10E-04	1.08	1.01	0.92	4.47E-04	1.17	0.17
	C3	4.37E-04	4.07E-04	3.71E-04	1.08	1.01	0.92	4.05E-04	1.18	0.14
	C4	3.82E-04	3.59E-04	3.24E-04	1.08	1.01	0.91	3.55E-04	1.18	0.23
	D1	4.55E-04	4.26E-04	3.90E-04	1.07	1.00	0.92	4.24E-04	1.17	0.13
	D2	4.48E-04	4.21E-04	3.81E-04	1.07	1.01	0.92	4.17E-04	1.18	0.22
	D3	4.41E-04	4.13E-04	3.75E-04	1.08	1.01	0.92	4.10E-04	1.18	0.21
	D4	4.41E-04	4.14E-04	3.77E-04	1.07	1.01	0.92	4.11E-04	1.17	0.17
BR09TH153	A1	4.82E-04	4.52E-04	4.12E-04	1.07	1.01	0.92	4.49E-04	1.17	0.18
	A2	5.27E-04	4.96E-04	4.53E-04	1.07	1.01	0.92	4.92E-04	1.17	0.19
	A3	5.62E-04	5.30E-04	4.84E-04	1.07	1.01	0.92	5.25E-04	1.16	0.21
	A4	5.75E-04	5.43E-04	4.94E-04	1.07	1.01	0.92	5.38E-04	1.17	0.24
	A5	6.15E-04	5.79E-04	5.26E-04	1.07	1.01	0.92	5.73E-04	1.17	0.23
	A6	5.70E-04	5.36E-04	4.87E-04	1.07	1.01	0.92	5.31E-04	1.17	0.21
	A7	5.39E-04	5.08E-04	4.58E-04	1.07	1.01	0.91	5.02E-04	1.18	0.26
	A8	5.46E-04	5.13E-04	4.67E-04	1.07	1.01	0.92	5.09E-04	1.17	0.21
	A9	5.41E-04	5.09E-04	4.64E-04	1.07	1.01	0.92	5.05E-04	1.17	0.20
	A10	5.37E-04	5.06E-04	4.61E-04	1.07	1.01	0.92	5.01E-04	1.17	0.22
	A11	5.43E-04	5.12E-04	4.63E-04	1.07	1.01	0.92	5.06E-04	1.17	0.26
BR09TH154	A1	4.40E-04	4.13E-04	3.83E-04	1.07	1.00	0.93	4.12E-04	1.15	0.07
	A2	4.50E-04	4.20E-04	3.94E-04	1.07	1.00	0.93	4.21E-04	1.14	-0.04
	A3	4.12E-04	3.84E-04	3.63E-04	1.07	0.99	0.94	3.87E-04	1.14	-0.10
	B1	5.17E-04	4.78E-04	4.43E-04	1.08	1.00	0.92	4.79E-04	1.17	-0.02
	B2	4.84E-04	4.53E-04	4.22E-04	1.07	1.00	0.93	4.53E-04	1.15	0.05
	B3	4.89E-04	4.58E-04	4.28E-04	1.07	1.00	0.93	4.58E-04	1.14	0.01
	B4	5.29E-04	4.97E-04	4.64E-04	1.06	1.00	0.93	4.97E-04	1.14	0.07
	B5	5.43E-04	5.15E-04	4.82E-04	1.06	1.00	0.94	5.14E-04	1.13	0.12
	C1	4.86E-04	4.57E-04	4.26E-04	1.06	1.00	0.93	4.56E-04	1.14	0.08
	C2	4.98E-04	4.66E-04	4.37E-04	1.07	1.00	0.94	4.67E-04	1.14	-0.02
	C3	4.27E-04	4.01E-04	3.75E-04	1.06	1.00	0.94	4.01E-04	1.14	0.03
	C4	4.38E-04	4.11E-04	3.82E-04	1.07	1.00	0.93	4.10E-04	1.15	0.10
	C5	4.79E-04	4.51E-04	4.22E-04	1.06	1.00	0.94	4.51E-04	1.13	0.03
BR09TH156	A1	1.75E-04	1.64E-04	1.53E-04	1.07	1.00	0.93	1.64E-04	1.14	0.00
	A2	1.88E-04	1.76E-04	1.65E-04	1.07	1.00	0.93	1.77E-04	1.14	0.00
	A3	1.00E-04	9.26E-05	8.68E-05	1.07	0.99	0.93	9.31E-05	1.15	-0.10
	A4	1.07E-04	9.93E-05	9.29E-05	1.07	1.00	0.93	9.97E-05	1.15	-0.04
	A5	1.05E-04	9.89E-05	9.25E-05	1.07	1.00	0.94	9.89E-05	1.14	0.02
	A6	9.73E-05	9.18E-05	8.55E-05	1.06	1.00	0.93	9.15E-05	1.14	0.09
	A7	1.12E-04	1.06E-04	9.85E-05	1.06	1.00	0.93	1.05E-04	1.14	0.10
	B1	1.53E-04	1.43E-04	1.35E-04	1.07	1.00	0.94	1.44E-04	1.14	-0.04
	B2	1.03E-04	9.59E-05	8.97E-05	1.07	1.00	0.93	9.64E-05	1.15	-0.06
	B3	1.14E-04	1.06E-04	9.93E-05	1.07	1.00	0.93	1.06E-04	1.14	-0.03
	B5	1.74E-04	1.62E-04	1.52E-04	1.07	1.00	0.93	1.63E-04	1.14	-0.01
	A1	6.71E-04	6.30E-04	5.88E-04	1.07	1.00	0.93	6.30E-04	1.14	0.03
BR09 TH155	A2	6.03E-04	5.58E-04	5.29E-04	1.07	0.99	0.94	5.63E-04	1.14	-0.18
	A3	5.93E-04	5.48E-04	5.22E-04	1.07	0.99	0.94	5.54E-04	1.14	-0.24
	A4	5.59E-04	5.13E-04	4.99E-04	1.07	0.98	0.95	5.24E-04	1.13	-0.52
	B1	5.50E-04	5.08E-04	4.84E-04	1.07	0.99	0.94	5.14E-04	1.14	-0.23

sample	spec	Eigenvalues			Normalized eigenvalues			K_m [SI]	P_J	T
		κ_1 [SI]	κ_2 [SI]	κ_3 [SI]	K_1	K_2	K_3			
BR09TH155	B2	5.52E-04	5.09E-04	4.86E-04	1.07	0.99	0.94	5.16E-04	1.14	-0.28
	B3	5.78E-04	5.35E-04	5.09E-04	1.07	0.99	0.94	5.41E-04	1.14	-0.20
	B4	5.88E-04	5.36E-04	5.19E-04	1.07	0.98	0.95	5.48E-04	1.14	-0.50
	C1	7.30E-04	6.81E-04	6.49E-04	1.06	0.99	0.95	6.87E-04	1.12	-0.18
	C2	7.24E-04	6.74E-04	6.43E-04	1.06	0.99	0.95	6.80E-04	1.13	-0.22
	D1	5.89E-04	5.44E-04	5.25E-04	1.07	0.98	0.95	5.52E-04	1.13	-0.37
BR09TH158	A1	3.98E-04	3.66E-04	3.47E-04	1.08	0.99	0.94	3.71E-04	1.15	-0.24
	A2	4.07E-04	3.74E-04	3.55E-04	1.07	0.99	0.94	3.78E-04	1.15	-0.24
	A3	4.04E-04	3.72E-04	3.53E-04	1.07	0.99	0.94	3.77E-04	1.15	-0.22
	A4	4.18E-04	3.85E-04	3.65E-04	1.07	0.99	0.94	3.89E-04	1.15	-0.24
	A5	4.20E-04	3.85E-04	3.67E-04	1.07	0.99	0.94	3.91E-04	1.14	-0.28
	A6	4.65E-04	4.27E-04	4.08E-04	1.07	0.98	0.94	4.33E-04	1.14	-0.31
	B1	3.98E-04	3.66E-04	3.47E-04	1.07	0.99	0.94	3.70E-04	1.15	-0.22
	B2	3.91E-04	3.60E-04	3.40E-04	1.08	0.99	0.93	3.64E-04	1.15	-0.19
	B3	3.77E-04	3.44E-04	3.28E-04	1.08	0.98	0.94	3.50E-04	1.15	-0.30
	B4	3.71E-04	3.38E-04	3.25E-04	1.08	0.98	0.94	3.45E-04	1.15	-0.38
	B5	3.37E-04	3.08E-04	2.94E-04	1.08	0.98	0.94	3.13E-04	1.15	-0.34
	B6	3.01E-04	2.74E-04	2.64E-04	1.08	0.98	0.95	2.80E-04	1.14	-0.46
	B7	3.13E-04	2.85E-04	2.77E-04	1.07	0.98	0.95	2.91E-04	1.14	-0.53
BR09TH157	A1	3.22E-04	3.00E-04	2.82E-04	1.07	1.00	0.94	3.01E-04	1.14	-0.06
	A2	3.48E-04	3.24E-04	3.01E-04	1.07	1.00	0.93	3.24E-04	1.16	0.02
	B1	3.97E-04	3.61E-04	3.50E-04	1.07	0.98	0.95	3.69E-04	1.14	-0.49
	B2	3.44E-04	3.19E-04	2.99E-04	1.07	0.99	0.93	3.21E-04	1.15	-0.08
	C1	4.23E-04	3.82E-04	3.73E-04	1.08	0.97	0.95	3.93E-04	1.14	-0.62
	C2	3.89E-04	3.58E-04	3.44E-04	1.07	0.98	0.95	3.64E-04	1.13	-0.35
	C3	3.24E-04	3.02E-04	2.82E-04	1.07	1.00	0.93	3.02E-04	1.15	-0.02
	D1	4.02E-04	3.68E-04	3.55E-04	1.07	0.98	0.95	3.75E-04	1.14	-0.43
	D2	3.58E-04	3.32E-04	3.10E-04	1.07	1.00	0.93	3.33E-04	1.15	-0.05
	E1	2.77E-04	2.56E-04	2.43E-04	1.07	0.99	0.94	2.59E-04	1.14	-0.20
	F1	2.61E-04	2.40E-04	2.30E-04	1.07	0.98	0.95	2.44E-04	1.13	-0.36
	F2	3.02E-04	2.78E-04	2.65E-04	1.07	0.99	0.94	2.82E-04	1.14	-0.28
BR09TH160	A1	2.79E-04	2.37E-04	2.29E-04	1.12	0.96	0.92	2.49E-04	1.24	-0.64
	A2	1.84E-04	1.68E-04	1.66E-04	1.07	0.97	0.96	1.73E-04	1.12	-0.73
	A3	1.93E-04	1.77E-04	1.73E-04	1.06	0.98	0.96	1.81E-04	1.12	-0.58
	A4	2.25E-04	2.05E-04	2.02E-04	1.07	0.97	0.96	2.11E-04	1.12	-0.75
	A5	2.48E-04	2.25E-04	2.20E-04	1.07	0.97	0.95	2.31E-04	1.13	-0.62
	B1	2.28E-04	2.05E-04	2.03E-04	1.08	0.97	0.96	2.12E-04	1.14	-0.83
	B2	2.43E-04	2.21E-04	2.18E-04	1.07	0.97	0.96	2.28E-04	1.12	-0.75
	C1	2.47E-04	2.23E-04	2.19E-04	1.08	0.97	0.95	2.30E-04	1.14	-0.69
	C2	2.73E-04	2.44E-04	2.40E-04	1.08	0.97	0.95	2.53E-04	1.15	-0.75
BR09TH159	B1	3.44E-04	3.17E-04	3.05E-04	1.07	0.98	0.95	3.22E-04	1.13	-0.37
	B2	3.55E-04	3.28E-04	3.15E-04	1.07	0.98	0.95	3.33E-04	1.13	-0.35
	B3	2.71E-04	2.47E-04	2.43E-04	1.07	0.97	0.96	2.53E-04	1.13	-0.71
	B4	4.09E-04	3.78E-04	3.64E-04	1.07	0.98	0.95	3.84E-04	1.13	-0.39
	B5	2.98E-04	2.72E-04	2.67E-04	1.07	0.97	0.96	2.79E-04	1.13	-0.67
	B6	3.95E-04	3.67E-04	3.52E-04	1.06	0.99	0.95	3.71E-04	1.12	-0.31
	C1	3.52E-04	3.24E-04	3.12E-04	1.07	0.98	0.95	3.29E-04	1.13	-0.35
	C2	2.72E-04	2.46E-04	2.41E-04	1.08	0.97	0.95	2.53E-04	1.14	-0.64
	C3	2.93E-04	2.67E-04	2.63E-04	1.07	0.97	0.96	2.74E-04	1.12	-0.68
	C4	4.07E-04	3.78E-04	3.61E-04	1.07	0.99	0.95	3.82E-04	1.13	-0.25
	C5	3.58E-04	3.26E-04	3.21E-04	1.07	0.97	0.96	3.35E-04	1.12	-0.71
	C6	3.58E-04	3.26E-04	3.21E-04	1.07	0.97	0.96	3.35E-04	1.12	-0.71
BR09TH161	A1	6.40E-04	6.03E-04	5.72E-04	1.06	1.00	0.95	6.05E-04	1.12	-0.07
	A2	6.89E-04	6.51E-04	6.07E-04	1.06	1.00	0.94	6.49E-04	1.13	0.10
	A3	7.33E-04	6.95E-04	6.39E-04	1.06	1.01	0.93	6.89E-04	1.15	0.22
	A4	7.90E-04	7.54E-04	6.85E-04	1.06	1.01	0.92	7.43E-04	1.16	0.35
	A5	8.19E-04	7.82E-04	7.02E-04	1.07	1.02	0.91	7.67E-04	1.17	0.40
	B1	6.01E-04	5.60E-04	5.38E-04	1.06	0.99	0.95	5.67E-04	1.12	-0.27
	B2	6.68E-04	6.25E-04	5.95E-04	1.06	0.99	0.95	6.29E-04	1.12	-0.15

sample	spec	Eigenvalues			Normalized eigenvalues			K_m [SI]	P_J	T
		κ_1 [SI]	κ_2 [SI]	κ_3 [SI]	K_1	K_2	K_3			
BR09 TH161	B3	7.21E-04	6.79E-04	6.40E-04	1.06	1.00	0.94	6.80E-04	1.13	0.01
	B4	7.40E-04	7.02E-04	6.48E-04	1.06	1.01	0.93	6.97E-04	1.14	0.21
	B5	7.67E-04	7.33E-04	6.65E-04	1.06	1.02	0.92	7.22E-04	1.16	0.36
BR09TH162	B1	3.98E-04	3.68E-04	3.51E-04	1.07	0.99	0.94	3.72E-04	1.13	-0.23
	B2	5.11E-04	4.78E-04	4.52E-04	1.06	1.00	0.94	4.80E-04	1.13	-0.08
	B3	5.56E-04	5.26E-04	4.95E-04	1.06	1.00	0.94	5.26E-04	1.12	0.06
	C1	5.36E-04	4.98E-04	4.74E-04	1.07	0.99	0.94	5.03E-04	1.13	-0.21
	C2	6.86E-04	6.45E-04	6.04E-04	1.06	1.00	0.94	6.45E-04	1.13	0.02
BR09TH163	A1	5.82E-04	5.38E-04	5.23E-04	1.06	0.98	0.96	5.48E-04	1.12	-0.49
	A2	6.30E-04	5.83E-04	5.62E-04	1.06	0.99	0.95	5.92E-04	1.12	-0.35
	A3	5.92E-04	5.45E-04	5.20E-04	1.07	0.99	0.94	5.52E-04	1.14	-0.27
	A4	5.51E-04	5.13E-04	4.94E-04	1.06	0.99	0.95	5.19E-04	1.12	-0.30
	A5	5.19E-04	4.78E-04	4.61E-04	1.07	0.98	0.95	4.86E-04	1.13	-0.39
	A6	5.21E-04	4.78E-04	4.66E-04	1.07	0.98	0.95	4.88E-04	1.12	-0.55
	A7	6.24E-04	5.76E-04	5.71E-04	1.06	0.98	0.97	5.90E-04	1.10	-0.78
	B1	4.92E-04	4.53E-04	4.47E-04	1.06	0.98	0.96	4.64E-04	1.11	-0.72
	B2	5.51E-04	5.07E-04	4.96E-04	1.06	0.98	0.96	5.18E-04	1.12	-0.58
	B3	5.74E-04	5.29E-04	5.11E-04	1.07	0.98	0.95	5.38E-04	1.13	-0.40
	B4	4.76E-04	4.42E-04	4.26E-04	1.06	0.99	0.95	4.48E-04	1.12	-0.33
	B5	5.94E-04	5.45E-04	5.33E-04	1.07	0.98	0.96	5.57E-04	1.12	-0.59
	B6	5.91E-04	5.45E-04	5.27E-04	1.07	0.98	0.95	5.54E-04	1.12	-0.39
BR09TH164	A1	5.29E-04	4.79E-04	4.62E-04	1.08	0.98	0.94	4.90E-04	1.15	-0.47
	A2	5.21E-04	4.69E-04	4.57E-04	1.08	0.97	0.95	4.83E-04	1.15	-0.61
	B1	5.10E-04	4.65E-04	4.45E-04	1.08	0.98	0.94	4.73E-04	1.15	-0.34
	B2	5.55E-04	5.03E-04	4.82E-04	1.08	0.98	0.94	5.13E-04	1.15	-0.38
	C1	4.92E-04	4.49E-04	4.28E-04	1.08	0.98	0.94	4.57E-04	1.15	-0.31
	C2	5.18E-04	4.72E-04	4.51E-04	1.08	0.98	0.94	4.80E-04	1.15	-0.35
BR09TH166	A1	7.34E-04	6.95E-04	6.42E-04	1.06	1.01	0.93	6.90E-04	1.14	0.19
	A2	7.28E-04	6.87E-04	6.43E-04	1.06	1.00	0.94	6.86E-04	1.13	0.08
	A3	7.43E-04	7.00E-04	6.58E-04	1.06	1.00	0.94	7.00E-04	1.13	0.02
	A4	7.10E-04	6.64E-04	6.20E-04	1.07	1.00	0.93	6.65E-04	1.14	0.02
	A5	6.59E-04	6.18E-04	5.71E-04	1.07	1.00	0.93	6.16E-04	1.15	0.09
	B1	7.59E-04	7.07E-04	6.72E-04	1.06	0.99	0.94	7.13E-04	1.13	-0.15
	B2	7.70E-04	7.16E-04	6.83E-04	1.07	0.99	0.94	7.23E-04	1.13	-0.21
	B3	7.62E-04	7.09E-04	6.73E-04	1.07	0.99	0.94	7.14E-04	1.13	-0.16
	B4	7.51E-04	6.98E-04	6.57E-04	1.07	0.99	0.94	7.02E-04	1.14	-0.10
	B5	7.47E-04	6.95E-04	6.49E-04	1.07	1.00	0.93	6.97E-04	1.15	-0.02
	C1	7.03E-04	6.56E-04	6.17E-04	1.07	1.00	0.94	6.59E-04	1.14	-0.06
	C2	7.00E-04	6.56E-04	6.11E-04	1.07	1.00	0.93	6.56E-04	1.15	0.04
	C3	6.31E-04	5.86E-04	5.45E-04	1.08	1.00	0.93	5.87E-04	1.16	-0.01

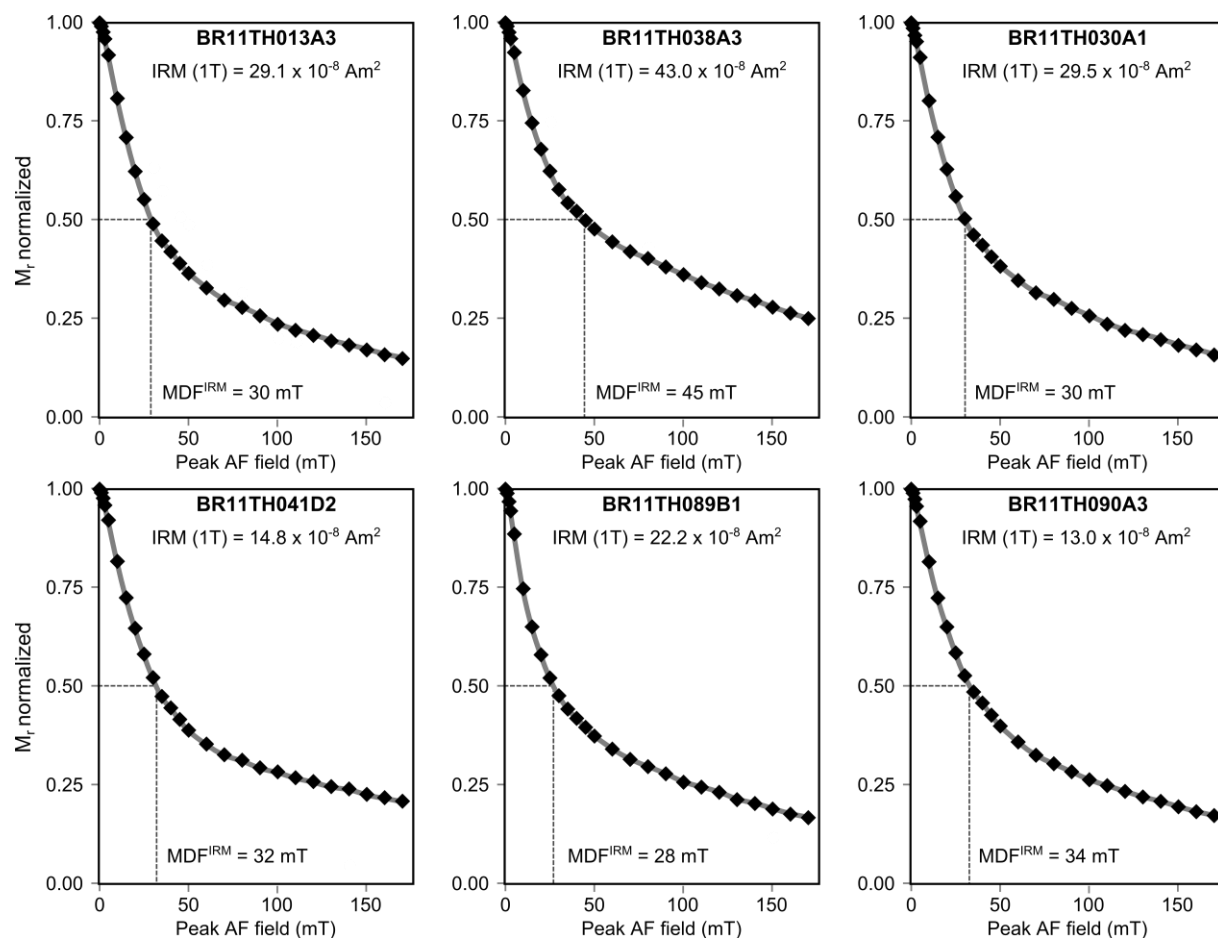
Appendix 9: Results geochemical analysis and calculated MTPS

	Specimen	K_m ($\times 10^{-6}$ [SI])	FeO (%)	Fe ₂ O ₃ (t) (%)	MnO (%)	MTPS ($\times 10^{-6}$ [SI])
CS research area	BR09TH003A7	329	4.01	0.92	0.05	318
	BR09TH004A1	376	4.27	0.90	0.07	334
	BR09TH004A4	347	3.76	1.14	0.06	317
	BR09TH004B1	373	4.62	0.02	0.07	382
	BR09TH004B3	359	4.52	0.71	0.07	337
	BR09TH005B2	396	5.05	0.03	0.08	400
	BR09TH009B2	276	3.62	0.06	0.05	307
	BR09TH010A2	395	5.58	0.08	0.09	452
	BR09TH010A3	391	5.86	0.02	0.10	467
	BR09TH011A1	393	5.93	0.08	0.06	440
	BR09TH011C4	390	5.14	0.97	0.06	392
	BR09TH015A1	334	4.04	0.07	0.05	333
	BR09TH015D1	235	2.61	0.89	0.04	227
	BR09TH015D2	252	2.88	0.07	0.04	262
	BR09TH017C2	494	6.00	0.53	0.06	417
	BR09TH019A6	316	5.33	0.06	0.07	403
	BR09TH020B2	335	5.13	0.05	0.07	394
	BR09TH032A1	394	5.93	0.35	0.09	402
	BR09TH032C1	440	5.80	0.45	0.09	401
	BR09TH034B1	360	4.83	0.10	0.07	400
CN research area	BR09TH035A5	445	5.69	0.04	0.08	424
	BR09TH038A4	303	4.00	0.05	0.06	307
	BR09TH039A1	188	2.40	0.53	0.04	190
	BR09TH041A3	377	4.49	0.46	0.05	317
	BR09TH043D1	296	4.83	0.04	0.05	365
	BR09TH049A3	302	3.28	0.05	0.03	275
	BR09TH054B1	364	5.05	1.04	0.07	392
	BR09TH055B2	719	9.93	0.07	0.11	806
	BR09TH056A2	322	3.79	1.52	0.06	345
	BR09TH056B1	253	3.87	0.06	0.05	386
	BR09TH057B2	288	3.68	1.29	0.03	320
MASB research area	BR09TH060A1	161	2.48	0.01	0.03	233
	BR09TH063A6	326	4.96	0.83	0.04	370
	BR09TH063B5	301	4.84	0.09	0.04	368
	BR09TH121B4	498	5.41	0.07	0.07	424
	BR09TH121B5	534	4.52	0.14	0.06	323
	BR09TH123A3	450	3.39	0.02	0.05	286
	BR09TH127A2	424	4.67	0.06	0.06	371
	BR09TH127B2	434	3.16	0.48	0.04	254
	BR09TH127B3	402	3.64	0.41	0.05	282
	BR09TH129B4	344	3.31	0.02	0.02	271
	BR09TH131B2	326	3.70	0.07	0.03	300
	BR09TH131B4	300	4.30	0.05	0.03	343
	BR09TH131C3	389	4.09	0.20	0.03	296
	BR09TH132C2	493	4.93	0.05	0.05	385
	BR09TH133A5	360	2.97	0.08	0.03	232
	BR09TH103A4	879	11.62	0.43	0.23	842
	BR09TH103B2	780	9.98	0.11	0.19	748
	BR09TH107A7	394	5.12	0.07	0.12	405
	BR09TH107A8	406	4.34	0.34	0.10	329
MNSB	BR09TH112A3	542	7.35	0.06	0.16	589
	BR09TH112C1	539	6.24	0.38	0.13	464
	BR09TH142A3	471	6.25	0.10	0.09	491
	BR09TH143E2	678	8.25	0.48	0.10	605
	BR09TH148A3	469	5.82	0.21	0.08	418
	BR09TH148B1	583	6.13	0.83	0.09	486
	BR09TH148C1	509	7.23	0.06	0.11	557
	BR09TH153A9	505	6.59	0.06	0.10	492
	BR09TH159B5	279	3.09	0.30	0.03	235

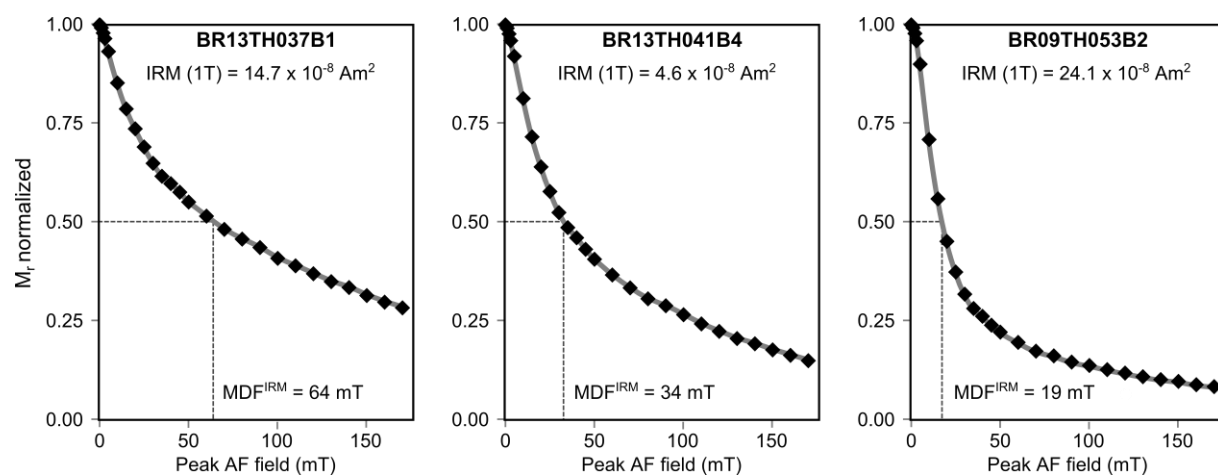
	Specimen	K_m ($\times 10^{-6}$ [SI])	FeO (%)	Fe ₂ O ₃ (t) (%)	MnO (%)	MTPS ($\times 10^{-6}$ [SI])
MNSB research area	BR09TH159C1	329	5.45	0.05	0.05	408
	BR09TH159C2	253	4.14	0.09	0.04	334
	BR09TH159C4	382	5.27	0.05	0.04	391
	BR09TH159C5	335	4.33	0.53	0.04	337
	BR09TH160A2	173	2.91	0.05	0.02	248
	BR09TH160A3	181	1.49	0.82	0.01	162
	BR09TH160C1	230	2.81	0.06	0.02	238
	BR09TH161A5	767	10.14	0.63	0.10	745
	BR09TH166B1	713	9.89	0.07	0.09	698

Appendix 10: Alternating field demagnetization of a 1 T IRM

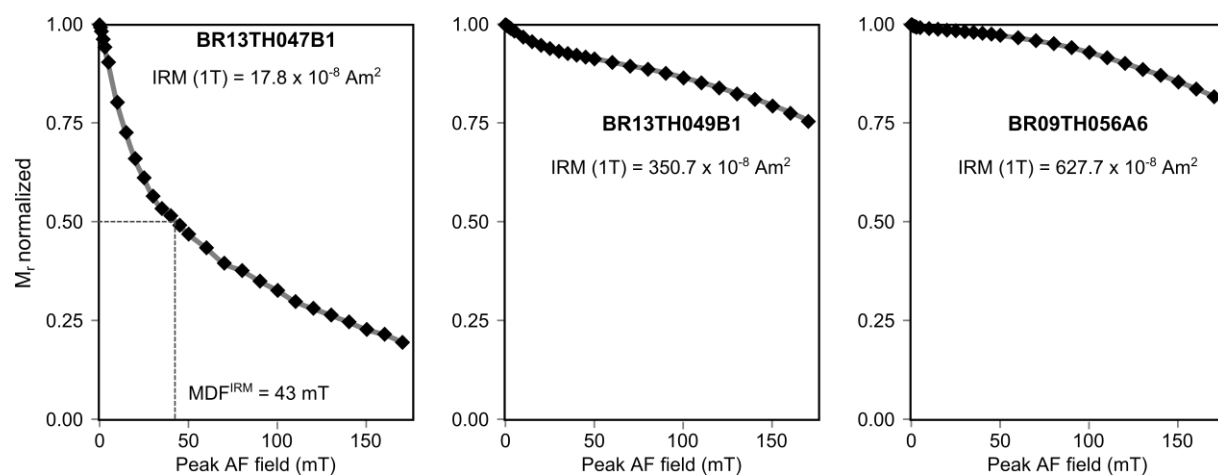
Crozon south research area (CS)



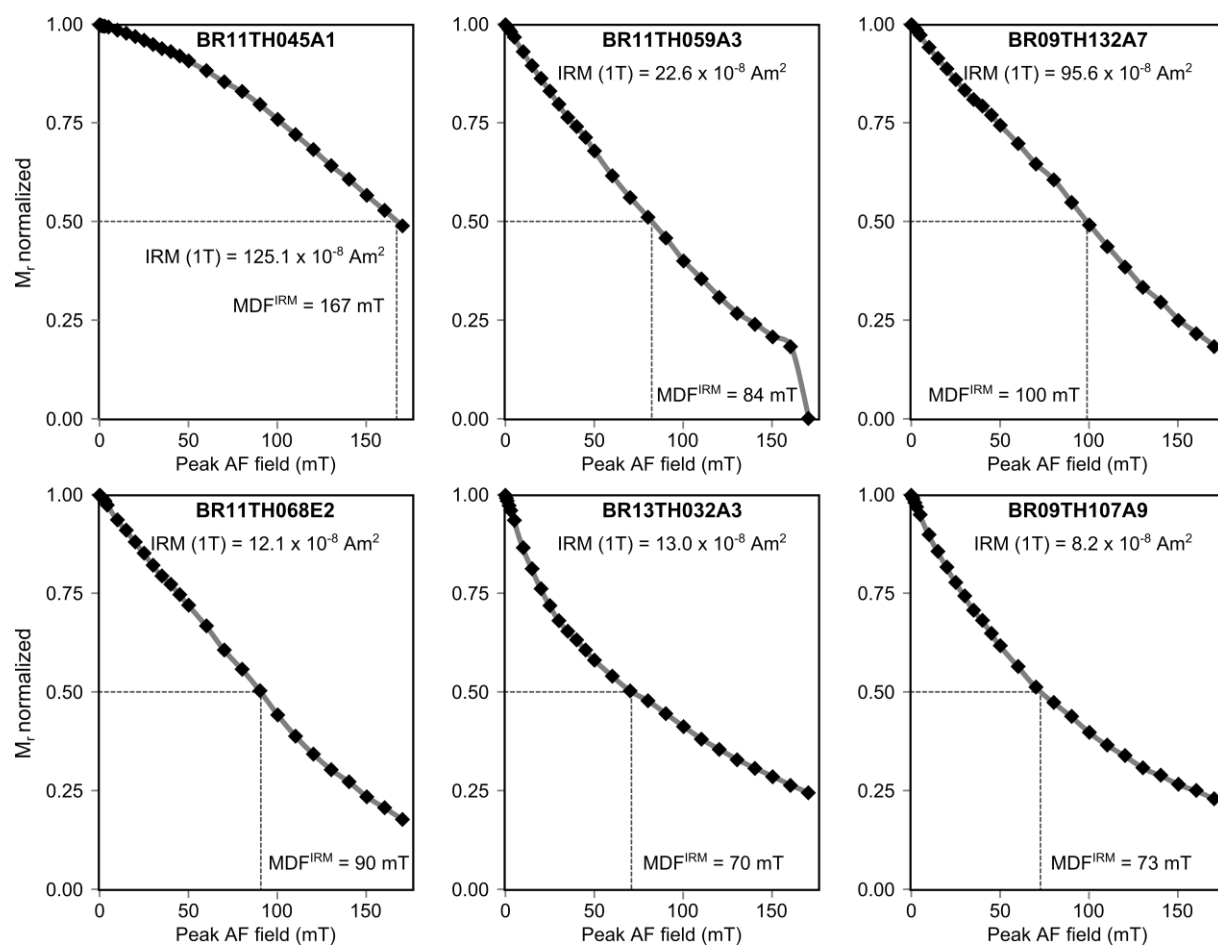
Crozon north research area (CN)

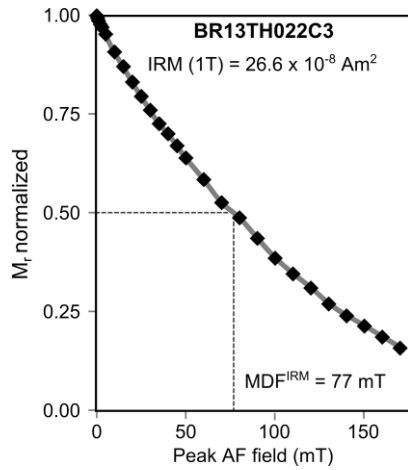


APPENDIX 10: AF DEMAGNETIZATION OF A 1 T IRM

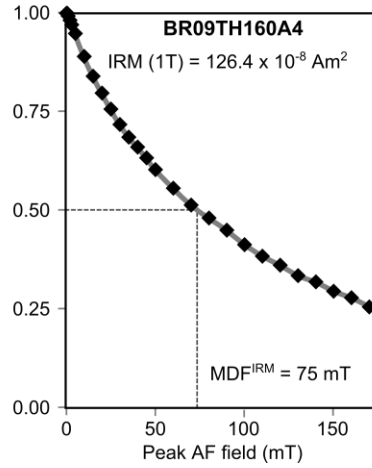
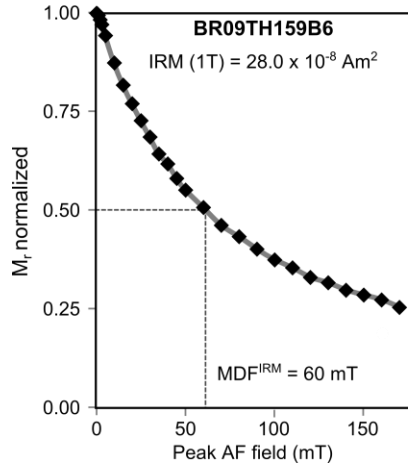
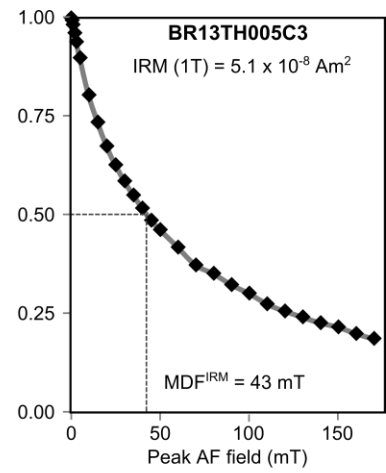
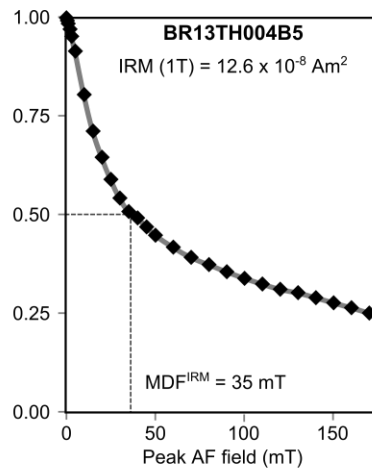
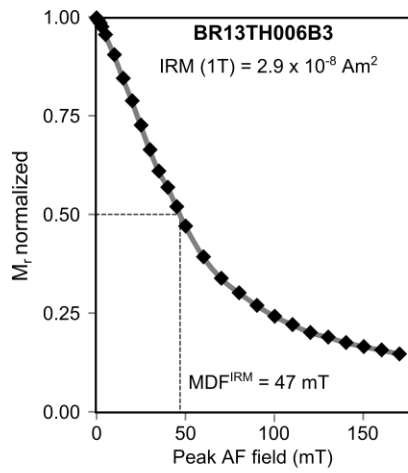


Monts d'Arrée slate belt research area





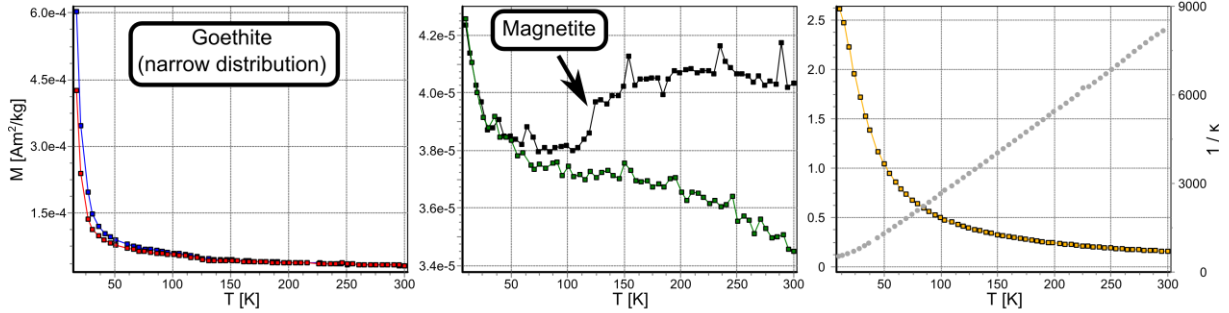
Montagnes Noires slate belt research area



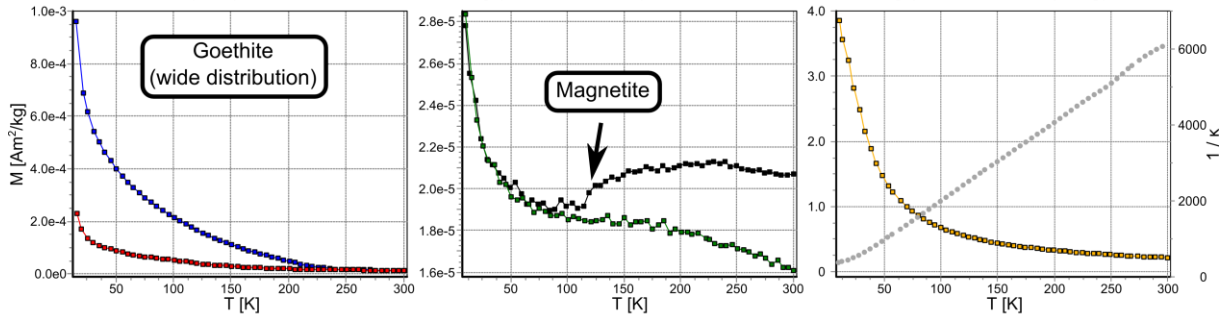
Appendix 11: Low temperature behavior of SIRM

Crozon south research area (CS)

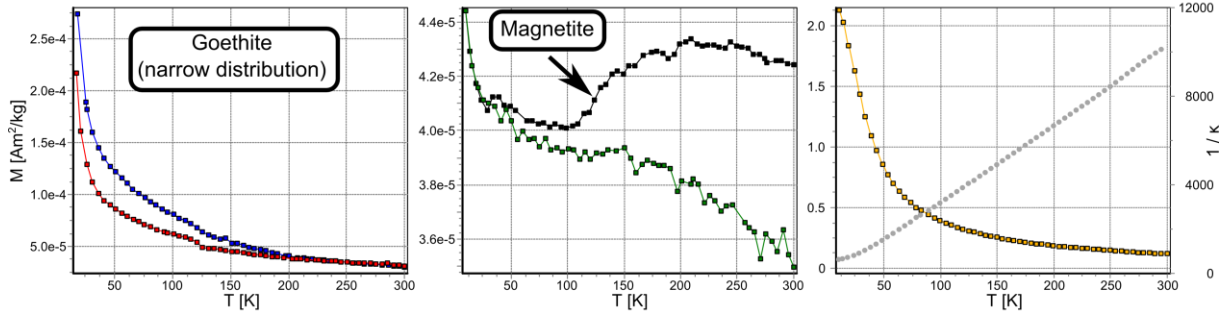
BR11TH013B2: (ZFC) LT-SIRM = $4.25\text{E-}04 \text{ Am}^2/\text{kg}$ (+ 42% with FC); RT-SIRM = $4.03\text{E-}05 \text{ Am}^2/\text{kg}$ (- 14% after LT cycling)



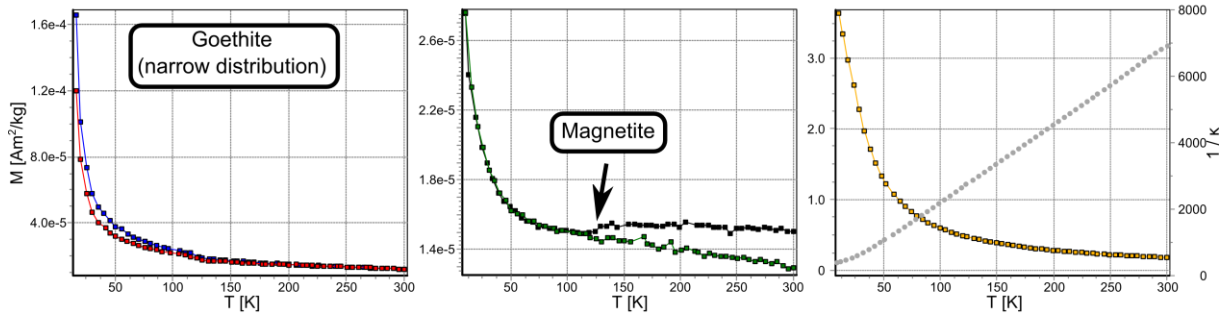
BR11TH036A2: (ZFC) LT-SIRM = $2.31\text{E-}04 \text{ Am}^2/\text{kg}$ (+ 316% with FC); RT-SIRM = $2.07\text{E-}05 \text{ Am}^2/\text{kg}$ (- 22% after LT cycling)



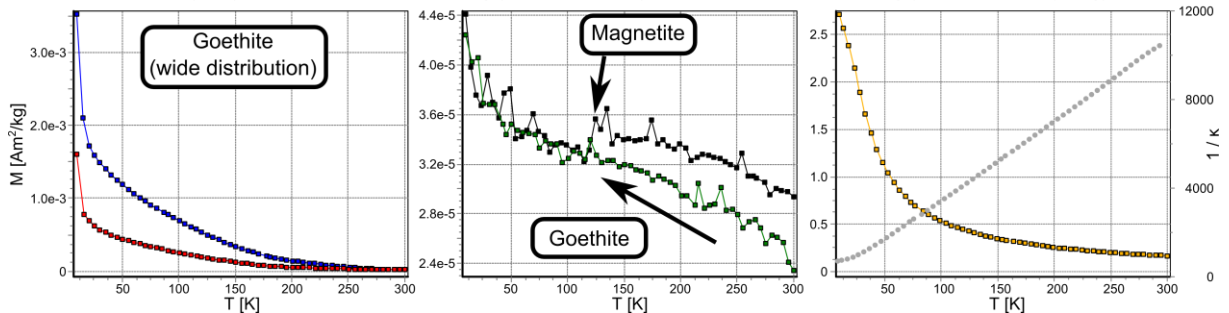
BR11TH038A4: (ZFC) LT-SIRM = $2.17\text{E-}04 \text{ Am}^2/\text{kg}$ (+ 26% with FC); RT-SIRM = $4.24\text{E-}05 \text{ Am}^2/\text{kg}$ (- 18% after LT cycling)



BR11TH090B2: (ZFC) LT-SIRM = $1.20\text{E-}04 \text{ Am}^2/\text{kg}$ (+ 38% with FC); RT-SIRM = $1.51\text{E-}05 \text{ Am}^2/\text{kg}$ (- 14% after LT cycling)

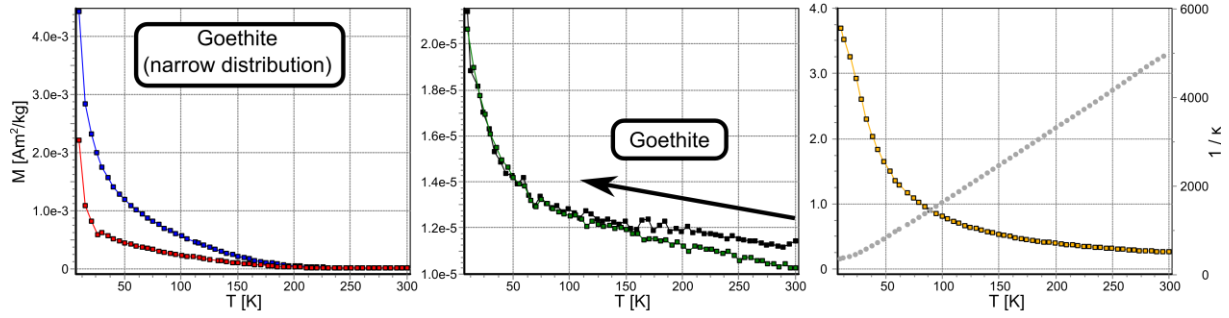


BR09TH004A4: (ZFC) LT-SIRM = $1.50\text{E-}03 \text{ Am}^2/\text{kg}$ (+ 120% with FC); RT-SIRM = $2.92\text{E-}05 \text{ Am}^2/\text{kg}$ (- 20% after LT cycling)

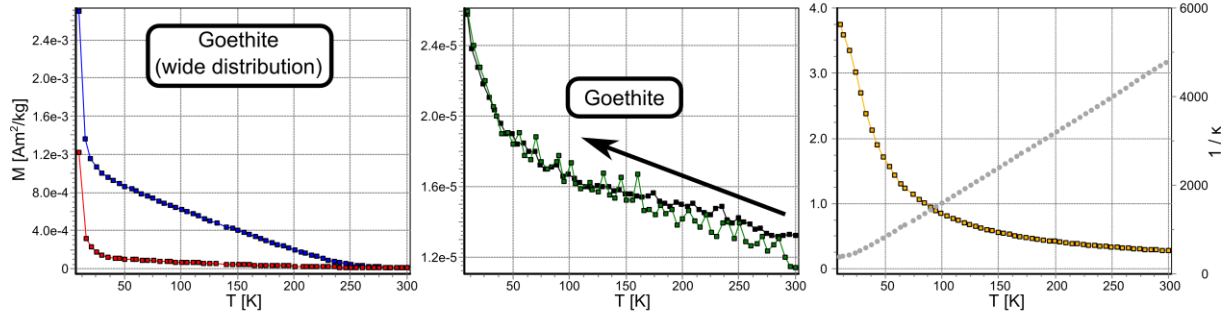


Crozon north research area (CN)

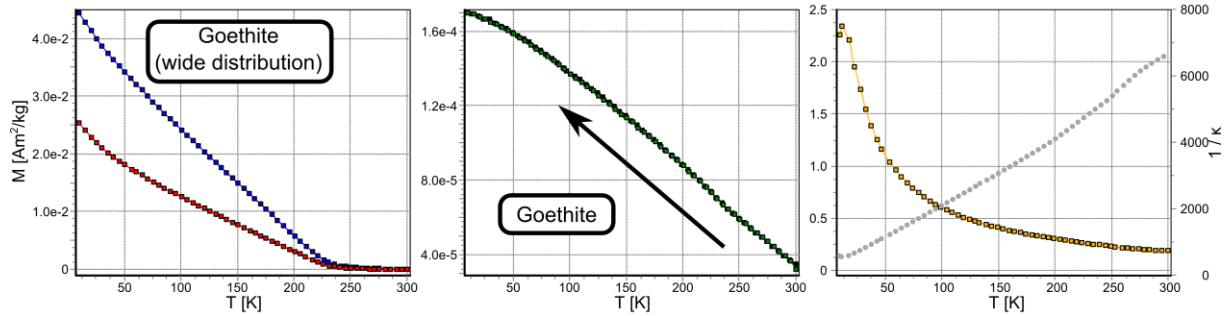
BR13TH036A1: (ZFC) LT-SIRM = $2.20\text{E-}03 \text{ Am}^2/\text{kg}$ (+ 101% with FC); RT-SIRM = $1.14\text{E-}05 \text{ Am}^2/\text{kg}$ (- 10% after LT cycling)



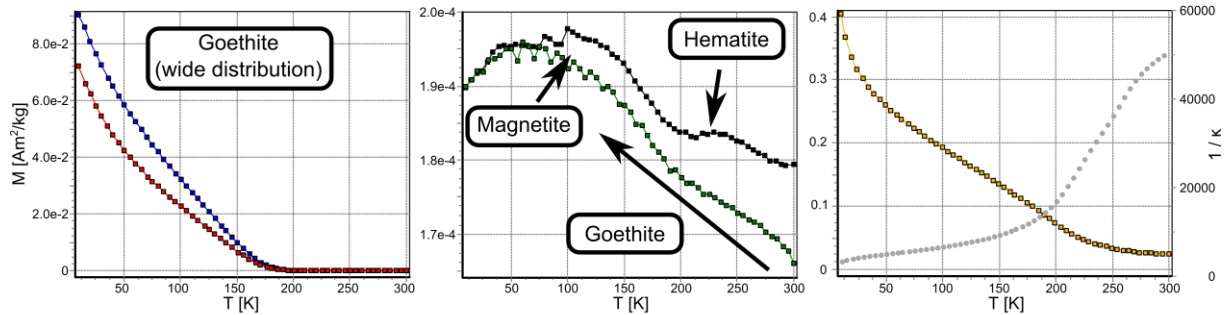
BR13TH041B1: (ZFC) LT-SIRM = $1.22\text{E-}03 \text{ Am}^2/\text{kg}$ (+ 122% with FC); RT-SIRM = $1.32\text{E-}05 \text{ Am}^2/\text{kg}$ (- 14% after LT cycling)



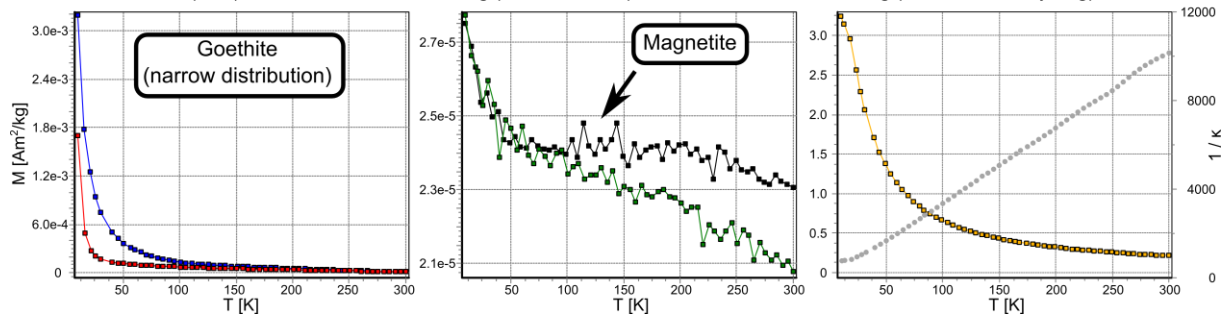
BR13TH044E1: (ZFC) LT-SIRM = $2.54\text{E-}02 \text{ Am}^2/\text{kg}$ (+ 75% with FC); RT-SIRM = $3.49\text{E-}05 \text{ Am}^2/\text{kg}$ (- 08% after LT cycling)

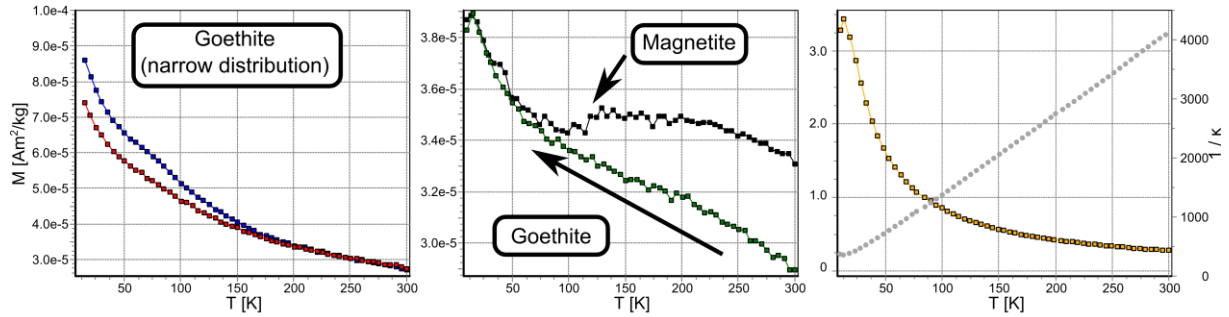
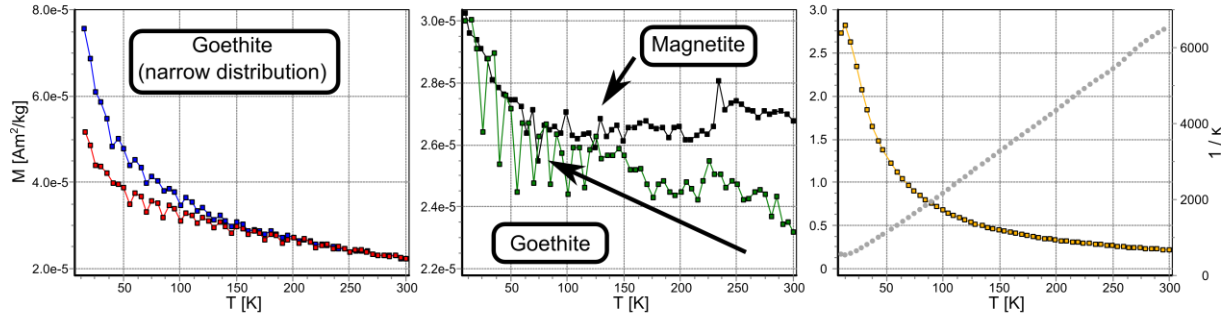
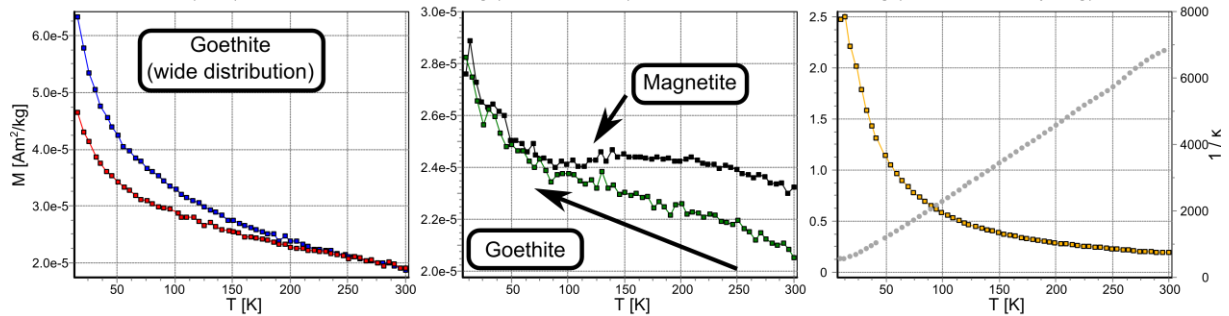
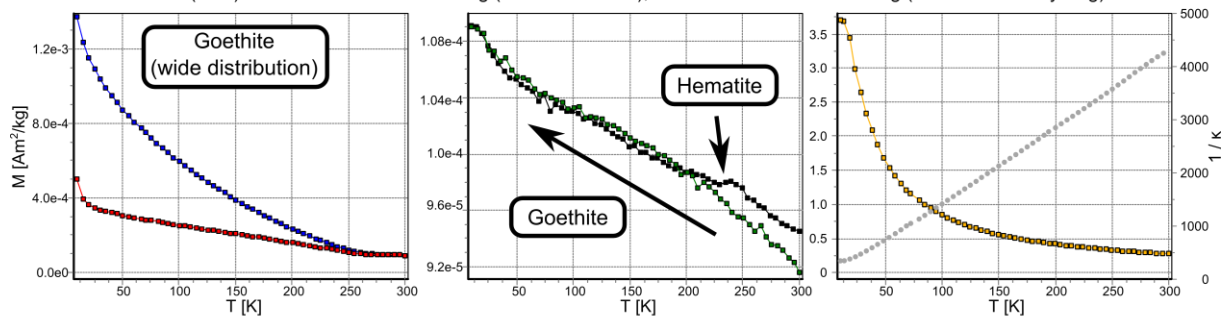
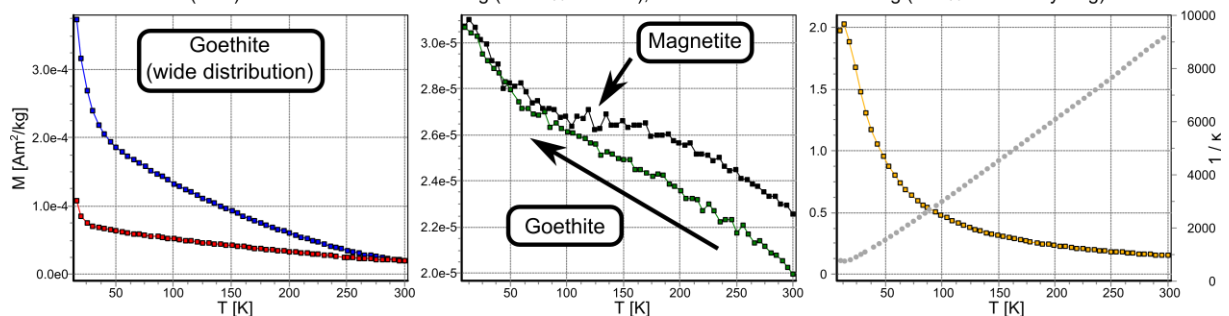


BR13TH049C1: (ZFC) LT-SIRM = $7.20\text{E-}02 \text{ Am}^2/\text{kg}$ (+ 25% with FC); RT-SIRM = $1.79\text{E-}05 \text{ Am}^2/\text{kg}$ (- 07% after LT cycling)

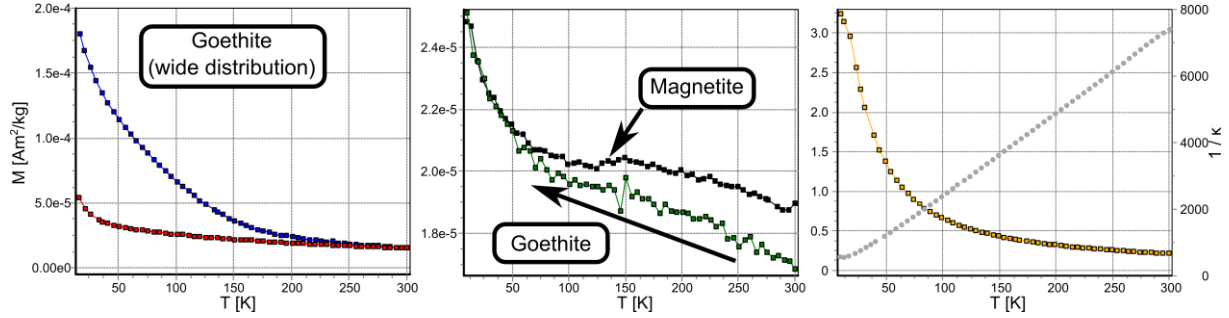


BR09TH054B1: (ZFC) LT-SIRM = $1.70\text{E-}03 \text{ Am}^2/\text{kg}$ (+ 87% with FC); RT-SIRM = $2.31\text{E-}05 \text{ Am}^2/\text{kg}$ (- 10% after LT cycling)



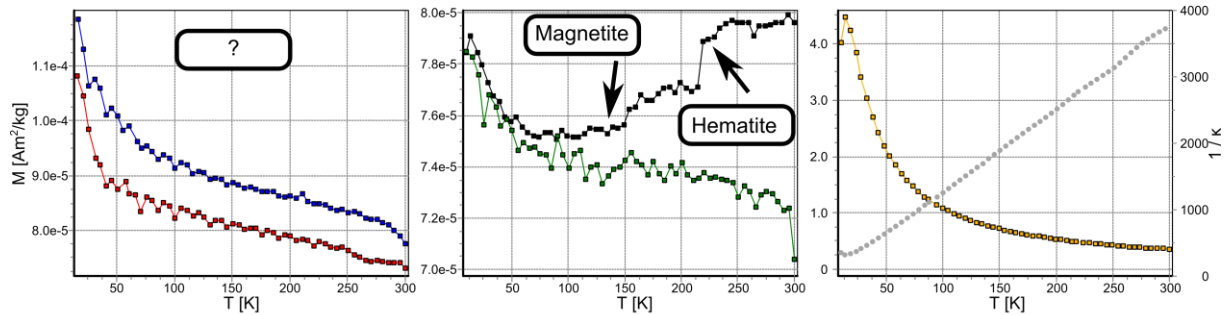
Monts d'Arrée slate belt research area**BR11H044B2:** (ZFC) LT-SIRM = $7.40\text{E-}05 \text{ Am}^2/\text{kg}$ (+ 16% with FC); RT-SIRM = $3.31\text{E-}05 \text{ Am}^2/\text{kg}$ (- 12% after LT cycling)**BR11TH059B3:** (ZFC) LT-SIRM = $5.18\text{E-}05 \text{ Am}^2/\text{kg}$ (+ 46% with FC); RT-SIRM = $2.68\text{E-}05 \text{ Am}^2/\text{kg}$ (- 13% after LT cycling)**BR11TH077B5:** (ZFC) LT-SIRM = $4.65\text{E-}05 \text{ Am}^2/\text{kg}$ (+ 36% with FC); RT-SIRM = $2.33\text{E-}05 \text{ Am}^2/\text{kg}$ (- 12% after LT cycling)**BR11TH078B4:** (ZFC) LT-SIRM = $5.03\text{E-}04 \text{ Am}^2/\text{kg}$ (+ 173% with FC); RT-SIRM = $9.44\text{E-}05 \text{ Am}^2/\text{kg}$ (- 03% after LT cycling)**BR13TH032D2:** (ZFC) LT-SIRM = $1.08\text{E-}04 \text{ Am}^2/\text{kg}$ (+ 247% with FC); RT-SIRM = $2.25\text{E-}05 \text{ Am}^2/\text{kg}$ (- 12% after LT cycling)

BR13TH022D1: (ZFC) LT-SIRM = $5.43\text{E-}05 \text{ Am}^2/\text{kg}$ (+ 232% with FC); RT-SIRM = $1.90\text{E-}05 \text{ Am}^2/\text{kg}$ (- 11% after LT cycling)

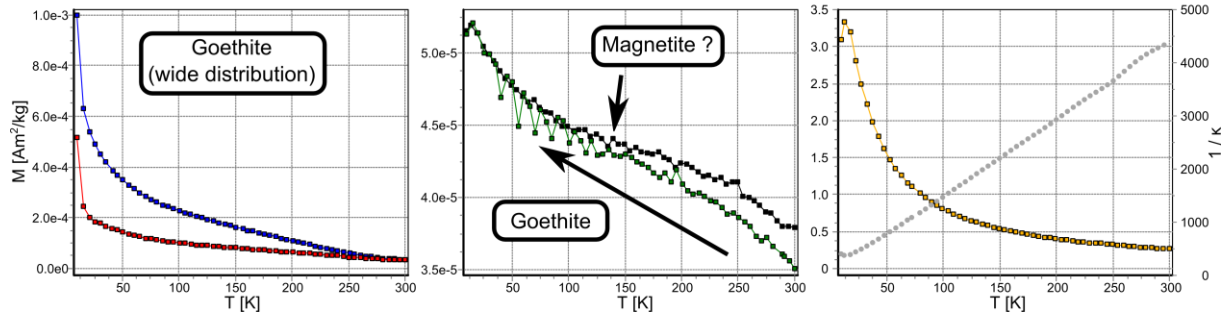


Montagnes Noires slate belt research area

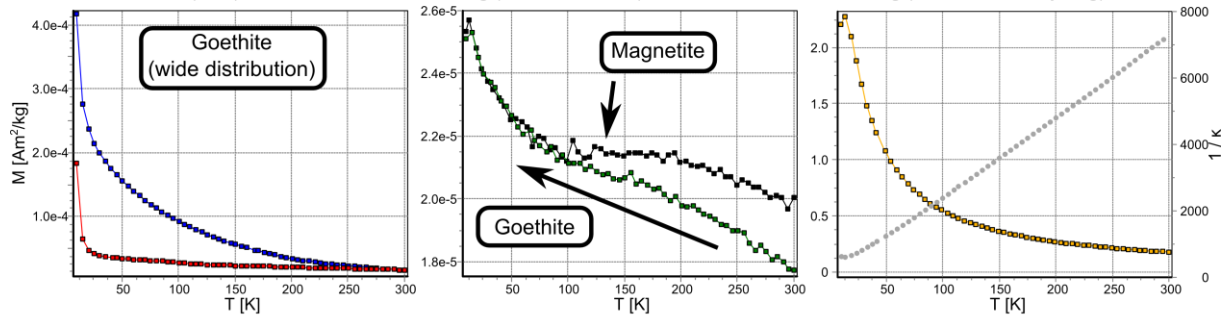
BR13TH005A3: (ZFC) LT-SIRM = $1.08\text{E-}04 \text{ Am}^2/\text{kg}$ (+ 10% with FC); RT-SIRM = $7.96\text{E-}05 \text{ Am}^2/\text{kg}$ (- 12% after LT cycling)



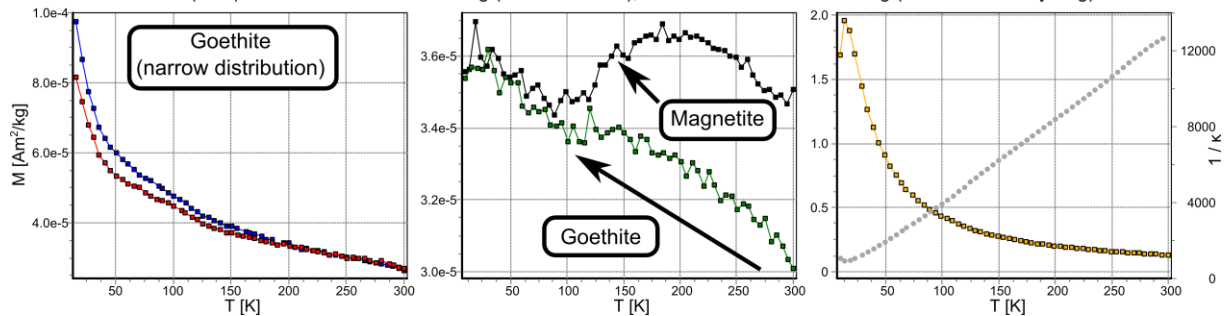
BR13TH006B4: (ZFC) LT-SIRM = $5.15\text{E-}04 \text{ Am}^2/\text{kg}$ (+ 94% with FC); RT-SIRM = $3.80\text{E-}05 \text{ Am}^2/\text{kg}$ (- 08% after LT cycling)



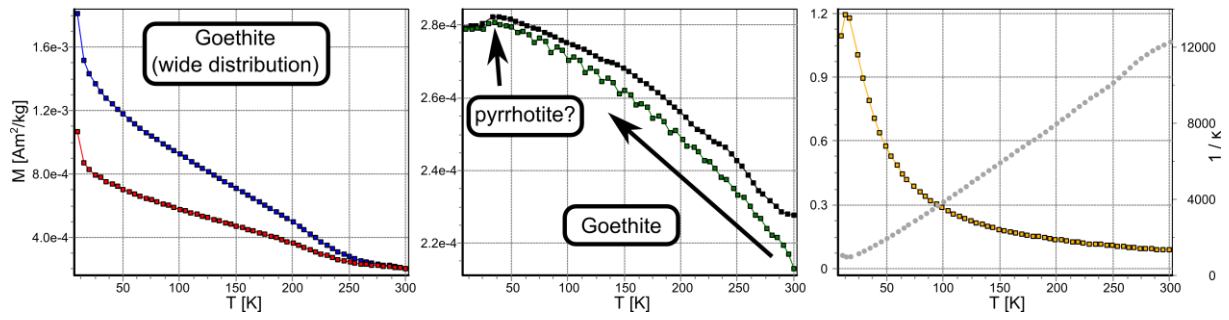
BR13TH008B3: (ZFC) LT-SIRM = $1.84\text{E-}04 \text{ Am}^2/\text{kg}$ (+ 127% with FC); RT-SIRM = $2.00\text{E-}05 \text{ Am}^2/\text{kg}$ (- 11% after LT cycling)



BR09TH159B5: (ZFC) LT-SIRM = $8.17\text{E-}05 \text{ Am}^2/\text{kg}$ (+ 19% with FC); RT-SIRM = $3.51\text{E-}05 \text{ Am}^2/\text{kg}$ (- 14% after LT cycling)



BR09TH160A3: (ZFC) LT-SIRM = $1.06\text{E-}03 \text{ Am}^2/\text{kg}$ (+ 70% with FC); RT-SIRM = $2.28\text{E-}04 \text{ Am}^2/\text{kg}$ (- 06% after LT cycling)



Appendix 12: LT-AMS

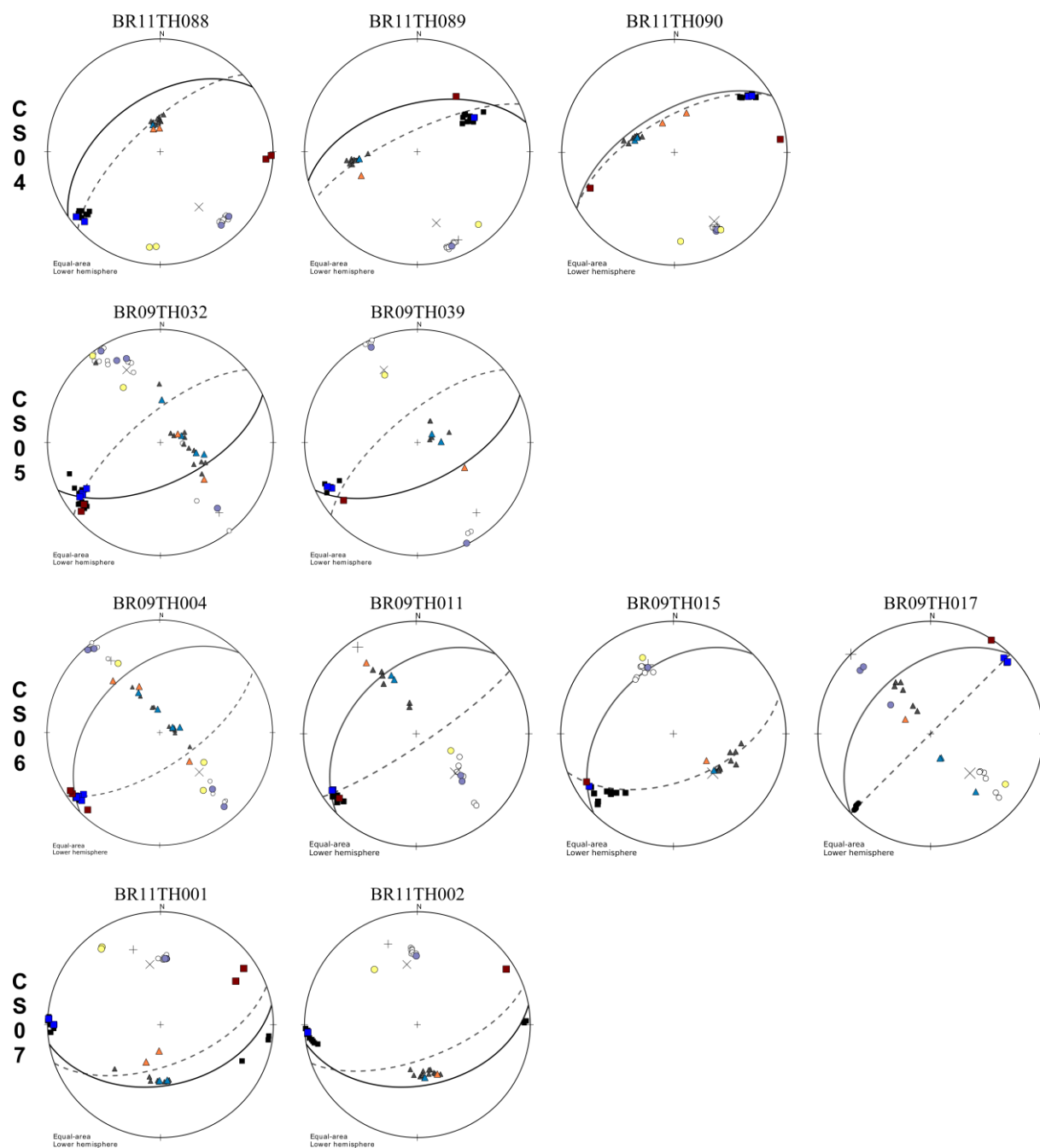
spec	K ₁		K ₂		K ₃		K _m	P _J	T	
	Inc.(°)	Dec. (°)	Inc.(°)	Dec. (°)	Inc.(°)	Dec. (°)	(x 10 ⁻⁶ [SI])			
Crozon South research area										
CS01	BR11TH013A3	04	037	62	135	28	304	1260	1.18	0.82
	BR11TH014A6	13	223	75	077	08	315	1219	1.19	0.74
	BR11TH015A1	18	235	68	017	13	141	1075	1.12	0.09
	BR11TH015E1	24	236	65	035	08	142	1076	1.13	-0.04
	BR11TH017B1	35	032	30	277	40	158	1483	1.18	0.54
	BR11TH019A4	24	246	62	033	13	151	1297	1.11	0.26
CS02	BR11TH038A3	42	052	48	233	01	143	1012	1.04	-0.19
	BR11TH007A2	28	065	59	275	13	162	1337	1.23	0.56
	BR11TH020A1	37	085	15	187	49	295	1684	1.19	0.80
	BR11TH026E3	48	054	40	218	08	315	1724	1.11	-0.14
	BR11TH030A1	22	075	68	251	01	345	1098	1.18	0.36
	BR11TH033C3	51	074	39	241	06	336	1525	1.10	-0.49
CS03	BR11TH036B2	52	212	33	066	17	325	1836	1.34	0.79
	BR11TH041D2	44	068	44	226	11	327	1980	1.35	0.69
	BR11TH083B3	14	219	75	056	04	310	1250	1.22	0.62
	BR11TH084B3	22	068	56	301	24	169	1300	1.07	0.88
	BR11TH084C2	21	065	45	313	38	172	1153	1.08	0.03
	BR11TH085C4	31	257	54	113	17	358	1272	1.17	0.39
CS04	BR11TH086A6	36	067	45	290	23	175	1289	1.16	0.33
	BR11TH086B1	30	064	48	293	26	170	1240	1.14	0.16
	BR11TH087A3	10	070	73	194	14	338	1191	1.10	0.24
	BR11TH088A1	10	227	70	346	17	133	1368	1.22	0.74
	BR11TH088D2	07	232	73	345	16	140	1330	1.22	0.81
	BR11TH089B1	41	059	47	263	12	160	2826	1.24	0.78
CS05	BR11TH090A3	19	053	60	287	22	152	1590	1.39	0.75
	BR11TH090B5	16	054	61	292	23	151	1577	1.41	0.79
	BR09TH032A1	19	237	59	002	24	139	1569	1.10	-0.82
	BR09TH032B2	18	236	63	106	19	332	1625	1.10	-0.84
	BR09TH032B3	24	238	57	105	21	338	1473	1.09	-0.68
	BR09TH032C1	15	236	74	072	04	327	1755	1.11	-0.46
CS06	BR09TH039A1	15	242	73	088	07	334	738	1.11	-0.05
	BR09TH039A2	12	244	78	059	01	154	817	1.12	-0.15
	BR09TH004A1	14	231	75	075	06	322	1459	1.11	-0.60
	BR09TH004A4	09	232	73	355	14	139	1349	1.12	-0.50
	BR09TH004B3	09	229	80	067	03	319	1401	1.12	-0.68
	BR09TH004B5	07	232	57	332	32	137	1332	1.11	-0.71
CS07	BR09TH011C3	12	236	43	337	45	133	1566	1.12	-0.63
	BR09TH011C4	11	236	47	338	41	136	1534	1.12	-0.66
	BR09TH015D1	13	238	50	132	37	339	911	1.09	-0.32
	BR09TH017A4	08	047	35	142	54	306	1821	1.16	-0.22
	BR09TH017C1	07	044	71	156	17	312	1896	1.15	-0.31
	BR09TH017C2	07	047	71	159	17	315	1909	1.16	-0.34
Crozon North research area										
CN01	BR13TH036B2	14	047	47	301	40	149	1974	1.39	0.74
	BR13TH037B1	08	290	01	020	82	116	1571	1.26	-0.14
	BR13TH038E1	23	154	41	265	41	042	880	1.27	-0.33
	BR13TH039B3	12	025	49	281	38	125	1183	1.31	0.75
	BR13TH041B4	12	259	26	163	61	012	2179	1.37	0.28
CN02	BR13TH043D1	03	280	03	190	86	062	1564	1.37	0.55
	BR13TH044C2	02	097	11	187	79	356	1445	1.29	0.62
	BR13TH045D1	10	073	10	342	76	209	1385	1.26	0.24
CN03	BR09TH053B2	22	269	02	178	68	083	1063	1.39	0.43
	BR09TH054B1	18	266	09	173	70	058	1389	1.48	0.62
	BR09TH054C1	18	273	08	181	71	067	1242	1.44	0.56

spec		K ₁		K ₂		K ₃		K _m (x 10 ⁻⁶ [SI])	P _J	T
		Inc.(°)	Dec. (°)	Inc.(°)	Dec. (°)	Inc.(°)	Dec. (°)			
CN	BR13TH047B1	17	257	26	158	58	017	1093	1.27	0.58
04	BR13TH048A2	01	239	38	148	52	330	1047	1.24	0.47
CN	BR13TH049B1	36	250	17	147	49	037	384	1.01	0.25
05	BR13TH049D3	24	288	21	188	57	062	347	1.05	0.79
CN06	BR09TH041A3	03	254	17	163	73	353	1465	1.33	0.31
	BR09TH041B4	04	252	17	161	72	356	1357	1.34	0.41
	BR09TH049A2	07	257	08	348	80	125	1998	1.11	-0.22
	BR09TH056A2	06	061	00	151	84	241	1199	1.38	0.59
	BR09TH056A6	05	066	00	336	85	241	1358	1.41	0.58
	BR09TH056B4	07	071	00	341	83	249	1141	1.41	0.62
	BR09TH057A1	08	061	04	331	82	216	1144	1.31	0.37
	BR09TH057B2	06	061	00	151	85	243	1111	1.30	0.39
	BR09TH063A2	06	230	45	326	45	134	1340	1.21	0.17
	BR09TH063A6	05	232	45	326	44	137	1330	1.21	0.07
	BR09TH063B1	06	232	46	329	43	137	1298	1.22	-0.25
Monts d'Arree slate belt research area										
MASB01	BR11TH044B5	15	041	46	147	40	298	1810	1.51	0.42
	BR11TH045A1	41	046	47	243	09	143	1361	1.52	0.67
	BR11TH046B3	00	258	89	351	01	168	1062	1.43	0.06
	BR11TH047B1	09	050	73	287	14	142	1575	1.27	0.00
MASB02	BR11TH049B2	22	224	66	067	08	317	1196	1.45	0.28
	BR11TH052B2	09	056	70	171	18	323	1666	1.39	-0.19
	BR11TH056A1	24	275	66	098	01	005	1210	1.33	-0.40
	BR11TH056D1	25	269	13	005	62	120	1062	1.31	-0.74
MASB03	BR11TH059A3	40	048	50	234	03	140	1734	1.77	0.77
	BR09TH121A6	04	066	85	267	02	156	1978	1.50	0.57
	BR09TH121B5	04	065	84	295	05	155	2016	1.50	0.54
	BR09TH123B2	11	060	70	300	17	153	1773	1.53	0.52
	BR09TH123B4	11	062	70	300	17	156	1760	1.51	0.62
	BR09TH123C3	19	059	61	291	21	156	1570	1.51	0.65
	BR09TH124B2	06	236	61	135	28	330	1837	1.52	0.50
	BR09TH124C1	06	245	63	144	26	338	1657	1.55	0.59
	BR09TH127B2	09	245	68	132	20	338	1626	1.45	0.55
	BR09TH127B3	05	068	78	315	11	158	1552	1.46	0.46
	BR09TH131B1	02	052	57	144	33	320	1281	1.77	0.76
	BR09TH131C3	03	060	58	154	32	328	1485	1.76	0.79
	BR09TH132A3	11	238	77	088	06	329	2002	1.62	0.56
	BR09TH132A7	09	243	79	028	06	152	2189	1.46	0.26
	BR09TH133A1	03	058	66	156	24	327	1492	1.39	0.11
	BR09TH133A3	09	061	53	163	36	325	1465	1.40	0.29
	BR11TH060B1	04	252	61	348	29	160	1281	1.53	0.42
	BR11TH064B3	09	062	72	183	15	329	1284	1.63	0.69
	BR11TH068E2	10	064	51	166	37	327	2460	1.67	0.66
	BR11TH071B4	20	219	43	108	40	327	1652	1.27	-0.15
	BR11TH078B2	01	060	61	151	29	329	2165	1.49	0.42
	BR11TH078B3	01	060	63	151	27	329	2112	1.50	0.43
	BR11TH074C2	00	217	46	127	44	307	1326	1.59	0.47
	BR11TH076B2	39	051	50	242	06	146	1946	1.31	-0.45
	BR11TH077B1	04	243	61	146	28	335	1608	1.89	0.84
	BR11TH079A1	36	218	45	080	22	325	1613	1.40	0.65
	BR11TH082A2	08	251	58	147	31	346	2138	1.59	0.67
	BR11TH082C1	02	240	71	145	19	331	2095	1.38	0.25
	BR13TH031C3	48	238	27	114	30	007	1243	1.47	0.51
	BR13TH032A2	51	206	25	081	28	336	1066	1.86	0.98
	BR13TH032A3	58	182	10	075	30	339	1139	1.87	0.97
MASB06	BR13TH026A1	11	246	54	352	33	149	1119	1.25	-0.15
	BR13TH026A4	11	245	51	349	37	147	1094	1.23	-0.57
	BR13TH026C3	10	245	60	353	28	150	1092	1.22	-0.52

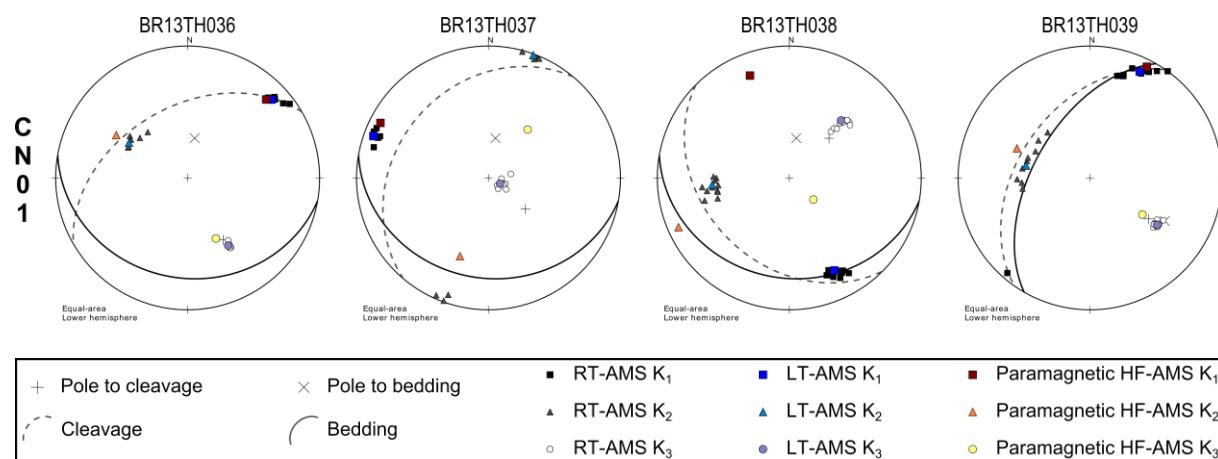
spec	K ₁		K ₂		K ₃		K _m (x 10 ⁻⁶ [SI])	P _J	T
	Inc.(°)	Dec. (°)	Inc.(°)	Dec. (°)	Inc.(°)	Dec. (°)			
BR13TH027A3	31	267	14	168	56	057	1309	1.19	-0.18
BR13TH029A3	16	276	72	120	07	008	1486	1.49	0.65
BR09TH103A1	27	221	55	358	20	120	2709	1.25	0.19
BR09TH103A3	26	220	62	014	11	125	3165	1.24	0.08
BR09TH103A4	30	220	58	020	09	125	3288	1.26	0.13
BR09TH103C3	21	226	68	031	05	134	2739	1.27	0.20
BR09TH103C5	41	225	49	055	05	319	2785	1.26	0.11
BR09TH107A5	14	177	19	082	66	301	1109	1.16	0.57
BR09TH107A8	10	185	15	092	72	306	1525	1.18	0.92
BR09TH107A9	14	164	15	070	69	295	1451	1.16	0.75
BR09TH107A10	12	172	13	080	72	303	1373	1.16	0.79
BR09TH112A2	09	139	03	229	81	338	2083	1.23	0.61
BR09TH112C1	11	135	02	225	79	325	2009	1.23	0.65
BR13TH014A2	31	049	59	223	02	317	1788	1.38	0.49
BR13TH016C1	19	224	67	080	13	319	1065	1.22	-0.01
BR13TH019C2	04	246	18	155	72	348	545	1.15	-0.49
BR13TH010B2	06	119	24	212	66	016	1937	1.31	0.38
BR13TH011B3	10	111	37	209	51	008	1944	1.35	0.25
BR13TH011D1	11	107	38	206	50	004	1741	1.37	0.30
BR13TH021C1	42	281	16	026	44	133	1549	1.31	-0.03
BR13TH021D3	43	277	18	024	41	131	1407	1.28	-0.25
BR13TH022C3	53	283	16	035	32	135	1231	1.30	-0.04
BR13TH034B4	06	215	59	314	31	122	1462	1.49	0.47
BR13TH035A2	52	280	05	016	37	110	1597	1.43	0.39
BR13TH035A6	51	275	11	019	37	118	1522	1.39	0.33
Montagnes Noires slate belt research area									
BR13TH001A5	75	055	13	269	08	177	2529	1.38	0.46
BR13TH002B2	77	044	09	271	09	179	2232	1.39	0.43
BR13TH003A2	80	056	09	267	05	176	2264	1.39	0.45
BR13TH004B5	83	234	07	058	00	328	3036	1.37	-0.04
BR13TH005C3	86	283	03	062	03	152	2742	1.34	-0.05
BR13TH006B3	29	096	03	004	61	268	2351	1.50	0.52
BR13TH007A2	27	104	16	202	57	320	2030	1.37	-0.18
BR13TH007D3	25	104	21	204	56	328	2212	1.38	-0.23
BR13TH008B1	43	098	16	204	43	309	1667	1.43	0.34
BR09TH143A1	61	112	28	271	09	006	1974	1.26	-0.14
BR09TH143D1	66	110	23	267	08	000	2095	1.27	0.01
BR09TH143E2	64	112	23	263	11	358	2557	1.26	0.16
BR09TH148A3	65	087	23	242	10	336	1789	1.32	0.35
BR09TH148B1	67	105	15	233	17	328	2211	1.33	0.43
BR09TH155A1	55	089	35	273	02	182	2351	1.27	0.02
BR09TH155A4	58	089	32	280	05	187	1965	1.23	-0.48
BR09TH157C1	50	094	39	255	09	353	1475	1.25	-0.51
BR09TH157C2	52	092	37	254	09	351	1367	1.25	-0.48
BR09TH157C3	52	095	36	252	11	350	1161	1.28	0.02
BR09TH159B1	55	100	34	269	05	003	1197	1.22	-0.31
BR09TH159B5	54	104	36	286	01	195	1063	1.22	-0.74
BR09TH159B6	56	105	31	257	13	355	1404	1.22	-0.27
BR09TH159C3	56	100	34	287	03	195	1044	1.22	-0.72
BR09TH159C5	55	100	27	236	21	338	1284	1.22	-0.71
BR09TH160A3	54	099	36	278	00	009	696	1.21	-0.51
BR09TH160A4	51	101	39	272	04	005	825	1.22	-0.71
BR09TH160B2	53	102	29	239	22	341	907	1.23	-0.73
BR09TH161A5	54	086	36	260	03	352	2858	1.29	0.40
BR09TH161B3	50	090	39	284	07	188	2551	1.21	0.02

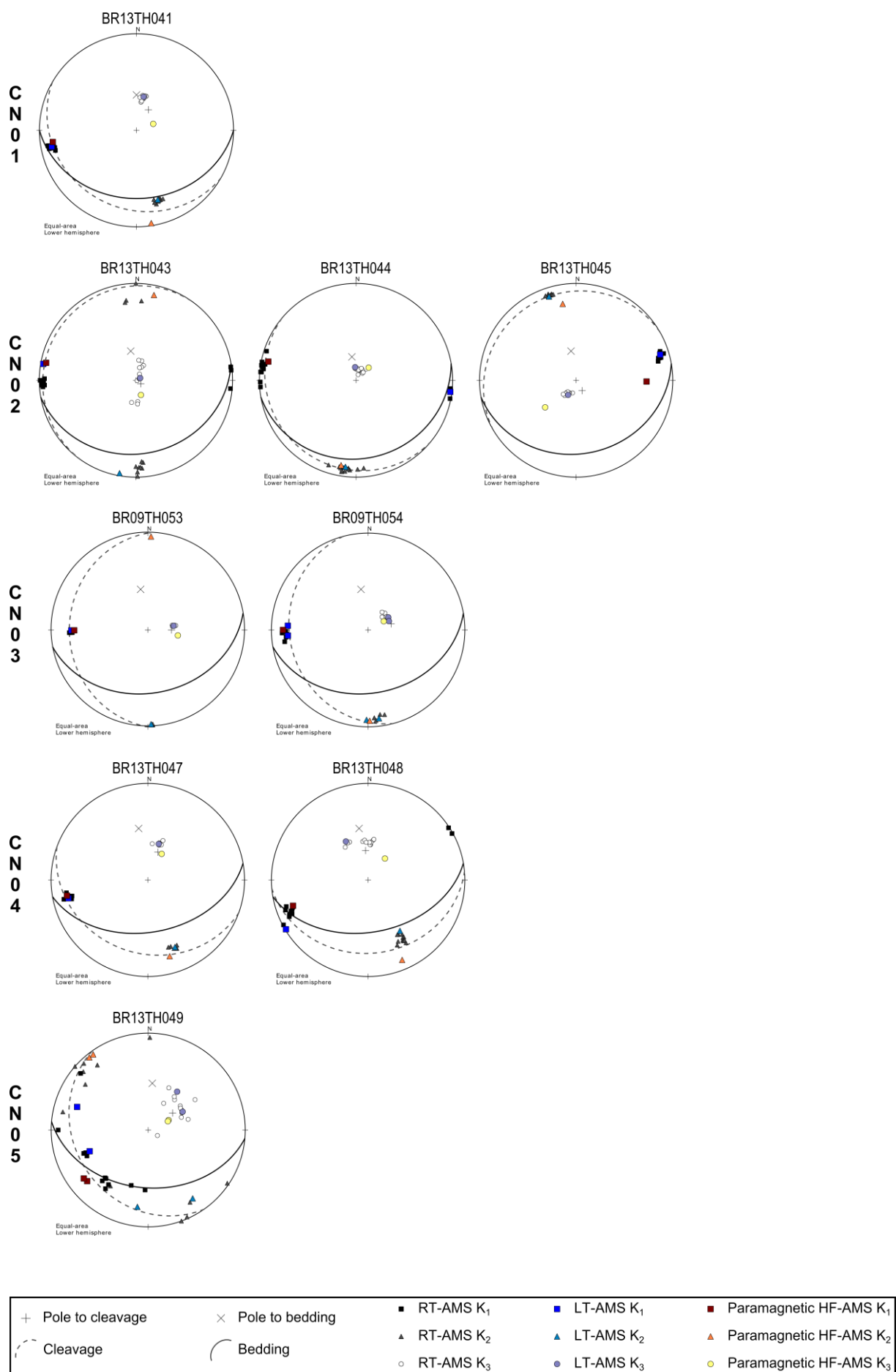
Crozon south research area (CS)

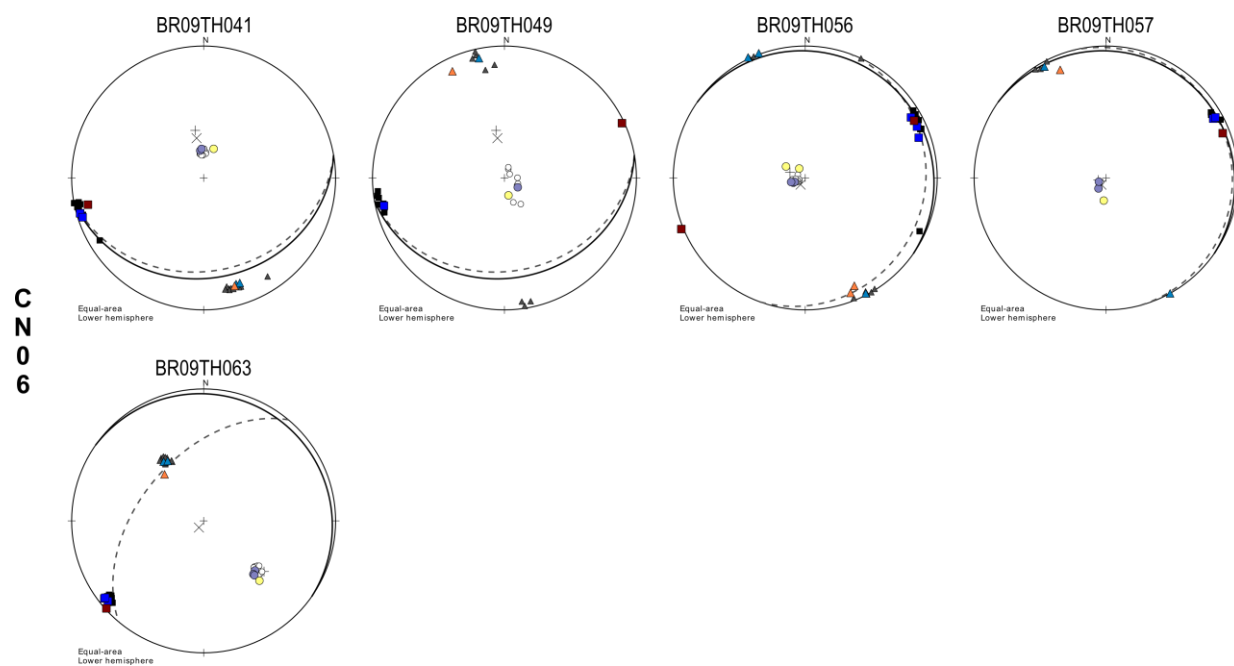




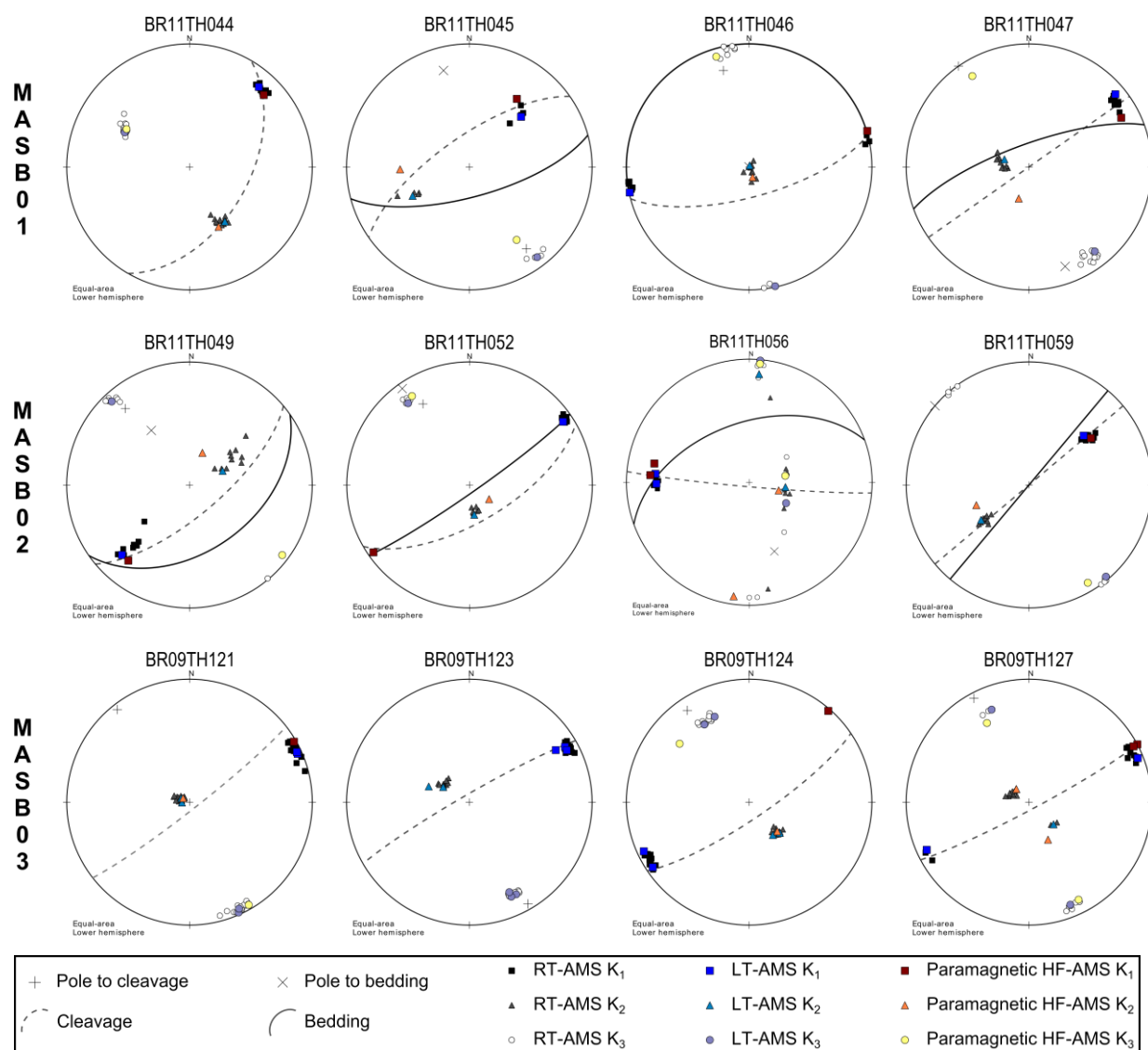
Crozon north research area (CN)

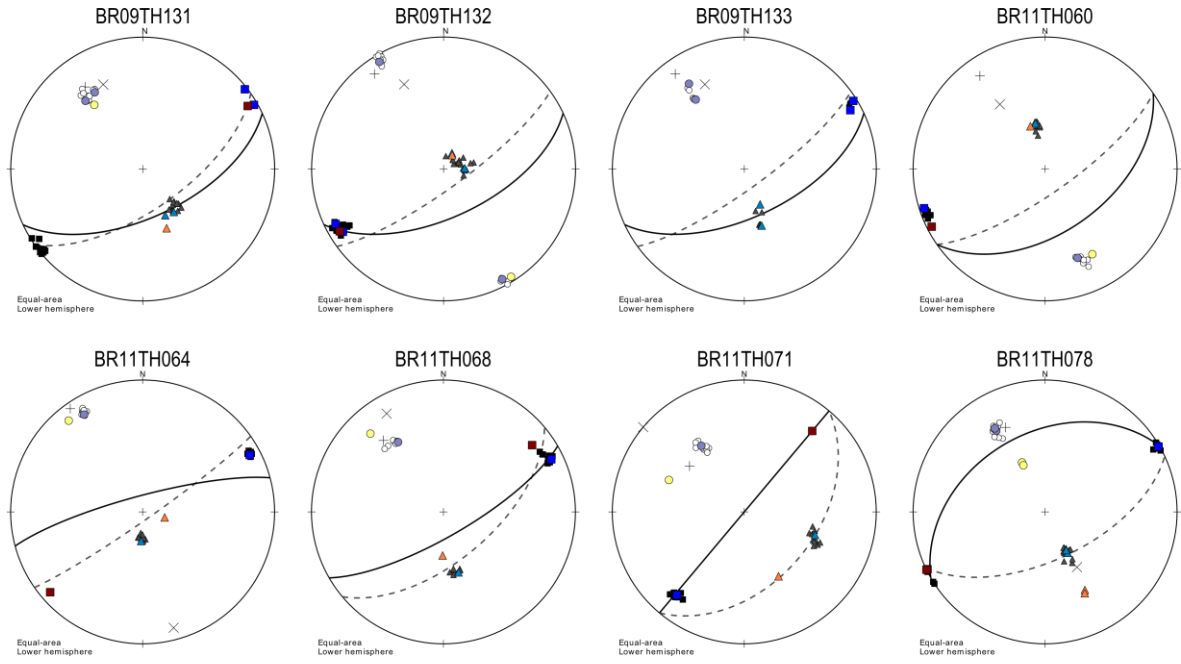
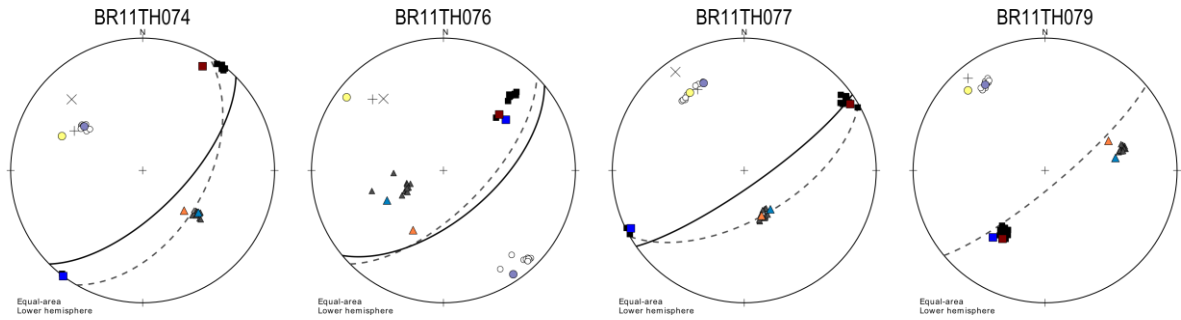
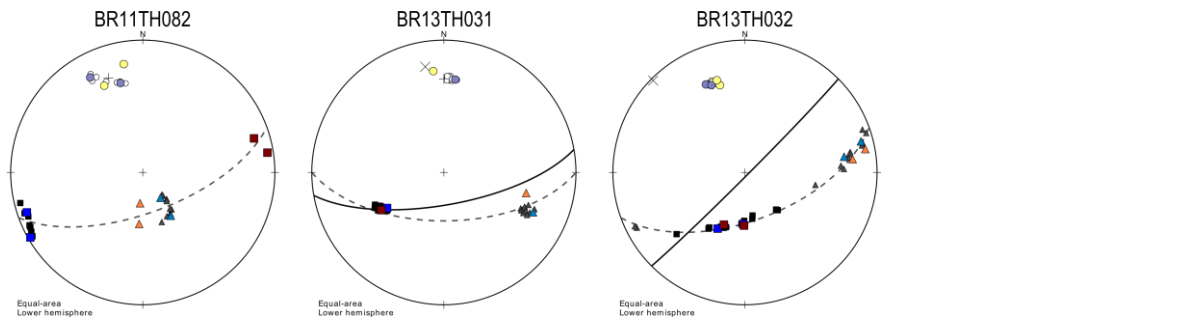
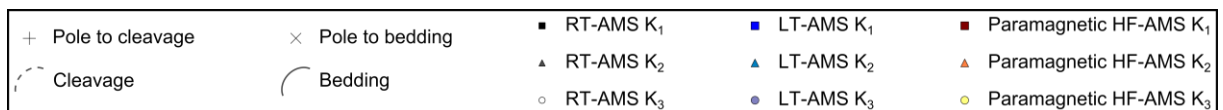
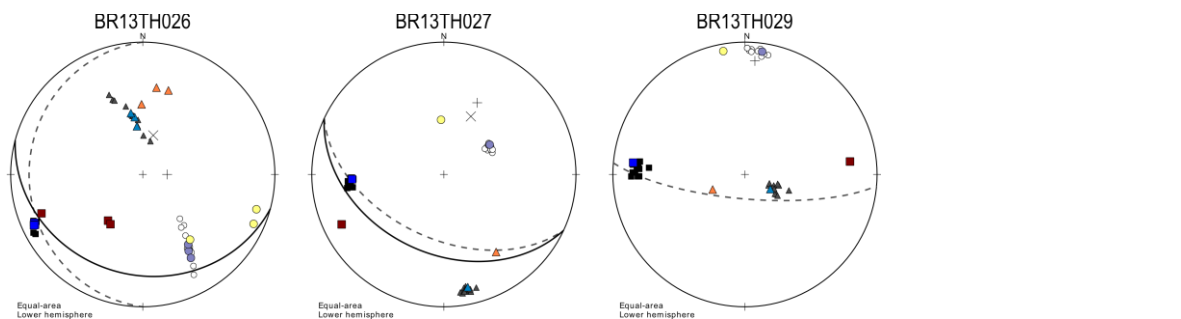




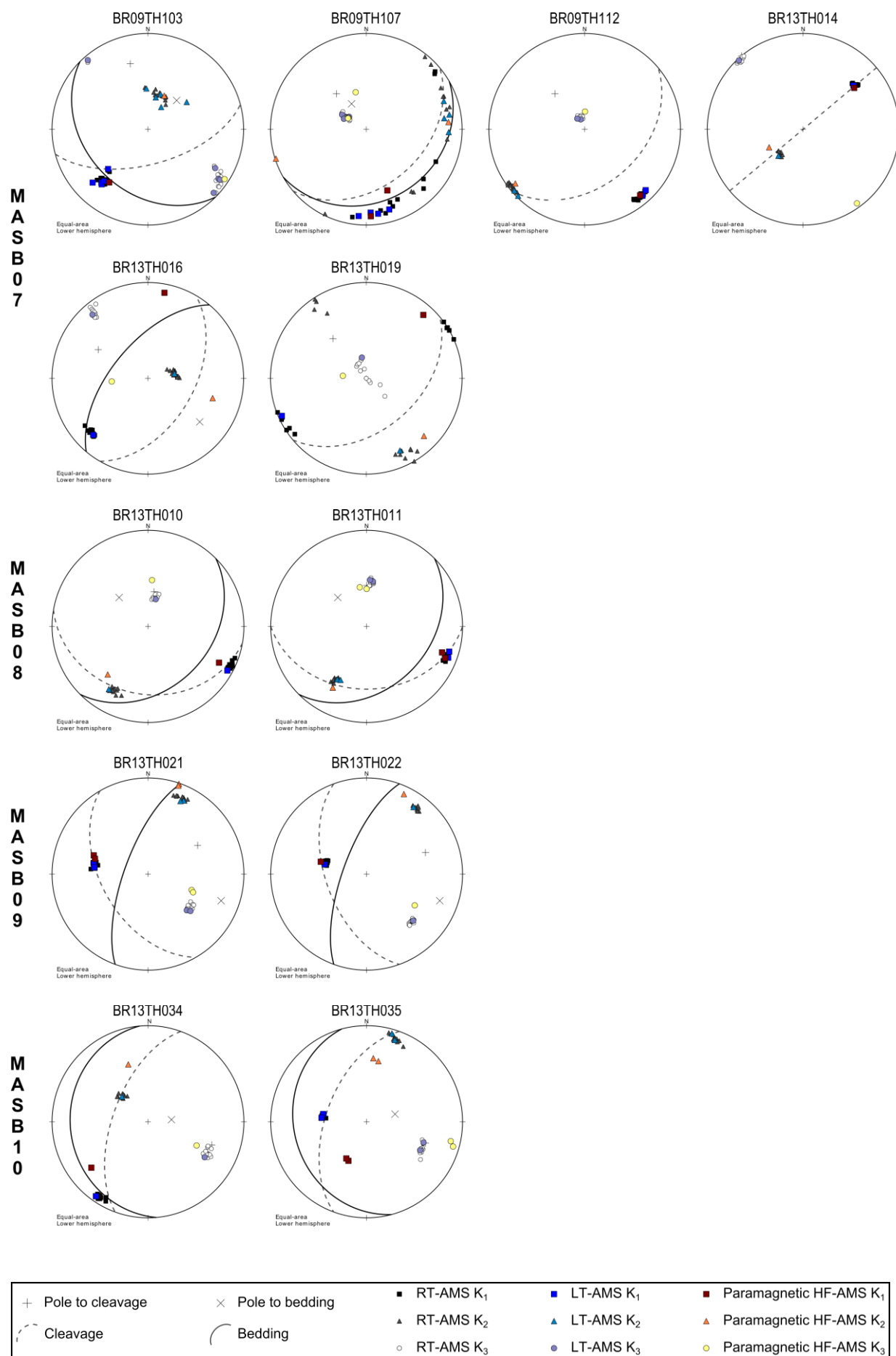


Monts d'Arrée slate belt research area



M
A
S
B
0
3

 M
A
S
B
0
4

 M
A
S
B
0
5

 M
A
S
B
0
6


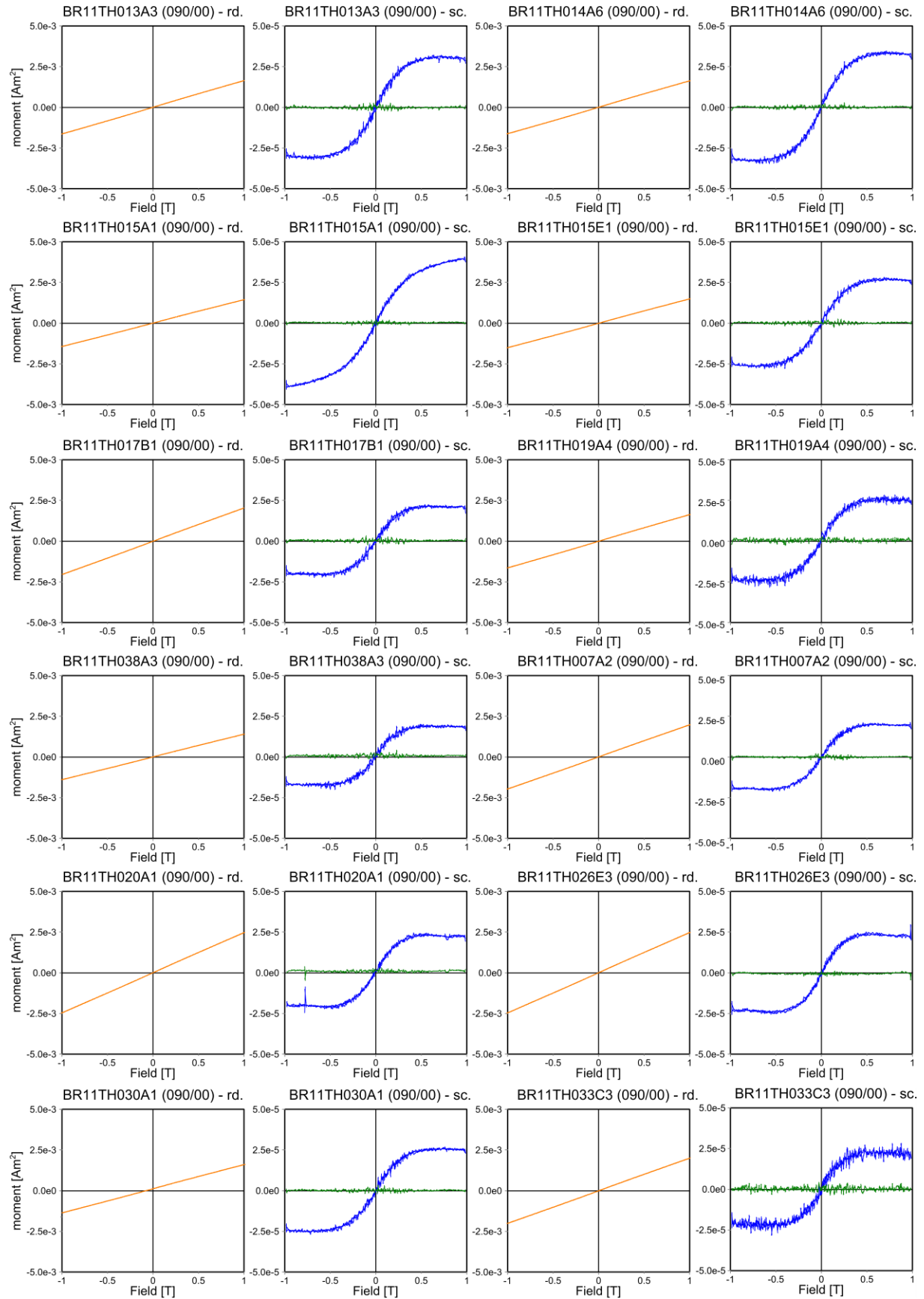
APPENDIX 13: ORIENTATION LT-AMS AND PARAMAGNETIC HF-AMS PRINCIPAL AXES



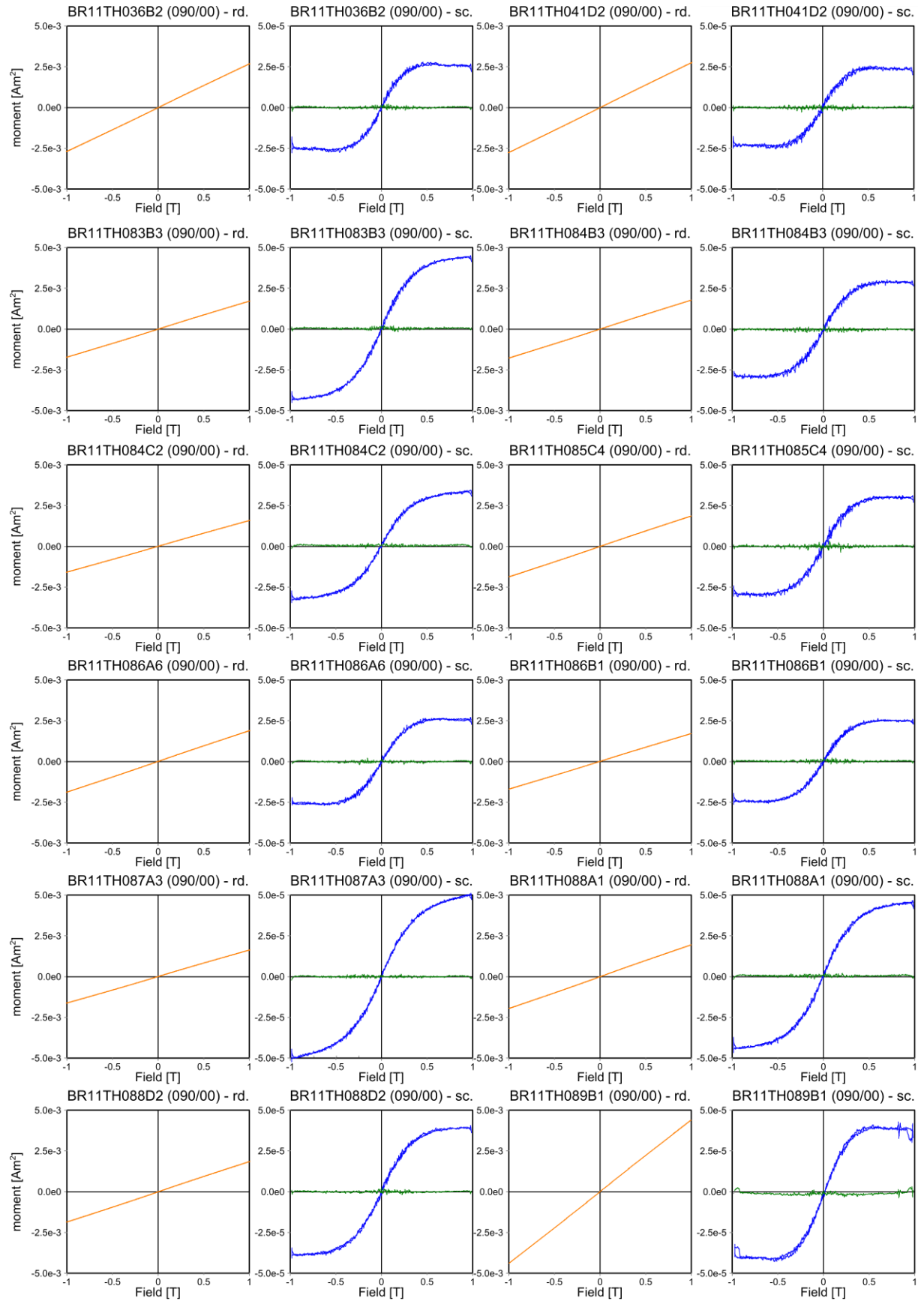


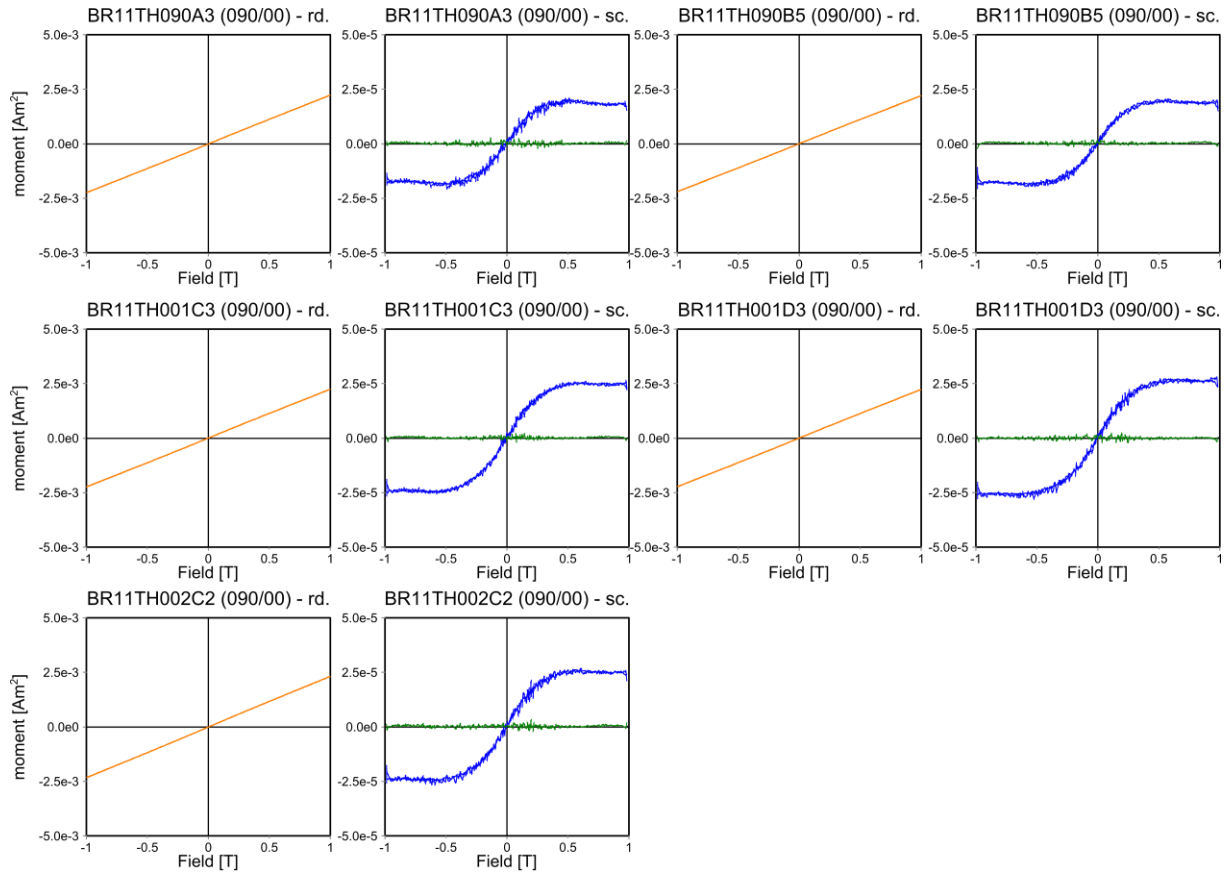
Appendix 14: Magnetic hysteresis loops – VSM approach

Crozon south research area (CS)

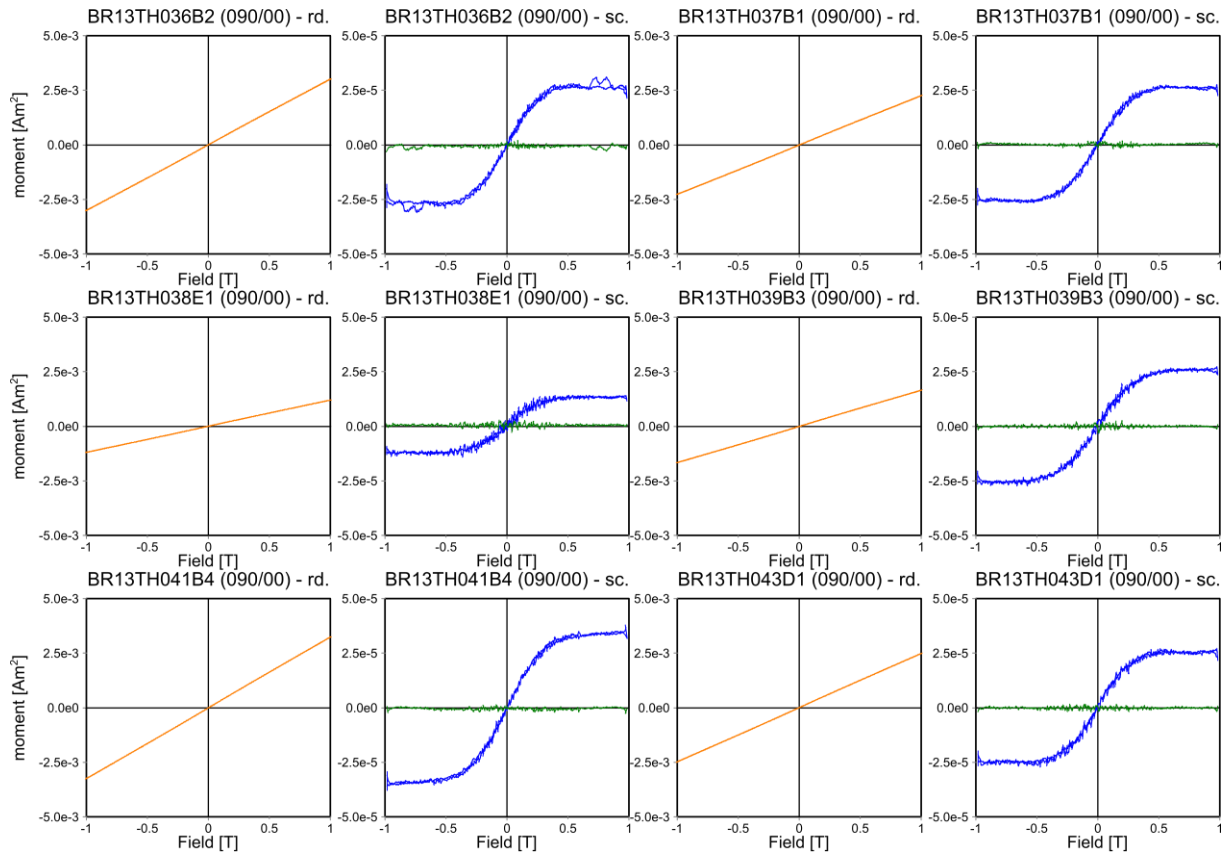


APPENDIX 14: MAGNETIC HYSTERESIS LOOPS – VSM APPROACH

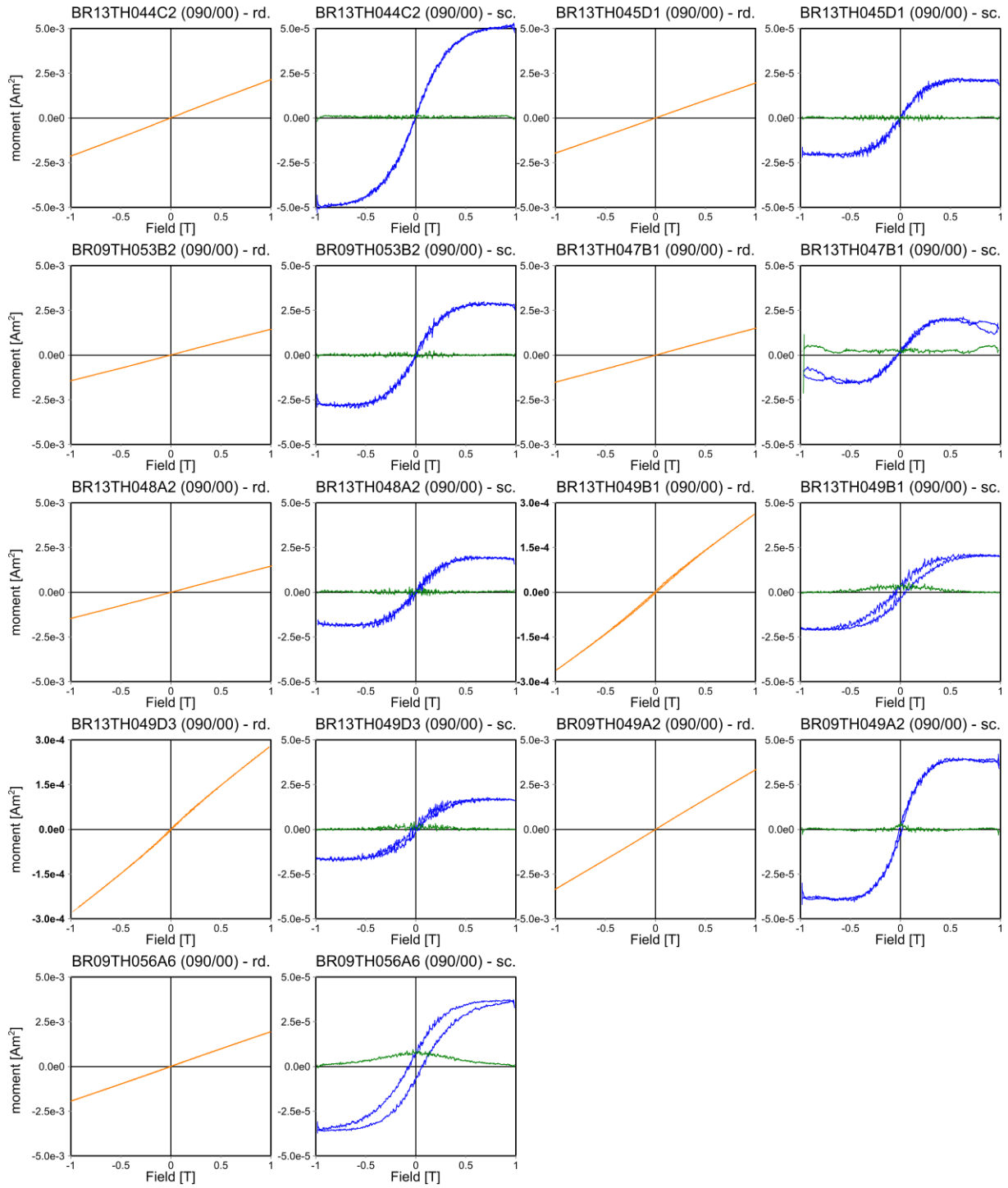




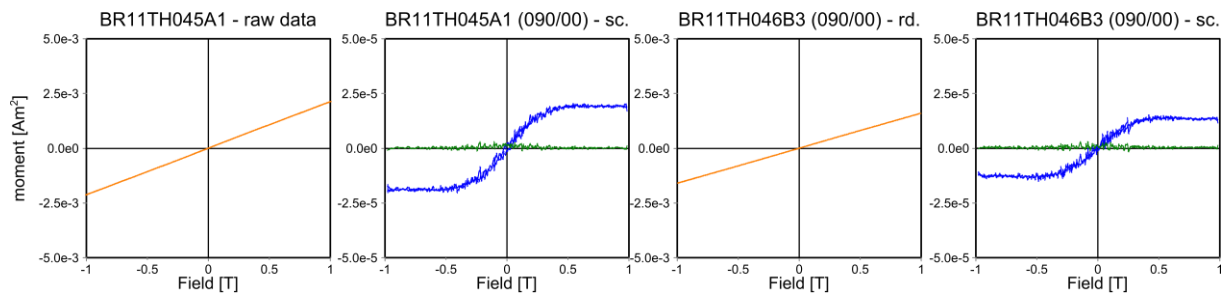
Crozon north research area (CN)

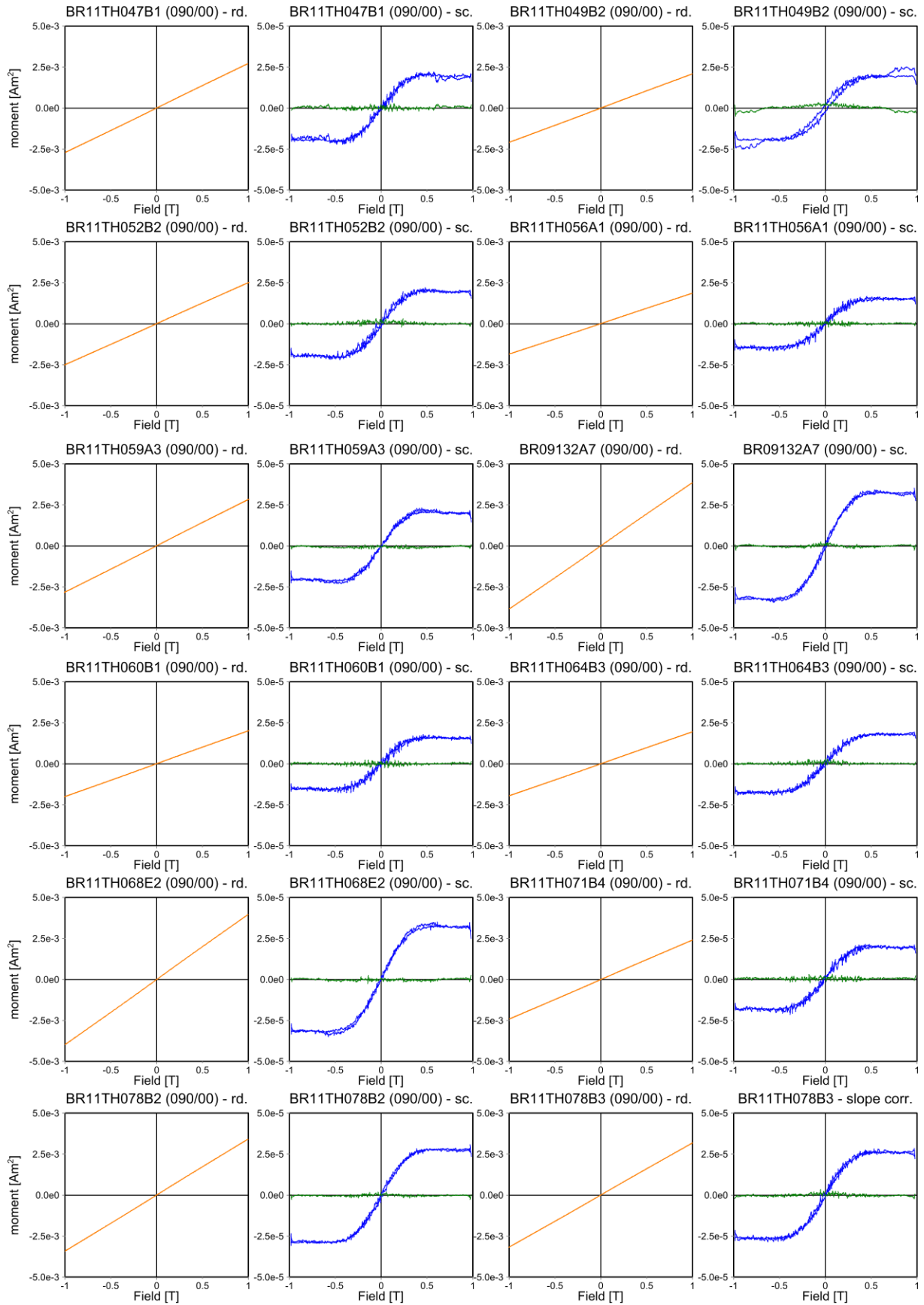


APPENDIX 14: MAGNETIC HYSTERESIS LOOPS – VSM APPROACH

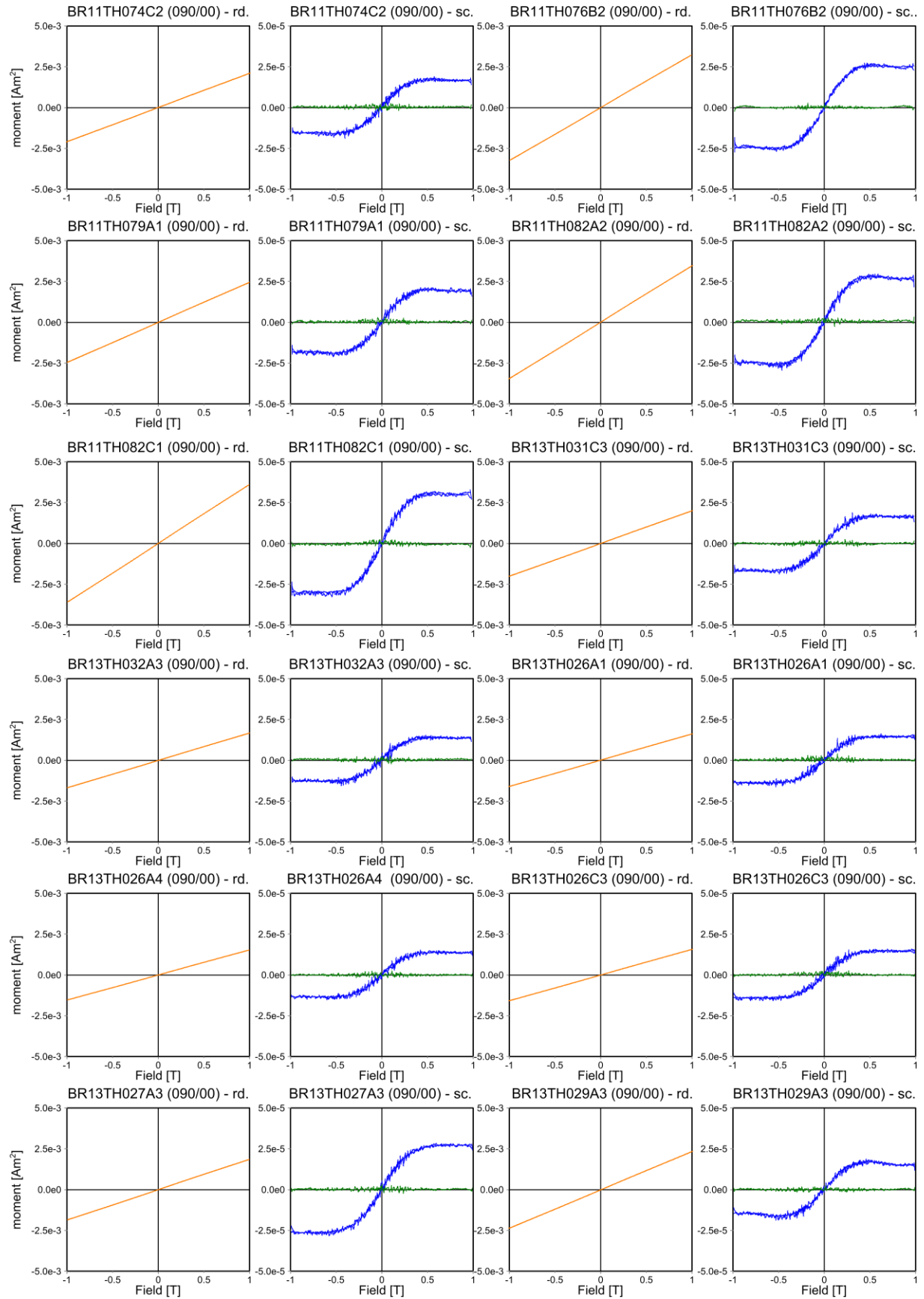


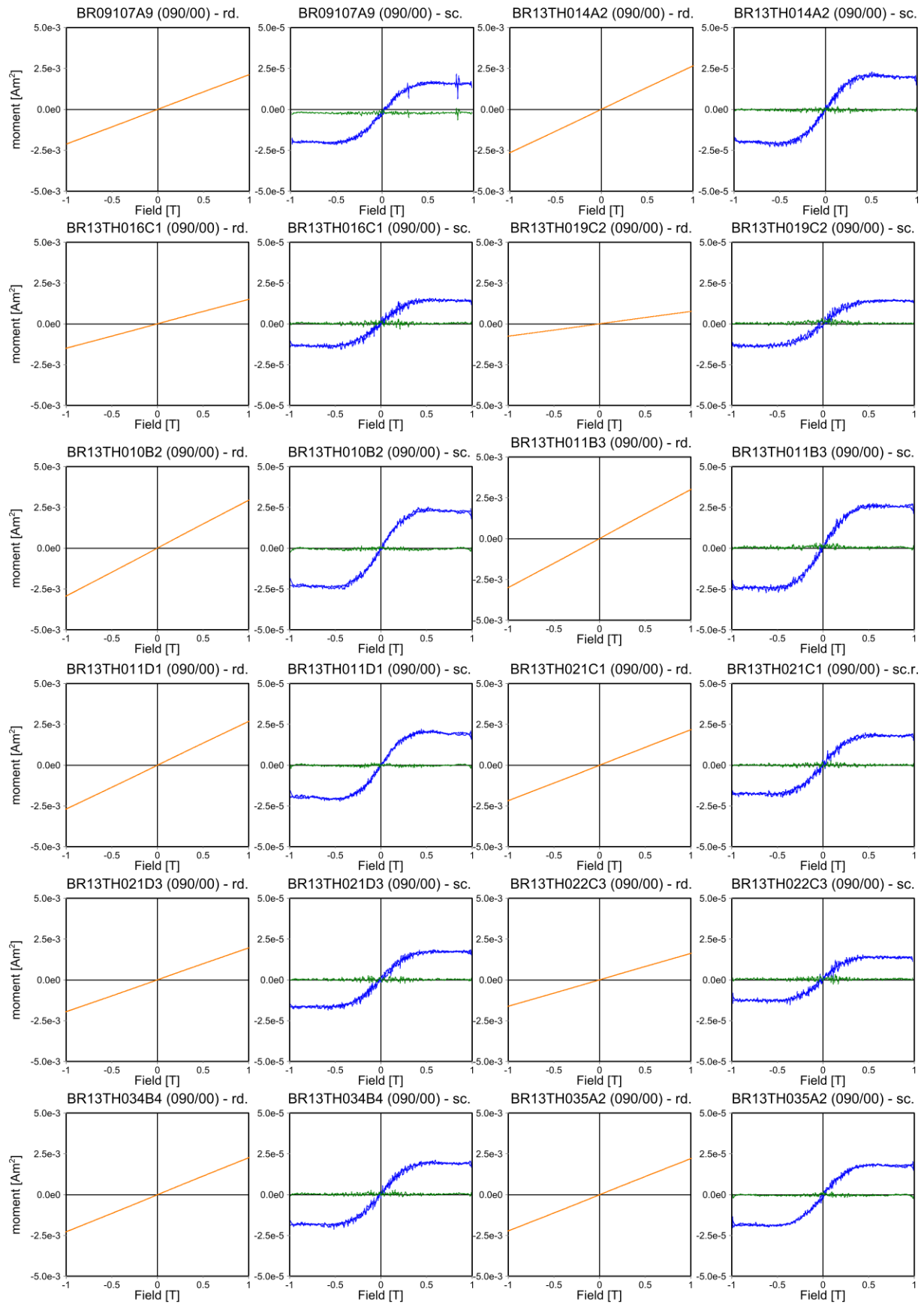
Monts d'Arrée slate belt research area



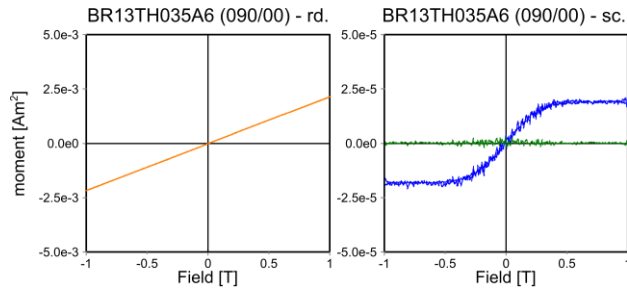


APPENDIX 14: MAGNETIC HYSTERESIS LOOPS – VSM APPROACH

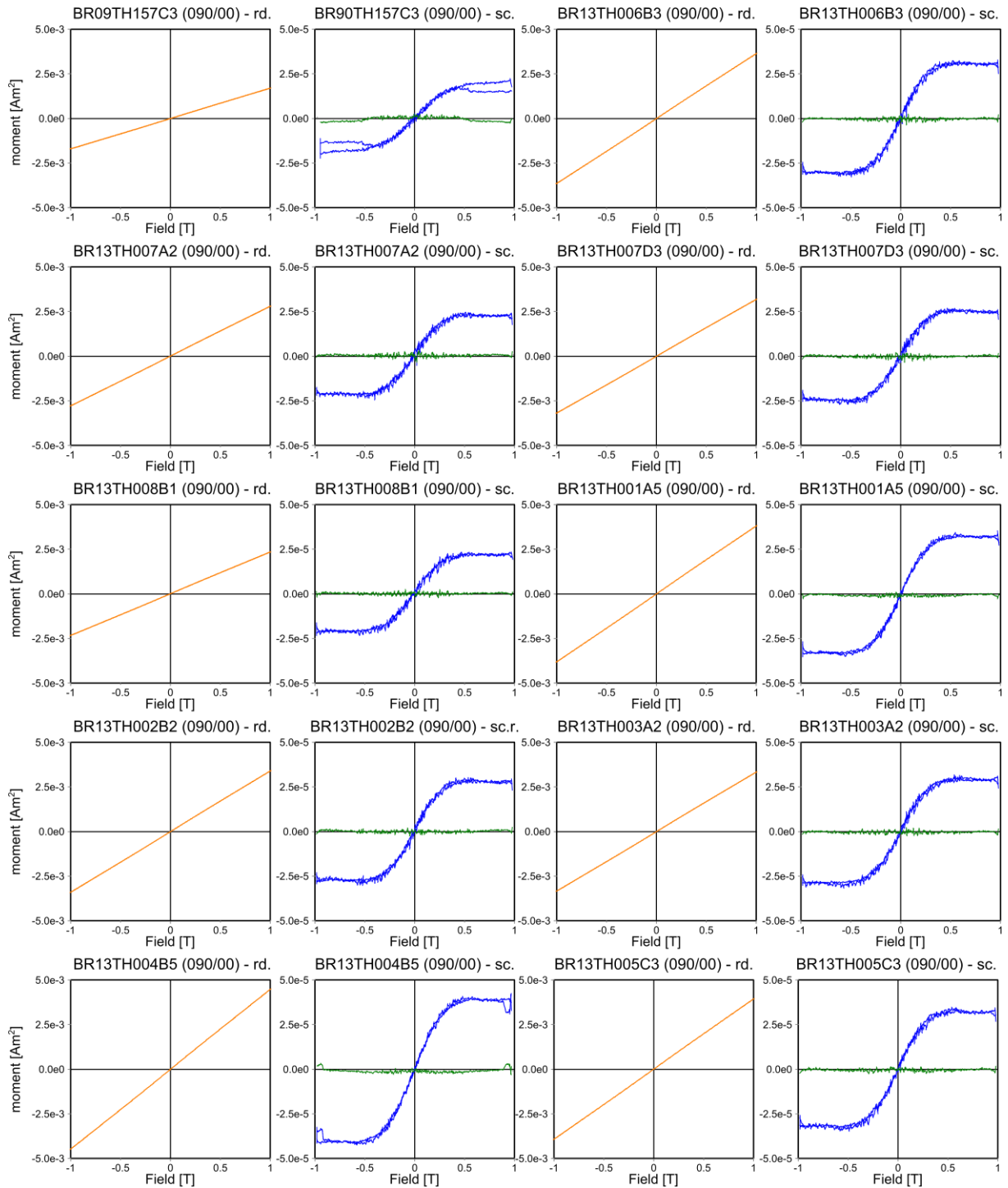




APPENDIX 14: MAGNETIC HYSTERESIS LOOPS – VSM APPROACH



Montagnes Noires slate belt research area



Appendix 15: HF-AMS

spec		χ^{hf} / χ^{lf} (VSM)	para% (torque)	K_m^{hf} ($\times 10^{-6}$ [SI])	K_1		K_2		K_3		ΔK_1	ΔK_2	ΔK_3	P_J^{hf}	T^{hf}
Crozon South research area															
CS01	BR11TH013A3	error	96	289	03	211	29	119	61	307	8.8	6.2	-15.0	1.10	0.78
	BR11TH014A6	0.92	96	270	01	034	71	301	19	124	9.0	5.7	-14.7	1.10	0.73
	BR11TH015A1	0.92	95	247	14	215	69	085	15	309	8.2	-0.1	-8.1	1.07	0.00
	BR11TH015E1	error	96	252	20	213	65	073	15	309	8.5	-1.0	-7.4	1.07	-0.18
	BR11TH017B1	0.95	96	359	29	017	38	261	38	132	13.4	4.8	-18.2	1.10	0.47
	BR11TH019A4	0.94	95	290	23	235	62	091	15	331	7.1	1.1	-8.2	1.05	0.23
CS02	BR11TH038A3	0.94	97	232	00	074	52	164	38	344	2.4	0.2	-2.7	1.02	0.15
	BR11TH007A2	error	95	312	57	044	29	256	15	158	14.5	5.1	-19.5	1.12	0.47
	BR11TH020A1	error	94	390	26	068	30	174	48	305	12.7	8.5	-21.3	1.10	0.76
	BR11TH026E3	error	95	404	47	052	43	234	01	143	12.2	-1.1	-11.1	1.06	-0.13
	BR11TH030A1	error	95	254	19	074	70	274	07	166	10.6	2.1	-12.7	1.10	0.29
	BR11TH033C3	0.94	96	357	58	050	31	239	04	147	10.0	-3.1	-6.8	1.05	-0.55
CS03	BR11TH036B2	0.97	94	437	49	210	32	072	22	327	21.6	14.7	-36.3	1.16	0.78
	BR11TH041D2	error	95	470	45	032	43	235	12	134	28.4	16.0	-44.4	1.18	0.68
	BR11TH083B3	0.92	95	288	13	200	76	356	06	109	12.8	6.4	-19.2	1.13	0.62
	BR11TH084B3	0.94	95	311	38	034	44	255	22	142	3.3	3.0	-6.3	1.04	0.93
	BR11TH084C2	0.94	95	271	13	050	74	269	10	143	5.6	0.4	-6.0	1.04	0.12
	BR11TH085C4	0.94	95	302	36	265	48	049	19	161	10.4	3.3	-13.7	1.09	0.43
CS04	BR11TH086A6	0.95	96	312	29	053	60	216	07	319	11.8	2.2	-14.0	1.09	0.28
	BR11TH086B1	0.94	95	294	28	056	61	218	08	322	10.7	1.2	-11.9	1.08	0.17
	BR11TH087A3	0.92	96	276	00	249	64	158	26	339	6.9	0.9	-6.3	1.05	0.11
	BR11TH088A1	0.93	95	313	06	094	73	345	16	186	12.1	7.8	-19.8	1.12	0.74
	BR11TH088D2	0.93	94	309	01	092	73	000	17	182	12.3	8.2	-20.4	1.12	0.76
	BR11TH089B1	0.96	95	681	40	035	45	247	17	140	25.8	17.9	-43.7	1.12	0.78
CS05	BR11TH090A3	error	93	349	20	247	60	017	21	149	20.4	13.2	-33.5	1.19	0.75
	BR11TH090B5	error	95	325	06	083	67	338	22	176	20.5	14.0	-36.0	1.22	0.79
	BR09TH032A1	/	93	370	14	231	76	064	03	322	12.1	-3.3	-8.8	1.06	-0.46
	BR09TH032C1	/	94	413	08	229	48	130	41	326	14.9	-3.4	-7.2	1.06	-0.65
	BR09TH039A1	/	91	176	18	232	51	118	34	334	6.1	-0.8	-5.3	1.07	-0.20
	BR09TH004A1	/	90	353	06	235	60	134	29	329	11.9	-4.2	-7.7	1.06	-0.64
CS06	BR09TH004A4	/	88	327	06	237	53	336	36	143	10.8	-3.9	-6.9	1.06	-0.65
	BR09TH004B3	/	84	338	07	223	38	318	51	124	10.3	-3.8	-4.9	1.05	-0.86
	BR09TH011C4	/	91	367	12	230	24	325	62	116	14.5	-5.4	-9.1	1.07	-0.68
	BR09TH015D1	/	91	221	13	241	59	129	28	338	6.7	-0.7	-6.0	1.06	-0.15
	BR09TH017C2	/	90	465	01	033	69	300	21	124	20.8	-4.5	-16.3	1.08	-0.35
	BR11TH001C3	0.96	95	388	12	056	71	183	15	323	16.5	11.4	-27.9	1.14	0.78
CS07	BR11TH001D3	0.96	96	393	24	060	61	201	16	322	17.1	12.6	-29.7	1.14	0.82
	BR11TH002C2	error	95	379	08	058	51	158	38	322	16.4	12.7	-29.1	1.15	0.85
Crozon North research area															
CN01	BR13TH036B2	0.97	95	479	17	045	37	301	48	155	30.3	18.8	-49.1	1.20	0.73
	BR13TH037B1	error	95	374	09	297	37	200	51	039	27.1	-2.9	-24.2	1.15	-0.14
	BR13TH038E1	0.96	96	209	18	339	09	246	70	132	16.0	-3.6	-12.4	1.15	-0.35
	BR13TH039B3	0.95	95	278	06	027	40	292	50	125	14.8	8.8	-23.6	1.16	0.71
CN02	BR13TH041B4	error	95	512	14	262	03	171	75	069	43.1	6.8	-49.9	1.20	0.26
	BR13TH043D1	0.96	95	383	06	281	11	012	77	161	26.7	10.8	-37.5	1.20	0.54
	BR13TH044C2	0.93	95	341	08	282	12	190	75	045	20.2	10.3	-30.5	1.17	0.63
	BR13TH045D1	0.95	97	343	28	091	21	350	55	229	20.8	3.9	-24.7	1.15	0.29
CN03	BR09TH053B2	0.91	95	247	25	269	05	002	64	102	19.5	6.3	-25.7	1.21	0.45
	BR09TH054B1	/	92	338	13	270	07	179	75	061	27.9	10.7	-38.0	1.23	0.52
CN04	BR13TH047B1	0.94	95	258	16	259	19	164	65	028	13.4	6.4	-19.8	1.15	0.60
	BR13TH048A2	0.94	95	250	19	251	11	157	67	038	13.8	4.5	-18.3	1.14	0.44
CN05	BR13TH049B1	error	92	57	19	230	04	321	71	064	0.3	0.0	-0.3	1.01	0.22
	BR13TH049D3	0.77	93	47	18	233	04	324	72	066	0.2	0.1	-0.3	1.01	0.37
	BR09TH041A3	/	89	350	11	257	16	164	71	019	22.7	5.1	-29.8	1.17	0.36

	spec	χ^{hf} / χ^{lf} (VSM)	para% (torque)	K_m^{hf} ($\times 10^{-6}$ [SI])	K_1		K_2		K_3		ΔK_1 ($\times 10^{-6}$ [SI])	ΔK_2 ($\times 10^{-6}$ [SI])	ΔK_3 ($\times 10^{-6}$ [SI])	P_J^{hf}	T^{hf}
CN06	BR09TH049A2	error	95	523	02	065	11	334	79	167	14.8	-2.5	-12.3	1.05	-0.27
	BR09TH056A2	/	86	296	05	063	10	154	78	306	21.2	8.4	-29.4	1.20	0.53
	BR09TH056A6	0.95	94	346	01	247	06	157	84	345	24.6	10.4	-34.9	1.20	0.55
	BR09TH057B2	/	89	267	06	069	12	337	76	186	16.9	4.0	-22.7	1.17	0.38
	BR09TH063A6	/	90	303	01	228	52	320	38	137	15.9	-0.3	-15.7	1.11	0.00
Monts d'Arée slate belt research area															
MASB01	BR11TH044B5	/	95	458	17	046	45	154	40	301	48.2	12.2	-60.4	1.28	0.39
	BR11TH045A1	0.97	95	344	33	035	43	268	30	147	30.8	15.8	-46.5	1.28	0.65
	BR11TH046B3	0.97	95	256	00	073	83	165	07	343	26.6	0.0	-26.6	1.23	0.05
	BR11TH047B1	0.97	95	400	16	062	68	198	14	328	31.7	-1.9	-29.8	1.17	-0.05
MASB02	BR11TH049B2	0.96	95	300	22	219	67	022	06	127	31.2	3.7	-34.9	1.25	0.22
	BR11TH052B2	0.97	94	419	05	235	74	126	15	327	44.9	-6.6	-38.4	1.22	-0.19
	BR11TH056A1	0.97	95	311	20	274	70	106	04	005	28.8	-7.0	-21.8	1.18	-0.38
	BR11TH056D1	/	92	270	22	281	07	188	66	080	25.6	-12.6	-12.9	1.17	-0.98
MASB03	BR11TH059A3	0.97	95	437	37	053	52	249	08	149	48.3	29.4	-77.7	1.39	0.74
	BR09TH121B5	/	92	517	02	060	85	302	04	150	46.9	17.7	-64.6	1.26	0.52
	BR09TH124C1	/	92	413	02	041	63	136	27	310	39.8	16.1	-55.9	1.28	0.55
	BR09TH127B2	/	91	420	00	062	62	153	28	332	36.0	14.0	-50.0	1.24	0.53
MASB04	BR09TH127B3	/	84	389	04	062	78	316	12	153	34.7	11.9	-46.5	1.25	0.48
	BR09TH131C3	/	88	376	08	059	50	158	39	323	39.2	27.4	-66.6	1.38	0.80
	BR09TH132A7	0.97	90	557	09	239	80	032	04	148	55.6	8.5	-64.1	1.25	0.26
	BR11TH060B1	0.98	92	324	04	243	62	341	27	151	34.3	9.2	-43.4	1.29	0.40
MASB05	BR11TH064B3	0.97	95	322	08	229	76	104	12	321	34.0	18.4	-52.4	1.35	0.68
	BR11TH068E2	0.97	86	635	17	053	63	181	20	317	66.6	36.4	-103.0	1.35	0.68
	BR11TH071B4	0.97	95	411	21	040	44	152	38	293	30.2	-2.9	-27.4	1.15	-0.11
	BR11TH078B2	0.97	95	555	01	244	34	153	56	335	58.5	11.7	-70.2	1.27	0.33
MASB06	BR11TH078B3	0.97	96	541	00	244	32	154	58	335	57.5	11.4	-68.9	1.27	0.32
	BR11TH074C2	0.97	95	335	10	030	54	134	34	293	38.2	13.3	-51.5	1.33	0.50
	BR11TH076B2	0.97	95	492	40	045	48	207	09	307	48.3	-13.6	-34.8	1.19	-0.46
	BR11TH077B1	/	91	404	06	058	60	159	29	325	48.2	33.4	-81.6	1.45	0.80
MASB07	BR11TH079A1	0.97	95	411	39	212	46	065	17	316	31.3	15.9	-47.1	1.23	0.64
	BR11TH082A2	0.97	94	543	13	073	58	184	29	336	53.5	27.8	-81.3	1.32	0.66
	BR11TH082C1	0.97	96	536	05	081	71	185	18	350	50.1	5.5	-55.6	1.22	0.20
	BR13TH031C3	0.98	95	311	44	239	36	104	24	354	28.8	11.9	-40.8	1.27	0.55
MASB08	BR13TH032A2	/	94	259	57	181	08	079	32	344	26.3	24.9	-51.2	1.44	0.97
	BR13TH032A3	0.96	94	276	55	202	19	083	28	343	28.1	25.9	-54.1	1.43	0.95
	BR13TH026A1	0.97	96	282	19	249	46	359	39	144	19.9	-3.4	-16.4	1.14	-0.26
	BR13TH026A4	0.97	96	271	54	217	34	017	09	114	18.4	-6.1	-12.4	1.13	-0.57
MASB09	BR13TH026C3	0.96	95	268	53	213	34	009	11	107	18.9	-6.7	-12.2	1.13	-0.63
	BR13TH027A3	0.95	96	320	15	244	30	146	56	357	19.6	-3.5	-16.1	1.12	-0.27
	BR13TH029A3	0.97	95	373	21	083	68	245	06	350	33.3	15.0	-48.3	1.27	0.59
	BR09TH103A4	/	90	850	32	216	58	026	05	123	54.3	3.2	-55.9	1.14	0.11
MASB10	BR09TH107A8	/	82	393	10	177	15	085	72	301	12.3	8.5	-20.8	1.10	0.78
	BR09TH107A9	0.97	95	373	33	161	01	252	57	344	11.7	8.2	-19.9	1.10	0.78
	BR09TH112C1	/	88	522	11	140	09	232	75	001	25.9	11.6	-38.5	1.14	0.58
	BR13TH014A2	0.97	95	439	32	051	57	242	05	144	33.1	12.1	-45.2	1.21	0.50
MASB11	BR13TH016C1	0.96	96	266	10	011	30	107	59	265	16.8	-0.7	-16.1	1.13	-0.03
	BR13TH019C2	0.93	95	123	12	042	16	135	70	276	6.9	-2.1	-4.8	1.10	-0.52
	BR13TH010B2	0.97	92	488	18	117	35	220	50	005	37.5	6.8	-44.4	1.19	0.29
	BR13TH011B3	0.97	95	486	18	109	28	209	56	350	40.8	4.6	-45.4	1.20	0.20
MASB12	BR13TH011D1	0.97	95	432	13	112	28	209	58	360	36.3	7.1	-43.4	1.21	0.31
	BR13TH021C1	0.97	94	379	40	289	01	019	50	110	30.5	-1.1	-27.5	1.17	-0.05
	BR13TH021D3	0.97	96	344	42	286	03	019	48	112	26.6	-3.3	-23.2	1.16	-0.17
	BR13TH022C3	0.96	95	299	49	285	09	025	40	123	23.8	-1.2	-22.7	1.17	-0.04
MASB13	BR13TH034B4	0.97	95	373	25	231	37	341	43	116	34.4	14.4	-48.8	1.27	0.56

	spec	χ^{hf} / χ^{lf}	para%	K_m^{hf}	K_1		K_2		K_3		ΔK_1	ΔK_2	ΔK_3	P_J^{hf}	T^{hf}
		(VSM)	(torque)	($\times 10^{-6}$ [SI])	I(°)	D(°)	I(°)	D(°)	I(°)	D(°)	($\times 10^{-6}$ [SI])	($\times 10^{-6}$ [SI])	($\times 10^{-6}$ [SI])		
MASB10	BR13TH035A2	0.97	96	404	53	205	36	011	07	106	36.8	8.8	-45.6	1.24	0.36
	BR13TH035A6	0.97	95	388	54	209	34	006	11	103	34.1	5.6	-39.7	1.21	0.27
Montagnes Noires slate belt research area															
MNSB01	BR13TH001A5	0.97	93	637	78	309	08	083	08	174	52.2	15.8	-68.0	1.22	0.43
	BR13TH002B2	0.97	95	561	71	037	13	264	13	171	49.1	13.8	-63.0	1.23	0.41
	BR13TH003A2	0.97	95	575	85	352	00	085	05	175	46.4	14.6	-61.1	1.22	0.45
	BR13TH004B5	0.97	95	767	87	103	03	270	01	360	73.9	-5.1	-68.8	1.20	-0.06
	BR13TH005C3	0.97	91	699	83	012	03	251	06	161	64.0	-3.0	-61.0	1.20	-0.03
MNSB02	BR13TH006B3	0.97	95	592	31	092	10	188	57	293	59.0	18.5	-77.6	1.28	0.45
	BR13TH007A2	0.97	94	513	24	108	13	204	62	320	53.9	-6.1	-47.9	1.22	-0.13
	BR13TH007D3	0.97	95	559	23	106	06	199	66	304	59.7	-9.1	-50.6	1.22	-0.20
	BR13TH008B1	0.97	92	418	30	114	20	216	53	335	39.6	8.5	-48.1	1.24	0.34
MNSB03	BR09TH143E2	/	91	657	65	099	25	268	04	360	44.0	2.5	-46.5	1.15	0.12
	BR09TH148A3	/	78	454	66	224	22	070	09	336	33.6	6.7	-40.3	1.18	0.31
	BR09TH148B1	/	85	564	68	214	17	077	14	342	41.5	8.9	-50.4	1.18	0.33
	BR09TH157C3	error	96	293	54	141	09	244	35	340	22.2	-0.9	-21.3	1.16	-0.02
	BR09TH159B5	/	89	270	59	081	21	311	22	212	18.8	-7.0	-11.8	1.13	-0.67
	BR09TH159C5	/	93	324	57	084	25	222	19	322	22.4	-8.5	-14.0	1.13	-0.68
	BR09TH160A3	/	93	175	57	087	29	301	15	202	11.4	-3.5	-7.9	1.12	-0.52
	BR09TH161A5	/	93	743	60	087	30	282	06	189	47.9	11.1	-59.0	1.16	0.34

